

R.6611  
UNIVERSIDAD DE SEVILLA

FACULTAD DE FARMACIA

DEPARTAMENTO DE QUIMICA ORGANICA Y FARMACEUTICA

UNIVERSIDAD DE SEVILLA  
SECRETARIA GENERAL

Queda registrada esta Tesis Doctoral  
al folio 192 número 50 del libro  
correspondiente.

**19 ABR. 1989**

Sevilla,

El Jefe del Negociado de Tesis,

Stenoffite

SINTESIS ESTEREOSELECTIVA DE PIRAZOLINAS POR  
CICLOADICION 1,3-DIPOLAR DE DIAZOALCANOS A  
OLEFINAS DERIVADAS DE AZUCARES.

(APENDICE)

UNIVERSIDAD DE SEVILLA  
FACULTAD DE FARMACIA  
SEVILLA



Memoria presentada por el  
Licenciado Enrique Rodríguez  
García para optar al Grado de  
Doctor en Farmacia

UNIVERSIDAD DE SEVILLA

FACULTAD DE FARMACIA

DEPARTAMENTO DE QUIMICA ORGANICA Y FARMACEUTICA

**APENDICE I. Espectros de  $^1H$ -RMN de los compuestos  
nuevos descritos en esta Tesis.**

**APENDICE II. Espectros de  $^{13}C$ -RMN de los compuestos  
nuevos descritos en esta Tesis.**

## INDICE

### APENDICE I. ESPECTROS DE $^1\text{H-RMN}$ DE LOS COMPUESTOS NUEVOS DESCRITOS EN ESTA TESIS.

<i>1,2-Didesoxi-2-C-nitro-D-treo-L-talo (y D-treo-L-gulo) octitol (18 y 19).</i>	3
<i>3,4,5,6,7,8-Hexa-O-acetil-1,2-didesoxi-2-C-nitro-D-treo- L-talo octitol (22).</i>	5
<i>3,4,5,6,7,8-Hexa-O-acetil-1,2-didesoxi-2-C-nitro-D-treo- L-gulo octitol (23).</i>	6
<i>(E)-4,5,6,7,8-Penta-O-acetil-1,2,3-tridesoxi-2-C-nitro- D-galacto-oct-2-enitol (26).</i>	7
<i>1,2-Didesoxi-2-C-nitro-D-eritro-L-mano (y D-eritro- L-allo) octitol (27 y 28).</i>	10
<i>3,4,5,6,7,8-Hexa-O-acetil-1,2-didesoxi-2-C-nitro- D-eritro-L-mano (y D-eritro-L-allo) octitol (31 y 32).</i>	13
<i>(E)-4,5,6,7,8-Penta-O-acetil-1,2,3-tridesoxi-2-C-nitro- D-mano-oct-2-enitol (35).</i>	16
<i>3,4,5,6,7-Penta-O-acetil-1,2-dibromo-1,2-didesoxi-1-C- nitro-D-treo-L-talo (y D-treo-L-gulo) heptitol (36a y 37a).</i>	18
<i>(Z)-3,4,5,6,7-Penta-O-acetil-1,2-didesoxi-1-C-bromo-1- nitro-D-galacto-hept-1-enitol (38a).</i>	19

## INDICE

- 3,4,5,6,7-Penta-O-acetil-1,2-dibromo-1,2-didesoxi-1-C-nitro-D-eritro-L-alos (y D-eritro-L-mano) heptitol (36b y 37b).* 20
- (Z)-3,4,5,6,7-Penta-O-acetil-1,2-didesoxi-1-C-bromo-1-C-nitro-D-mano-hept-1-enitol (38b).* 21
- (E)-4,5,6,7,8-Penta-O-acetil-2,3-didesoxi-D-gluco-oct-2-enonato de metilo (64).* 22
- (E)-4,5,6,7,8-Penta-O-acetil-2,3-didesoxi-D-galacto-oct-2-enonato de metilo (66).* 24
- (E)-4,5,6,7,8-Penta-O-acetil-2-metil-2,3-didesoxi-D-galacto-oct-2-enonato de etilo (68).* 26
- (3S,4R)-3-Nitro-4-(D-galacto-penta-O-acetilpentitol-1-ii)-1-pirazolina (86).* 27
- (3S,4R)-3-Metil-3-nitro-4-(D-galacto-penta-O-acetil-pentitol-1-ii)-1-pirazolina (87) y (3R,4R)-4-metil-4-nitro-3-(D-galacto-penta-O-acetilpentitol-1-ii)-1-pirazolina (87b).* 28
- (3R,4R)-3-Bromo-3-nitro-4-(D-galacto-penta-O-acetil-pentitol-1-ii)-1-pirazolina (88).* 29
- 4-(D-galacto-penta-O-acetilpentitol-1-ii)pirazol (89).-* 30
- 3(5)-Metil-4-(D-galacto-penta-O-acetilpentitol-1-ii)pirazol (90) y 4-metil-3(5)-(D-galacto-penta-O-acetil-pentitol-1-ii)pirazol (90b).* 31

## INDICE

<b>3(5)-Metil-4-(D-galacto-penta-O-acetilpentitol-1-ii) pirazol (90).</b>	<b>34</b>
<b>3(5)-Bromo-4-(D-galacto-penta-O-acetilpentitol-1-ii) pirazol (91).</b>	<b>36</b>
<b>3(5)-Nitro-4-(D-galacto-penta-O-acetilpentitol-1-ii) pirazol (92).</b>	<b>37</b>
<b>(4R,5R)-5-Metil-3-nitro-4-(D-galacto-penta-O-acetil- pentitol-1-ii)-2-pirazolina (93').</b>	<b>38</b>
<b>(3S,4R,5R)-3,5-Dimetil-3-nitro-4-(D-galacto-penta-O- acetilpentitol-1-ii)-1-pirazolina (94).</b>	<b>39</b>
<b>(3R,4R,5R)-3-Bromo-5-metil-3-nitro-4-(D-galacto-penta- O-acetilpentitol-1-ii)-1-pirazolina (95).</b>	<b>42</b>
<b>3,5-Dimetil-4-(D-galacto-penta-O-acetilpentitol-1-ii) pirazol (96).</b>	<b>43</b>
<b>3(5)-Bromo-5(3)-metil-4-(D-galacto-penta-O-acetil- pentitol-1-ii)pirazol (97).</b>	<b>44</b>
<b>3(5)-Nitro-5(3)-metil-4-(D-galacto-penta-O-acetil- pentitol-1-ii)pirazol (98).</b>	<b>45</b>
<b>3(5)-Etoxicarbonil-4-(D-galacto-penta-O-acetilpentitol- 1-ii)pirazol (99).</b>	<b>46</b>
<b>3(5)-Etoxicarbonil-5(3)-metil-4-(D-galacto-penta-O- acetilpentitol-1-ii)pirazol (100).</b>	<b>47</b>

## **INDICE**

<b>3(5)-Etoxicarbonil-5(3)-nitro-4-(D-galacto-penta-O-acetilpentitol-1-ii)pirazol (101).</b>	<b>48</b>
<b>(3R,4S)-3-Metil-3-nitro-4-(D-mano-penta-O-acetilpentitol-1-ii)-1-pirazolina (102) y (3S,4S)-4-metil-4-nitro-3-(D-mano-penta-O-acetilpentitol-1-ii)-1-pirazolina (102b).</b>	<b>49</b>
<b>(3R,4S,5S)-3,5-Dimetil-3-nitro-4-(D-mano-penta-O-acetil-pentitol-1-ii)-1-pirazolina (103).</b>	<b>50</b>
<b>3(5)-Metil-4-(D-mano-penta-O-acetilpentitol-1-ii)pirazol (104).</b>	<b>51</b>
<b>3,5-Dimetil-4-(D-mano-penta-O-acetilpentitol-1-ii)pirazol (105).</b>	<b>52</b>
<b>3(5)-Etoxicarbonil-5(3)-metil-4-(D-mano-penta-O-acetil-pentitol-1-ii)pirazol (106).</b>	<b>53</b>
<b>(3R,4R)-3-Metoxicarbonil-4-(D-galacto-penta-O-acetil-pentitol-1-ii)-1-pirazolina (127) &amp; (4R)-3-metoxicarbonil-4-(D-galacto-penta-O-acetilpentitol-1-ii)-2-pirazolina (127') &amp; (4R,5R)-5-metoxicarbonil-4-(D-galacto-penta-O-acetil-pentitol-1-ii)-2-pirazolina (127").</b>	<b>54</b>
<b>(3R,4R)-3-Acetyl-4-(D-galacto-penta-O-acetilpentitol-1-ii)-1-pirazolina (128) &amp; (4R)-3-acetyl-4-(D-galacto-penta-O-acetilpentitol-1-ii)-2-pirazolina (128').</b>	<b>58</b>
<b>(3R,4R)-3-Etoxicarbonil-3-metil-4-(D-galacto-penta-O-acetil-pentitol-1-ii)-1-pirazolina (129).</b>	<b>59</b>
<b>3(5)-Metoxicarbonil-4-(D-galacto-penta-O-acetilpentitol-1-ii)pirazol (130).</b>	<b>60</b>

**INDICE**

- 3(5)-Acetil-4-(D-galacto-penta-O-acetilpentitol-1-ii)  
pirazol (131).** 61
- (4R,5R)-3-Metoxicarbonil-5-metil-4-(D-galacto-penta-O-  
acetil-pentitol-1-ii)-2-pirazolina (132').** 62
- (4R,5R)-3-Acetil-5-metil-4-(D-galacto-penta-O-acetil-  
pentitol-1-ii)-2-pirazolina (133').** 63
- (3R,4R,5R)-3-Etoxicarbonil-3,5-dimetil-4-(D-galacto-  
penta-O-acetil-pentitol-1-ii)-1-pirazolina (134).** 65
- 3(5)-Metoxicarbonil-5(3)-metil-4-(D-galacto-penta-O-  
acetilpentitol-1-ii)pirazol (135).** 67
- 3(5)-Acetil-5(3)-metil-4-(D-galacto-penta-O-acetil-  
pentitol-1-ii)pirazol (136).** 68
- 3(5)-Etoxicarbonil-5(3)-metoxicarbonil-4-(D-galacto)-  
penta-O-acetilpentitol-1-ii)-2-pirazolina (137).** 69
- (4R,5R)-3(5)-Acetil-5(3)-etoxicarbonil-4-(D-galacto-  
penta-O-acetilpentitol-1-ii)-2-pirazolina (138).** 71
- 3(5)-Etoxicarbonil-5(3)-metoxicarbonil-4-(D-galacto-  
penta-O-acetilpentitol-1-ii)pirazol (139).** 73
- 3(5)-Acetil-5(3)-etoxicarbonil-4-(D-galacto-penta-O-  
acetilpentitol-1-ii)pirazol (140).** 74

## INDICE

### APENDICE II. ESPECTROS DE $^{13}\text{C}$ -RMN DE LOS COMPUESTOS NUEVOS DESCRITOS EN ESTA TESIS.

<i>1,2-Didesoxi-2-C-nitro-D-treo-L-talo (y D-treo-L-gulo) octitol (18 y 19).</i>	77
<i>3,4,5,6,7,8-Hexa-O-acetil-1,2-didesoxi-2-C-nitro-D-treo-L-talo octitol (22).</i>	78
<i>3,4,5,6,7,8-Hexa-O-acetil-1,2-didesoxi-2-C-nitro-D-treo-L-gulo octitol (23).</i>	79
<i>(E)-4,5,6,7,8-Penta-O-acetil-1,2,3-tridesoxi-2-C-nitro-D-galacto-oct-2-enitol (26).</i>	80
<i>1,2-Didesoxi-2-C-nitro-D-eritro-L-mano (y D-eritro-L-allo) octitol (27 y 28).</i>	81
<i>3,4,5,6,7,8-Hexa-O-acetil-1,2-didesoxi-2-C-nitro-D-eritro-L-mano (y D-eritro-L-allo) octitol (31 y 32).-</i>	82
<i>(E)-4,5,6,7,8-Penta-O-acetil-1,2,3-tridesoxi-2-C-nitro-D-mano-oct-2-enitol (35).</i>	83
<i>3,4,5,6,7-Penta-O-acetil-1,2-dibromo-1,2-didesoxi-1-C-nitro-D-treo-L-talo (y D-treo-L-gulo) heptitol (36a y 37a).</i>	84
<i>(Z)-3,4,5,6,7-Penta-O-acetil-1,2-didesoxi-1-C-bromo-1-nitro-D-galacto-hept-1-enitol (38a).</i>	85

## INDICE

<i>3,4,5,6,7-Penta-O-acetil-1,2-dibromo-1,2-didesoxi-1-C-nitro-D-eritro-L-alos (y D-eritro-L-mano) heptitol (36b y 37b).</i>	<i>86</i>
<i>(Z)-3,4,5,6,7-Penta-O-acetil-1,2-didesoxi-1-C-bromo-1-C-nitro-D-mano-hept-1-enitol (38b).</i>	<i>87</i>
<i>(E)-4,5,6,7,8-Penta-O-acetil-2,3-didesoxi-D-gluco-oct-2-enonato de metilo (64).</i>	<i>88</i>
<i>(E)-4,5,6,7,8-Penta-O-acetil-2,3-didesoxi-D-galacto-oct-2-enonato de metilo (66).</i>	<i>89</i>
<i>(E)-4,5,6,7,8-Penta-O-acetil-2-metil-2,3-didesoxi-D-galacto-oct-2-enonato de etilo (68).</i>	<i>90</i>
<i>(3S,4R)-3-Nitro-4-(D-galacto-penta-O-acetylpentitol-1-ii)-1-pirazolina (86).</i>	<i>91</i>
<i>(3S,4R)-3-Metil-3-nitro-4-(D-galacto-penta-O-acetyl-pentitol-1-ii)-1-pirazolina (87) y (3R,4R)-4-metil-4-nitro-3-(D-galacto-penta-O-acetylpentitol-1-ii)-1-pirazolina (87b).</i>	<i>92</i>
<i>(3R,4R)-3-Bromo-3-nitro-4-(D-galacto-penta-O-acetyl-pentitol-1-ii)-1-pirazolina (88).</i>	<i>93</i>
<i>4-(D-galacto-penta-O-acetylpentitol-1-ii)pirazol (89).-</i>	<i>94</i>
<i>3(5)-Metil-4-(D-galacto-penta-O-acetylpentitol-1-ii)pirazol (90).</i>	<i>95</i>
<i>3(5)-Bromo-4-(D-galacto-penta-O-acetylpentitol-1-ii)pirazol (91).</i>	<i>96</i>

## INDICE

<i>3(5)-Nitro-4-(D-galacto-penta-O-acetilpentitol-1-ii)pirazol</i> (92).	97
<i>(4R,5R)-5-Metil-3-nitro-4-(D-galacto-penta-O-acetilpentitol-1-ii)-2-pirazolina</i> (93').	98
<i>(3S,4R,5R)-3,5-Dimetil-3-nitro-4-(D-galacto-penta-O-acetilpentitol-1-ii)-1-pirazolina</i> (94).	99
<i>(3R,4R,5R)-3-Bromo-5-metil-3-nitro-4-(D-galacto-penta-O-acetilpentitol-1-ii)-1-pirazolina</i> (95).	100
<i>3,5-Dimetil-4-(D-galacto-penta-O-acetilpentitol-1-ii)pirazol</i> (96).	101
<i>3(5)-Bromo-5(3)-metil-4-(D-galacto-penta-O-acetilpentitol-1-ii)pirazol</i> (97).	102
<i>3(5)-Nitro-5(3)-metil-4-(D-galacto-penta-O-acetilpentitol-1-ii)pirazol</i> (98).	103
<i>3(5)-Etoxicarbonil-4-(D-galacto-penta-O-acetilpentitol-1-ii)pirazol</i> (99).	104
<i>3(5)-Etoxicarbonil-5(3)-metil-4-(D-galacto-penta-O-acetilpentitol-1-ii)pirazol</i> (100).	105
<i>3(5)-Etoxicarbonil-5(3)-nitro-4-(D-galacto-penta-O-acetilpentitol-1-ii)pirazol</i> (101).	106
<i>(3R,4S)-3-Metil-3-nitro-4-(D-mano-penta-O-acetilpentitol-1-ii)-1-pirazolina</i> (102) y <i>(3S,4S)-4-metil-4-nitro-3-(D-mano-penta-O-acetilpentitol-1-ii)-1-pirazolina</i> (102b).	107

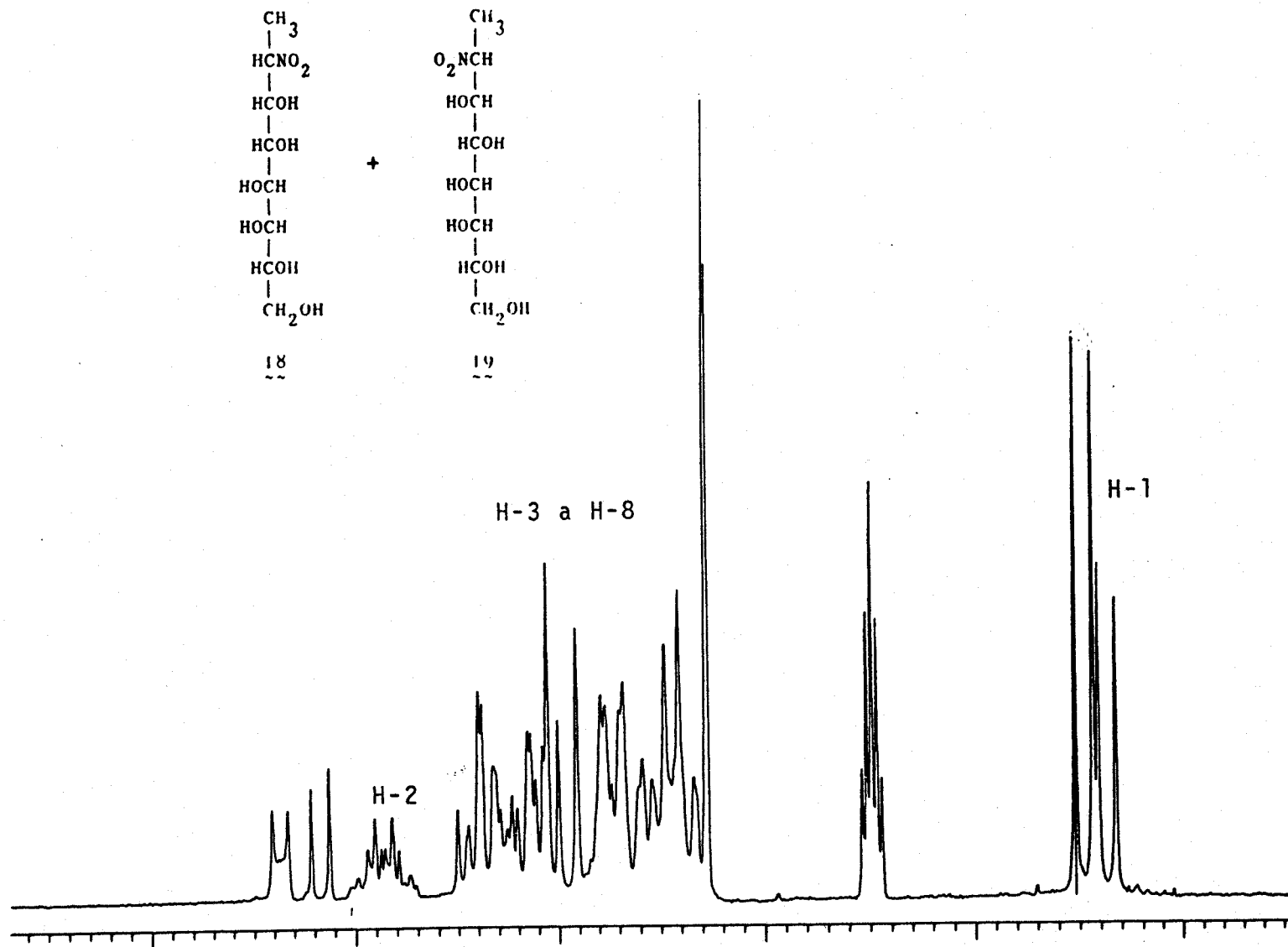
## INDICE

- (3R,4S,5S)-3,5-Dimetil-3-nitro-4-(D-mano-penta-O-acetil-pentitol-1-ill)-1-pirazolina (103). 108
- 3(5)-Metil-4-(D-mano-penta-O-acetilpentitol-1-ill)pirazol (104). 109
- 3,5-Dimetil-4-(D-mano-penta-O-acetilpentitol-1-ill)pirazol (105). 110
- 3(5)-Etoxicarbonil-5(3)-metil-4-(D-mano-penta-O-acetil-pentitol-1-ill)pirazol (106). 111
- (3R,4R)-3-Metoxicarbonil-4-(D-galacto-penta-O-acetil-pentitol-1-ill)-1-pirazolina (127) ó (4R)-3-metoxicarbonil-4-(D-galacto-penta-O-acetilpentitol-1-ill)-2-pirazolina (127') ó (4R,5R)-5-metoxicarbonil-4-(D-galacto-penta-O-acetilpentitol-1-ill)-2-pirazolina (127''). 112
- (3R,4R)-3-Acetil-4-(D-galacto-penta-O-acetilpentitol-1-ill)-1-pirazolina (128) ó (4R)-3-acetil-4-(D-galacto-penta-O-acetilpentitol-1-ill)-2-pirazolina (128'). 113
- (4R)-3-acetil-4-(D-galacto-penta-O-acetilpentitol-1-ill)-2-pirazolina (128''). 114
- (3R,4R)-3-Etoxicarbonil-3-metil-4-(D-galacto-penta-O-acetilpentitol-1-ill)-1-pirazolina (129). 115
- 3(5)-Metoxicarbonil-4-(D-galacto-penta-O-acetilpentitol-1-ill)pirazol (130). 116
- 3(5)-Acetil-4-(D-galacto-penta-O-acetilpentitol-1-ill)pirazol (131). 117

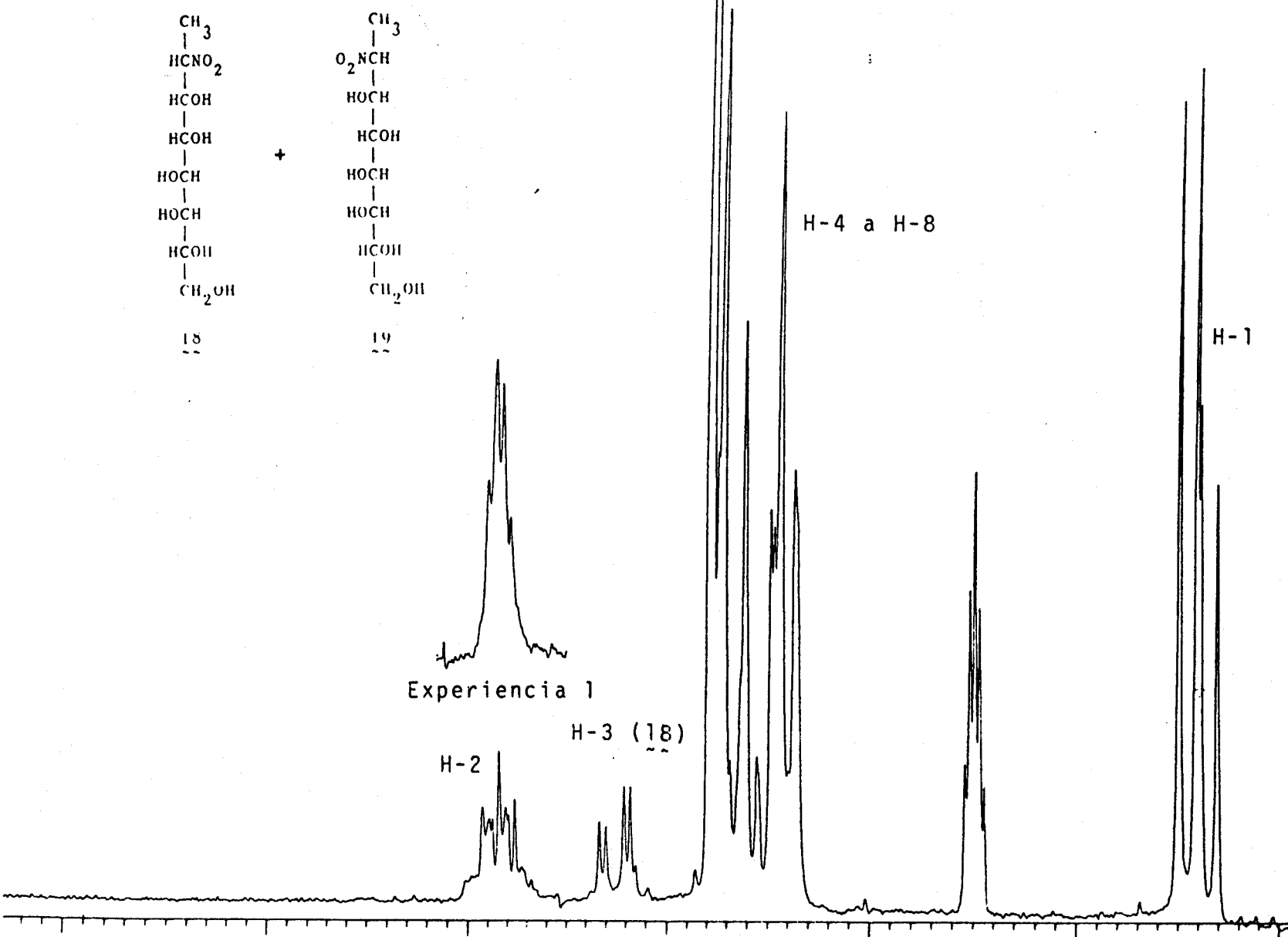
## INDICE

- (4R,5R)-3-Metoxicarbonil-5-metil-4-(D-galacto-penta-O-acetil-pentitol-1-ii)-2-pirazolina (132'). 118
- (4R,5R)-3-Acetil-5-metil-4-(D-galacto-penta-O-acetil-pentitol-1-ii)-2-pirazolina (133'). 119
- (3R,4R,5R)-3-Etoxicarbonil-3,5-dimetil-4-(D-galacto-penta-O-acetil-pentitol-1-ii)-1-pirazolina (134). 120
- 3(5)-Metoxicarbonil-5(3)-metil-4-(D-galacto-penta-O-acetilpentitol-1-ii)pirazol (135). 121
- 3(5)-Acetil-5(3)-metil-4-(D-galacto-penta-O-acetil-pentitol-1-ii)pirazol (136). 122
- 3(5)-Etoxicarbonil-5(3)-metoxicarbonil-4-(D-galacto-penta-O-acetilpentitol-1-ii)-2-pirazolina (137). 123
- (4R,5R)-3(5)-Acetil-5(3)-etoxicarbonil-4-(D-galacto-penta-O-acetilpentitol-1-ii)-2-pirazolina (138). 124
- 3(5)-Etoxicarbonil-5(3)-metoxicarbonil-4-(D-galacto-penta-O-acetilpentitol-1-ii)pirazol (139). 125
- 3(5)-Acetil-5(3)-etoxicarbonil-4-(D-galacto-penta-O-acetilpentitol-1-ii)pirazol (140). 126

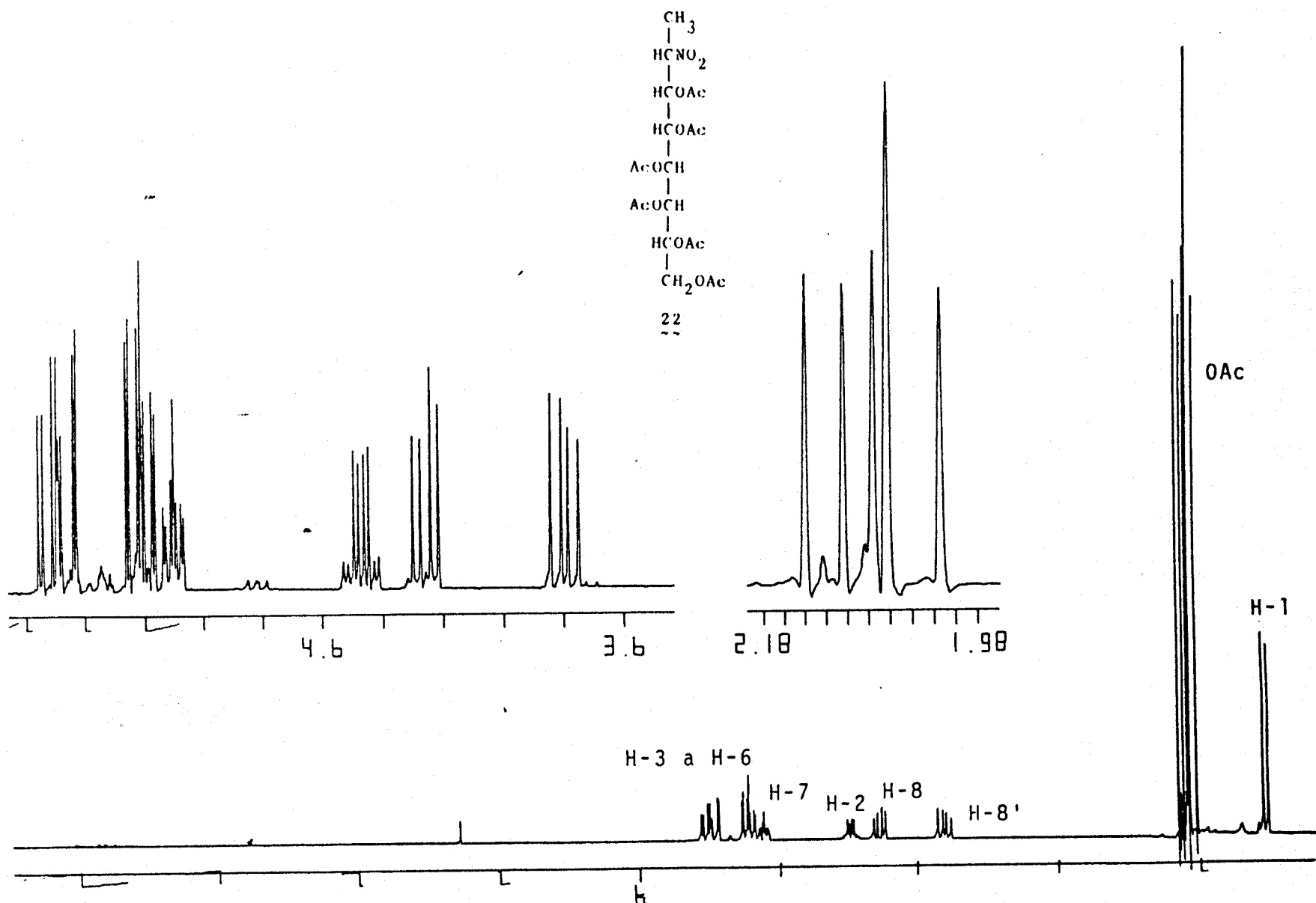
**APENDICE I. Espectros de  $^1H$ -RMN de los compuestos  
nuevos descritos en esta Tesis.**



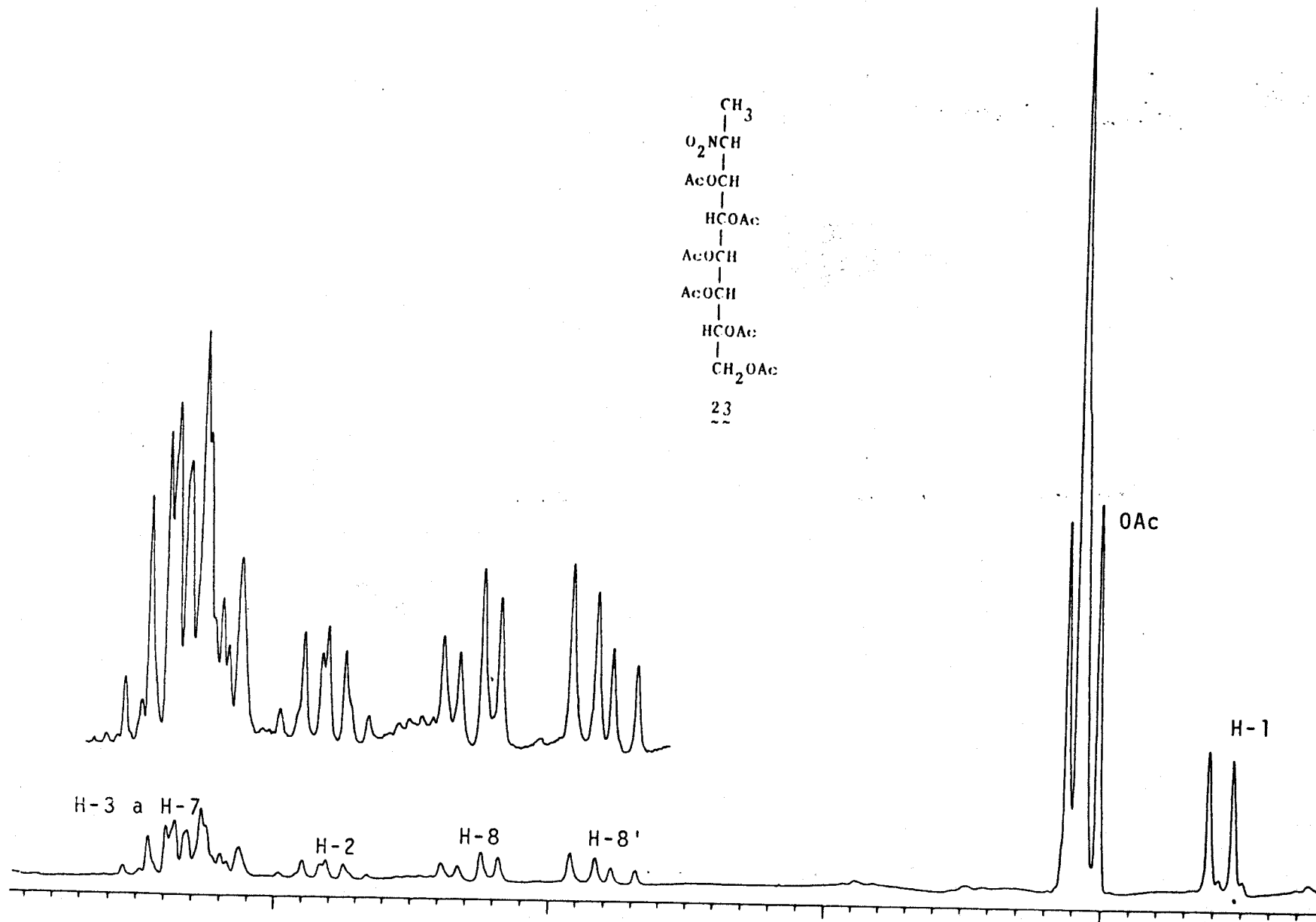
Espectro n° 1: Espectro de <sup>1</sup>H-RMN de los compuestos 18 y 19 registrado en DMSO-d<sub>6</sub> a 80 MHz. (Tablas 8 y 9).



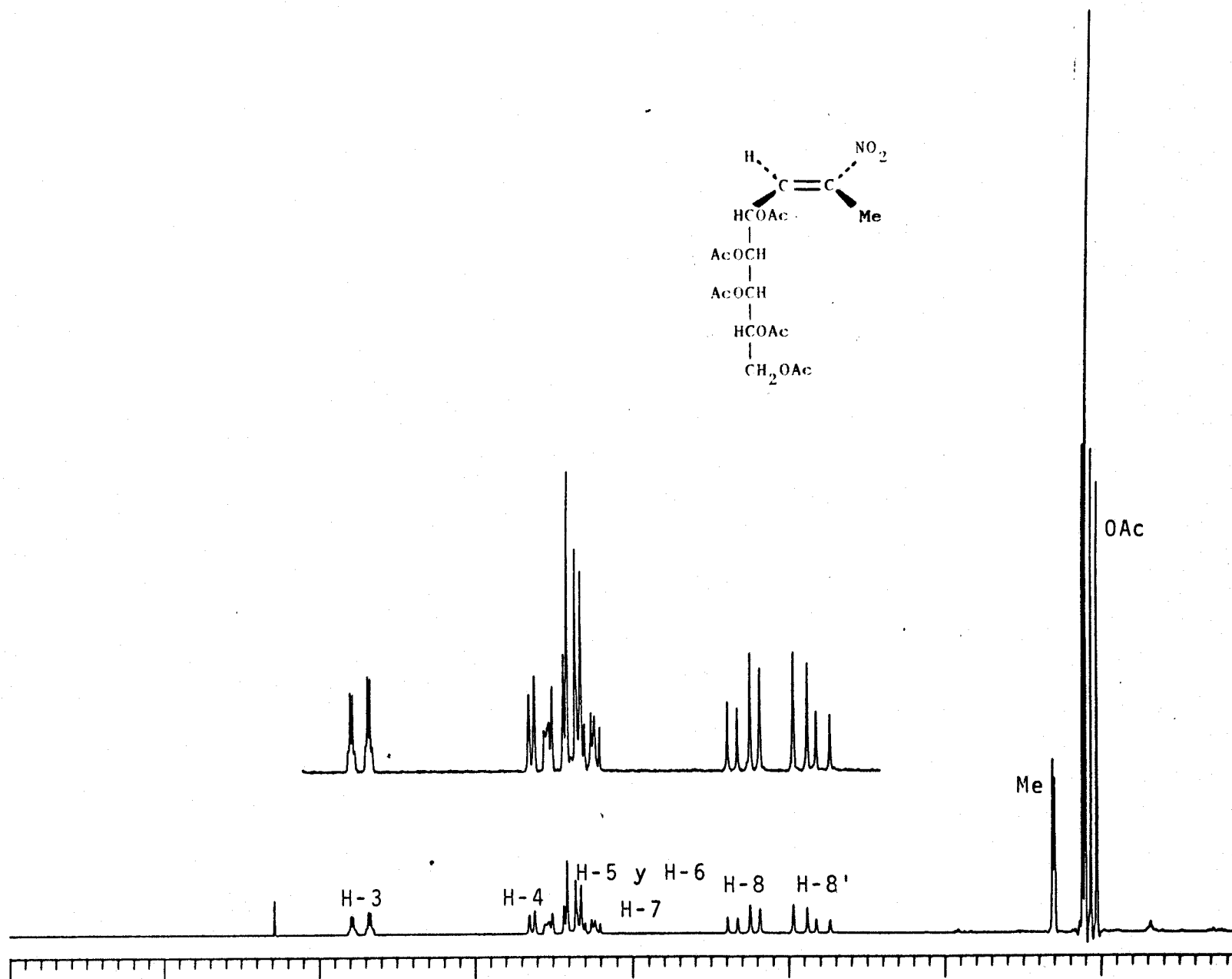
Espectro nº 2: Espectro de  $^1\text{H}$ -RMN de los compuestos 18 y 19 registrado en  $\text{DMSO-d}_6$  a 80 MHz después de agitar la muestra con  $\text{D}_2\text{O}$ . (Tablas 8 y 9).  
**Experiencia 1:** Desacoplamiento spin-spin, irradiación sobre H-1.



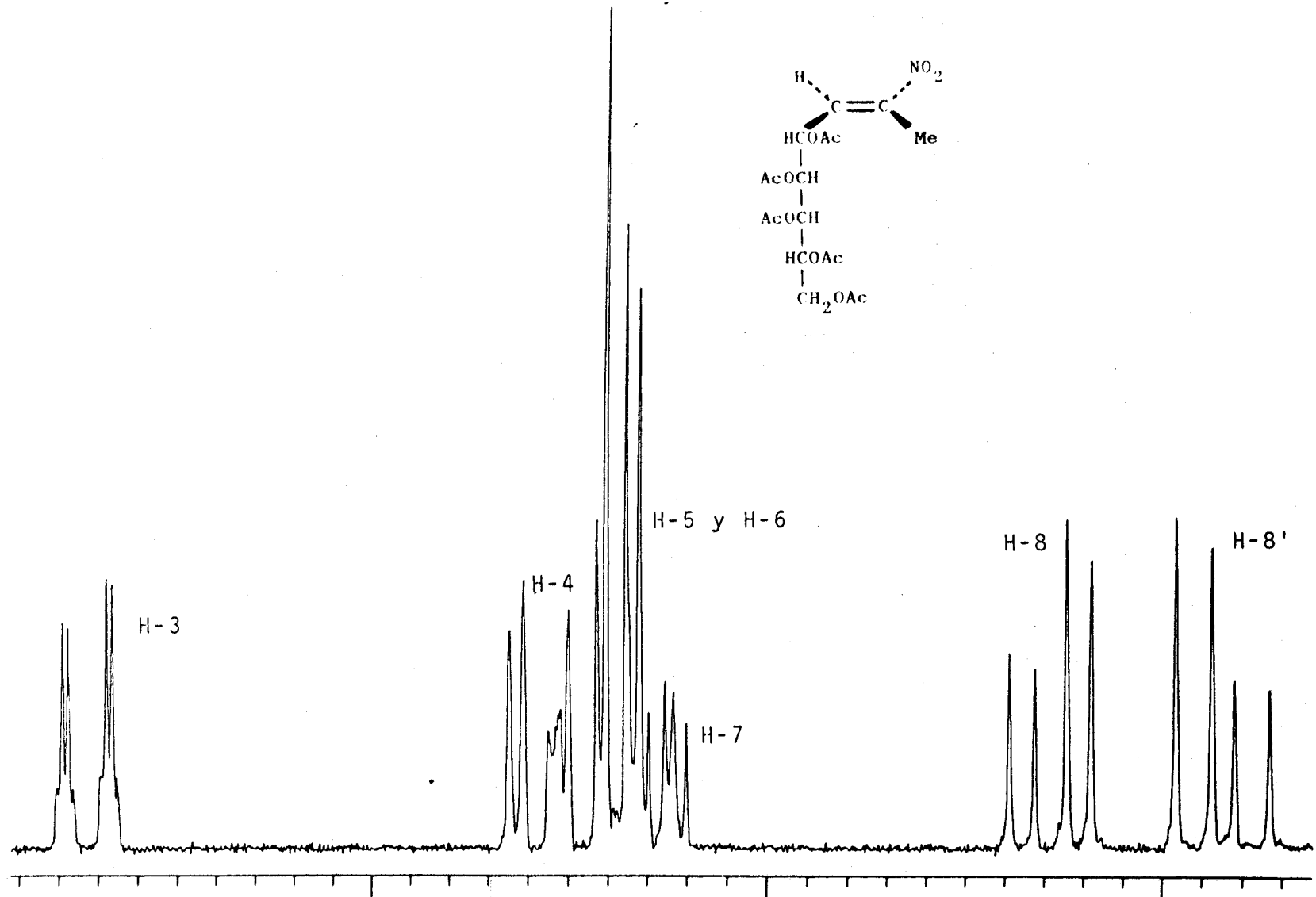
Espectro nº 3: Espectro de <sup>1</sup>H-RMN del compuesto 22 registrado en CDCl<sub>3</sub> a 200 MHz. (Tablas 8 y 9).



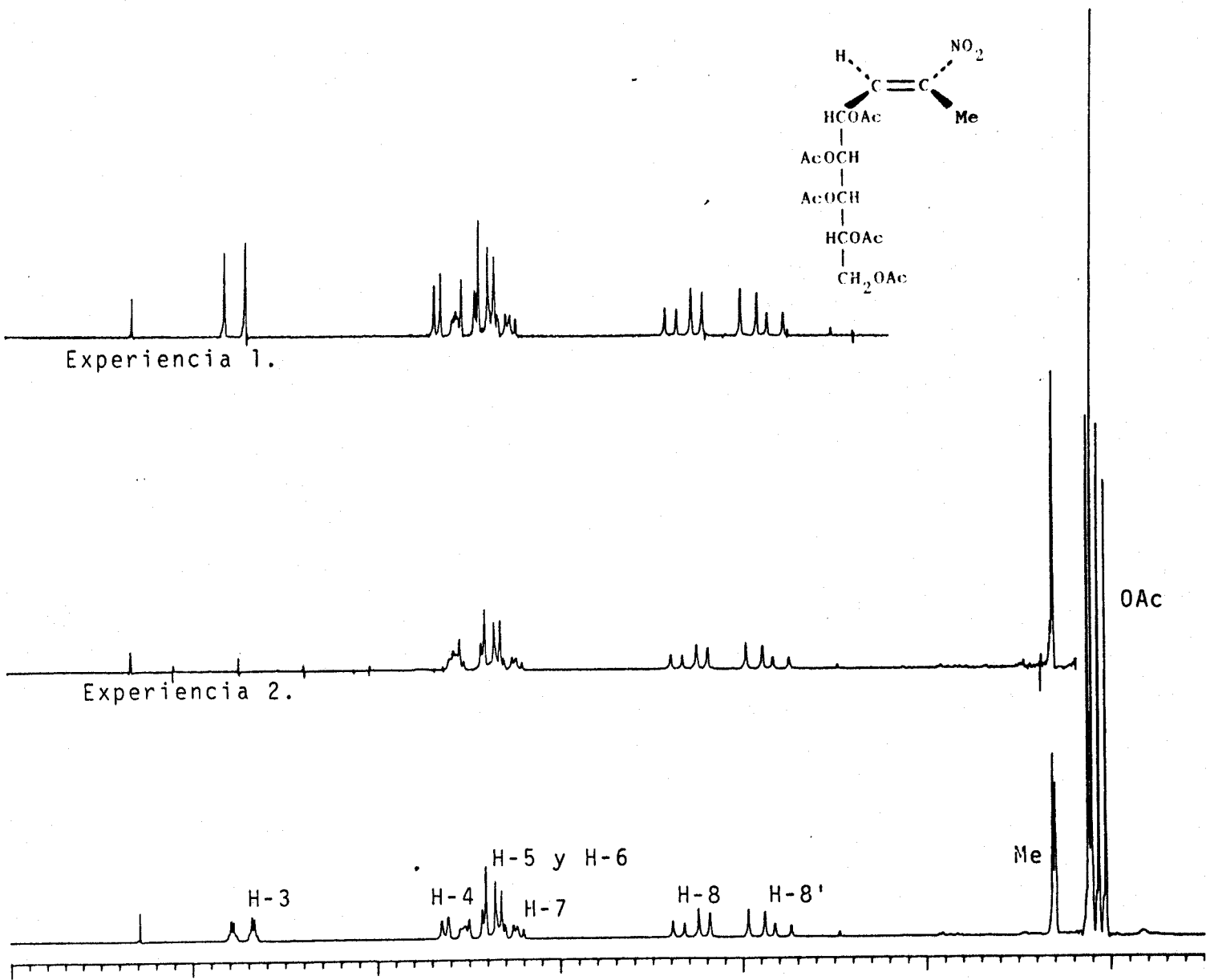
Espectro n° 4: Espectro de <sup>1</sup>H-RMN del compuesto 23 registrado en  $\text{CDCl}_3$  a 80 MHz. (Tablas 8 y 9).



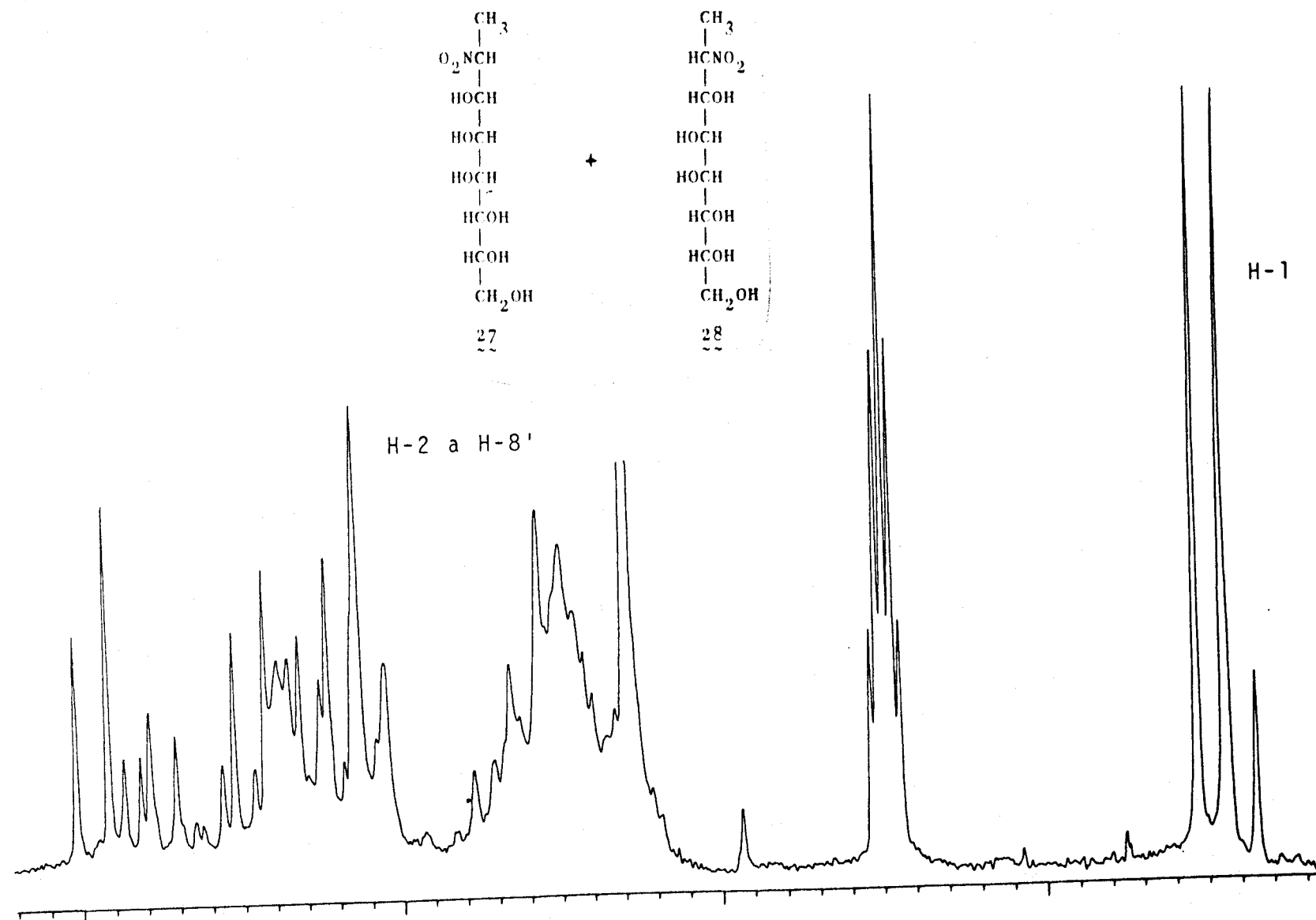
Espectro nº 5: Espectro de <sup>1</sup>H-RMN del compuesto 26 registrado en CDCl<sub>3</sub> a 80 MHz. (Tablas 11 y 12).



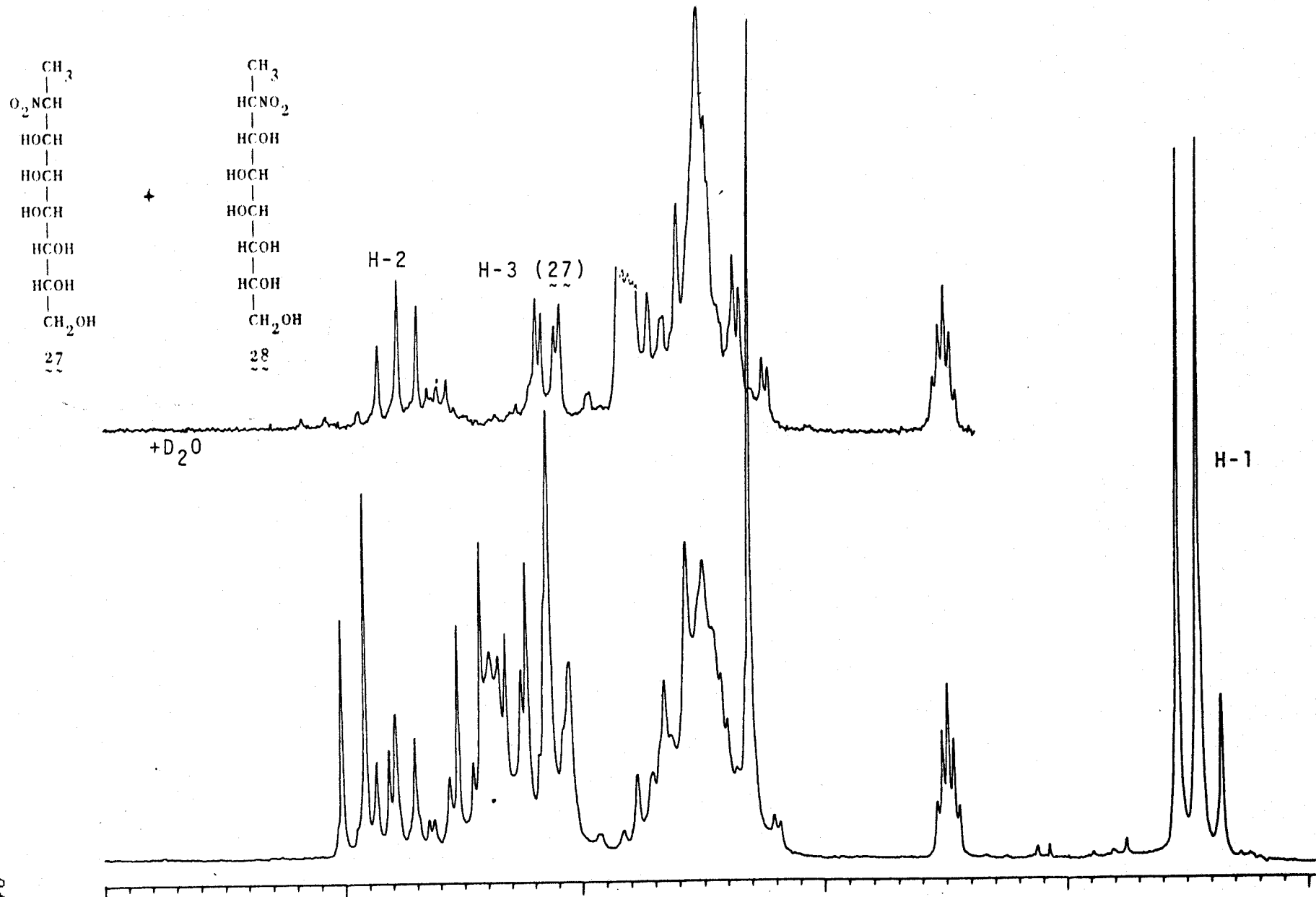
Espectro nº 6: Ampliación del espectro anterior.



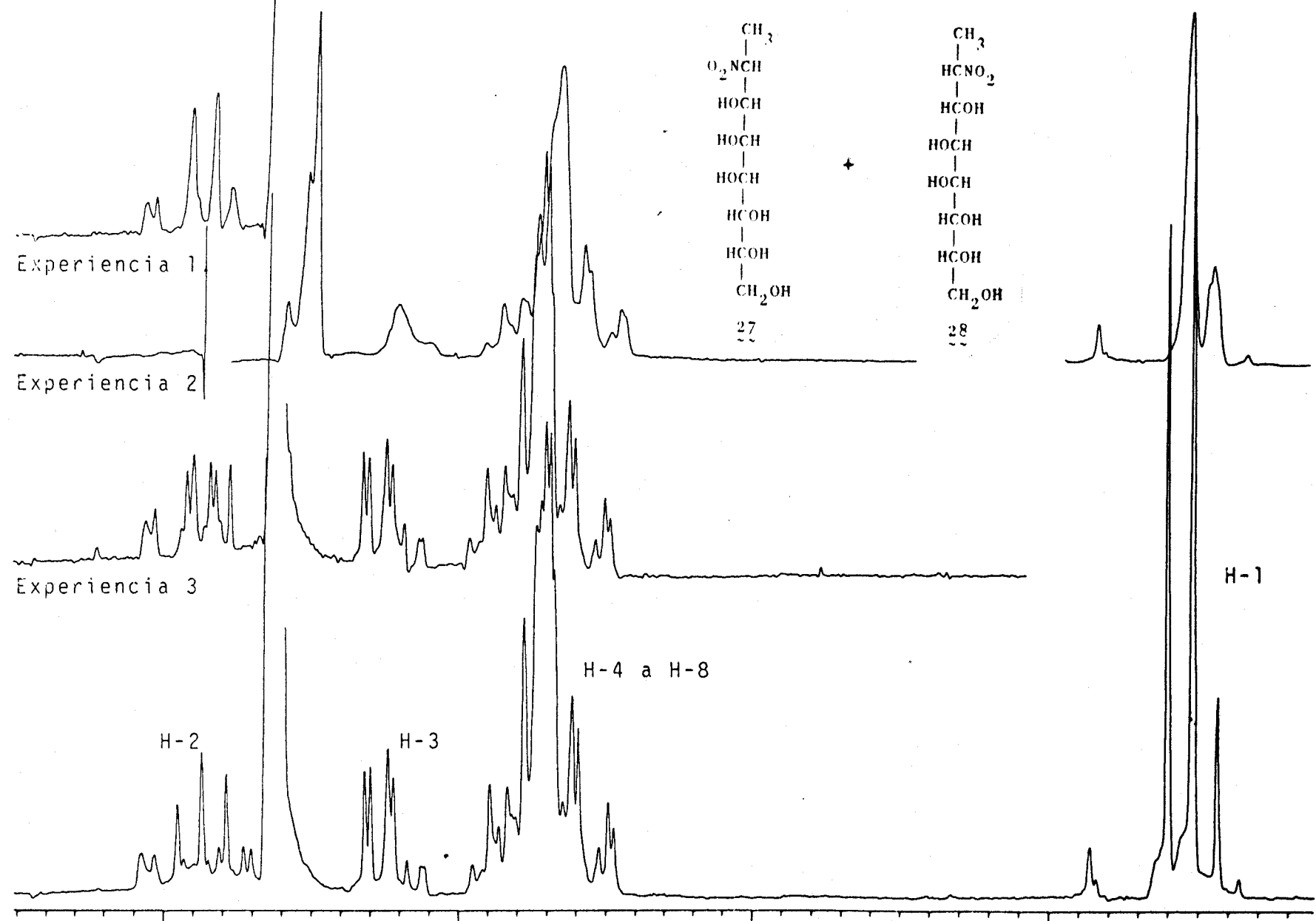
Espectro n° 7: Espectro de <sup>1</sup>H-RMN del compuesto 26 registrado en CDCl<sub>3</sub> a 80 MHz. (Tablas 11 y 12).  
 Experiencia 1: Desacoplamiento spin-spin, irradiación sobre H-1.  
 Experiencia 2: Desacoplamiento spin-spin, irradiación sobre H-3.



Espectro nº 8: Espectro de <sup>1</sup>H-RMN de los compuestos 27 y 28 registrado en DMSO-d<sub>6</sub> a 80 MHz. (Tablas 8 y 9).



Espectro nº 9: Espectro de <sup>1</sup>H-RMN de los compuestos 27 y 28 registrado en DMSO-d<sub>6</sub> a 80 MHz. (Tablas 8 y 9).  
Espectro de <sup>1</sup>H-RMN de los compuestos 27 y 28 registrado después de agitar la muestra con D<sub>2</sub>O.

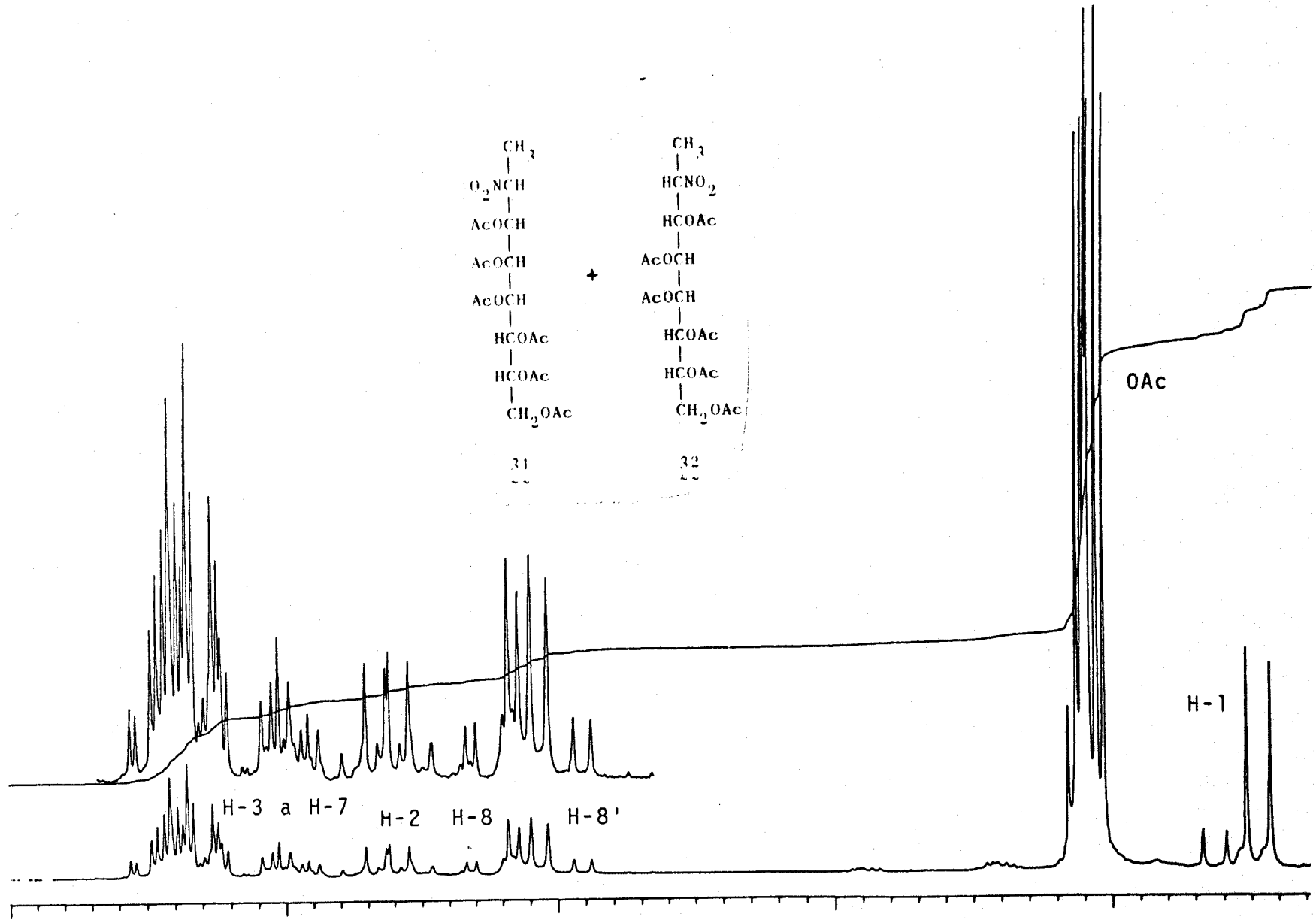


Espectro nº 10: Espectro de <sup>1</sup>H-RMN de los compuestos 27 y 28 registrado en DMSO-d<sub>6</sub> a 80 MHz después de agitar la muestra con D<sub>2</sub>O. (Tablas 8 y 9).

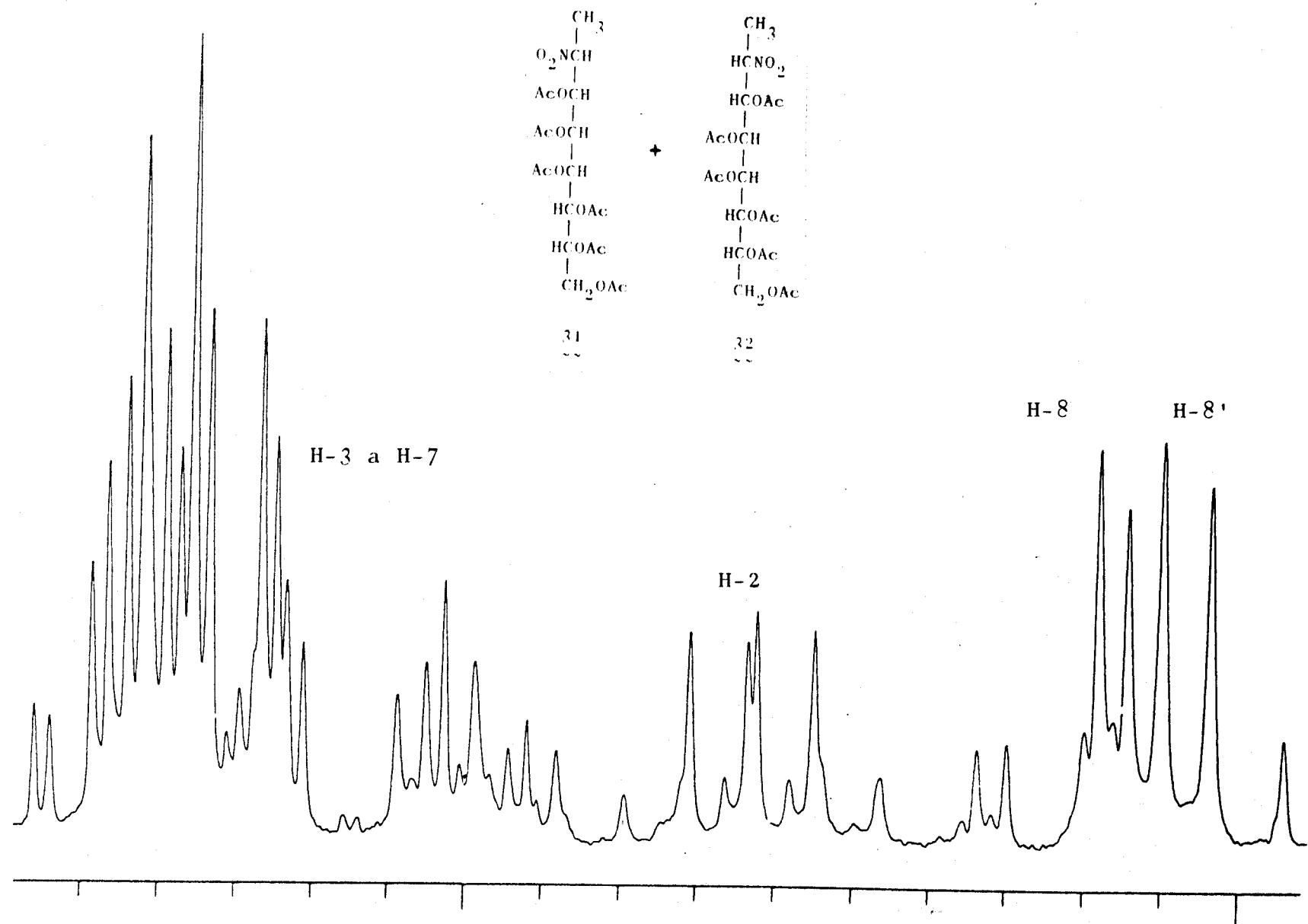
Experiencia 1: Desacoplamiento spin-spin, irradiación sobre H-3.

Experiencia 2: Desacoplamiento spin-spin, irradiación sobre H-2.

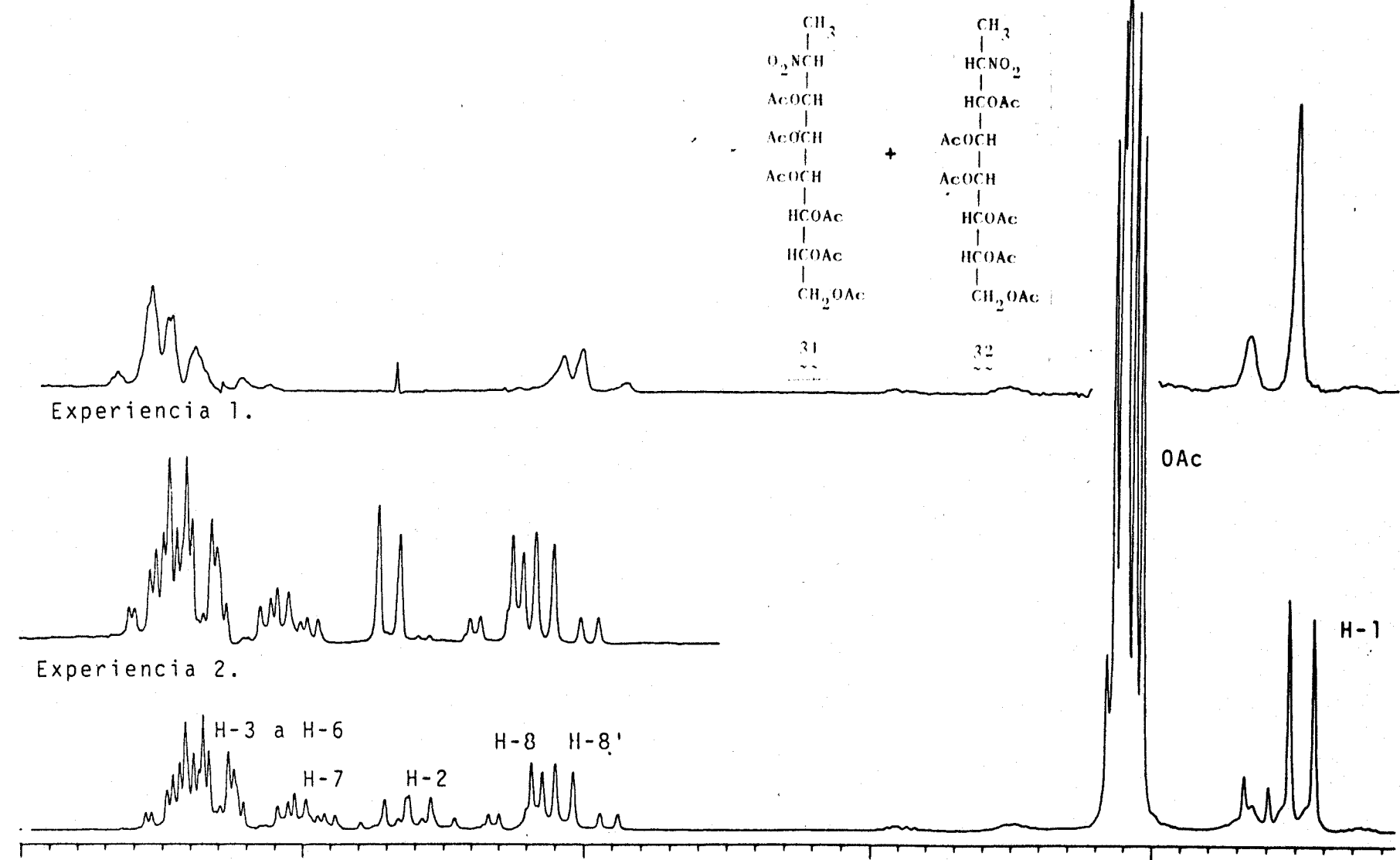
Experiencia 3: Desacoplamiento spin-spin, irradiación sobre H-1.



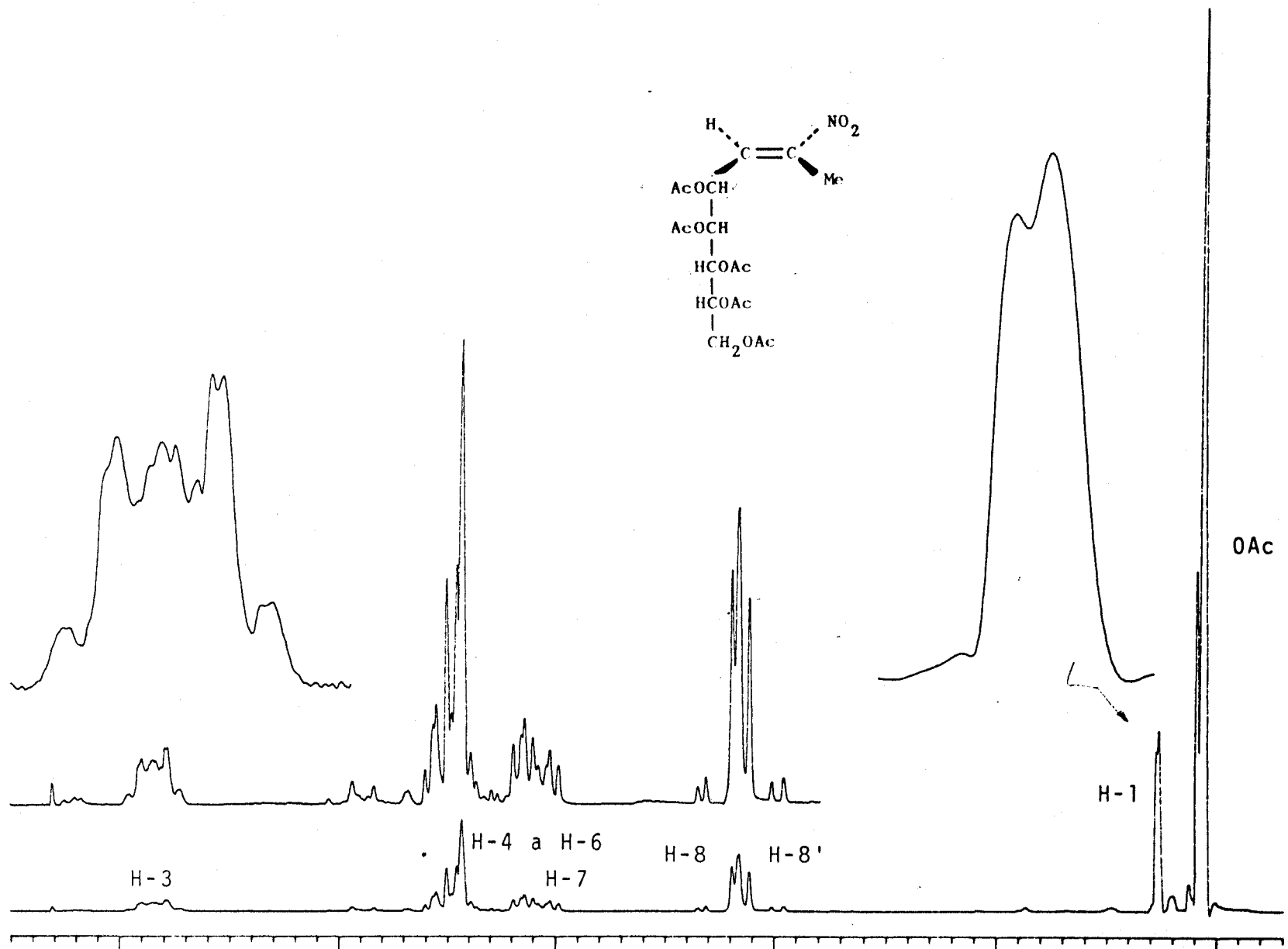
Espectro nº 11: Espectro de <sup>1</sup>H-RMN de los compuestos 31 y 32 registrado en CDCl<sub>3</sub> a 80 MHz. (Tablas 8 y 9).



Espectro nº 12: Ampliación del espectro anterior.



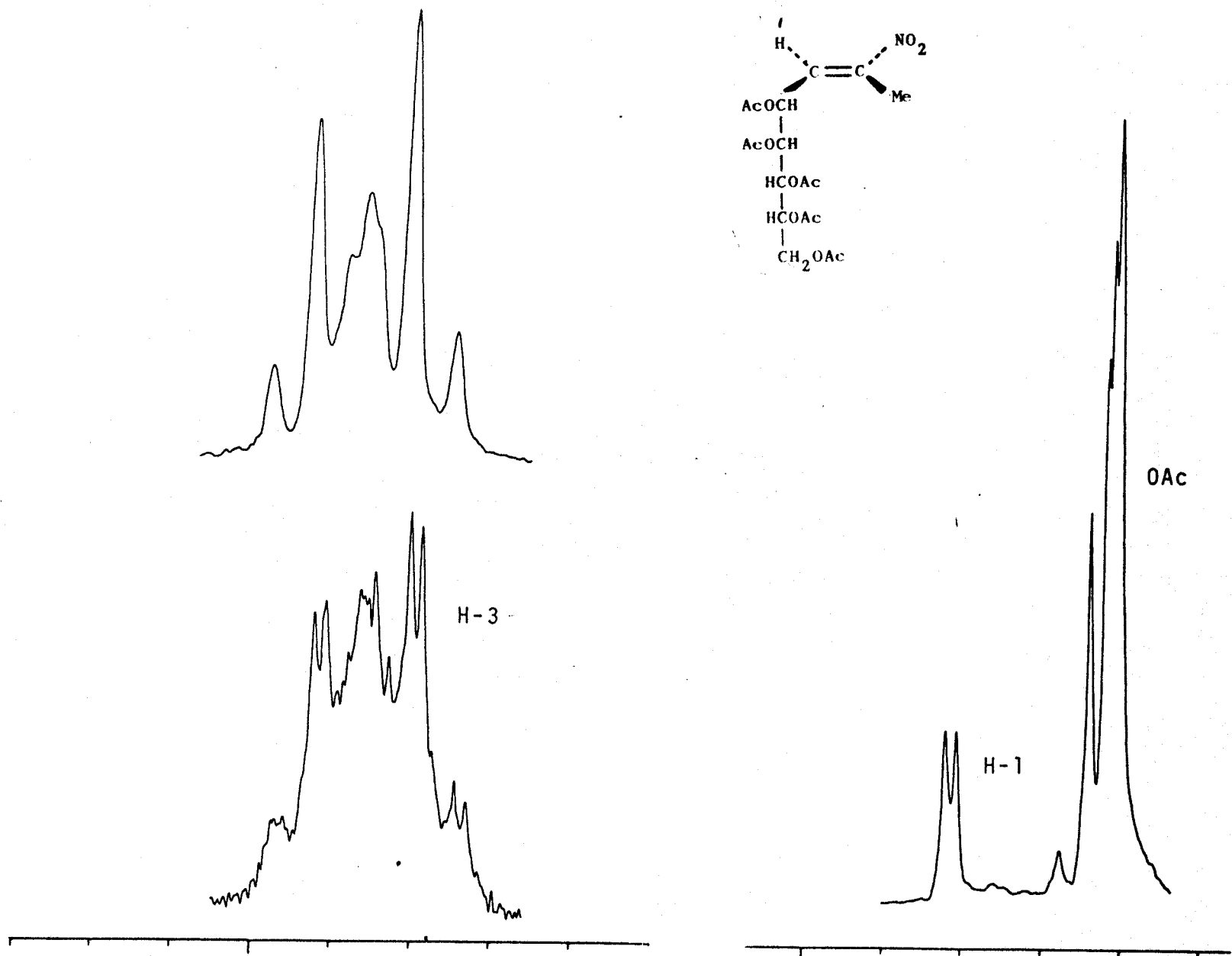
Espectro nº 13: Espectro de  $^1\text{H}$ -RMN de los compuestos 31 y 32 registrado en  $\text{CDCl}_3$  a 80 MHz. (Tablas 8 y 9).  
 Experiencia 1: Desacoplamiento spin-spin, irradiación sobre H-2.  
 Experiencia 2: Desacoplamiento spin-spin, irradiación sobre H-1.



Espectro nº 14: Espectro de <sup>1</sup>H-RMN del compuesto 35 registrado en CDCl<sub>3</sub> a 80 MHz. (Tablas 11 y 12).

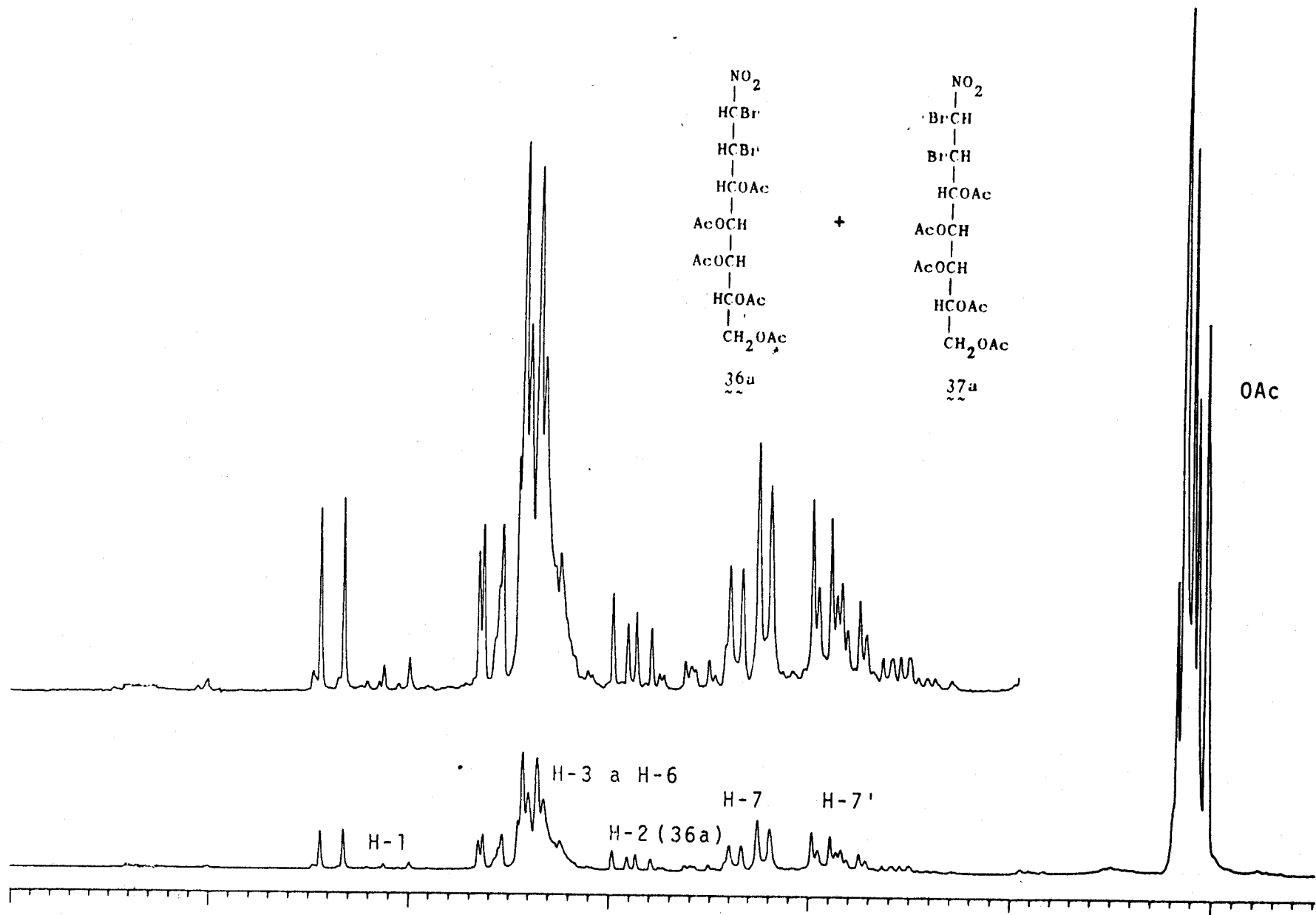
**Apéndice I**

<sup>2</sup>H-RMN

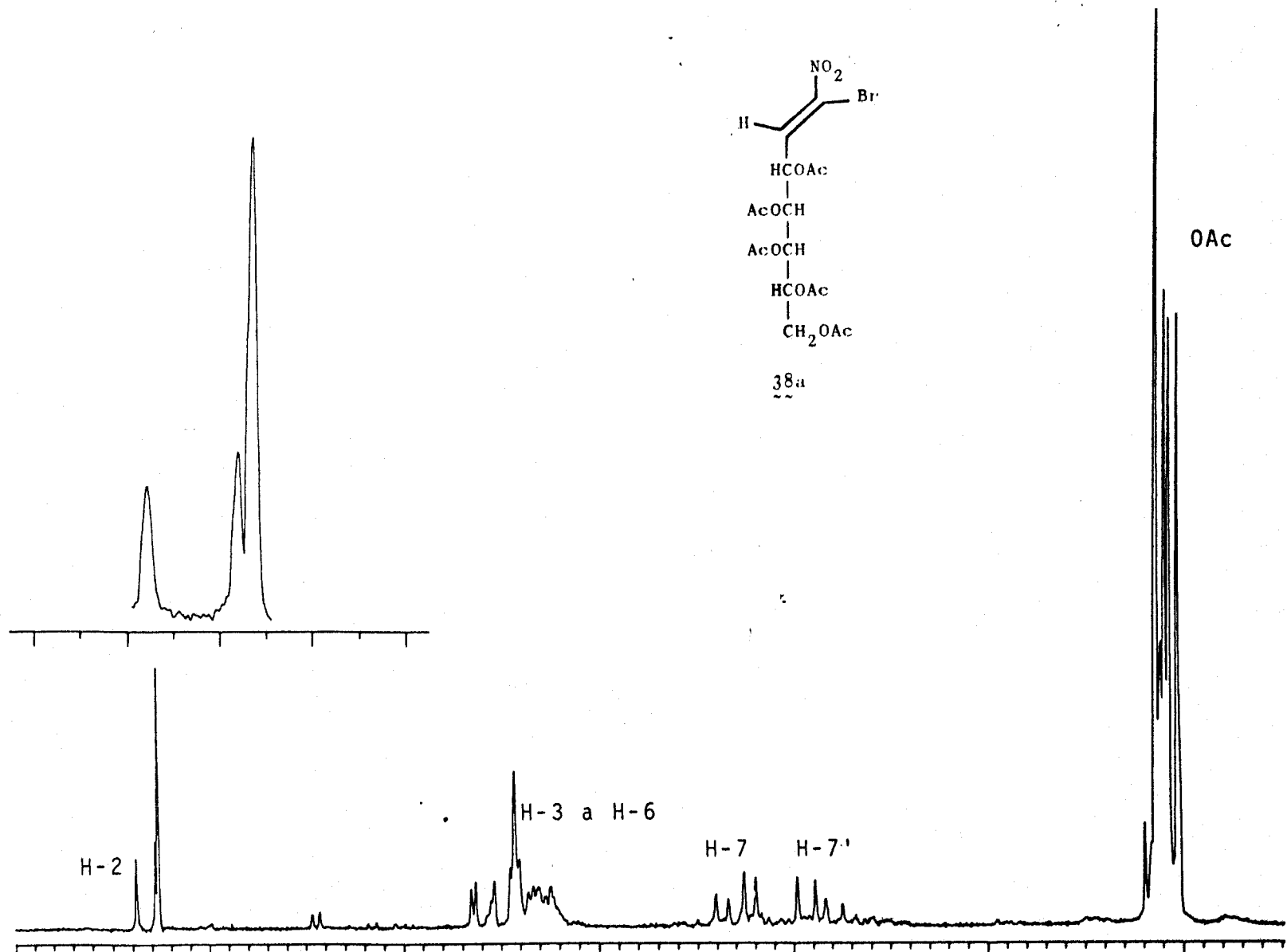


Especro nº 15: Espectro de <sup>1</sup>H-RMN del compuesto 35 registrado en CDCl<sub>3</sub> a 80 MHz

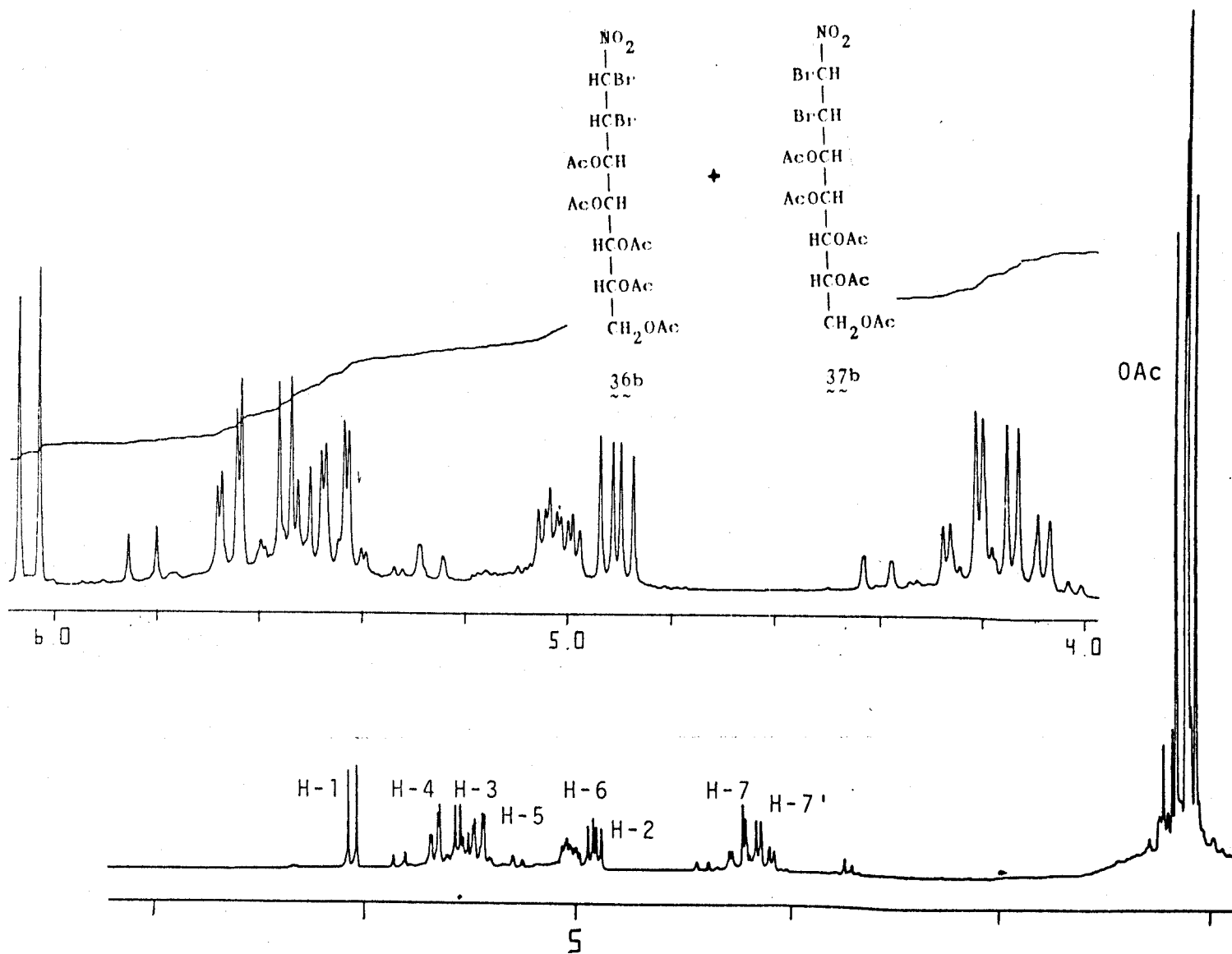
Desacoplamiento spin-spin, irradiación sobre H-1.



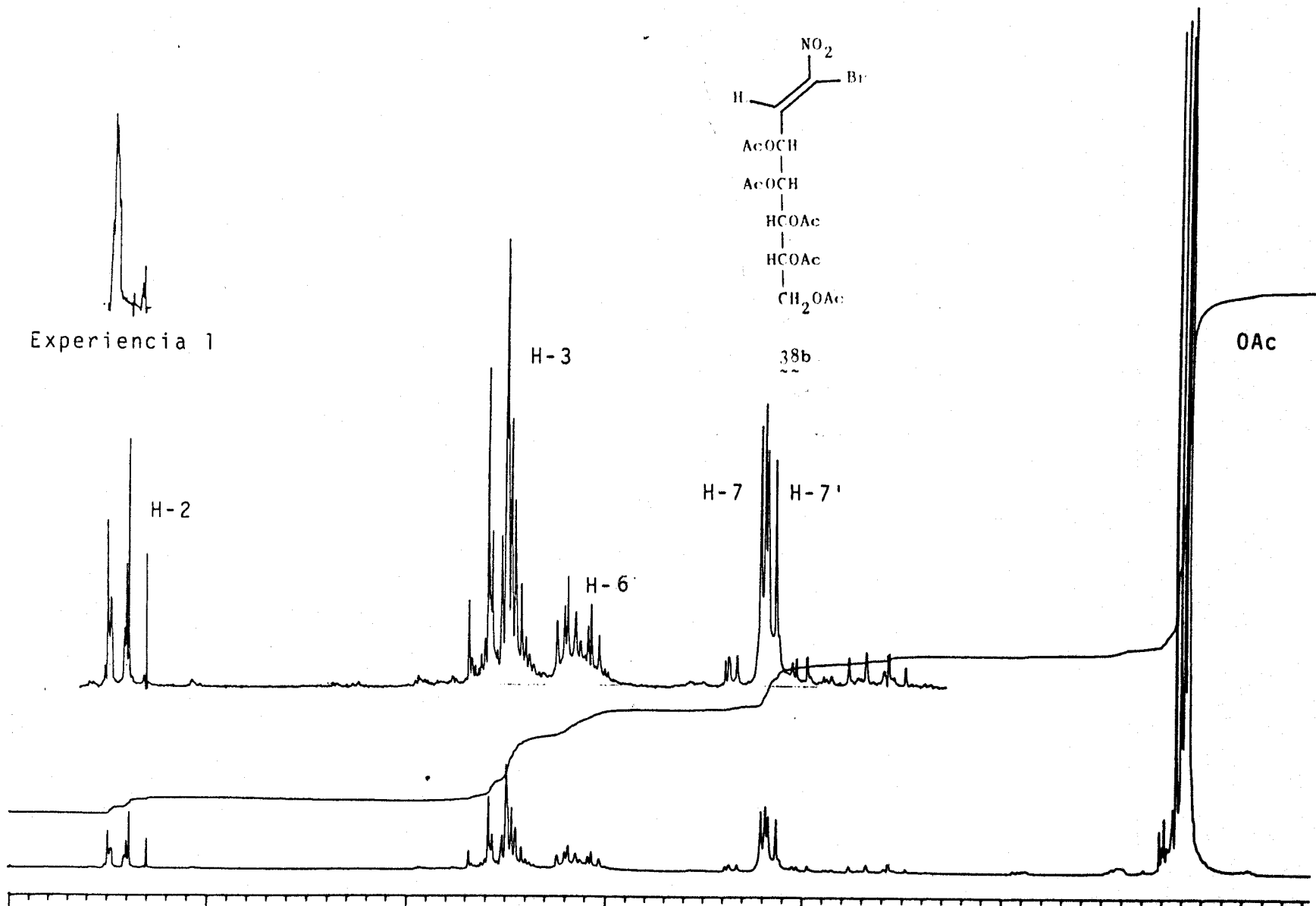
Espectro nº 16: Espectro de  $^1H$ -RMN de los compuestos 36a y 37a registrado en  $\text{CDCl}_3$  a 80 MHz. (Tablas 14 y 15).



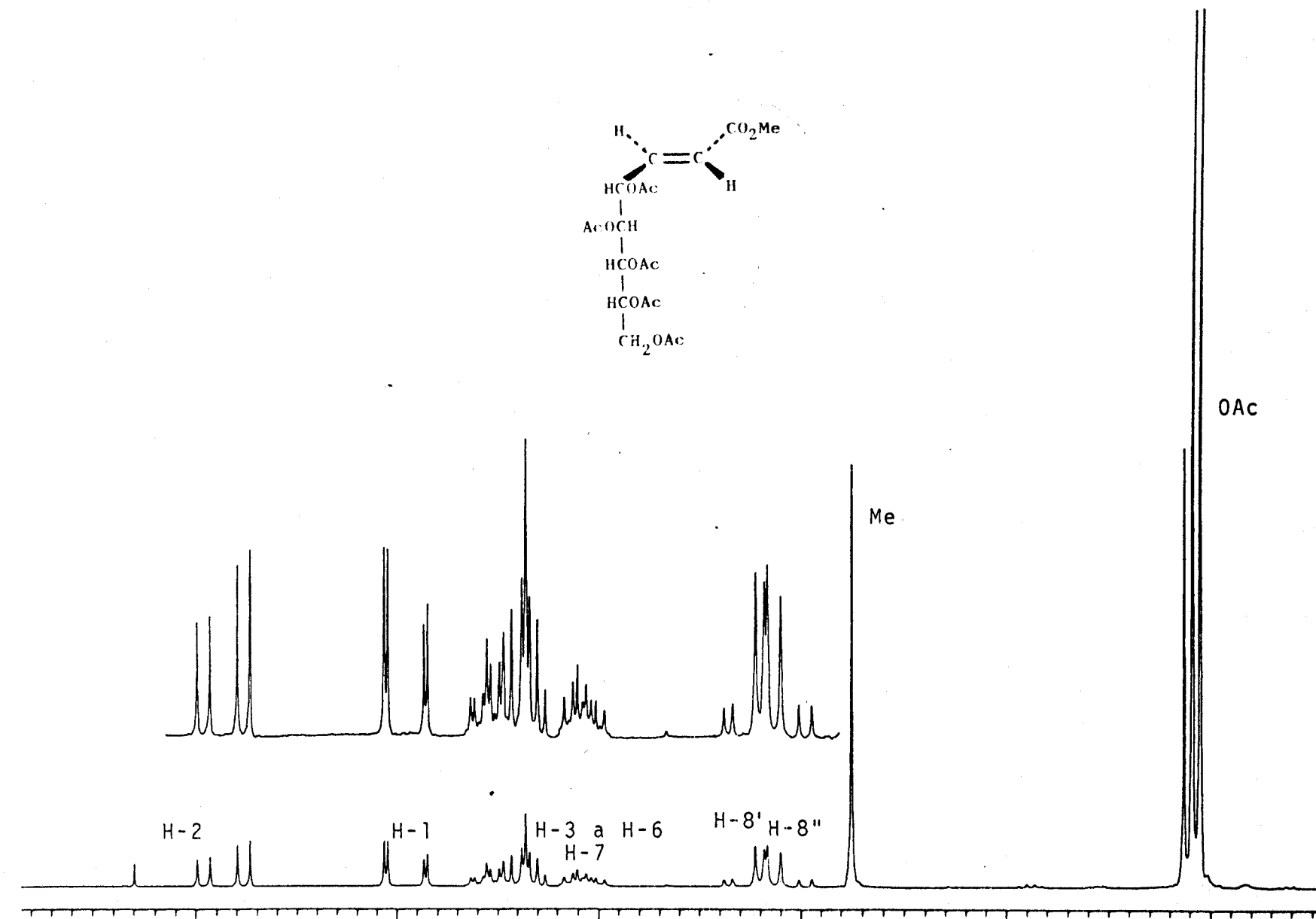
Espectro nº 17: Espectro de <sup>1</sup>H-RMN del compuesto 38a registrado en CDCl<sub>3</sub> a 80 MHz. (Tablas 11 y 12).



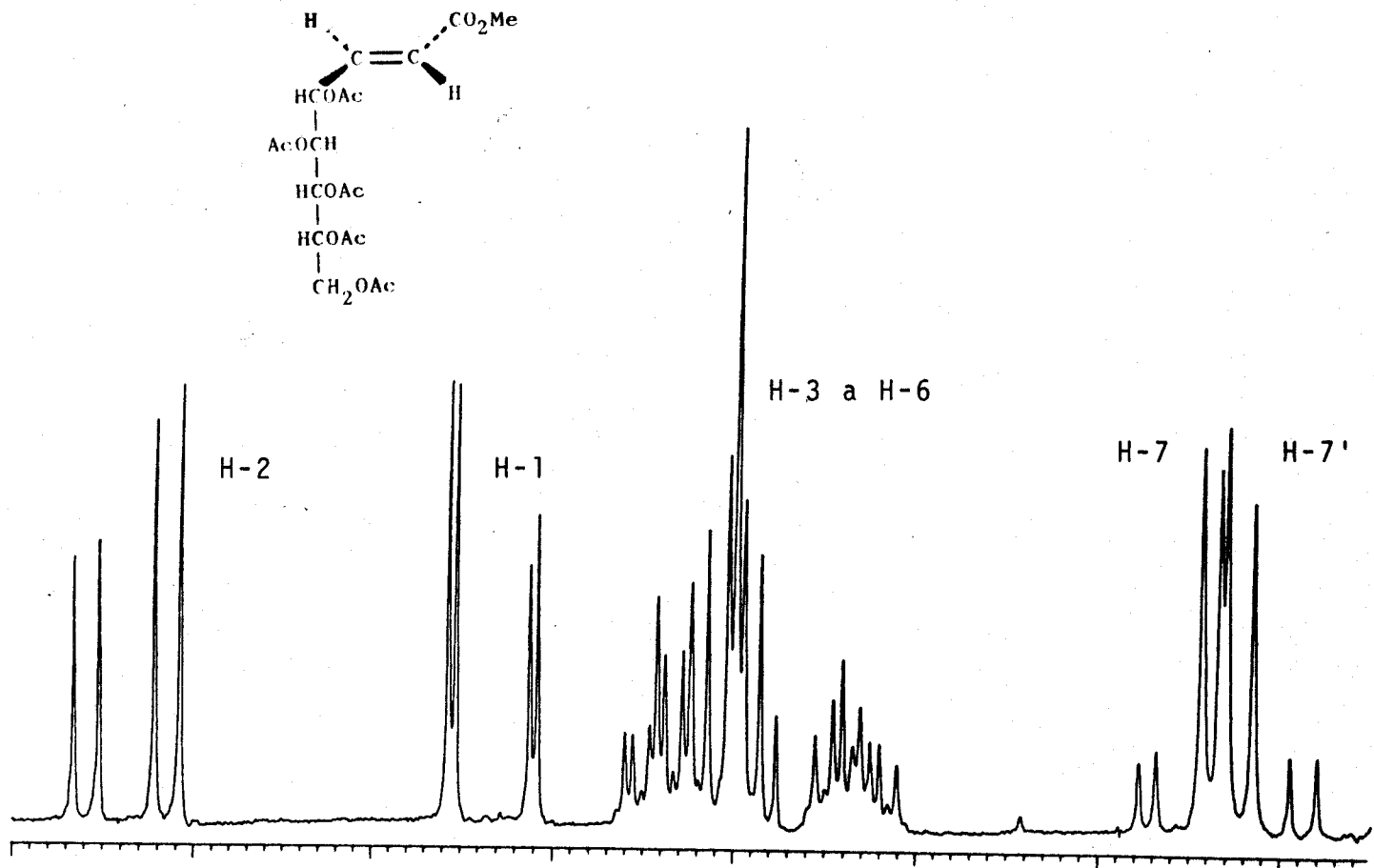
Espectro nº 18: Espectro de  $^1H$ -RMN de los compuestos 36b y 37b registrado en  $CDCl_3$  a 200 MHz. (Tablas 14 y 15).



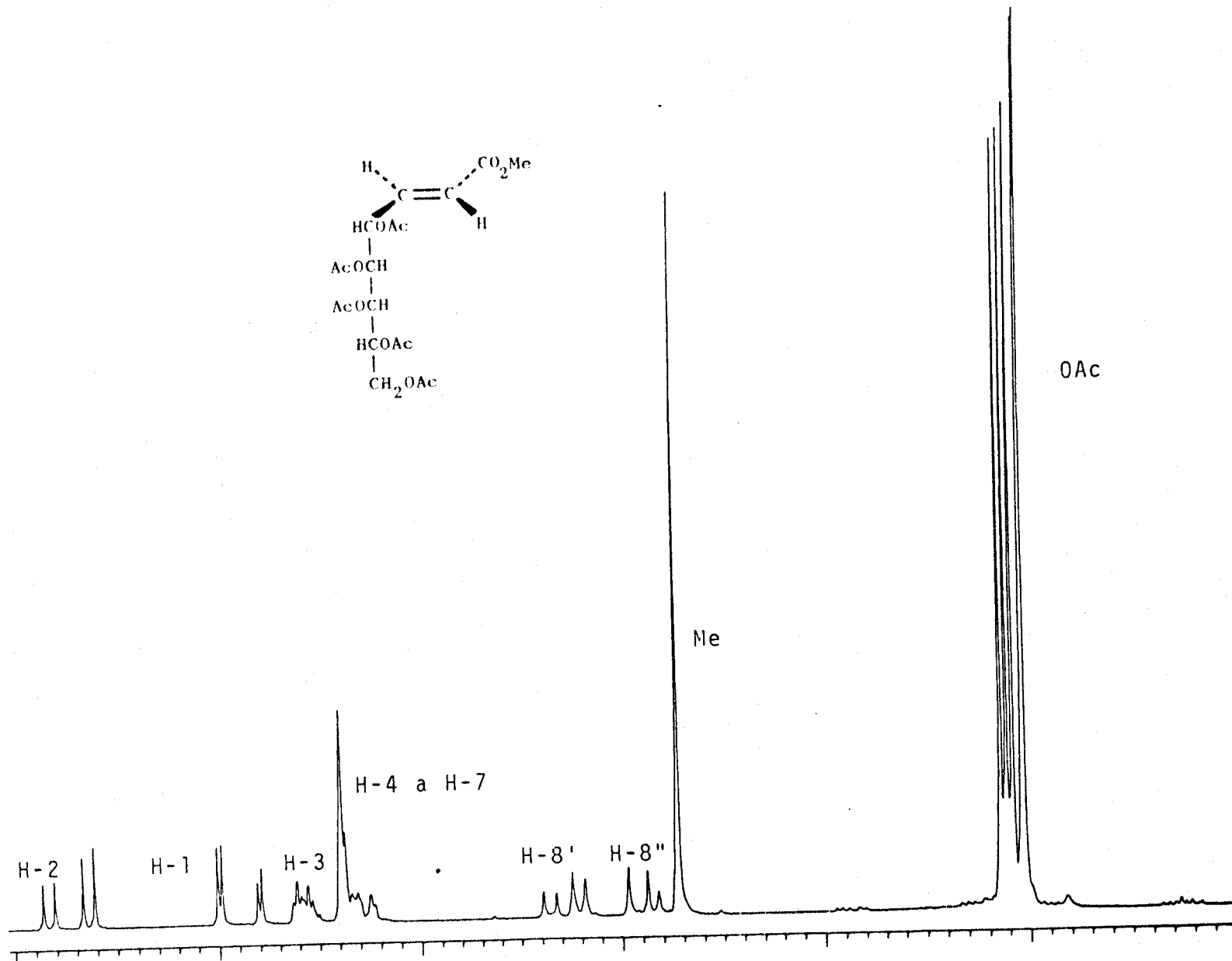
Espectro n° 19: Espectro de <sup>1</sup>H-RMN del compuesto 38b registrado en CDCl<sub>3</sub> a 80 MHz. (Tablas 11 y 12). Experiencia 1: Desacoplamiento spin-spin, irradiación sobre H-3.



Espectro n° 20: Espectro de  $^1\text{H}$ -RMN del compuesto 64 registrado en  $\text{CDCl}_3$  a 80 MHz. (Tablas 17 y 18).



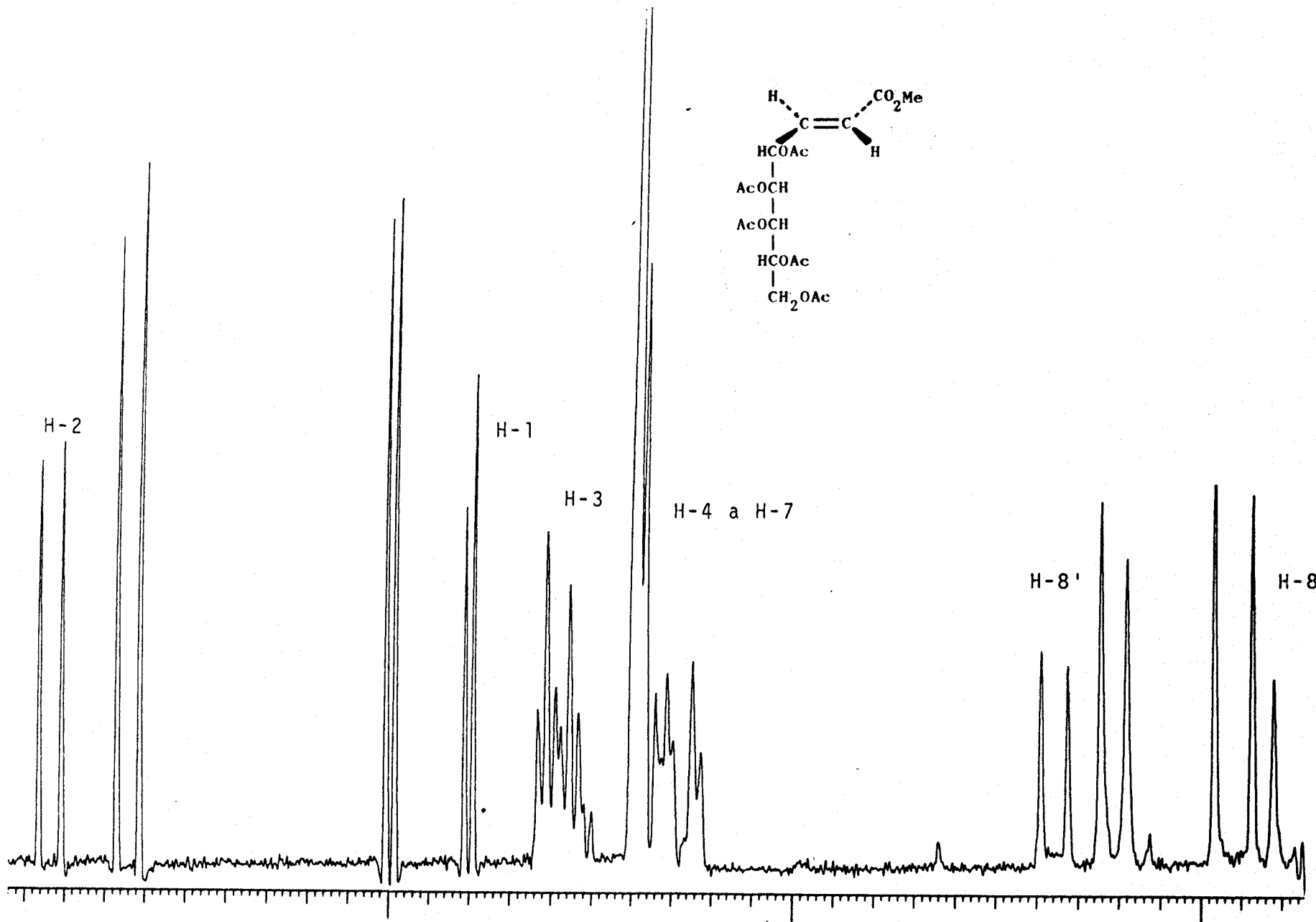
Espectro nº 21: Ampliación del espectro anterior.



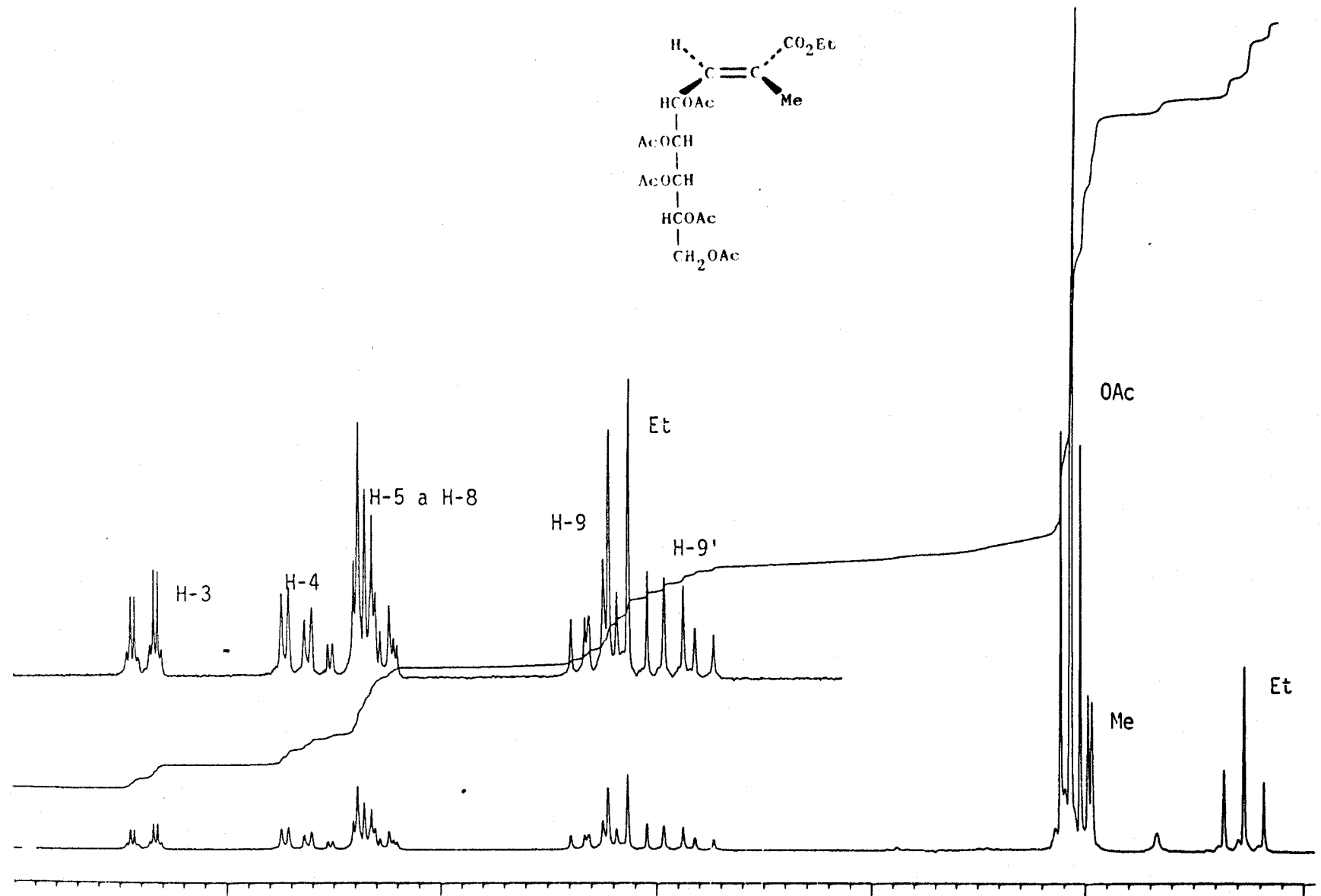
Espectro n° 22: Espectro de <sup>1</sup>H-RMN del compuesto 66 registrado en  $\text{CDCl}_3$  a 80 MHz. (Tablas 17 y 18).

**Apéndice I**

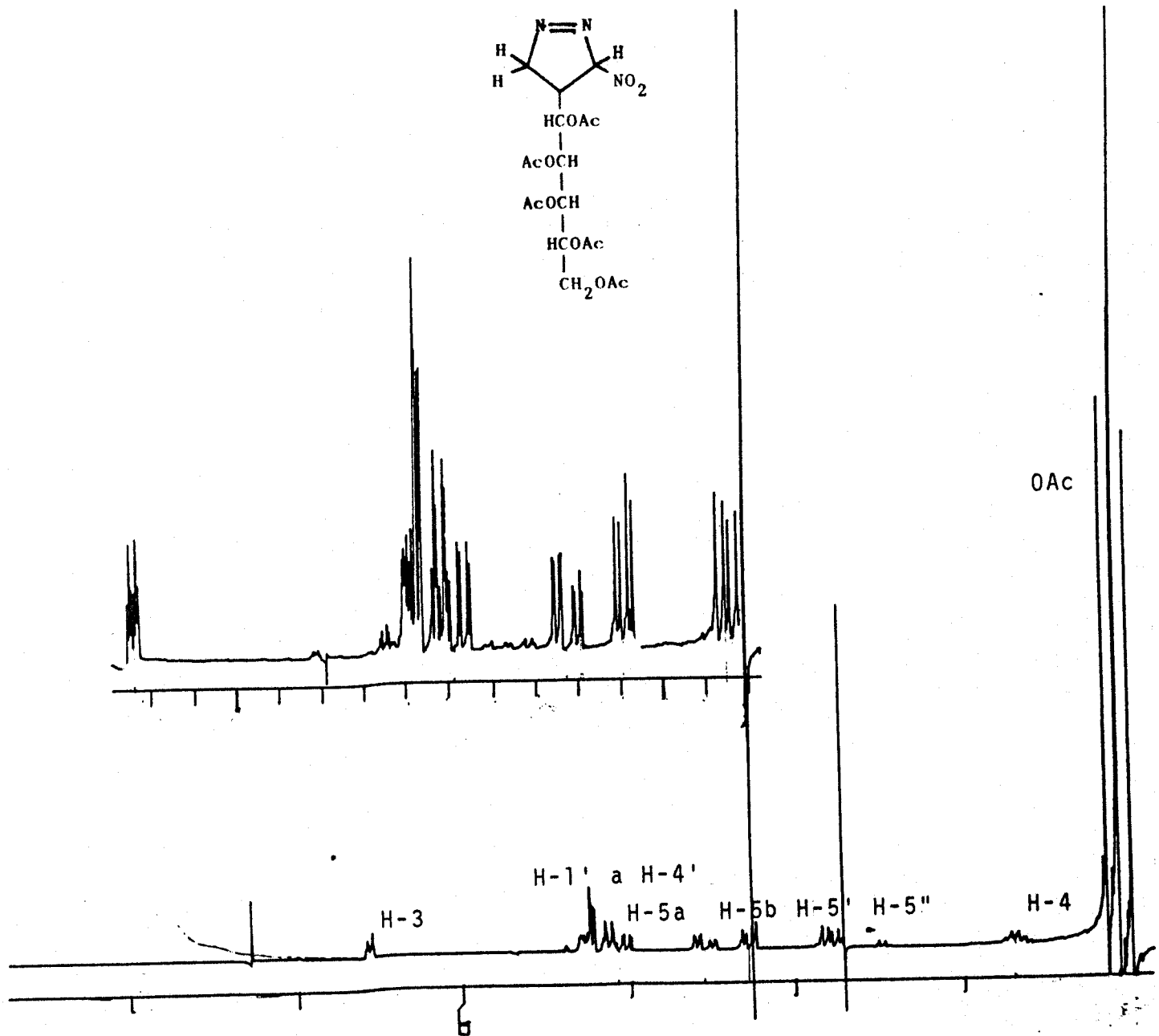
**$^2H$ -RMN**

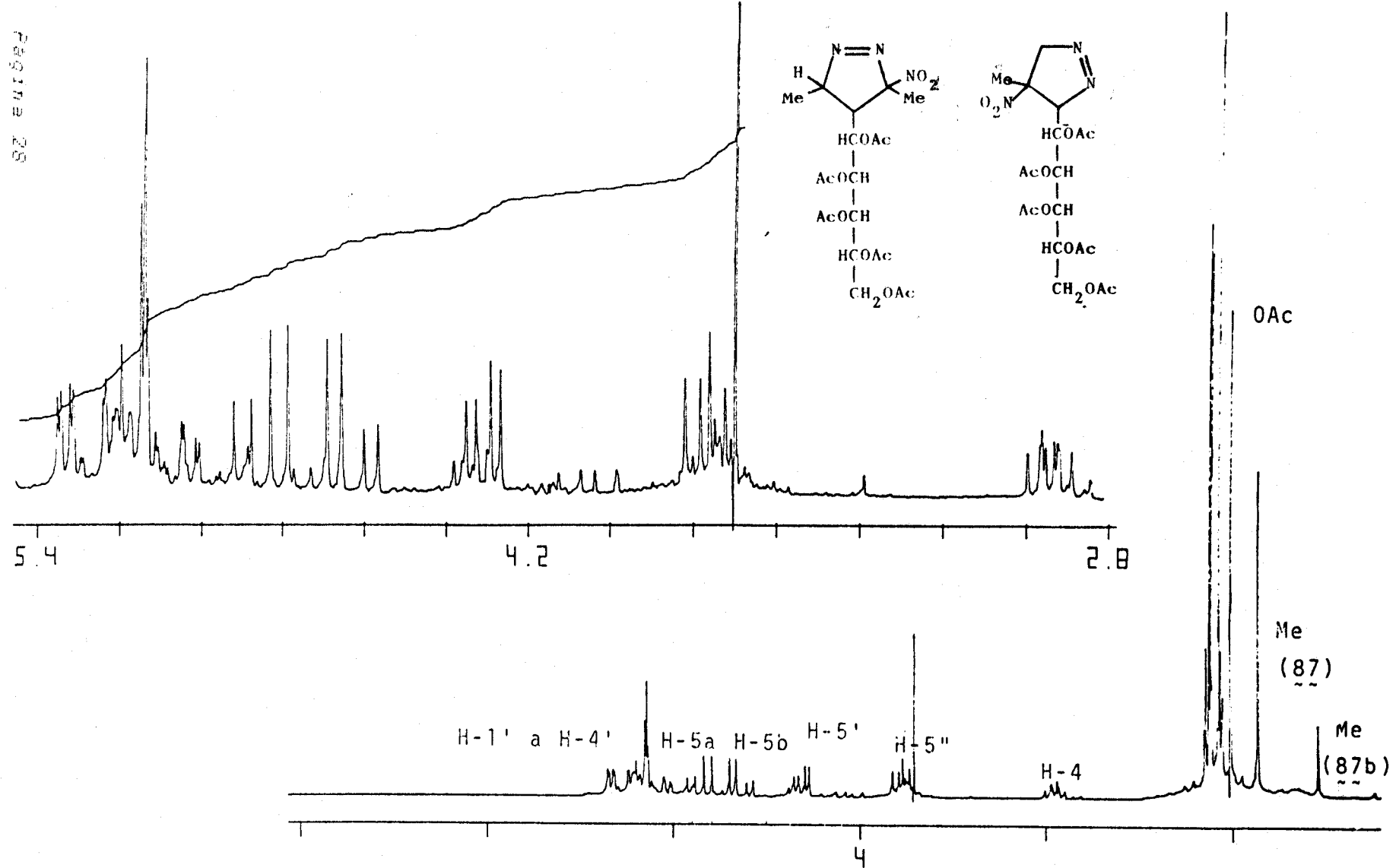


Espectro nº 23: Ampliación del espectro anterior.

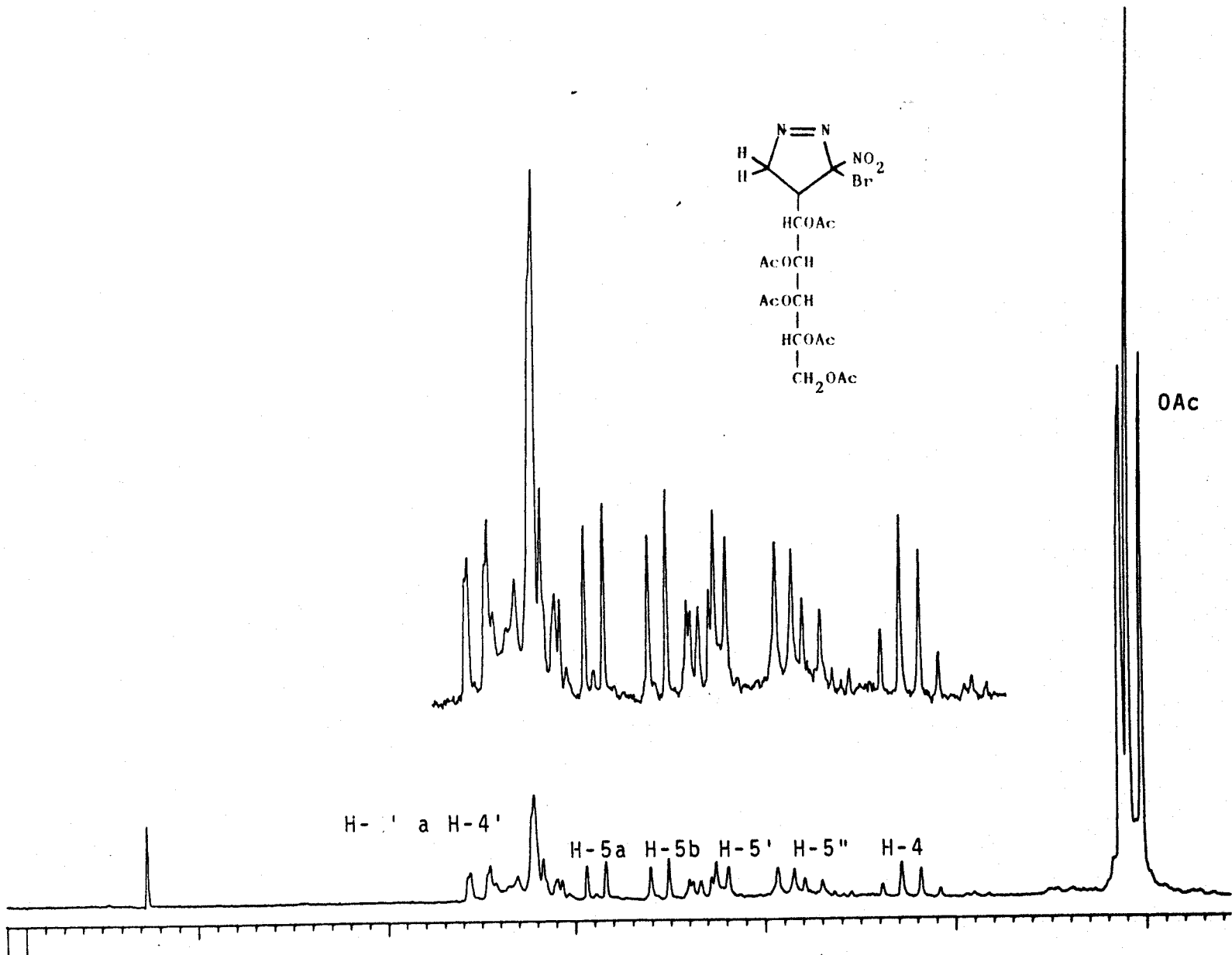


Espectro nº 24: Espectro de <sup>1</sup>H-RMN del compuesto 68 registrado en CDCl<sub>3</sub> a 80 MHz. (Tablas 17 y 18).

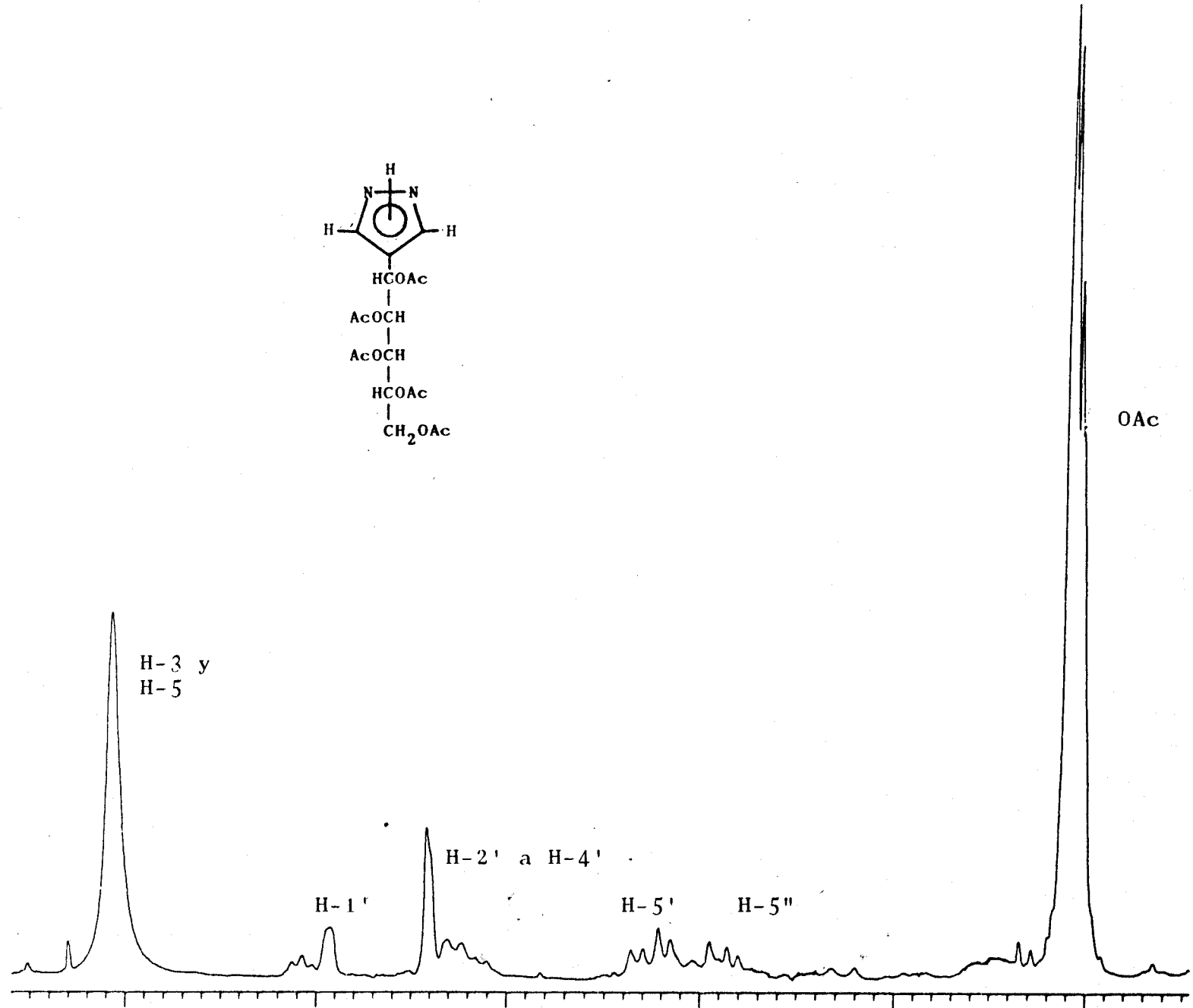
Espectro nº 25: Espectro de <sup>1</sup>H-RMN del compuesto 86 registrado en  $\text{CDCl}_3$  a 200 MHz. (Tablas 20 y 21).



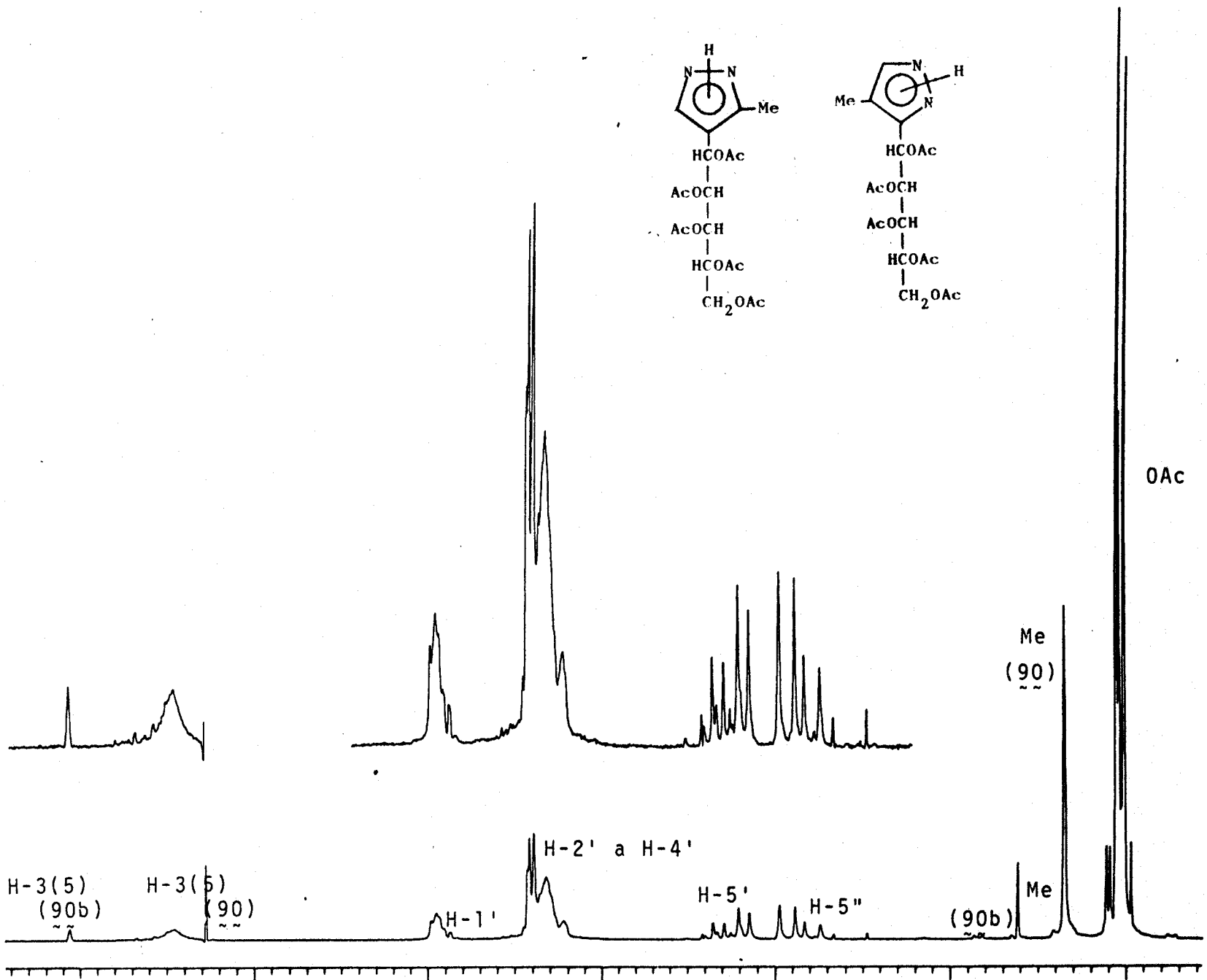
Espectro nº 26: Espectro de <sup>1</sup>H-RMN de los compuestos 87 y 87b registrado en CDCl<sub>3</sub> a 200 MHz. (Tablas 20 y 21).



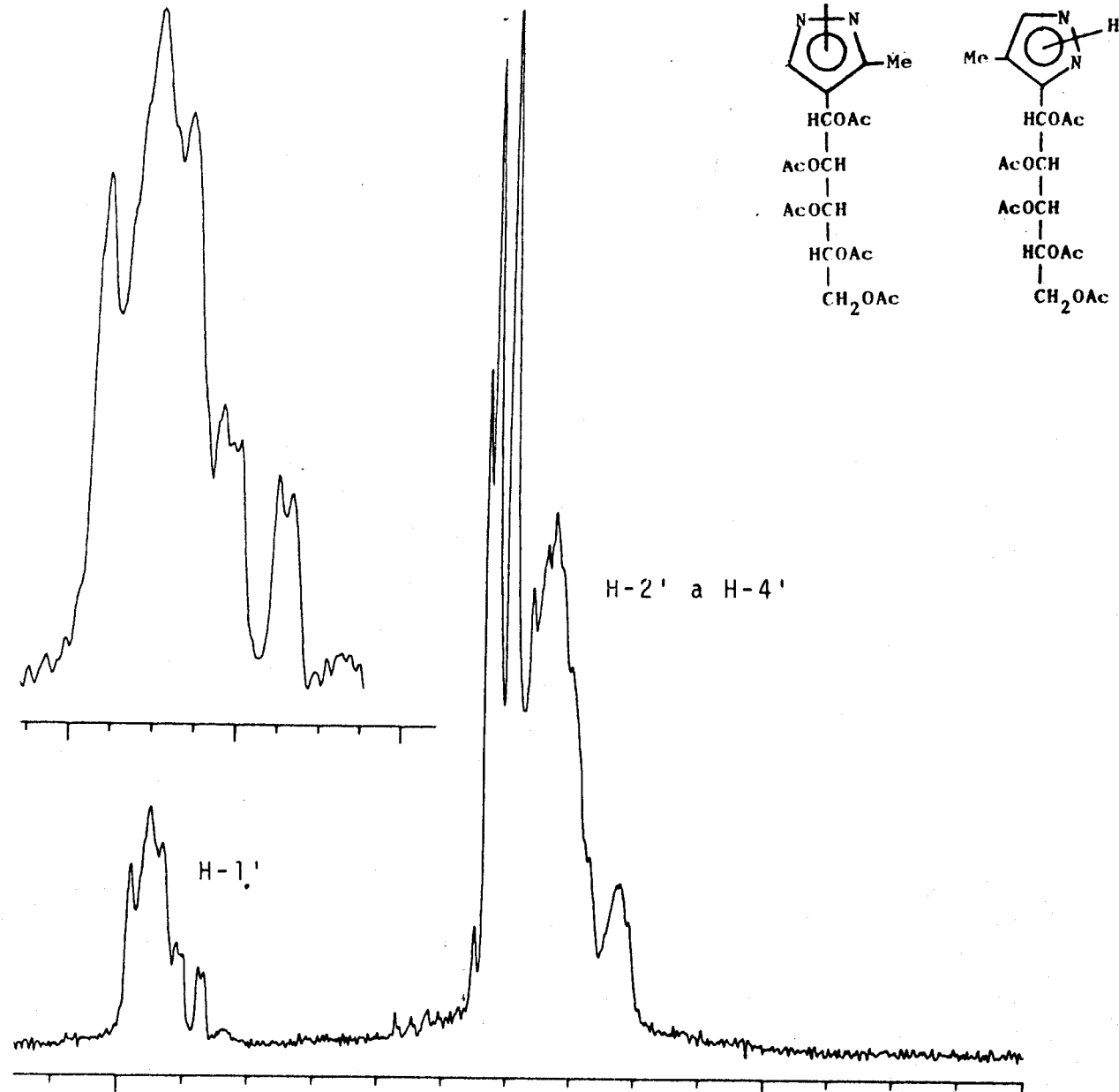
Espectro nº 27: Espectro de <sup>1</sup>H-RMN del compuesto 88 registrado en CDCl<sub>3</sub> a 80 MHz. (Tablas 20 y 21).



Espectro nº 28: Espectro de  $^1H$ -RMN del compuesto 89 registrado en  $\text{CDCl}_3$  a 80 MHz. (Tablas 23 y 24).



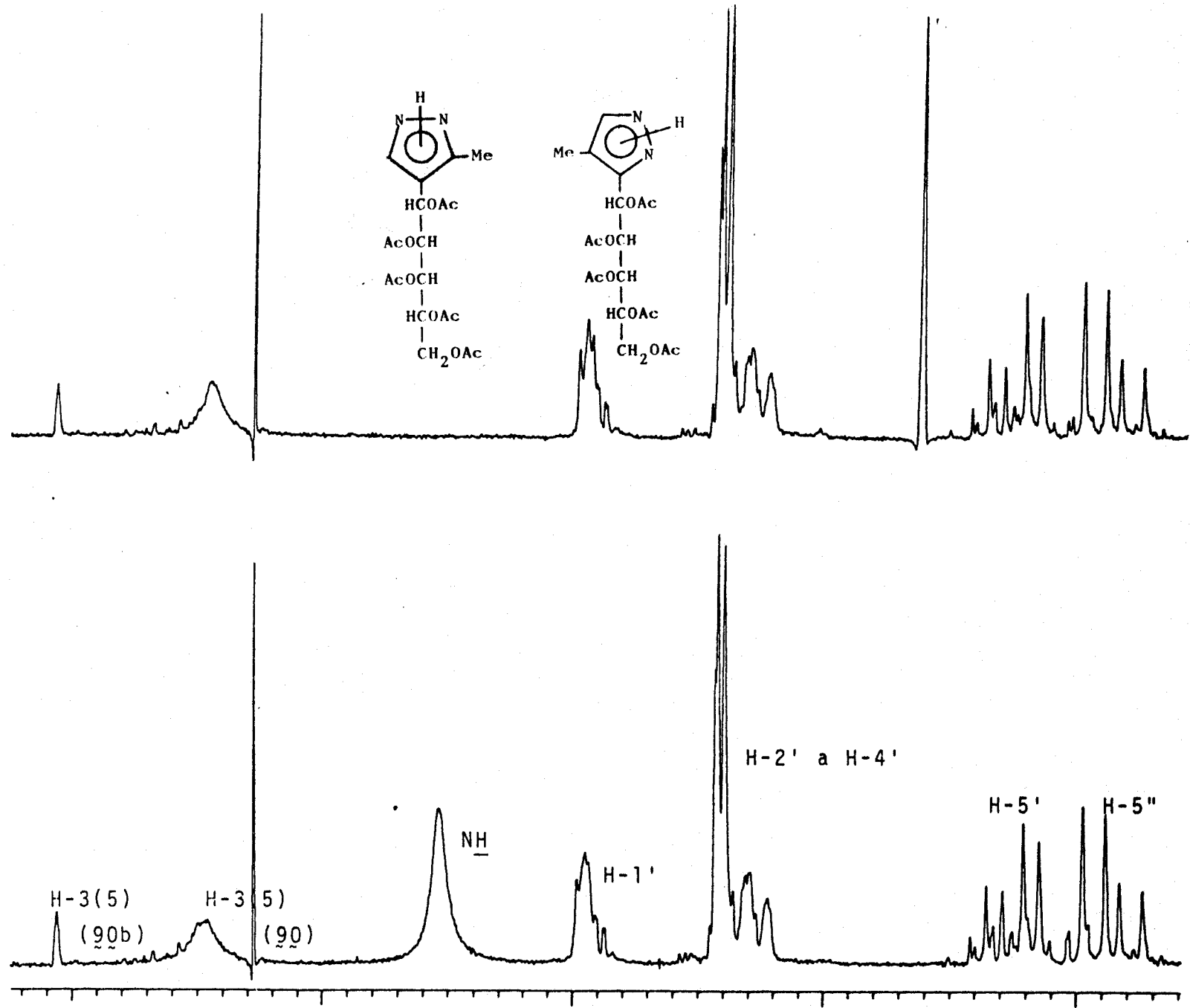
Espectro nº 29: Espectro de <sup>1</sup>H-RMN de los compuestos 90 y 90b registrado en CDCl<sub>3</sub> a 80 MHz. (Tablas 23 y 24).



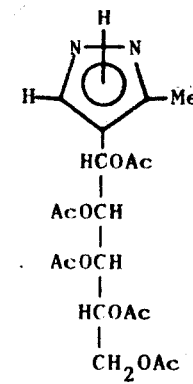
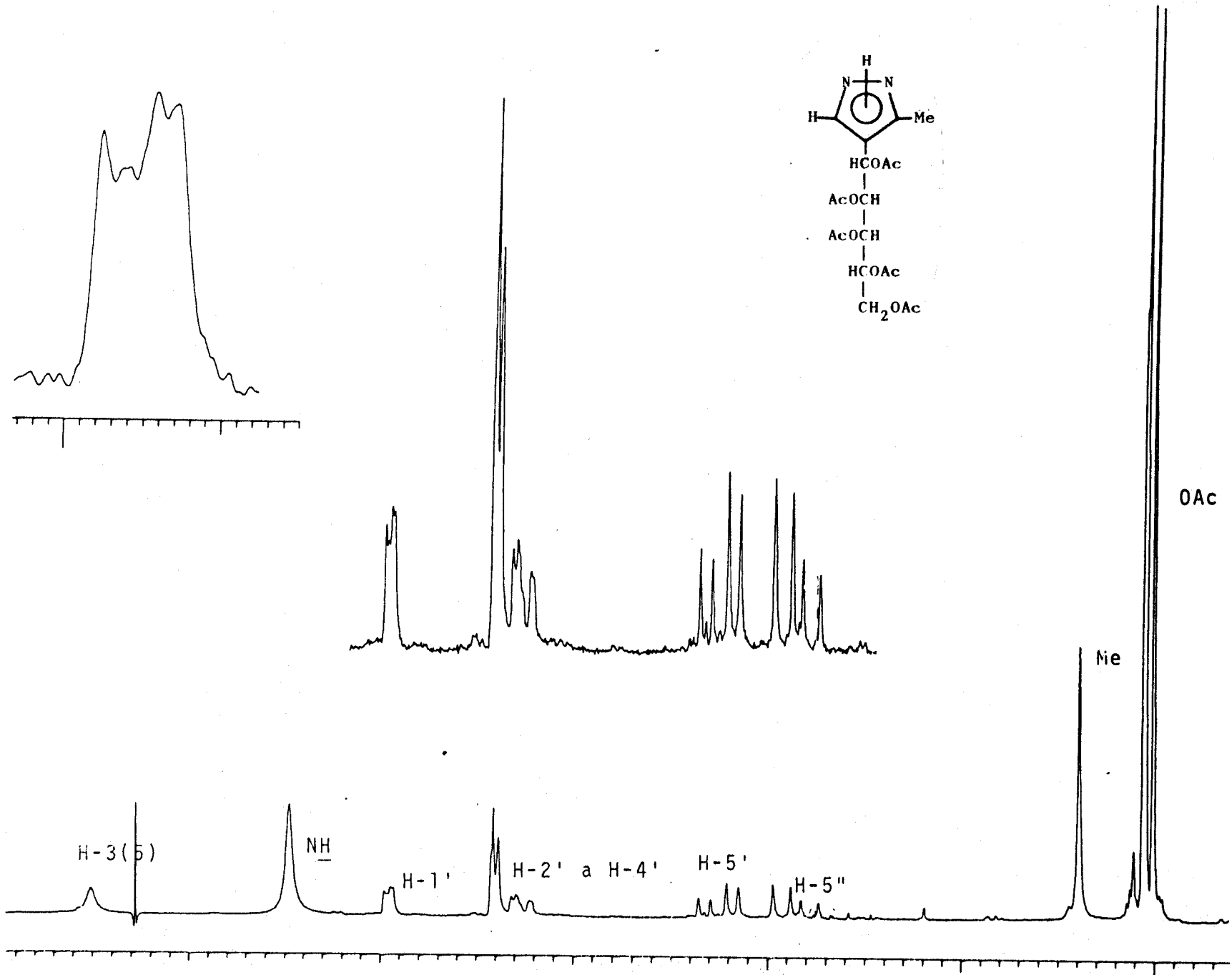
Espectro nº 30: Ampliación del espectro anterior.

Apéndice I

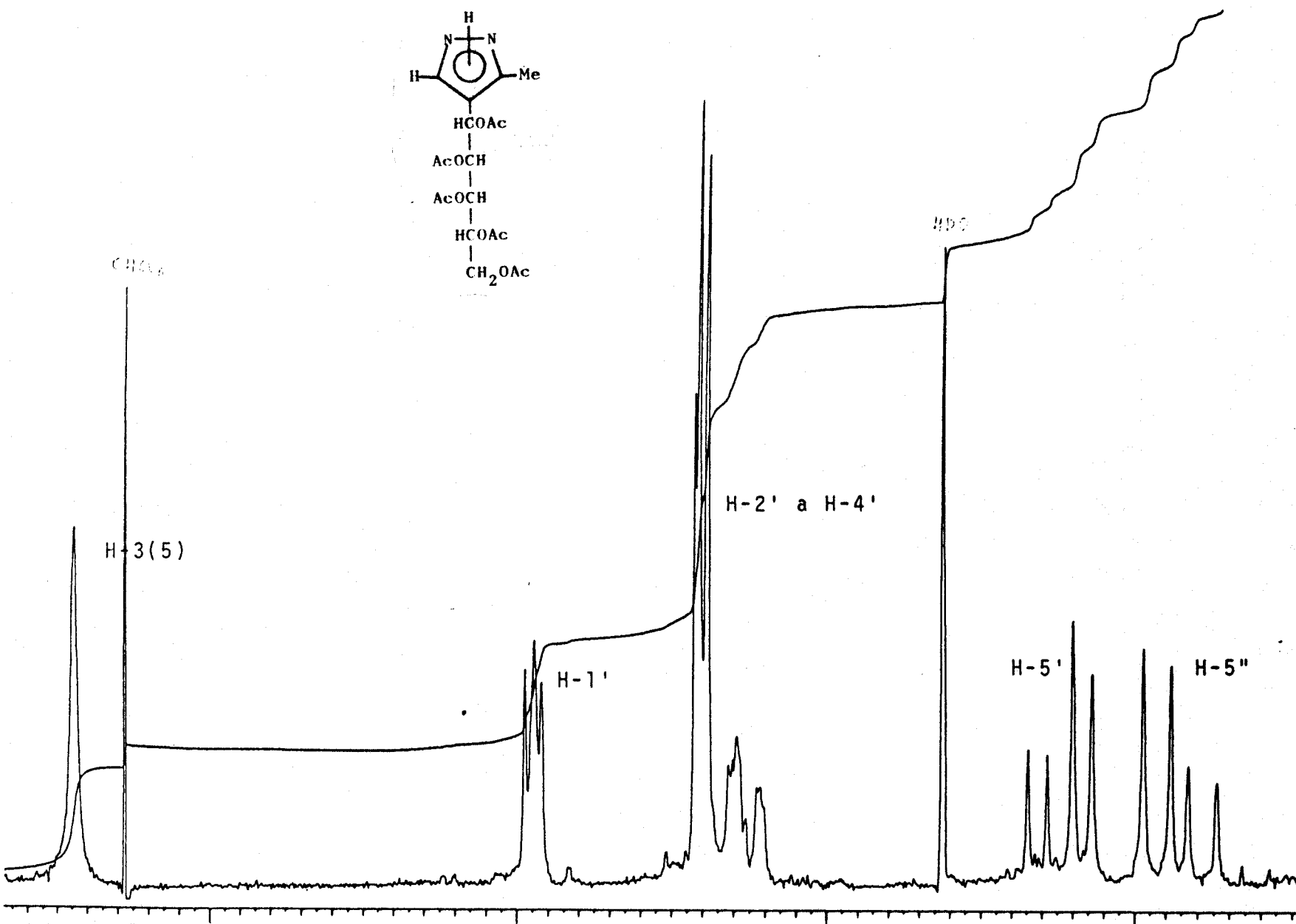
<sup>2</sup>H-RMN

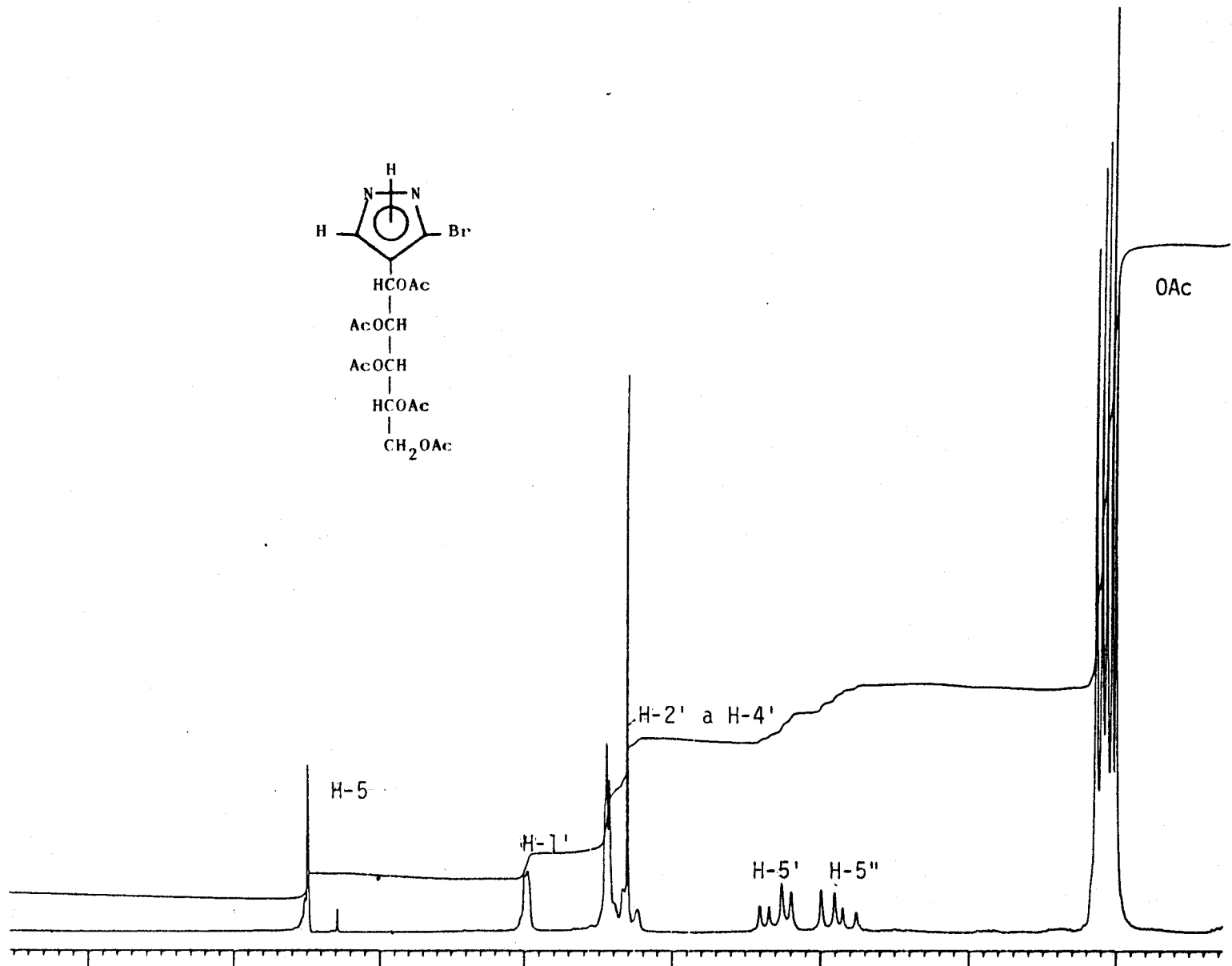


Espectro n° 31: Espectro de <sup>1</sup>H-RMN de los compuestos 90 y 90b registrado en  $\text{CDCl}_3$  a 80 MHz. (Tablas 23 y 24).

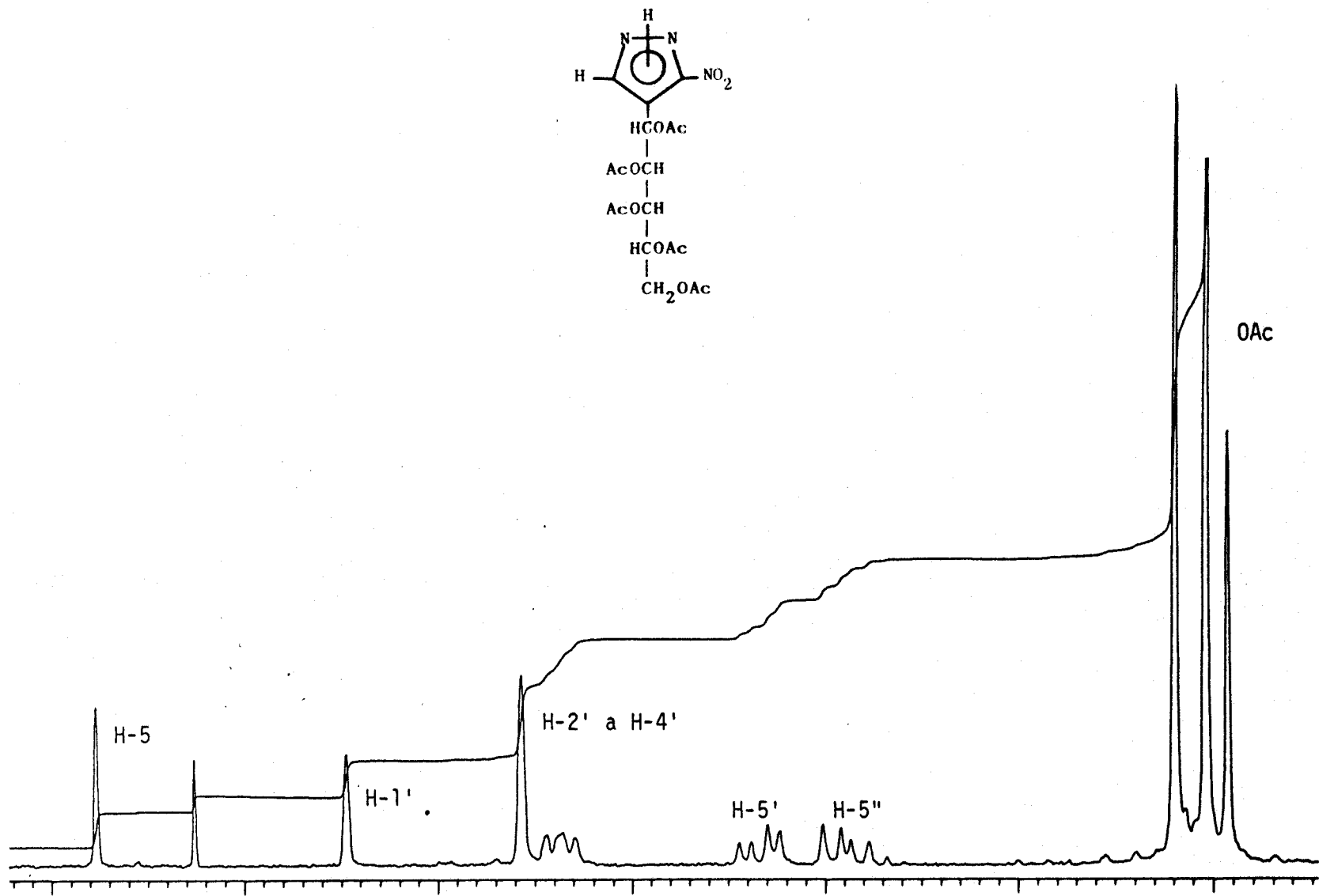


Apéndice I

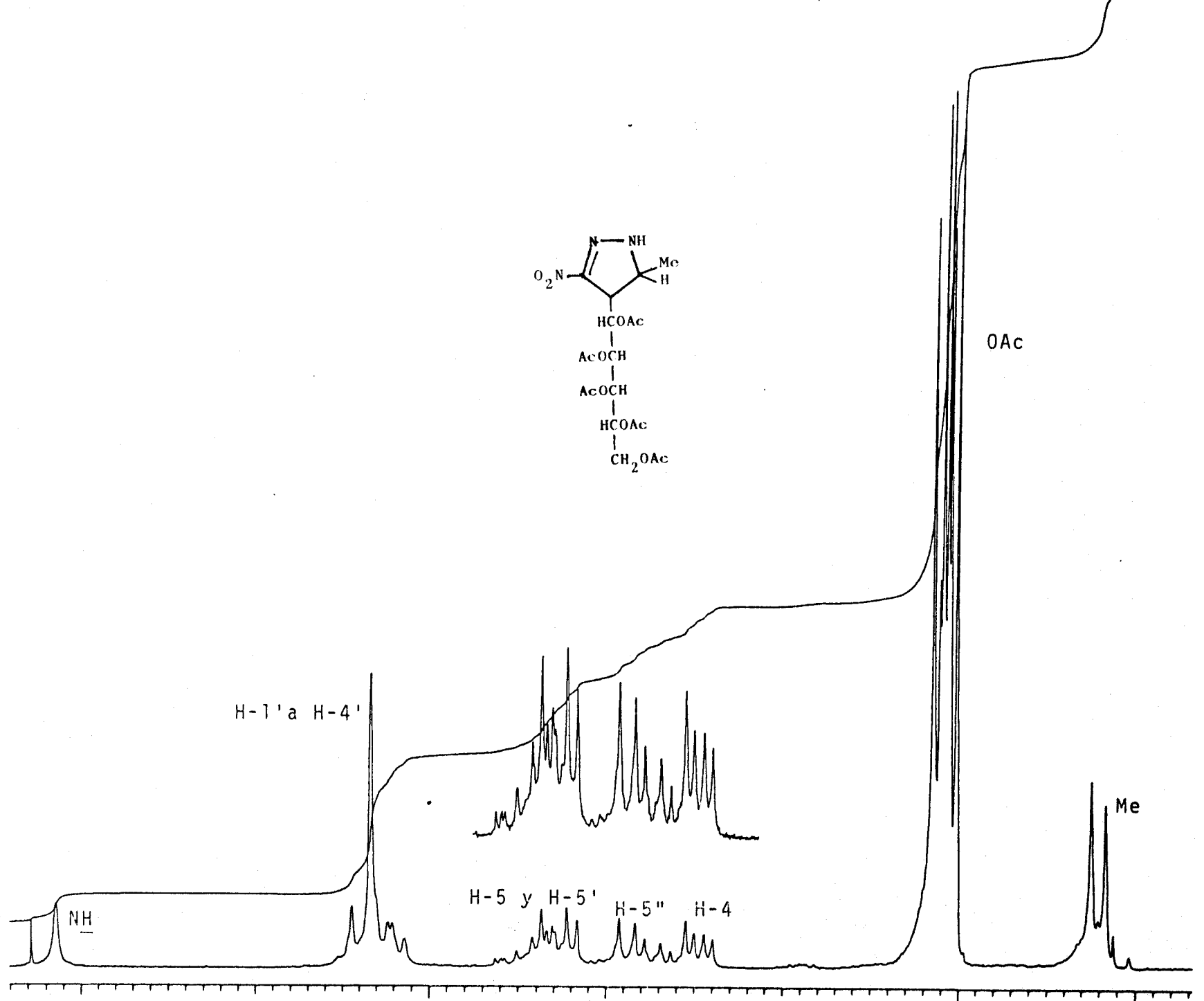


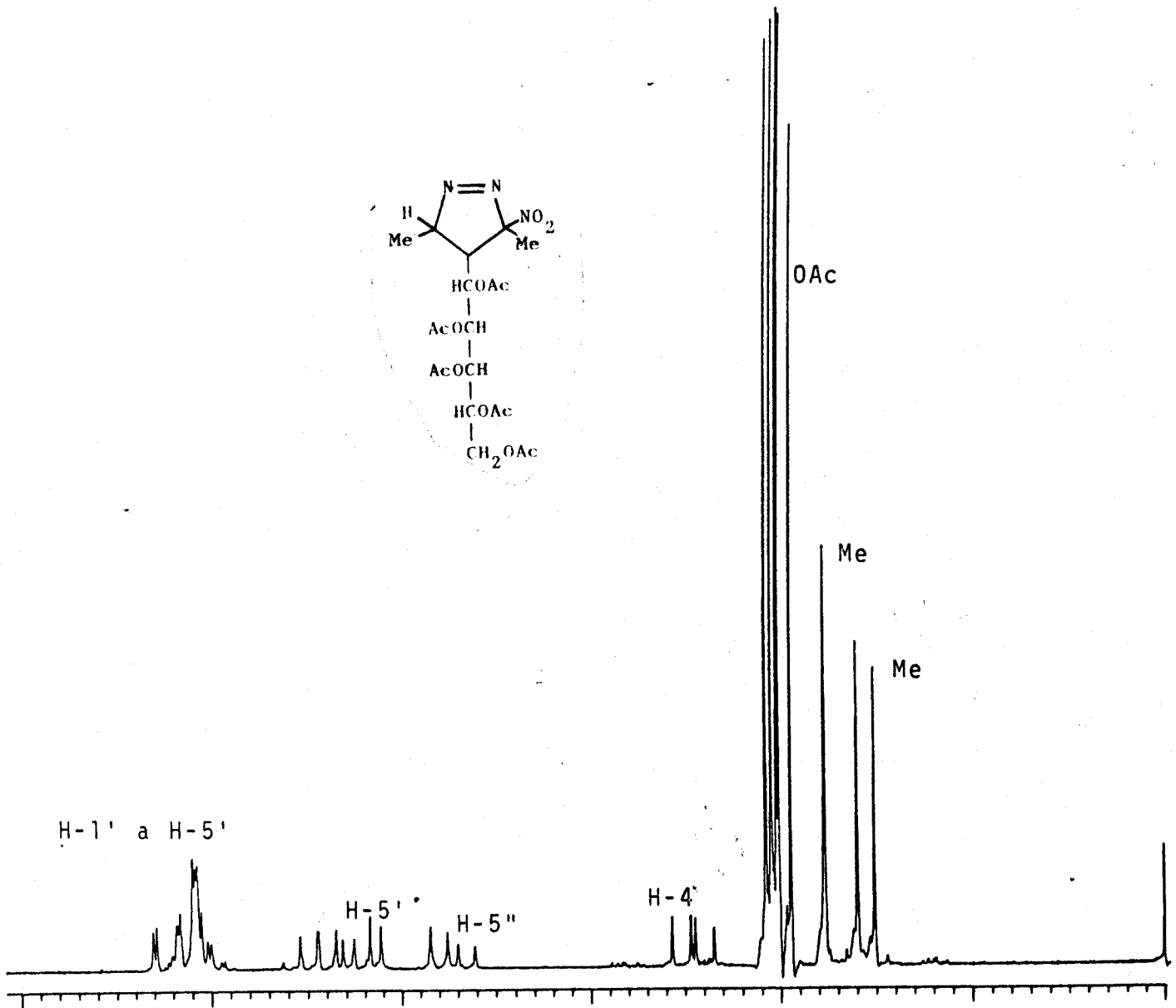
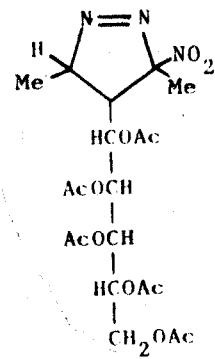


Espectro nº 34: Espectro de  $^1\text{H-RMN}$  del compuesto 91 registrado en  $\text{CDCl}_3$  a 80 MHz. (Tablas 23 y 24).

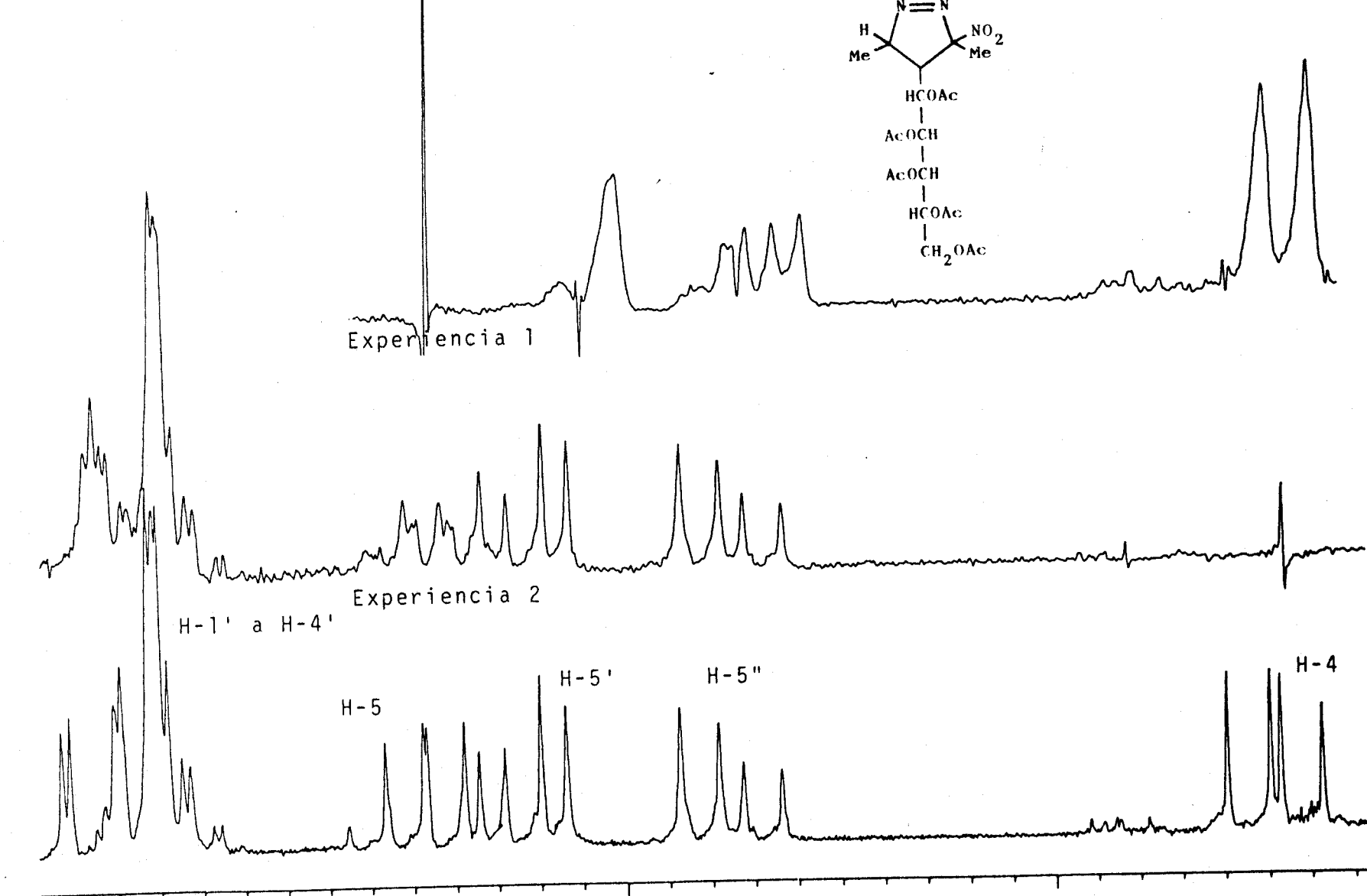


Espectro nº 35: Espectro de  $^1\text{H}$ -RMN del compuesto 92 registrado en  $\text{CDCl}_3$  a 80 MHz. (Tablas 23 y 24).

Espectro n° 36: Espectro de <sup>1</sup>H-RMN del compuesto 93' registrado en CDCl<sub>3</sub> a 80 MHz. (Táblas 20 a 21)



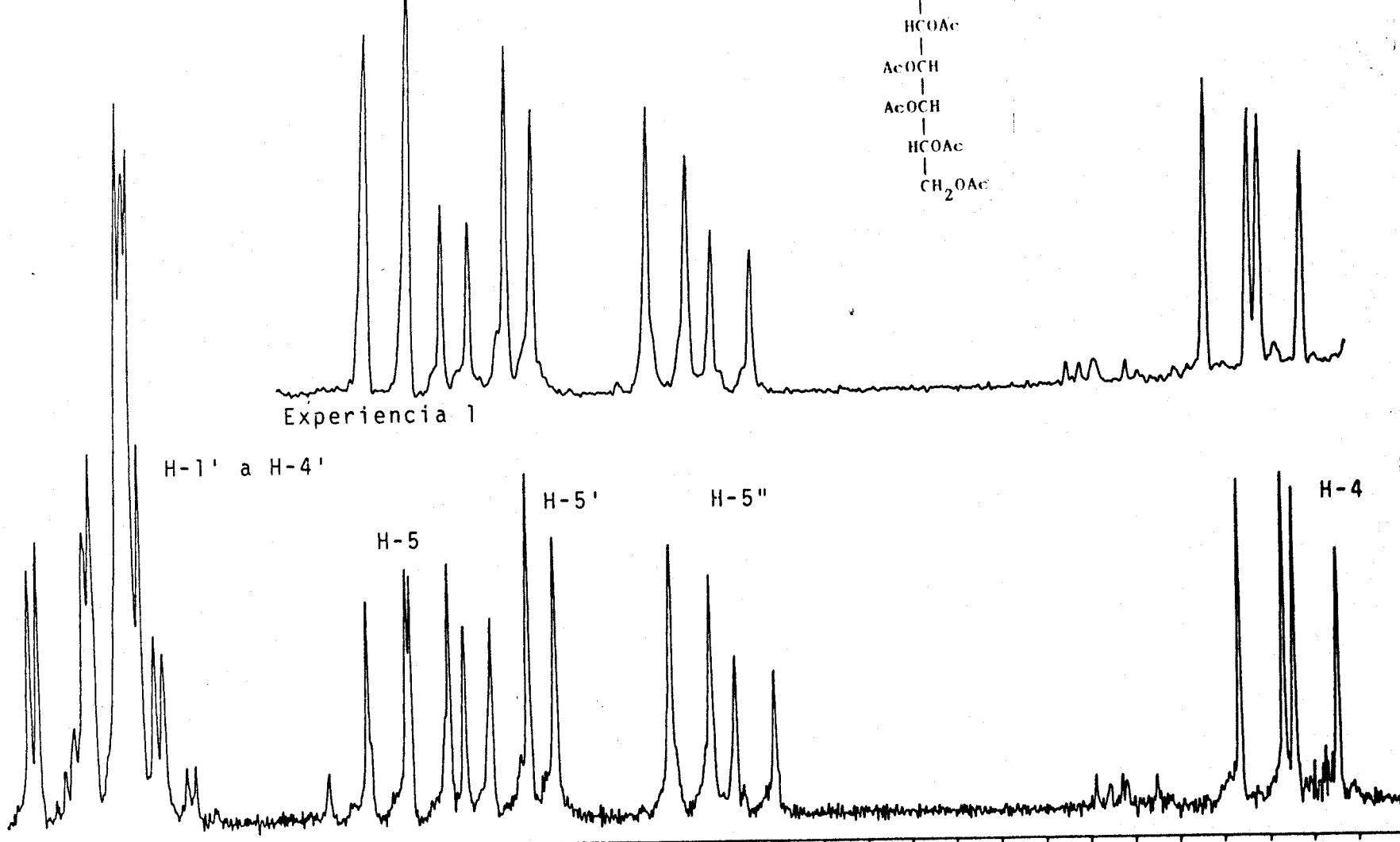
Espectro nº 37: Espectro de  $^1\text{H}$ -RMN del compuesto 94 registrado en  $\text{CDCl}_3$  a 80 MHz. (Tablas 20 y 21).

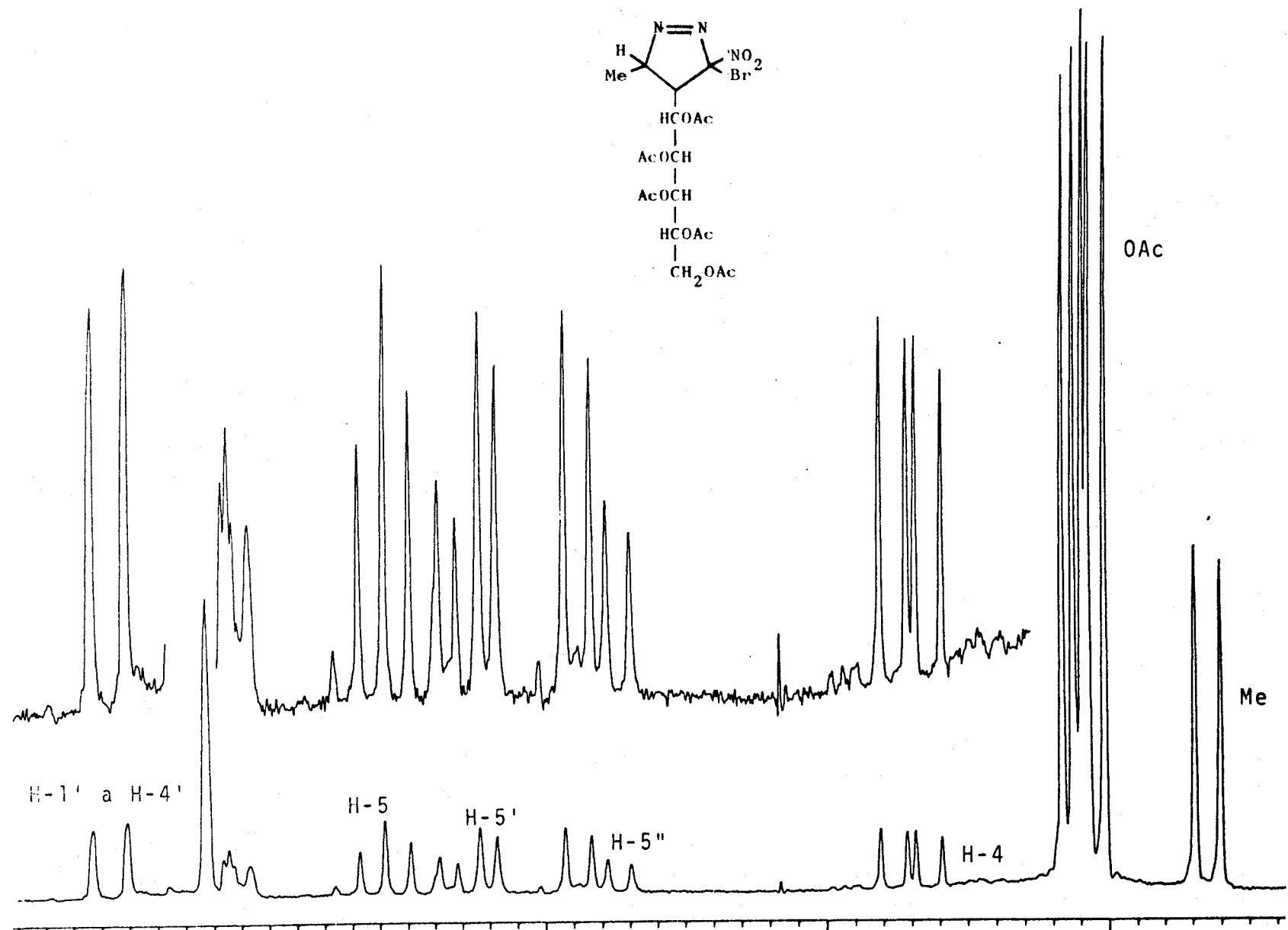


Espectro nº 38: Espectro de  $^1\text{H}$ -RMN del compuesto 94 registrado en  $\text{CDCl}_3$  a 80 MHz. (Tablas 20 y 21).  
 Experiencia 1: Desacoplamiento spin-spin, irradiación sobre H-5.  
 Experiencia 2: Desacoplamiento spin-spin, irradiación sobre H-4.

Apéndice I

$^2$ H-RMN

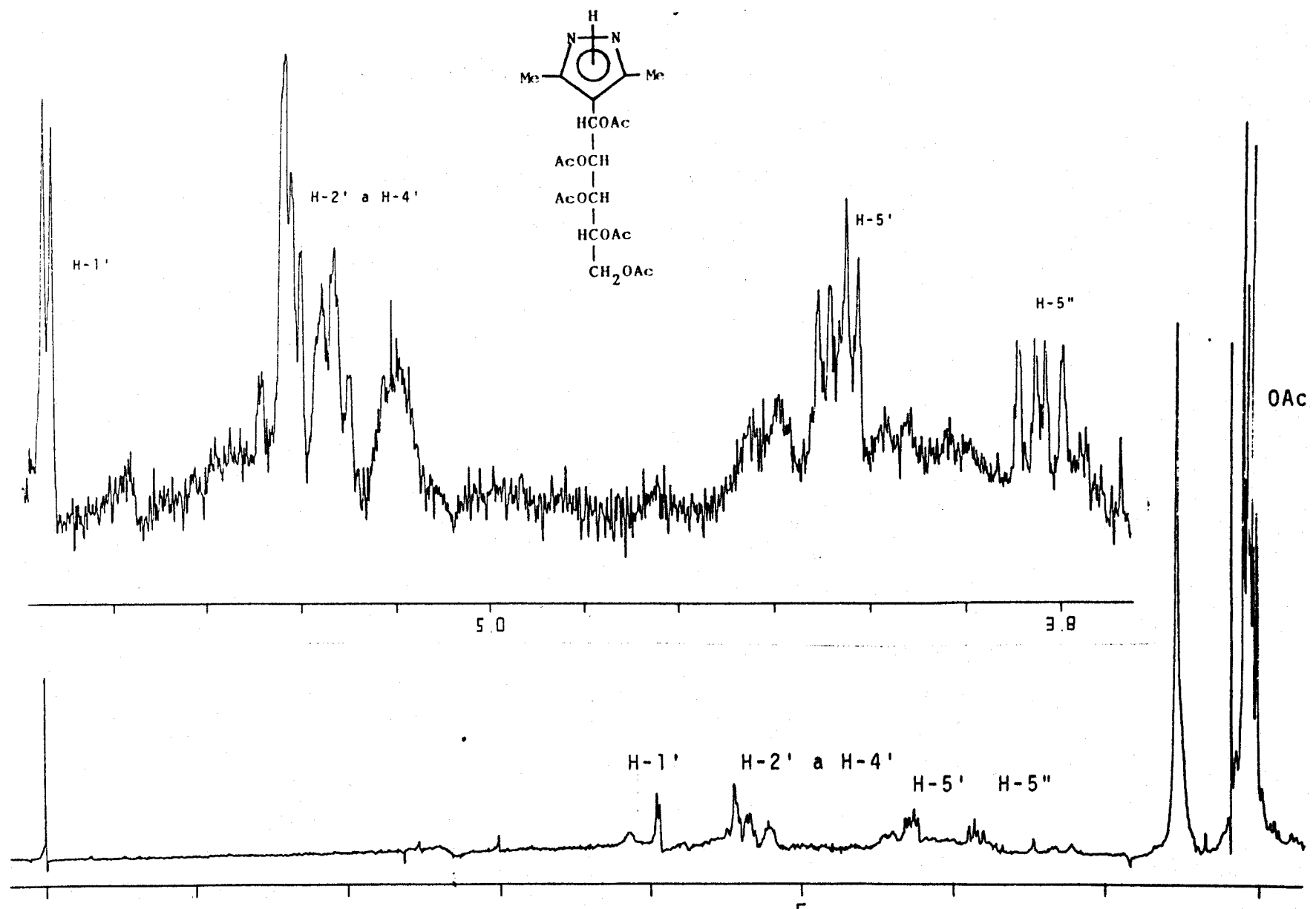




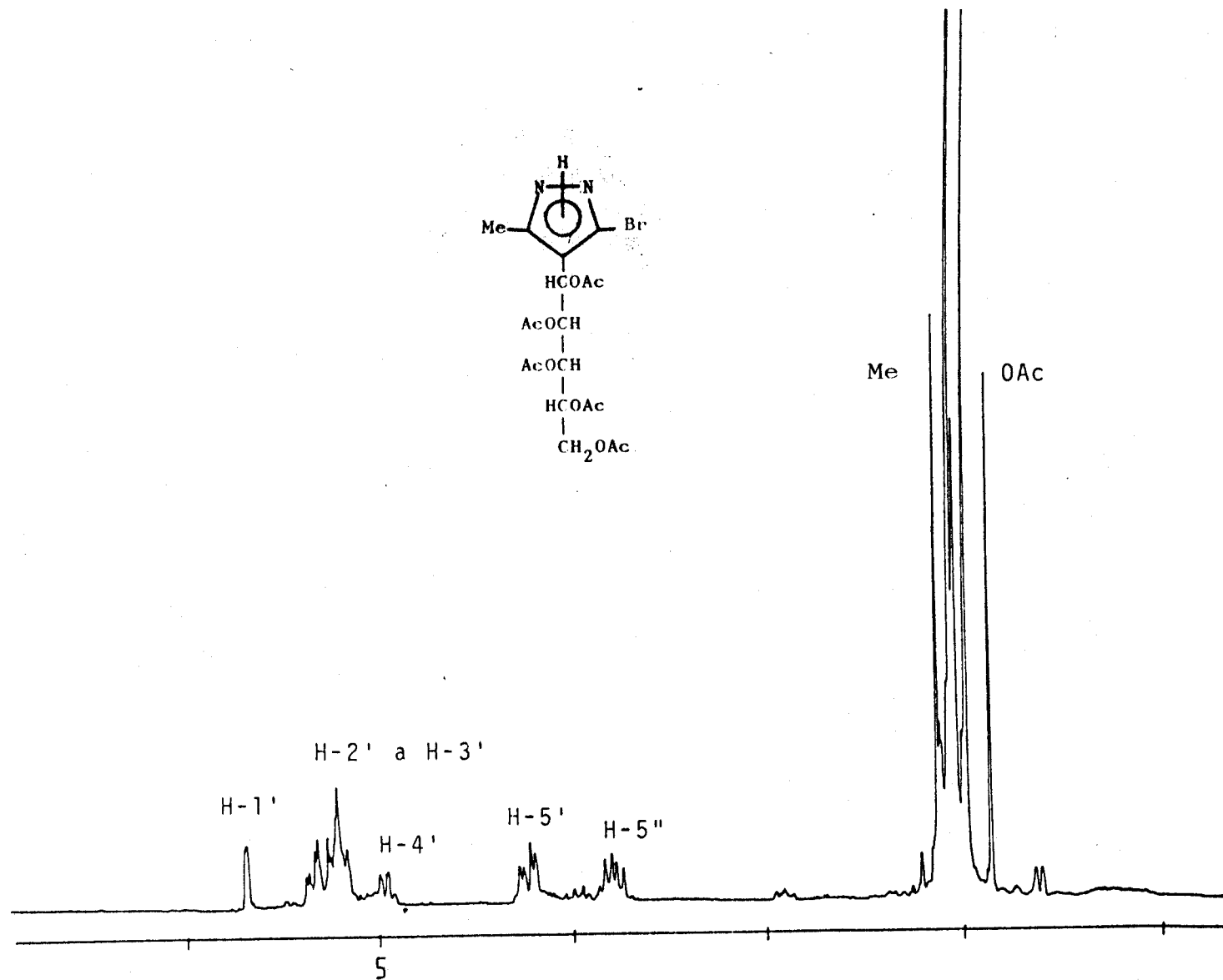
Espectro nº 40: Espectro de <sup>1</sup>H-RMN del compuesto 95 registrado en CDCl<sub>3</sub> a 80 MHz. (Tablas 20 y 21).

Apéndice I

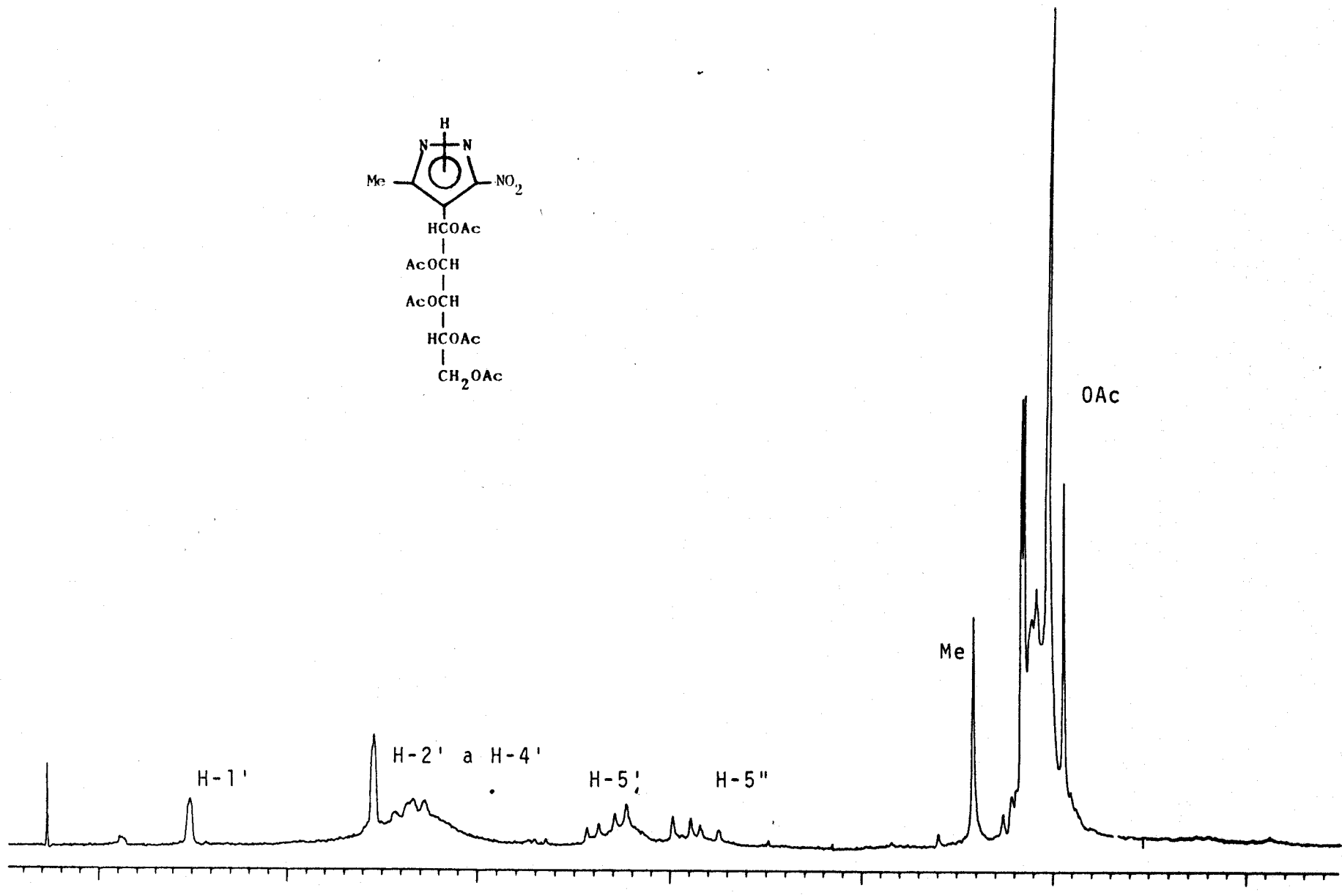
<sup>1</sup>H-RMN



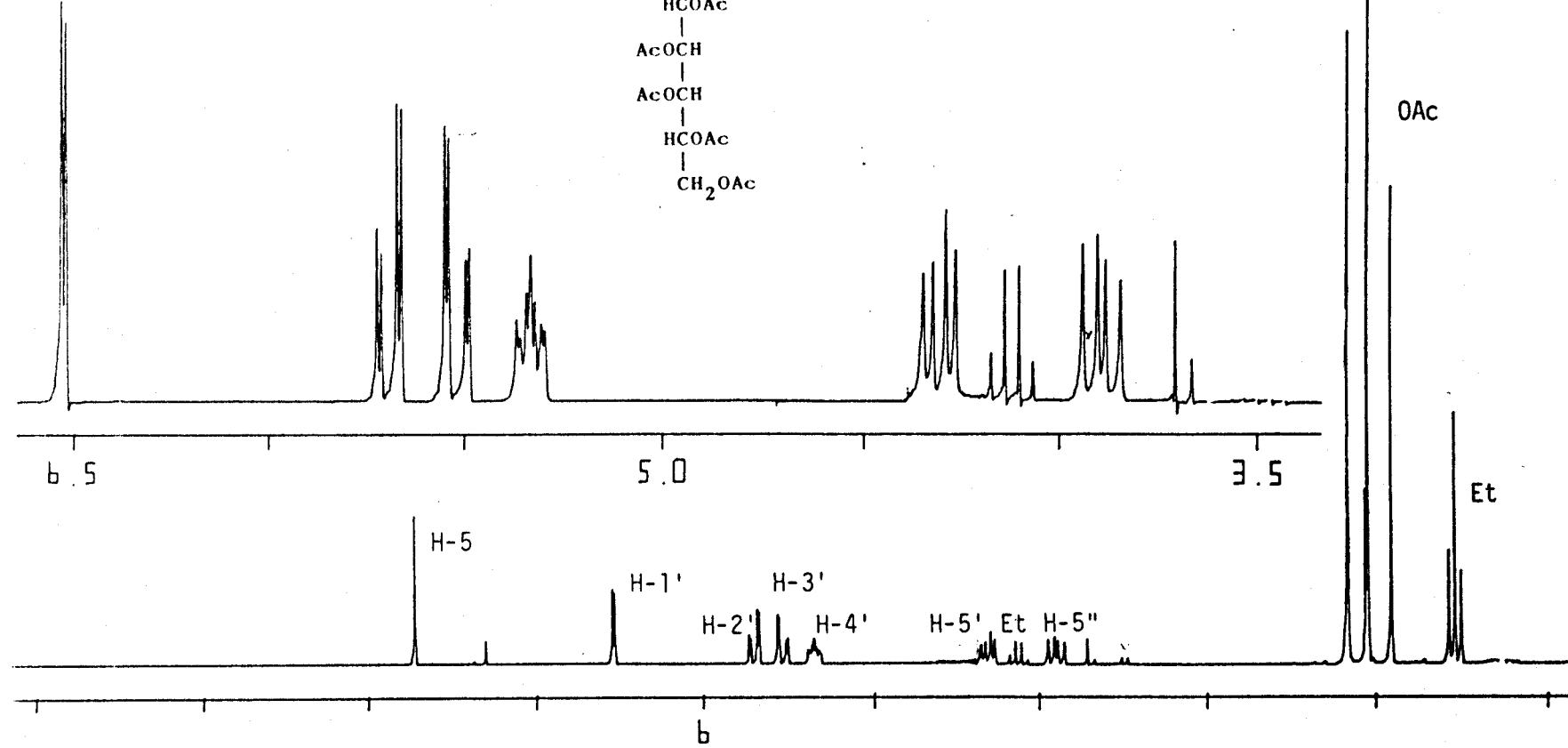
Espectro nº 41: Espectro de <sup>1</sup>H-RMN del compuesto 96 registrado en CDCl<sub>3</sub> a 200 MHz. (Tablas 23 y 24).



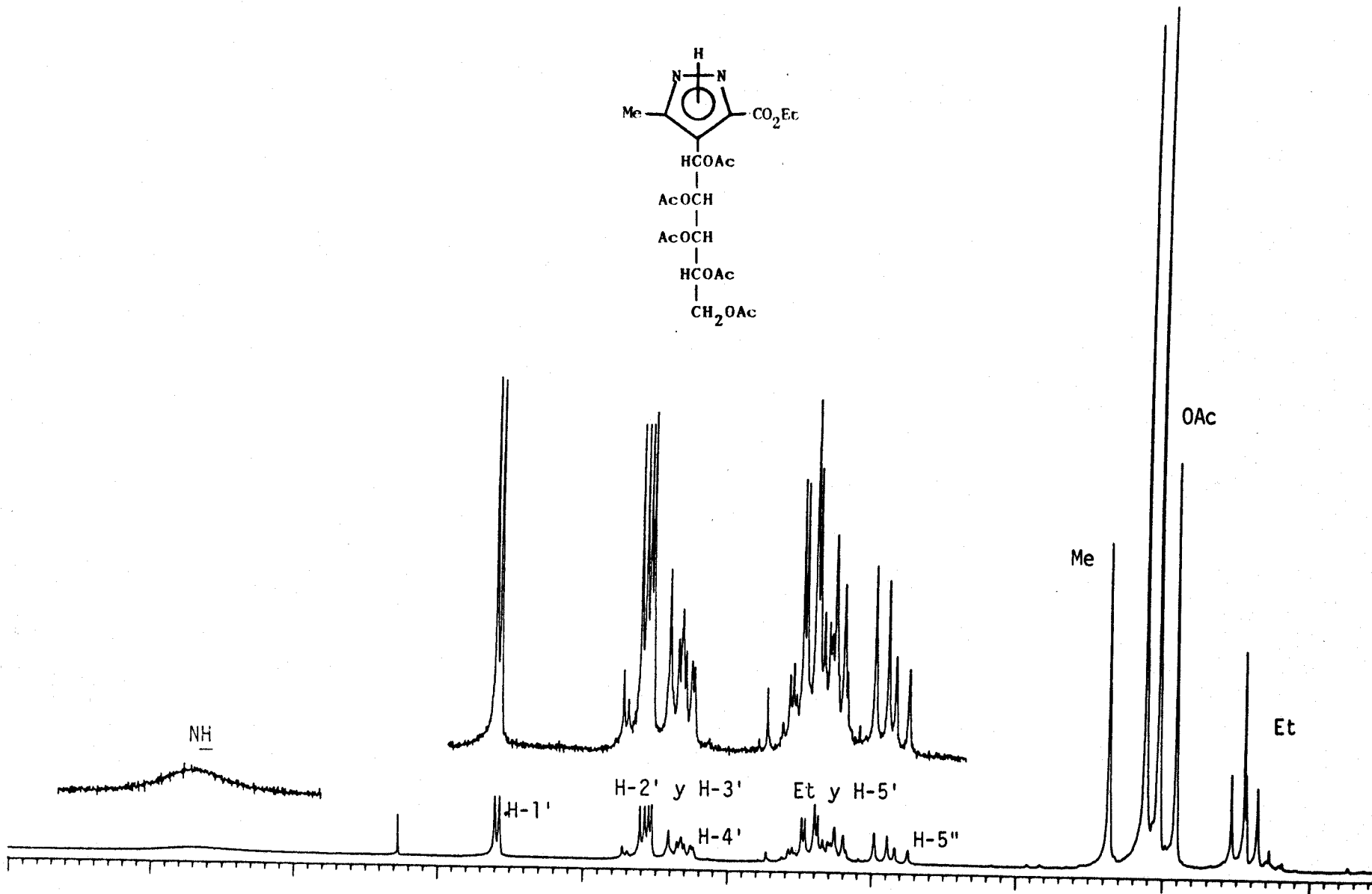
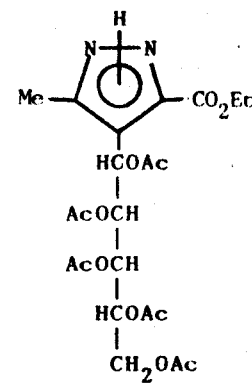
Espectro nº 42: Espectro de <sup>1</sup>H-RMN del compuesto 97 registrado en  $\text{CDCl}_3$  a 200 MHz. (Tablas 23 y 24).



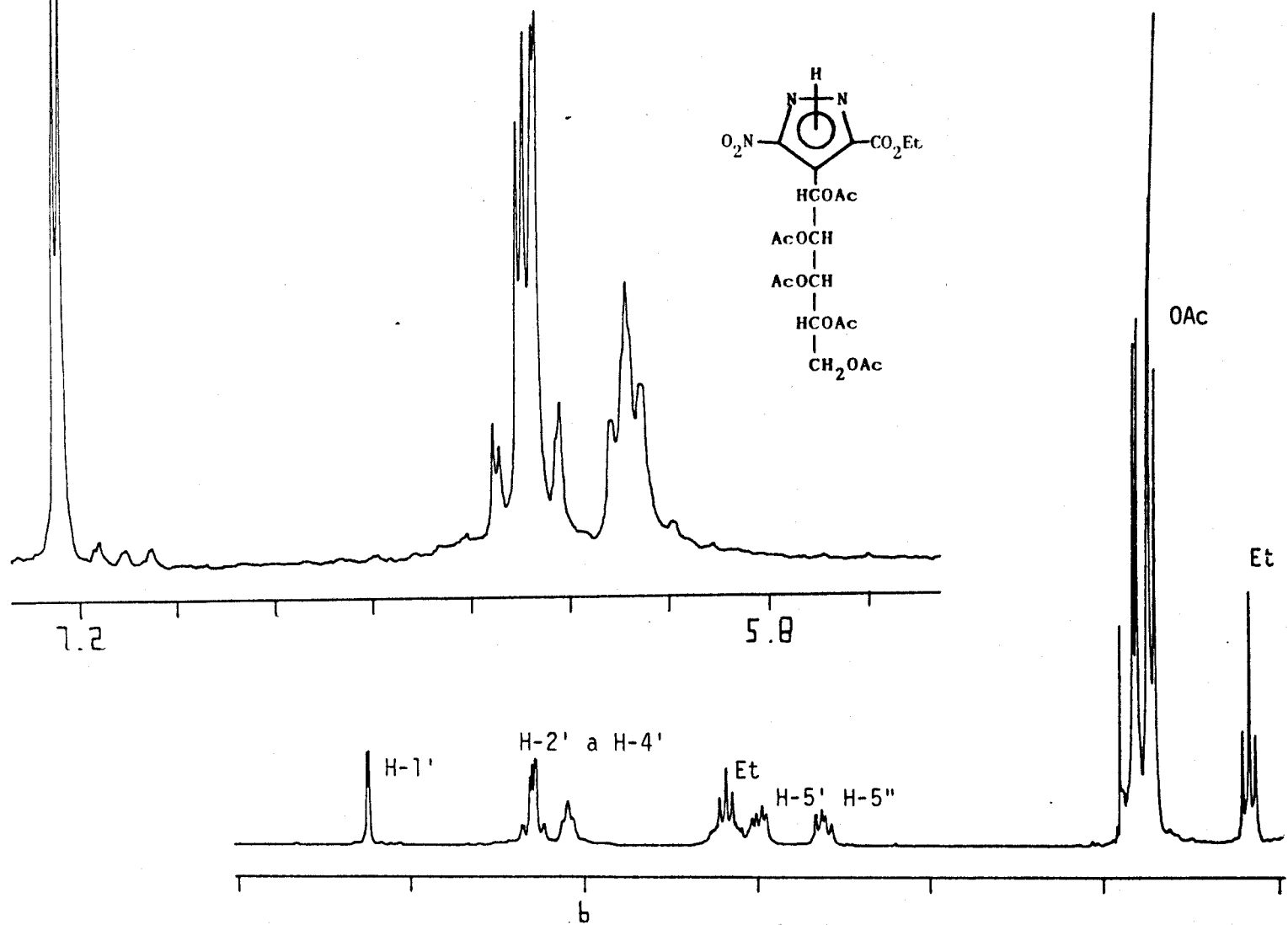
Espectro nº 43: Espectro de <sup>1</sup>H-RMN del compuesto 98 registrado en CDCl<sub>3</sub> a 80 MHz. (Tablas 23 y 24).



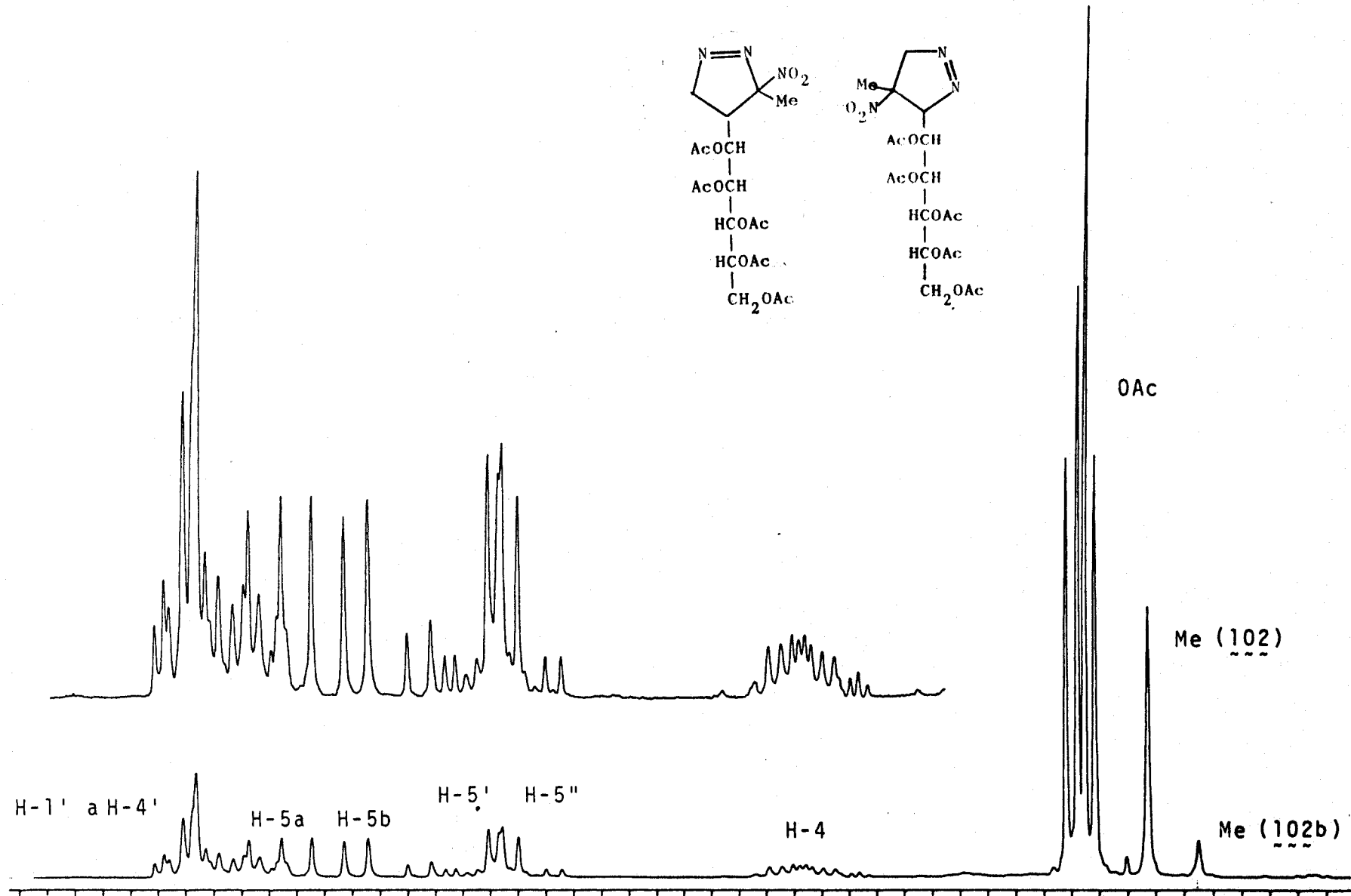
Espectro nº 44: Espectro de <sup>1</sup>H-RMN del compuesto 99 registrado en  $\text{CDCl}_3$  a 200 MHz. (Tablas 26 y 27).



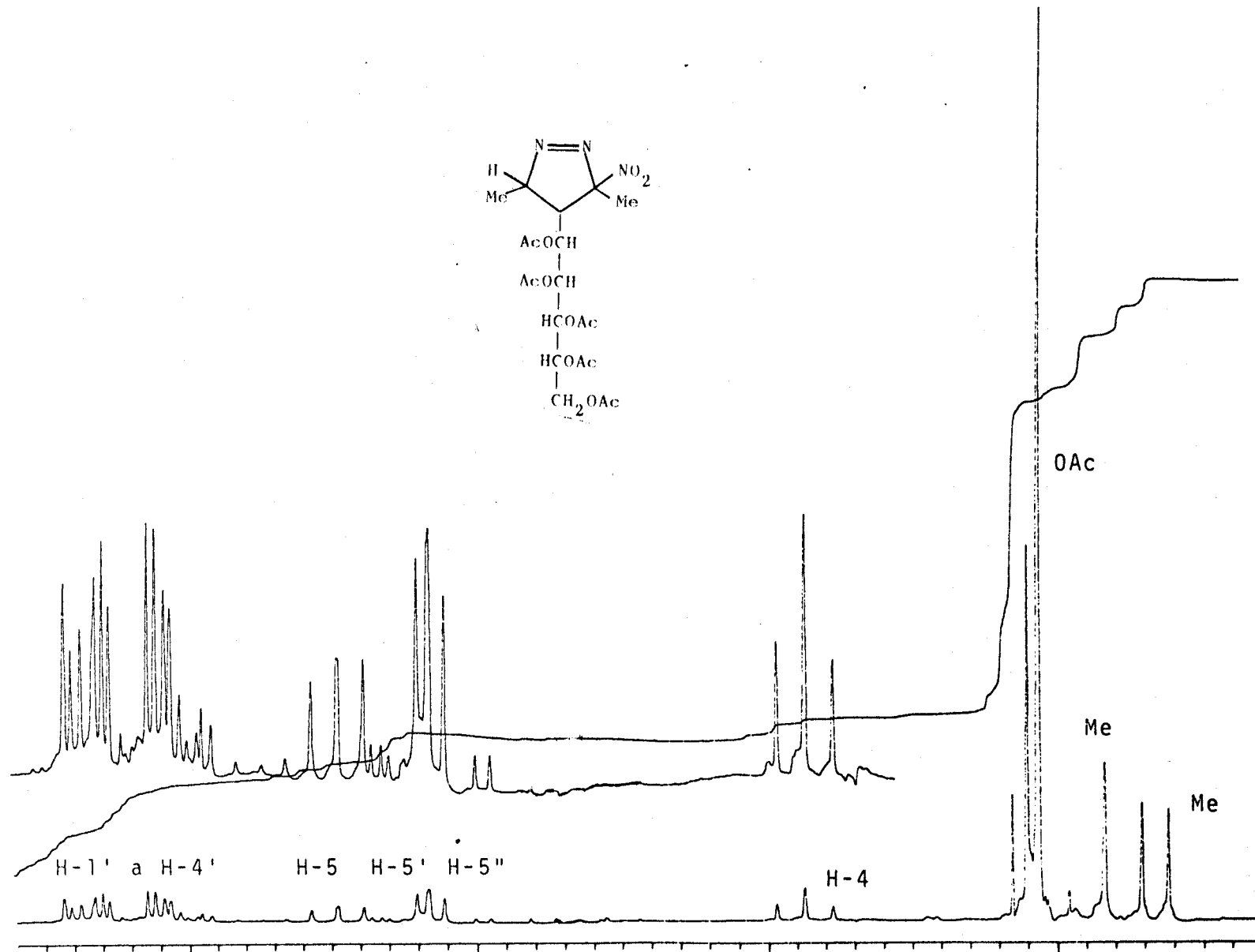
Espectro nº 45: Espectro de <sup>1</sup>H-RMN del compuesto 100 registrado en CDCl<sub>3</sub> a 80 MHz. (Tablas 26 y 27).



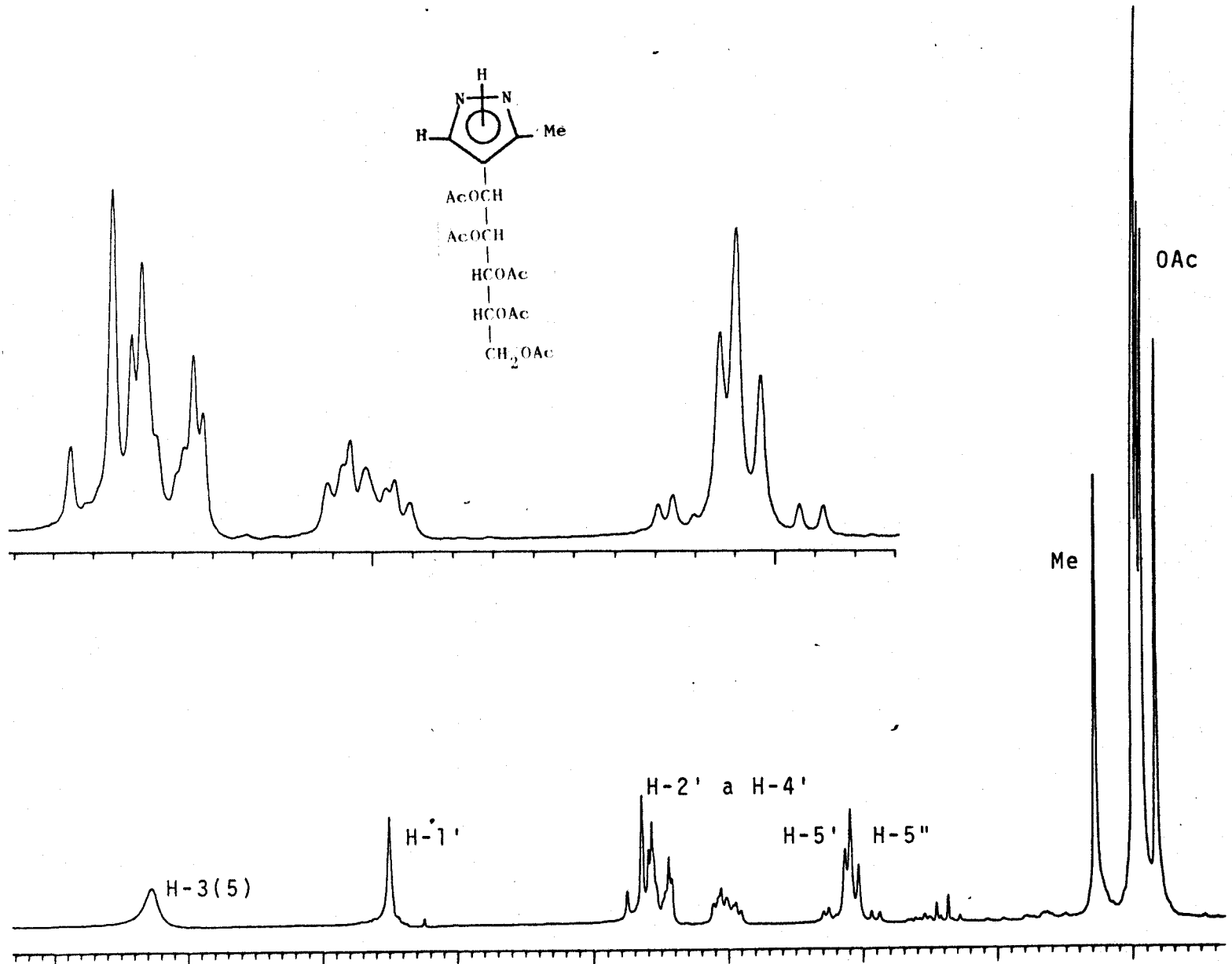
Espectro nº 46: Espectro de <sup>1</sup>H-RMN del compuesto 101 registrado en CDCl<sub>3</sub> a 200 MHz. (Tablas 26 y 27).



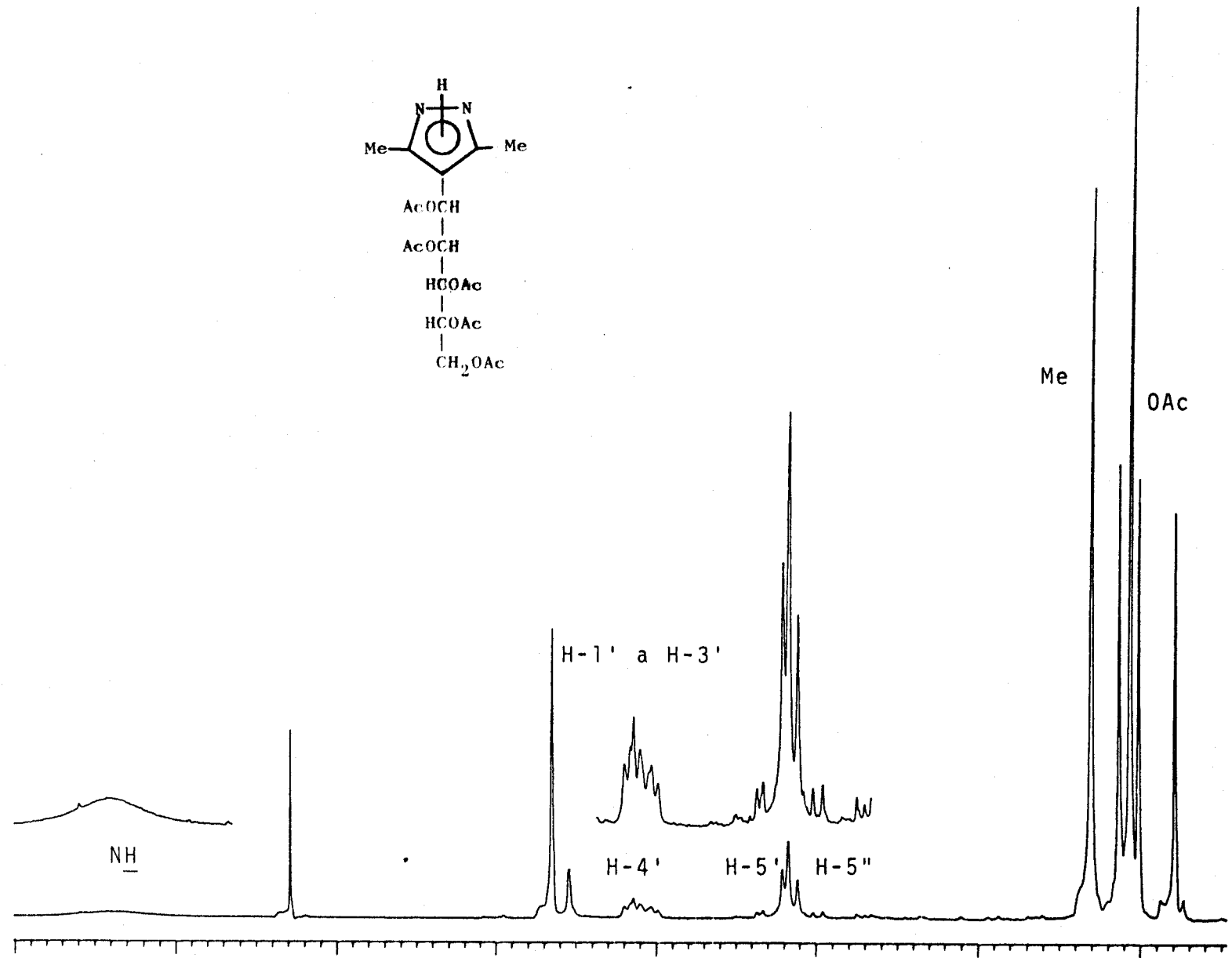
Espectro nº 47: Espectro de <sup>1</sup>H-RMN de los compuestos 102 y 102b registrado en CDCl<sub>3</sub> a 80 MHz. (Tablas 29 y 30).



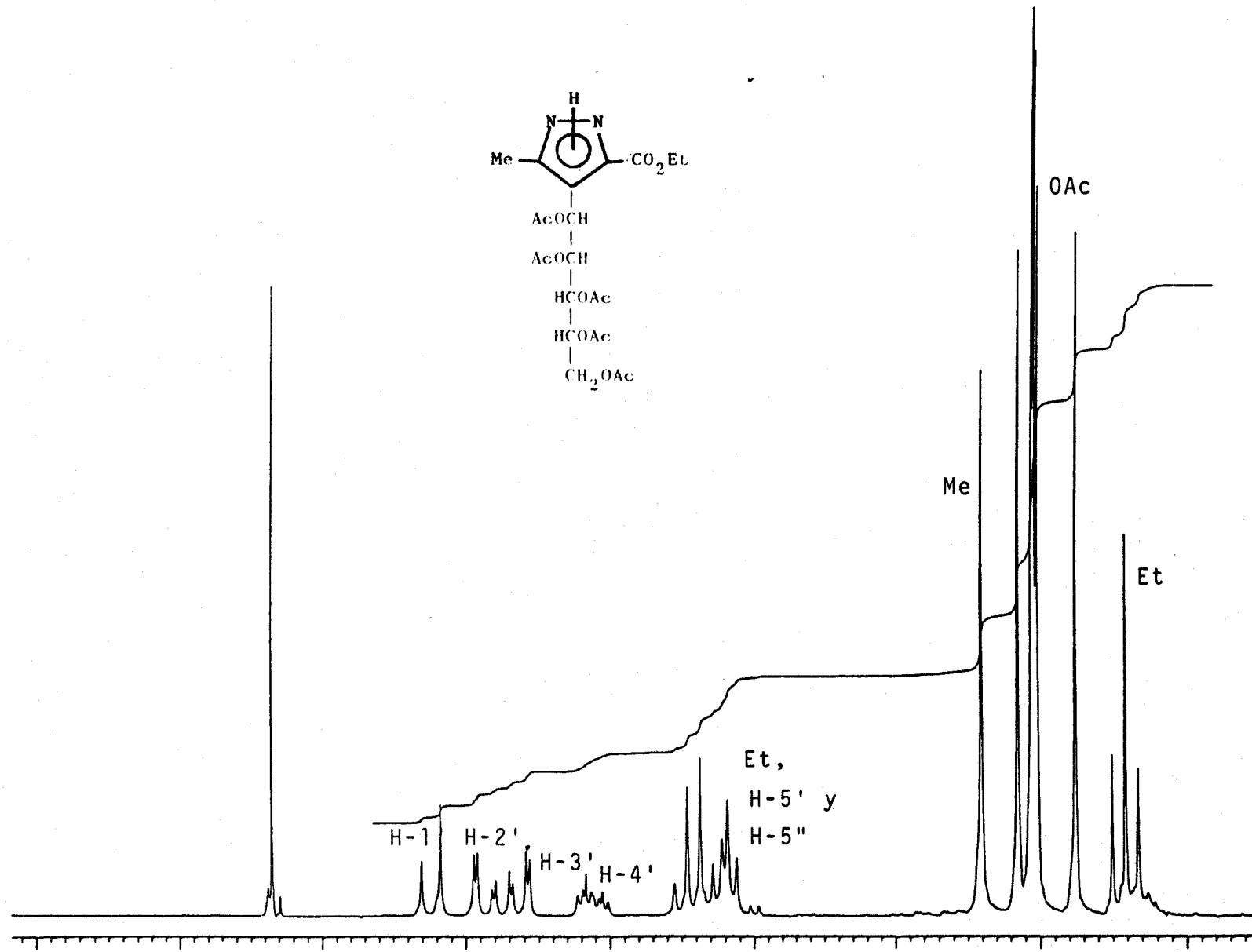
Espectro nº 48: Espectro de <sup>1</sup>H-RMN del compuesto 103 registrado en  $\text{CDCl}_3$  a 80 MHz. (Tablas 29 y 30).



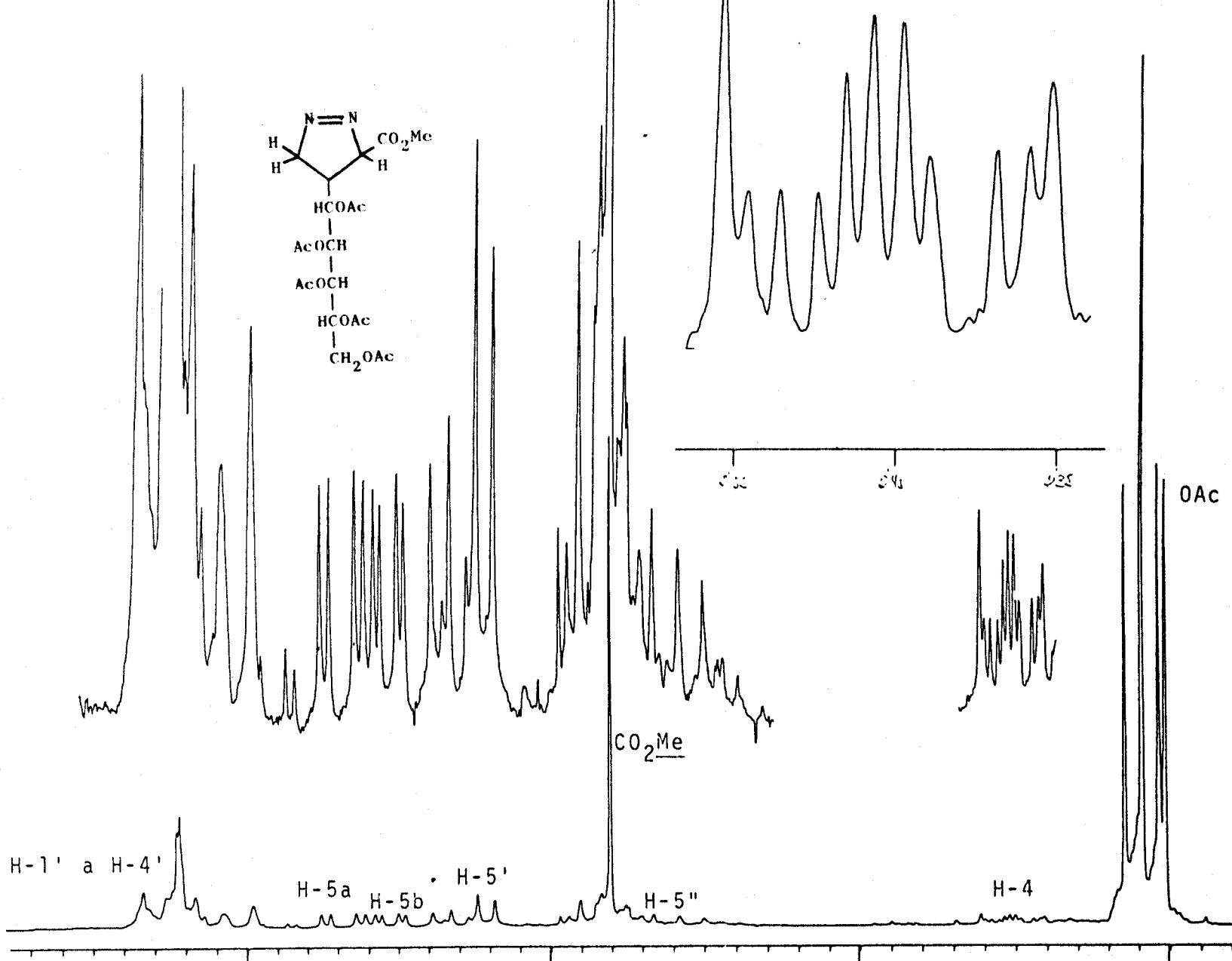
Espectro nº 49: Espectro de <sup>1</sup>H-RMN del compuesto 104 registrado en CDCl<sub>3</sub> a 80 MHz. (Tablas 32 y 33).



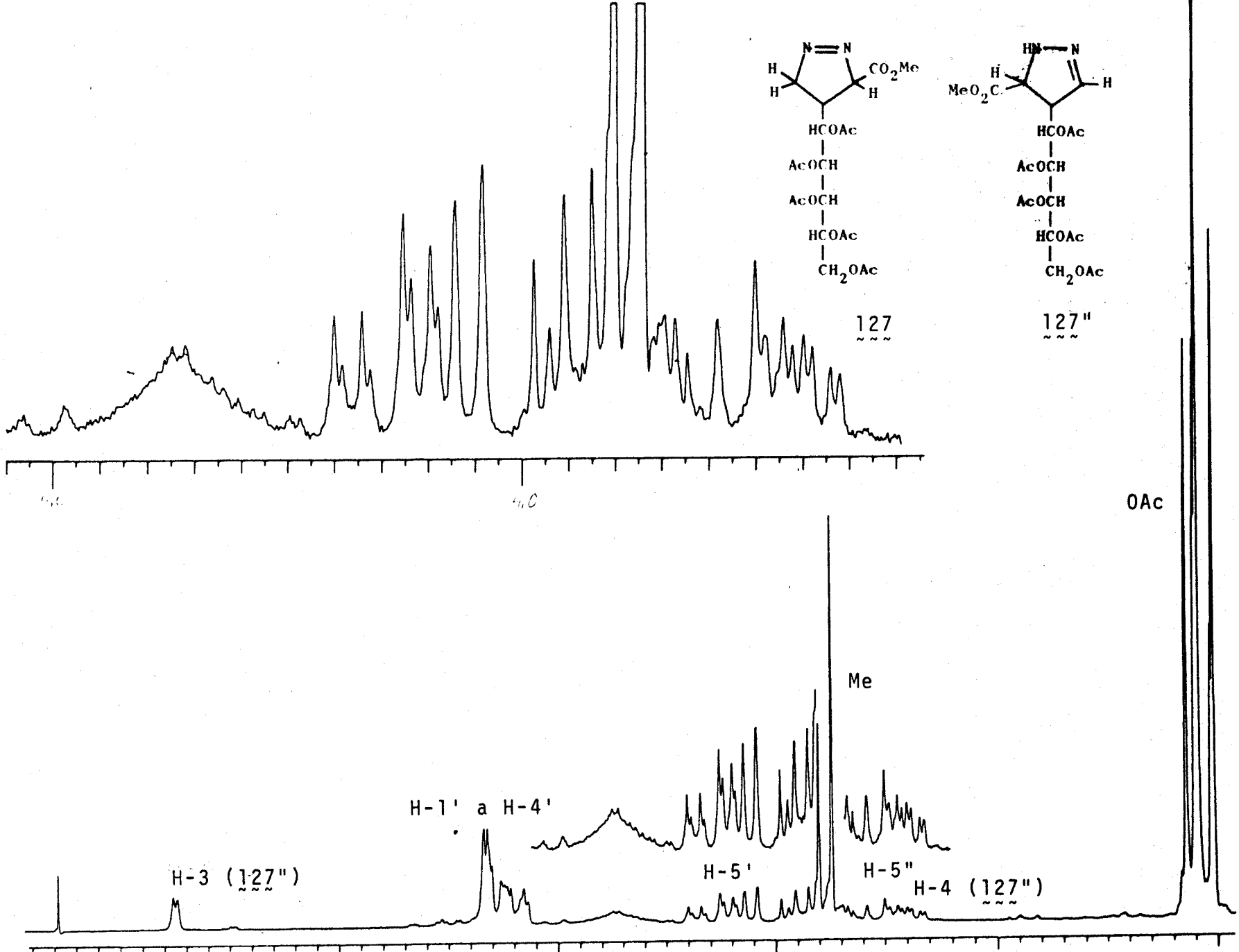
Espectro nº 50: Espectro de <sup>1</sup>H-RMN del compuesto 105 registrado en CDCl<sub>3</sub> a 80 MHz. (Tablas 32 y 33).

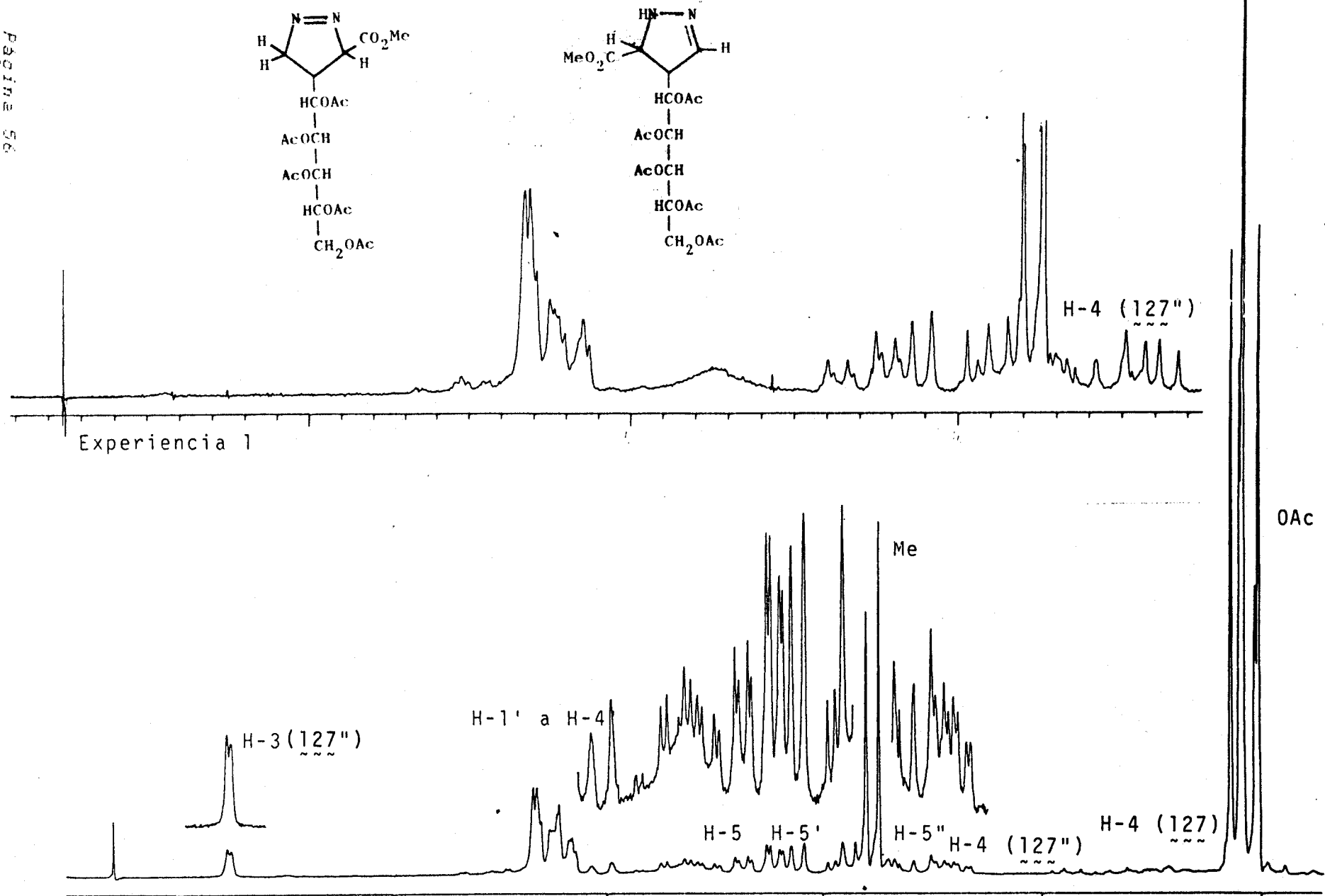


Espectro nº 51: Espectro de <sup>1</sup>H-RMN del compuesto 106 registrado en CDCl<sub>3</sub> a 80 MHz. (Tablas 32 y 33).



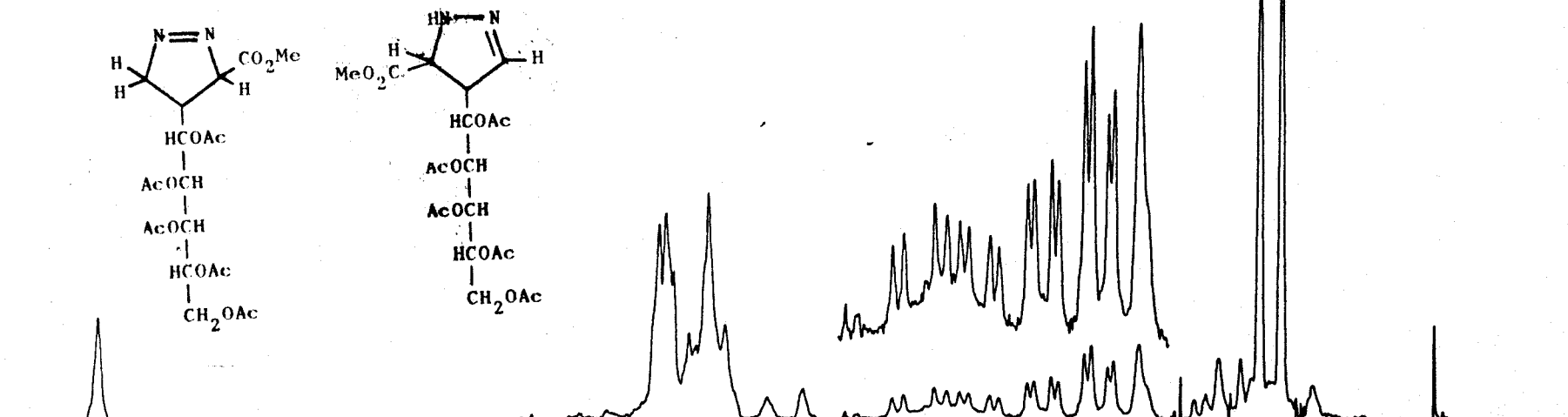
Espectro nº 52: Espectro de <sup>1</sup>H-RMN del compuesto 127 registrado en  $\text{CDCl}_3$  a 80 MHz. (Tablas 35 y 36).

Espectro n° 53: Espectro de <sup>1</sup>H-RMN de la mezcla de pirazolinas tautoméricas 127 registrado en  $\text{CDCl}_3$  a 80 MHz.

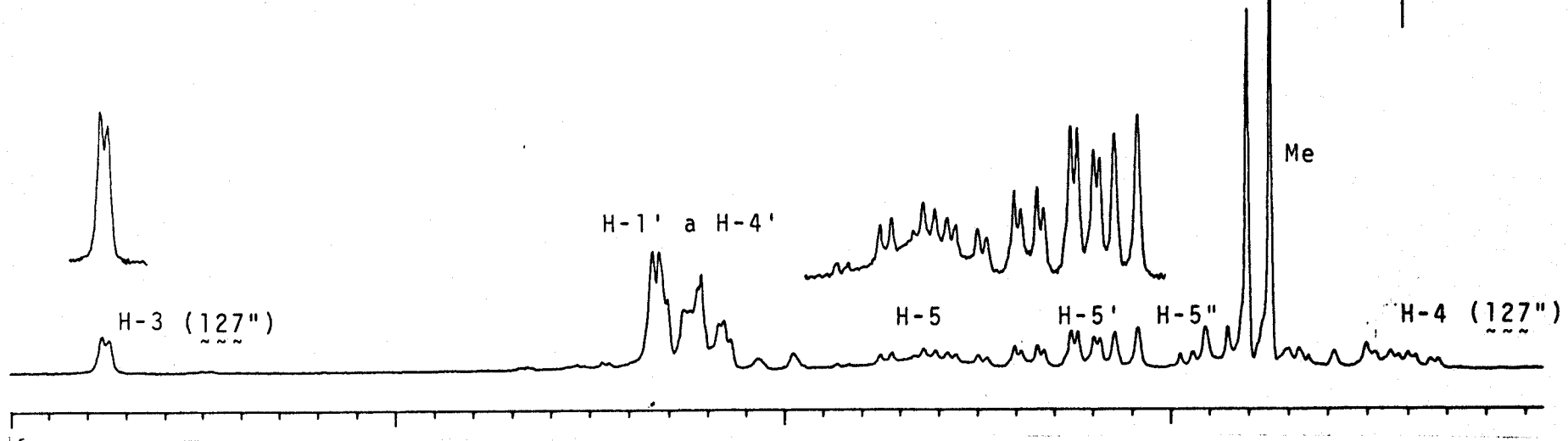


Espectro nº 54: Espectro de <sup>1</sup>H-RMN de la mezcla de pirazolinas tautoméricas 127 registrado en CDCl<sub>3</sub> a 80 MHz.  
(Tablas 35 y 36).

Experiencia 1: Desacoplamiento spin-spin. Irradiación sobre H-3 (127''). El multiplete de H-4 se transforma en un doble doblete.

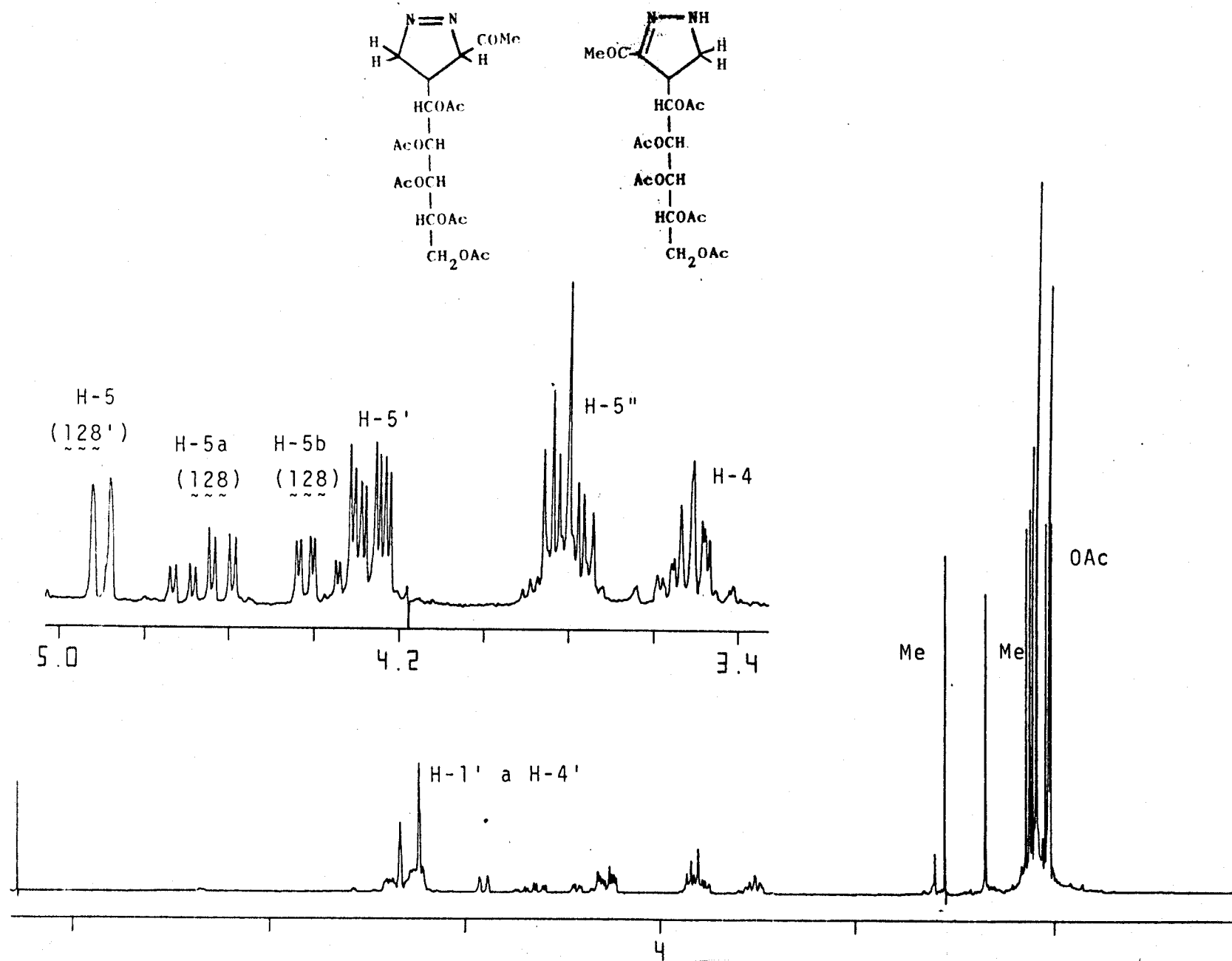


Experiencia 1

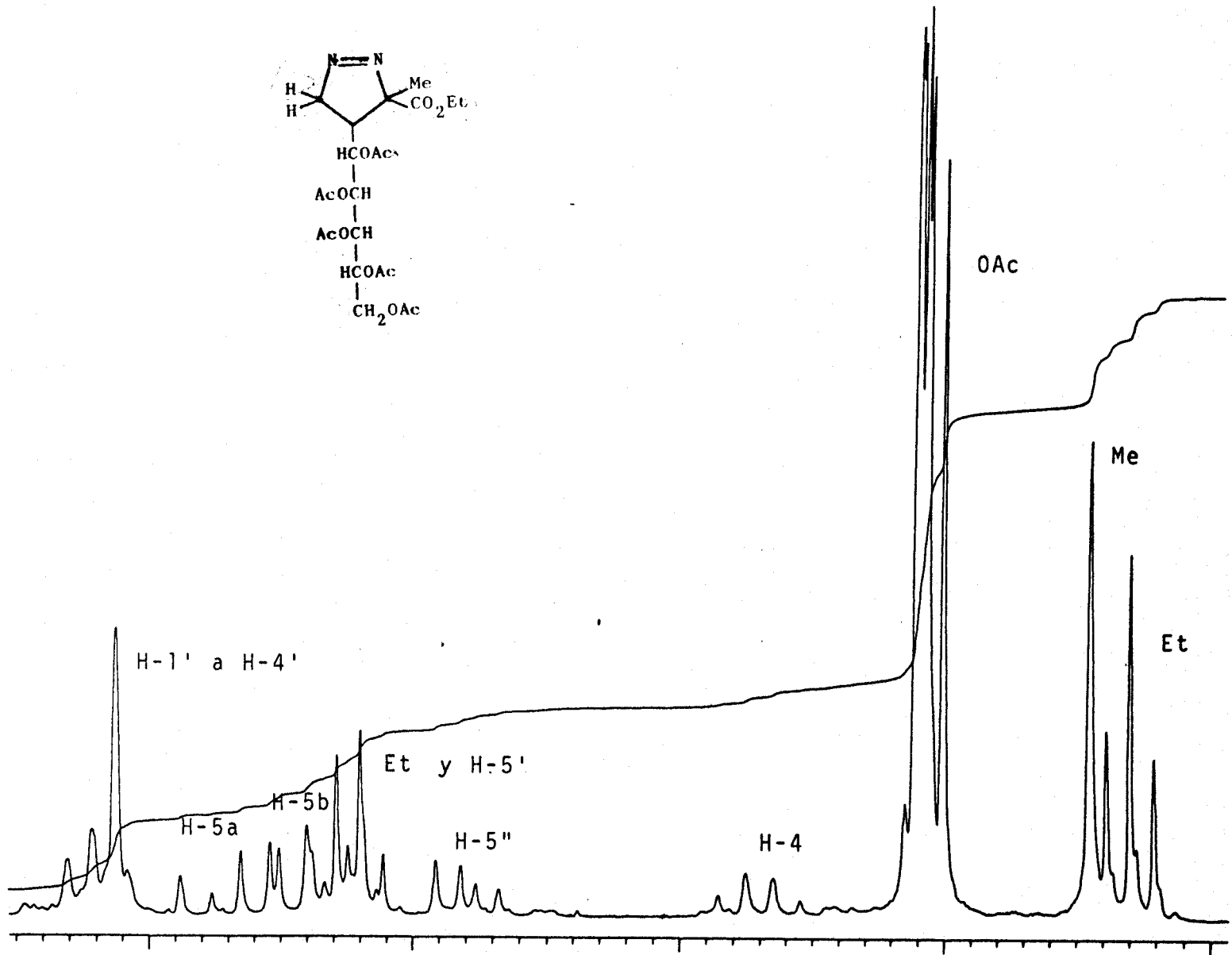


Espectro nº 55: Espectro de  $^1\text{H-RMN}$  de la mezcla de pirazolinas tautoméricas 127 registrado en  $\text{CDCl}_3$  a 80 MHz.  
(Tablas 35 y 36).

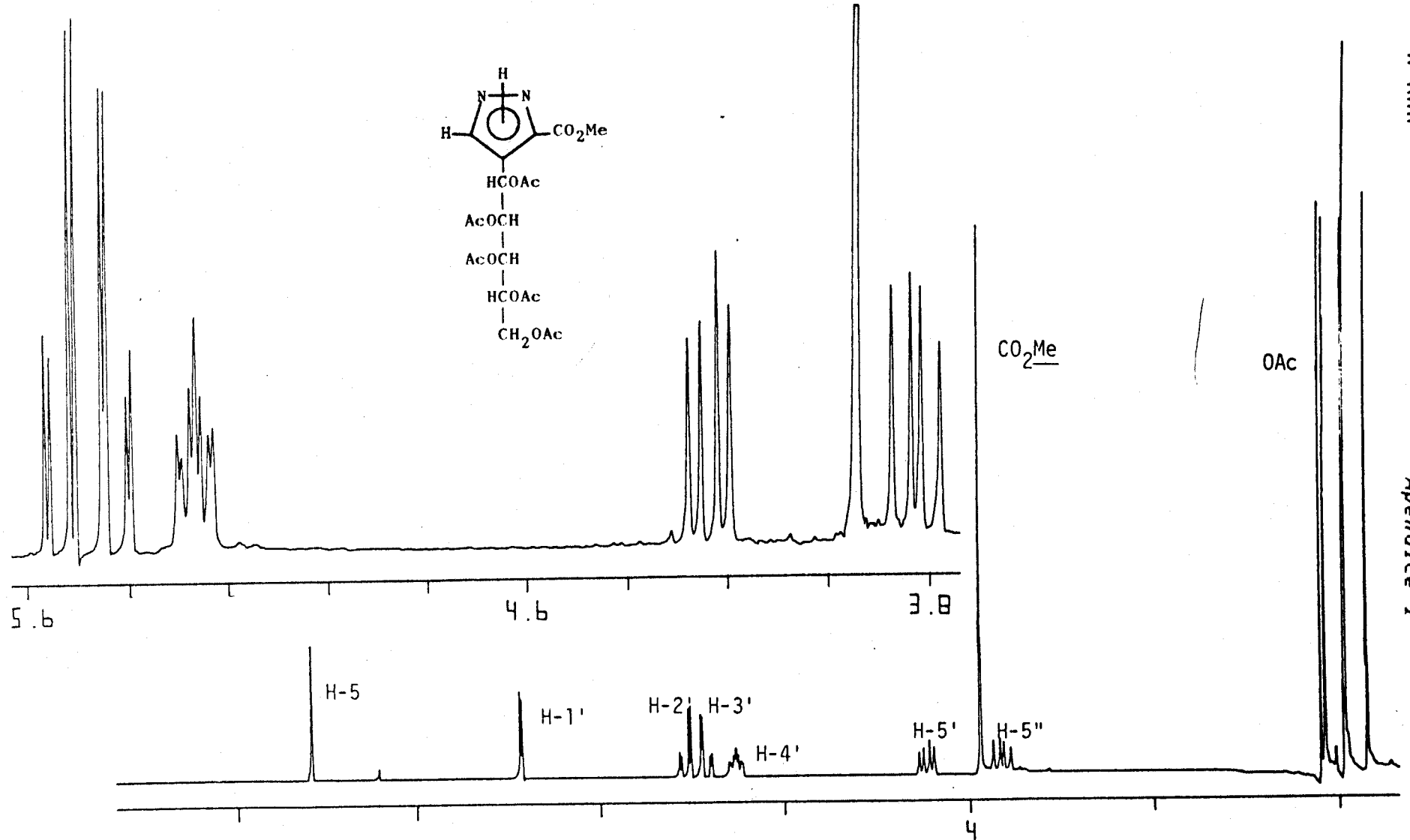
Experiencia 1: Desacoplamiento spin-spin. Irradiación sobre  $\text{H-4} (127'')$ . El doblete de  $\text{H-3}$  queda convertido en un singulete.



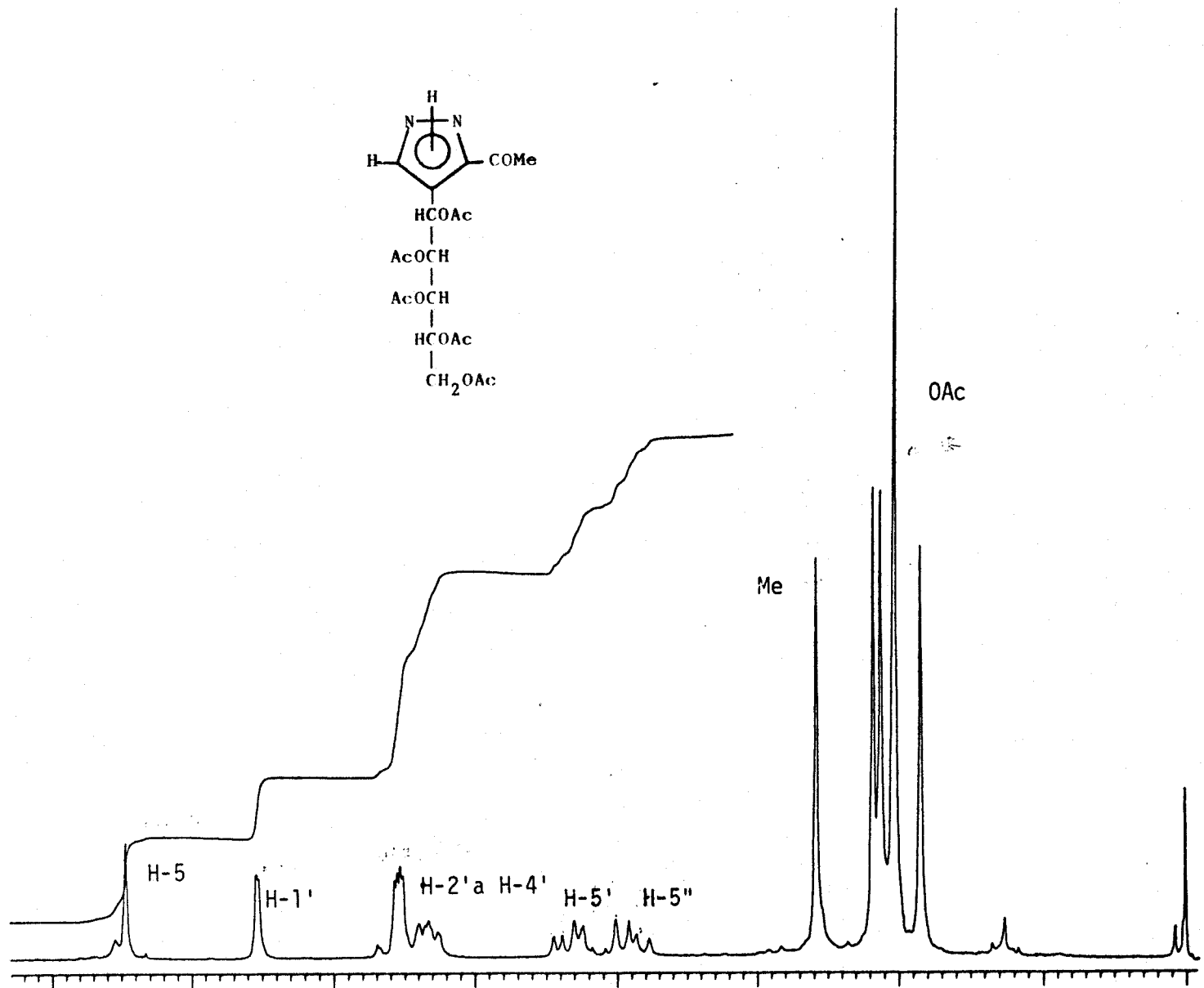
Espectro nº 56: Espectro de <sup>1</sup>H-RMN de la mezcla de pirazolinas tautoméricas 128 registrado en CDCl<sub>3</sub> a 200 MHz.  
(Tablas 35 y 36).



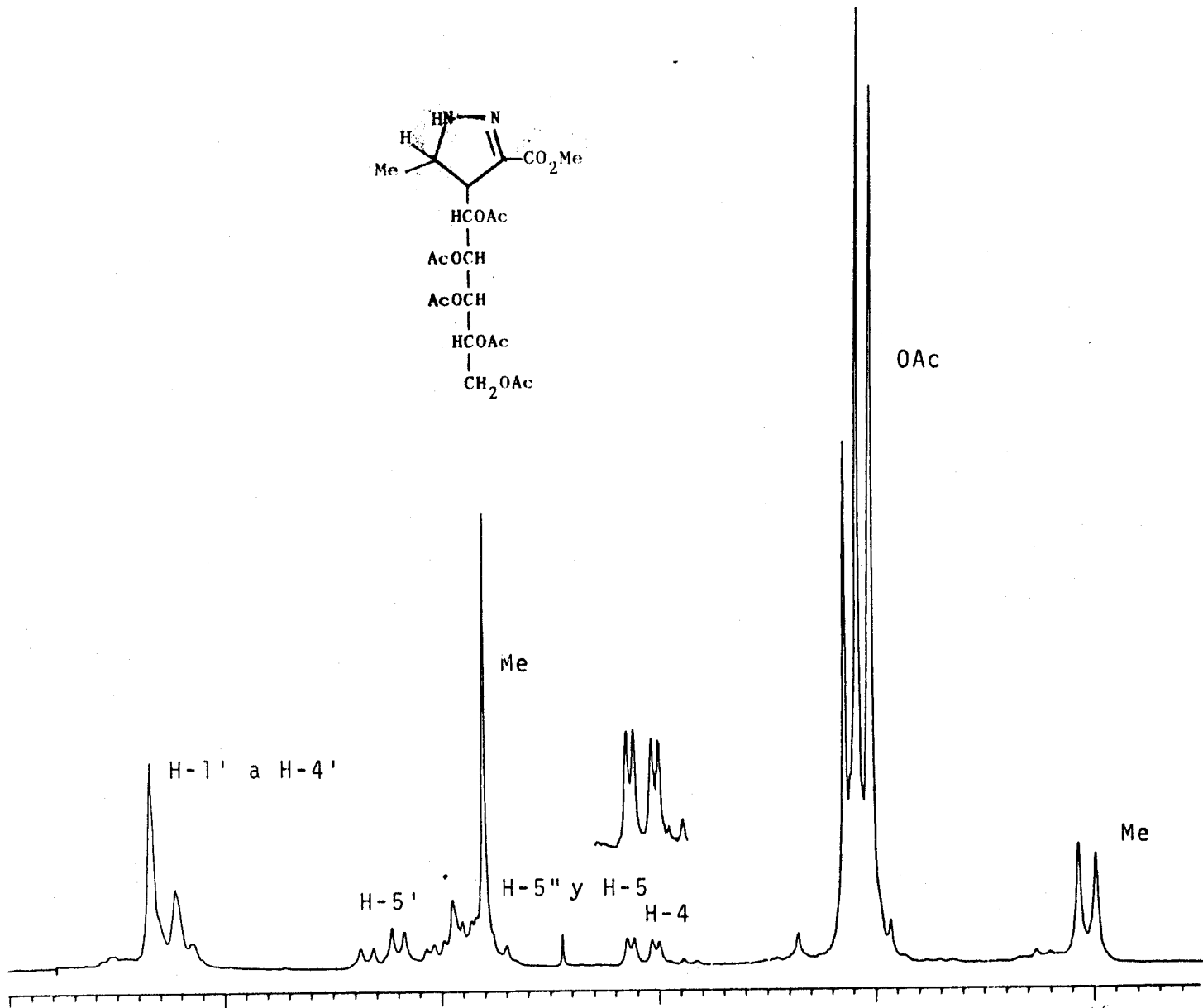
Espectro nº 57: Espectro de <sup>1</sup>H-RMN del compuesto 129 registrado en CDCl<sub>3</sub> a 80 MHz. (Tablas 35 y 36).



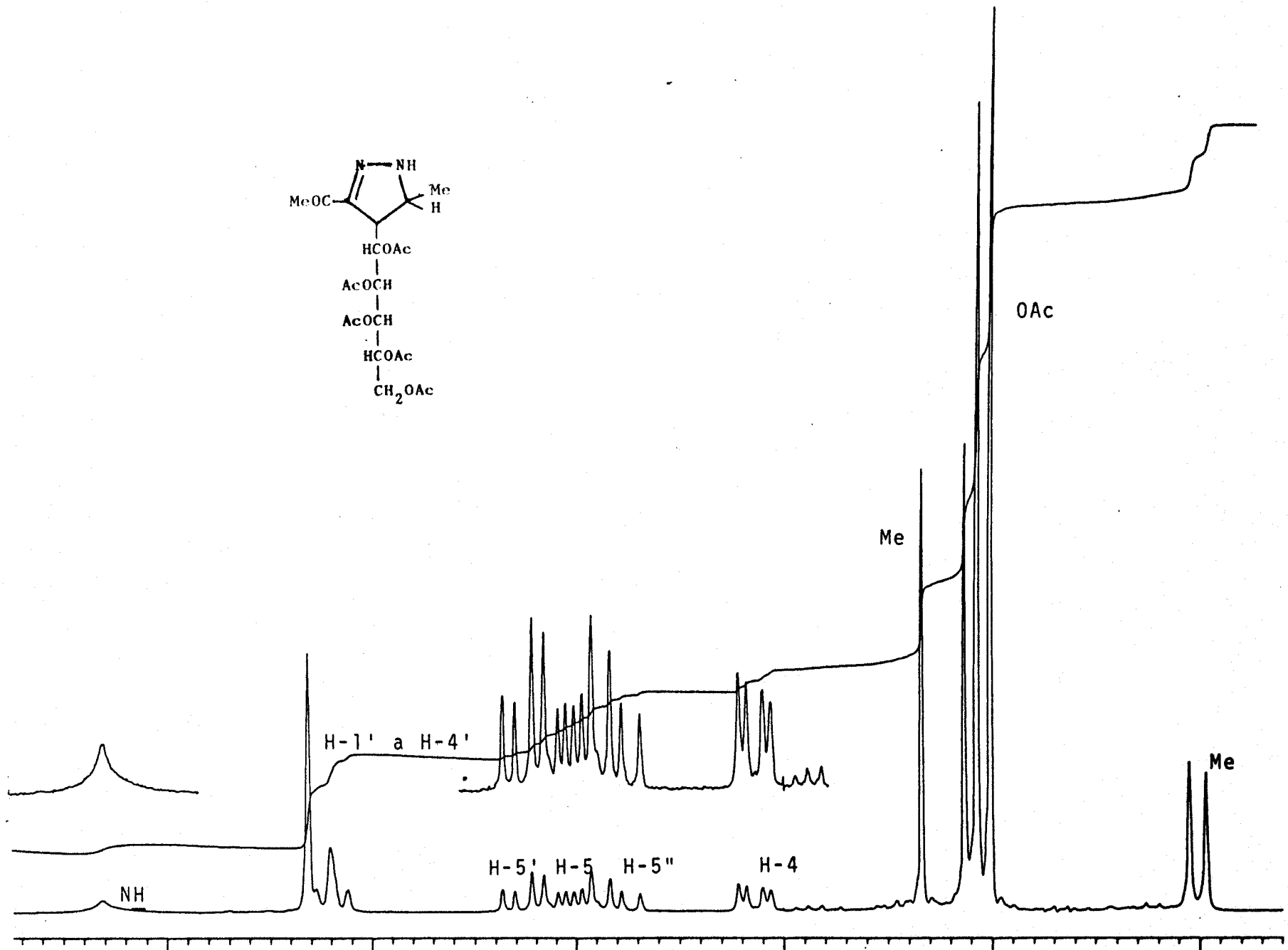
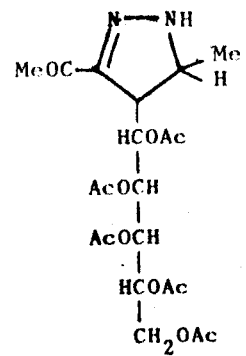
Espectro nº 58: Espectro de <sup>1</sup>H-RMN del compuesto 130 registrado en CDCl<sub>3</sub> a 200 MHz.  
(Tablas 38 y 39).

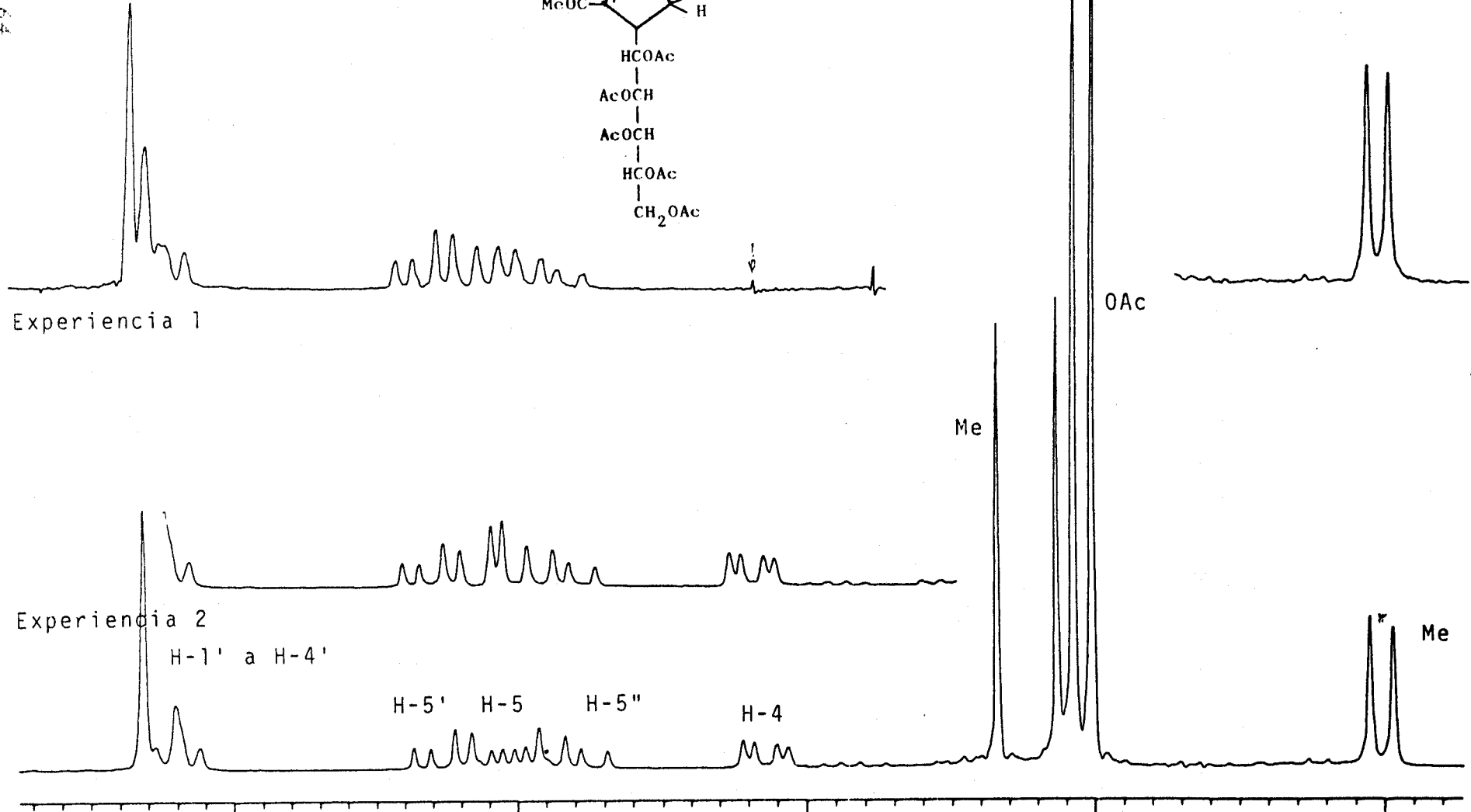
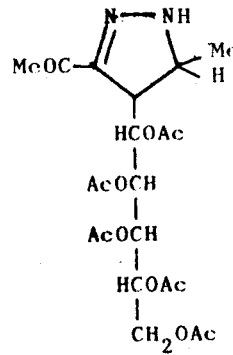


Espectro nº 59: Espectro de <sup>1</sup>H-RMN del compuesto 131 registrado en CDCl<sub>3</sub> a 80 MHz.  
(Tablas 38 y 39).

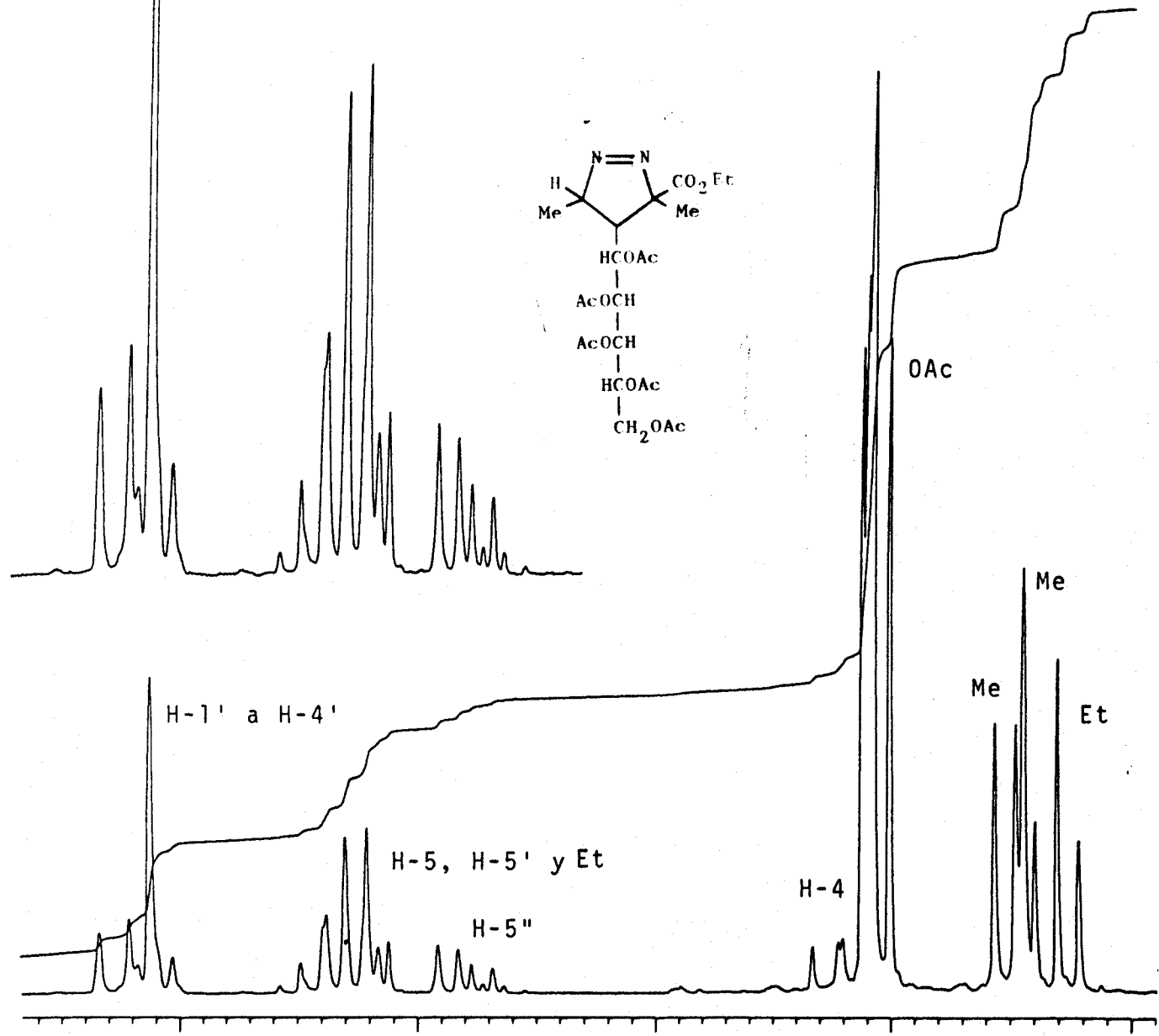


Espectro nº 60: Espectro de <sup>1</sup>H-RMN del compuesto 132' registrado en  $\text{CDCl}_3$  a 80 MHz. (Tablas 35 y 36).

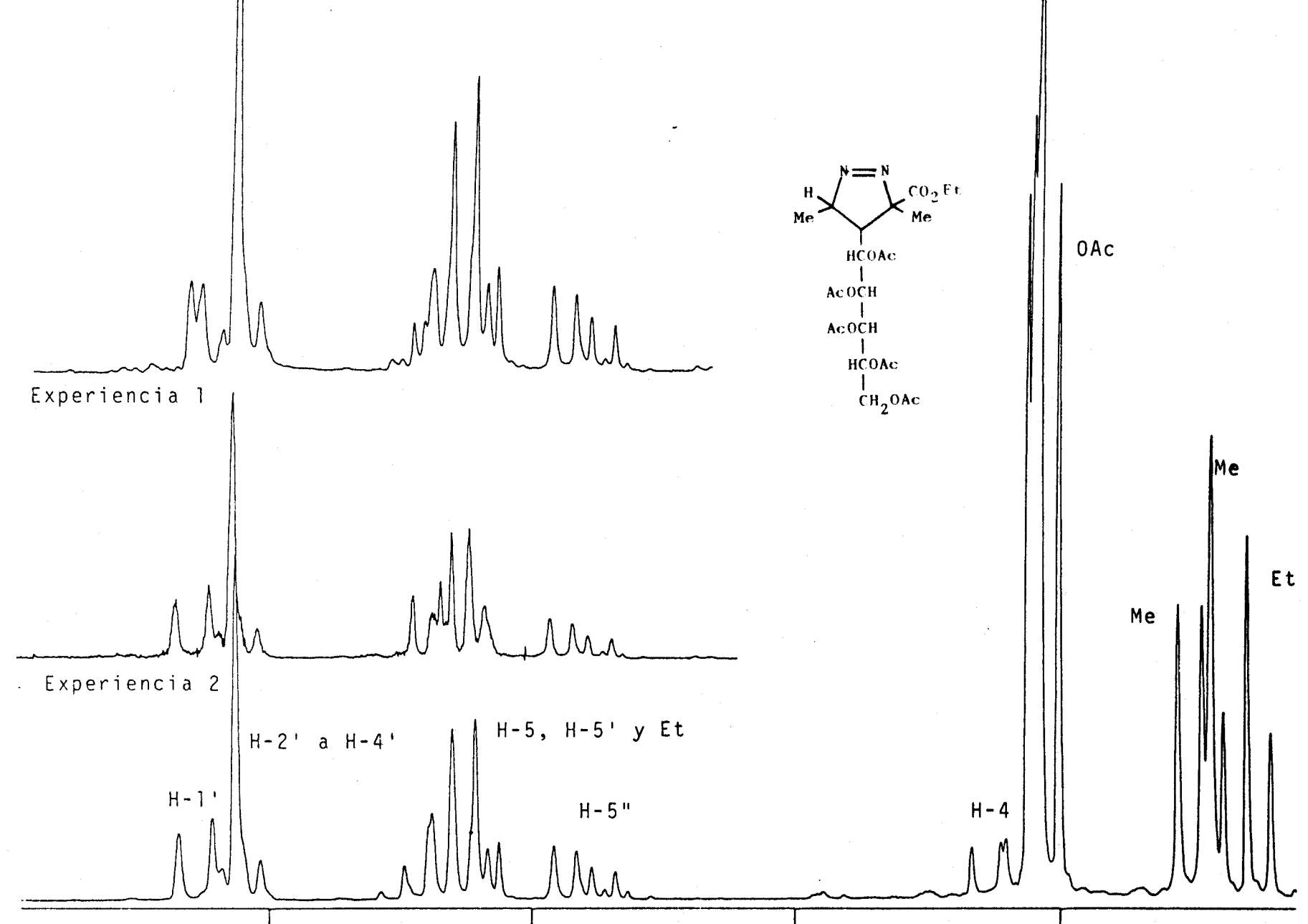




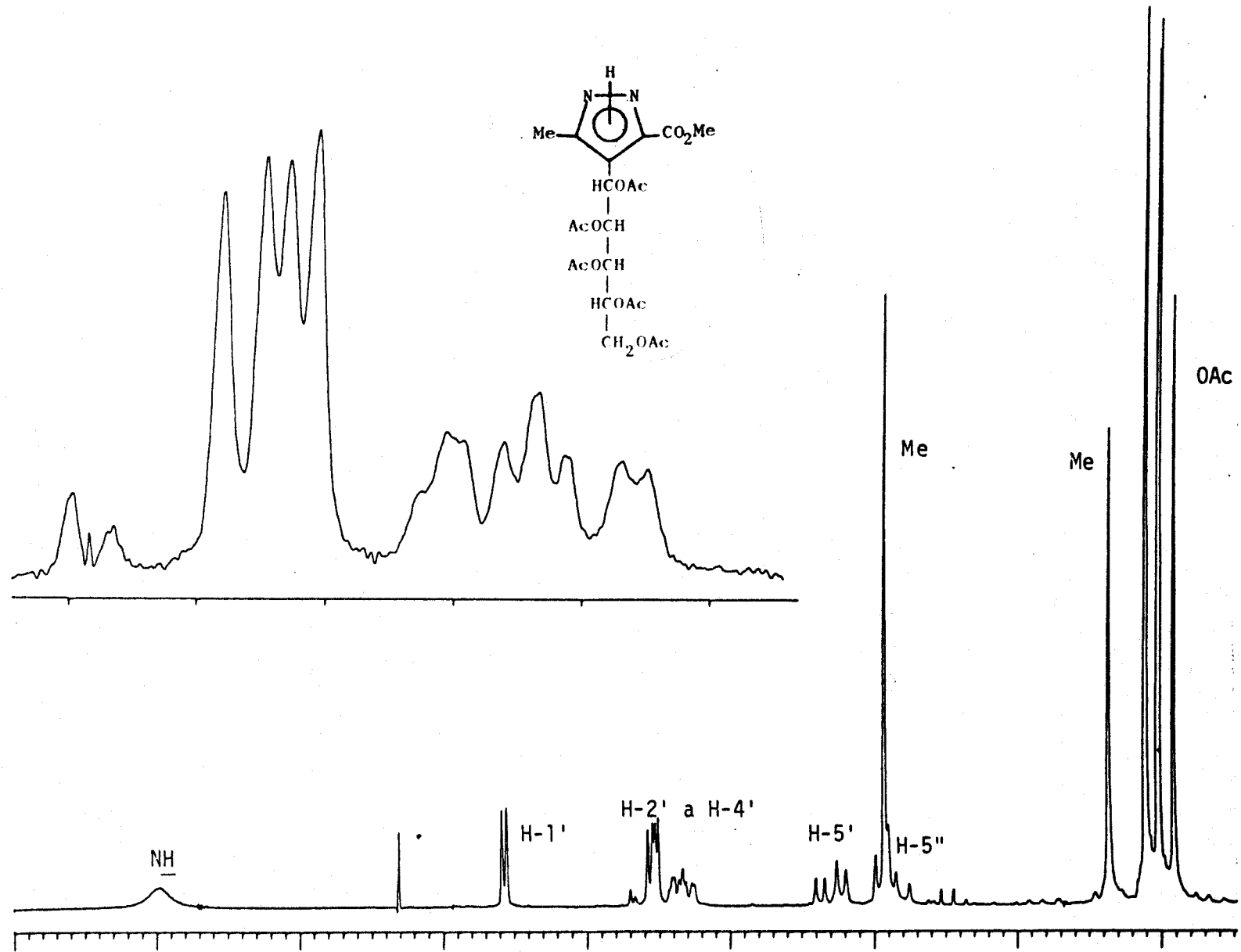
Espectro n° 62: Espectro de <sup>1</sup>H-RMN del compuesto 133' registrado en  $\text{CDCl}_3$  a 80 MHz. (Tablas 35 y 36).  
 Experiencia 1: Desacoplamiento spin-spin, irradiación sobre H-4.  
 Experiencia 2: Desacoplamiento spin-spin, irradiación sobre el metilo unido a H-5.



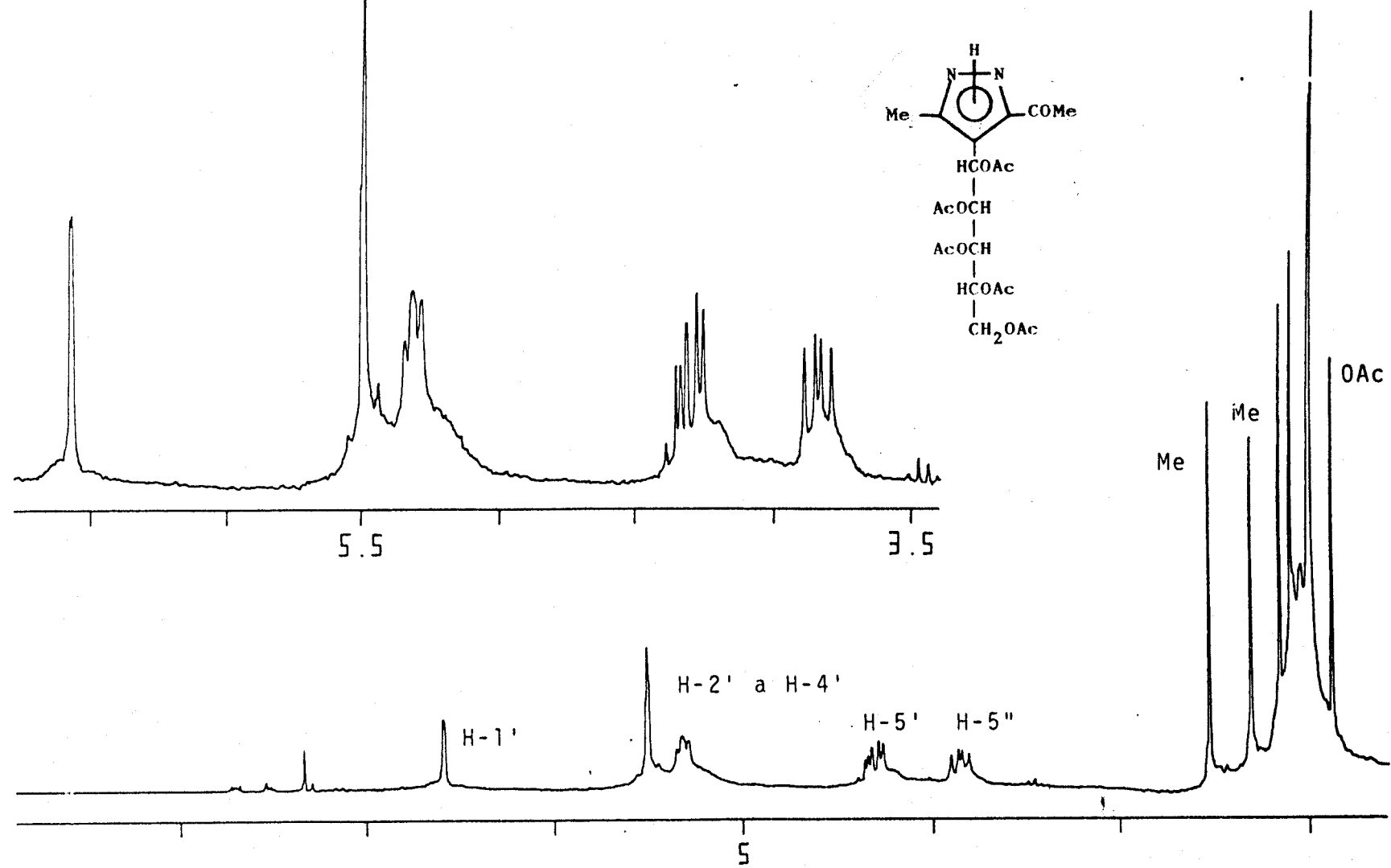
Espectro nº 63: Espectro de <sup>1</sup>H-RMN del compuesto 134 registrado en CDCl<sub>3</sub> a 80 MHz. (Tablas 35 y 36).



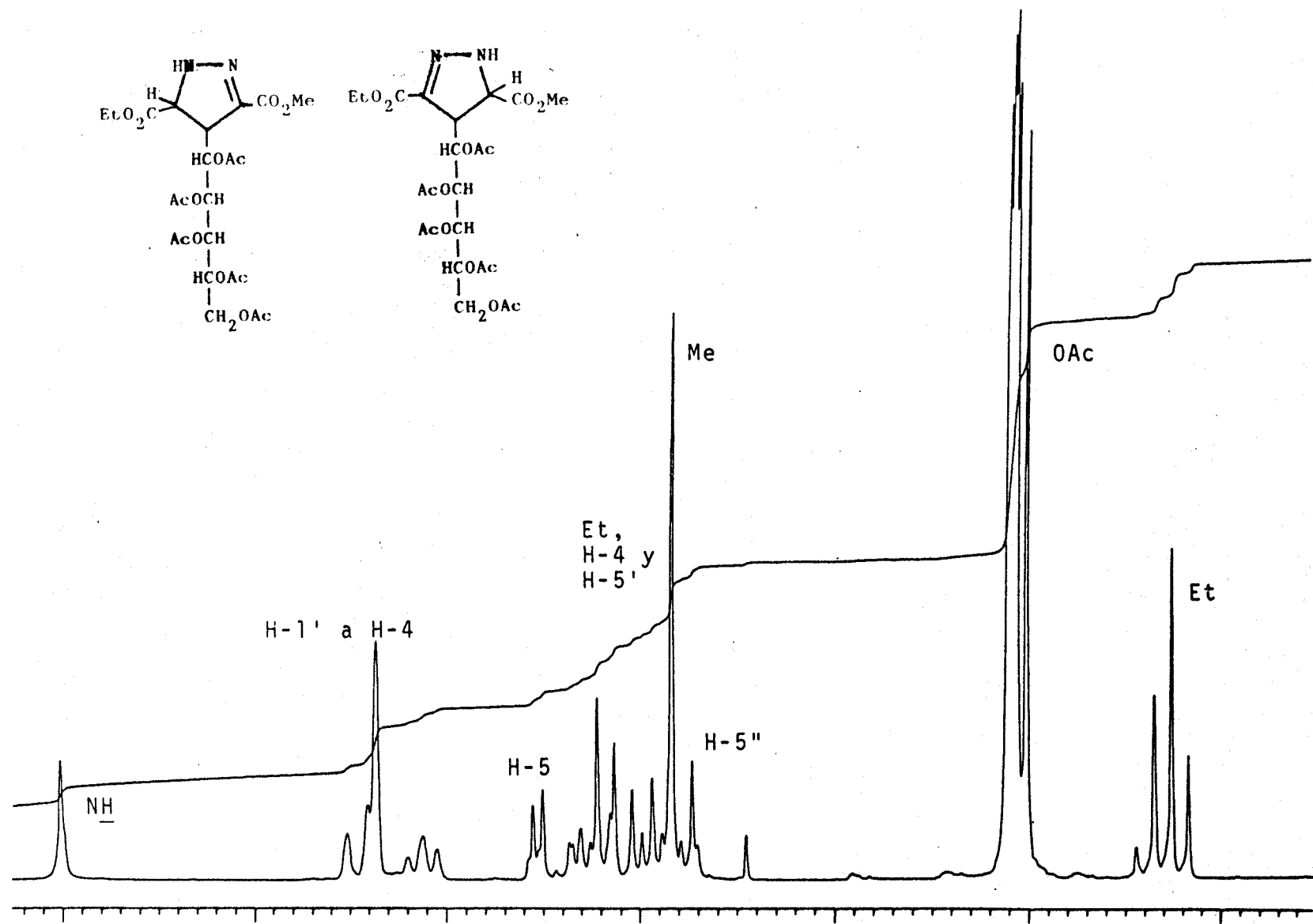
Espectro nº 64: Espectro de <sup>1</sup>H-RMN del compuesto 134 registrado en CDCl<sub>3</sub>, a 80 MHz. (Tablas 35 y 36).  
 Experiencia 1: Desacoplamiento spin-spin, irradiación sobre H-4.  
 Experiencia 2: Desacoplamiento spin-spin, irradiación sobre el metilo unido a H-5.



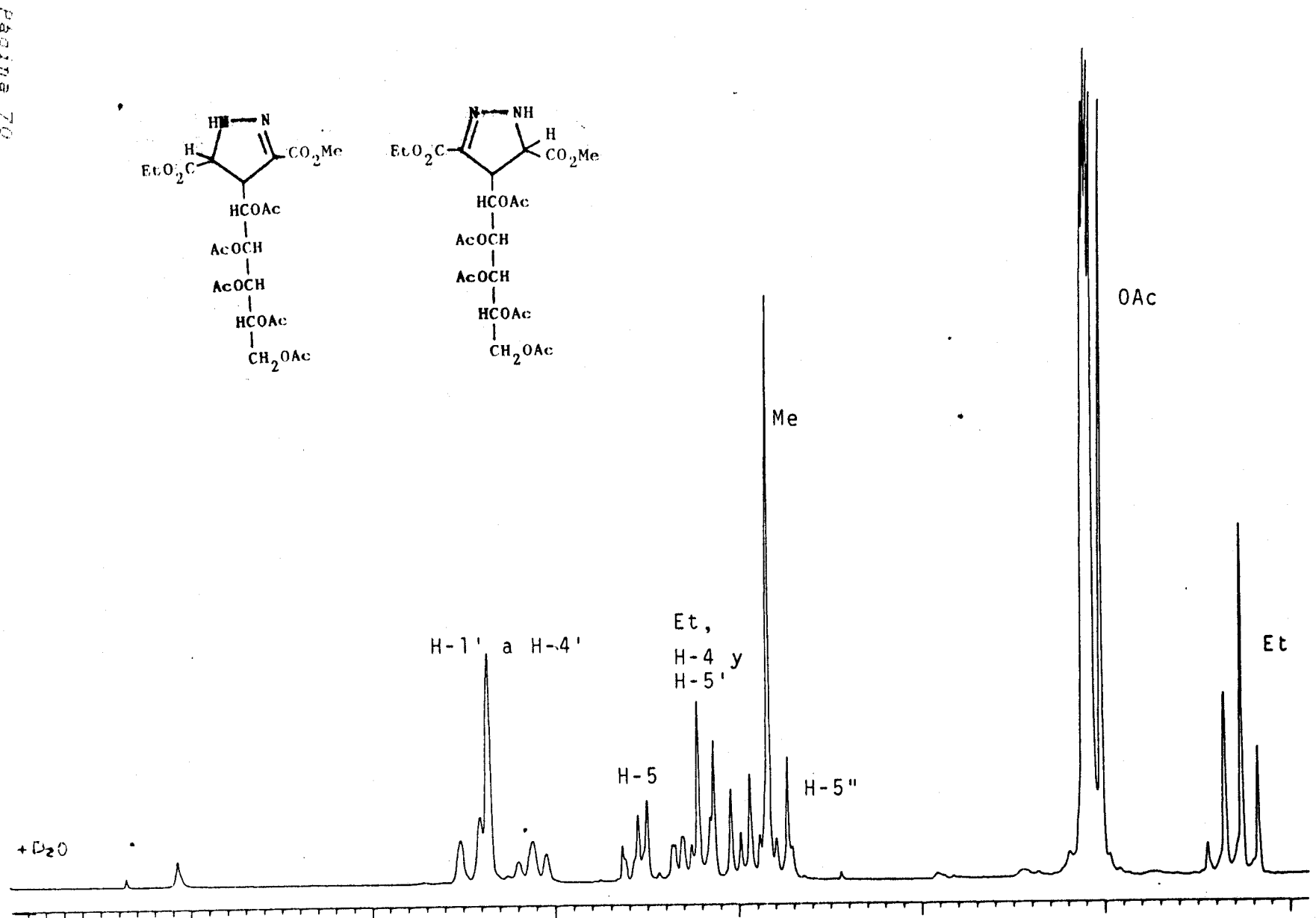
Espectro nº 65: Espectro de  $^1\text{H-RMN}$  del compuesto 135 registrado en  $\text{CDCl}_3$  a 80 MHz.  
(Tablas 38 y 39).



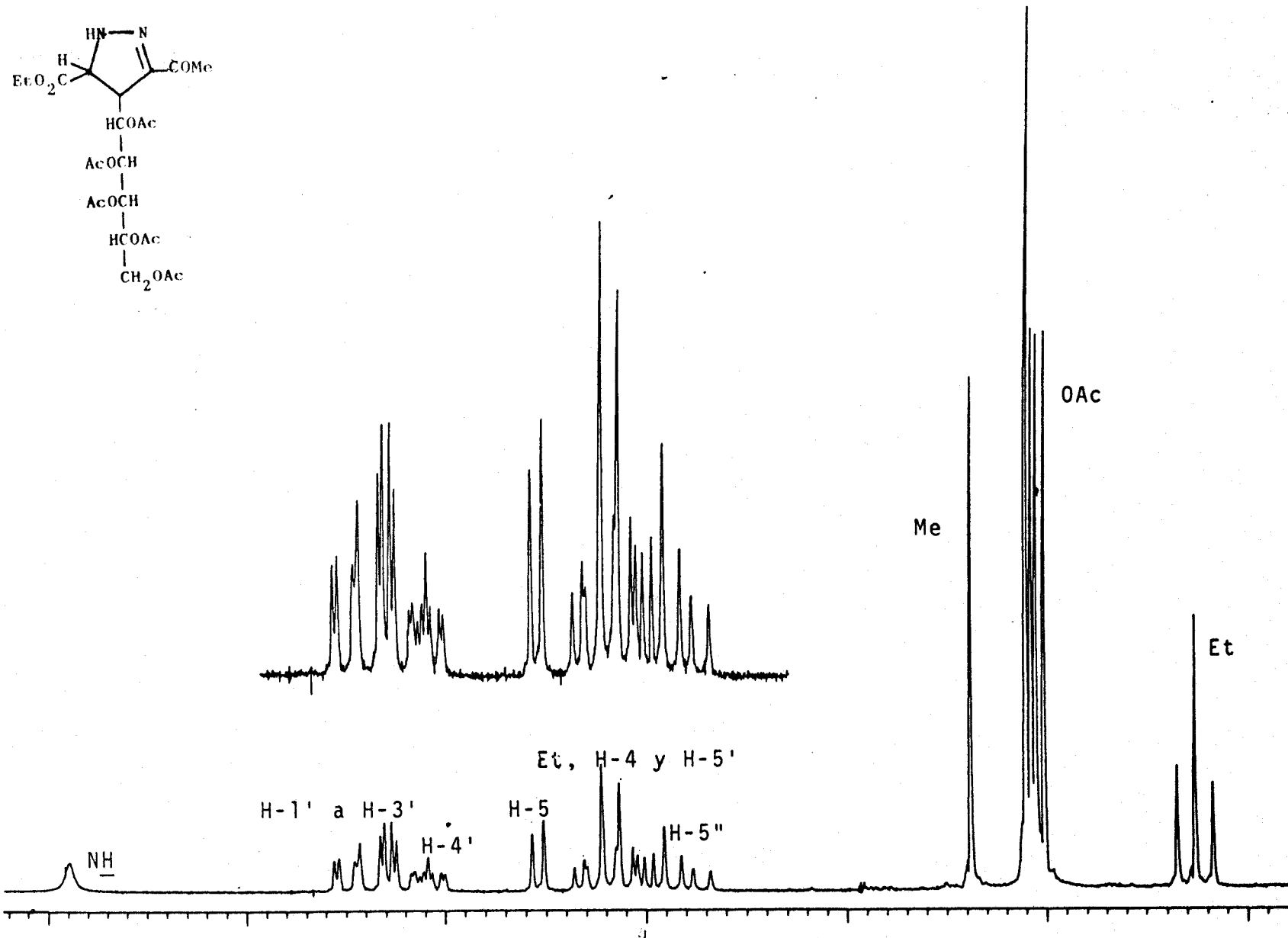
Espectro nº 66: Espectro de  $^1H$ -RMN del compuesto 136 registrado en  $\text{CDCl}_3$  a 200 MHz.  
(Tablas 38 y 39).



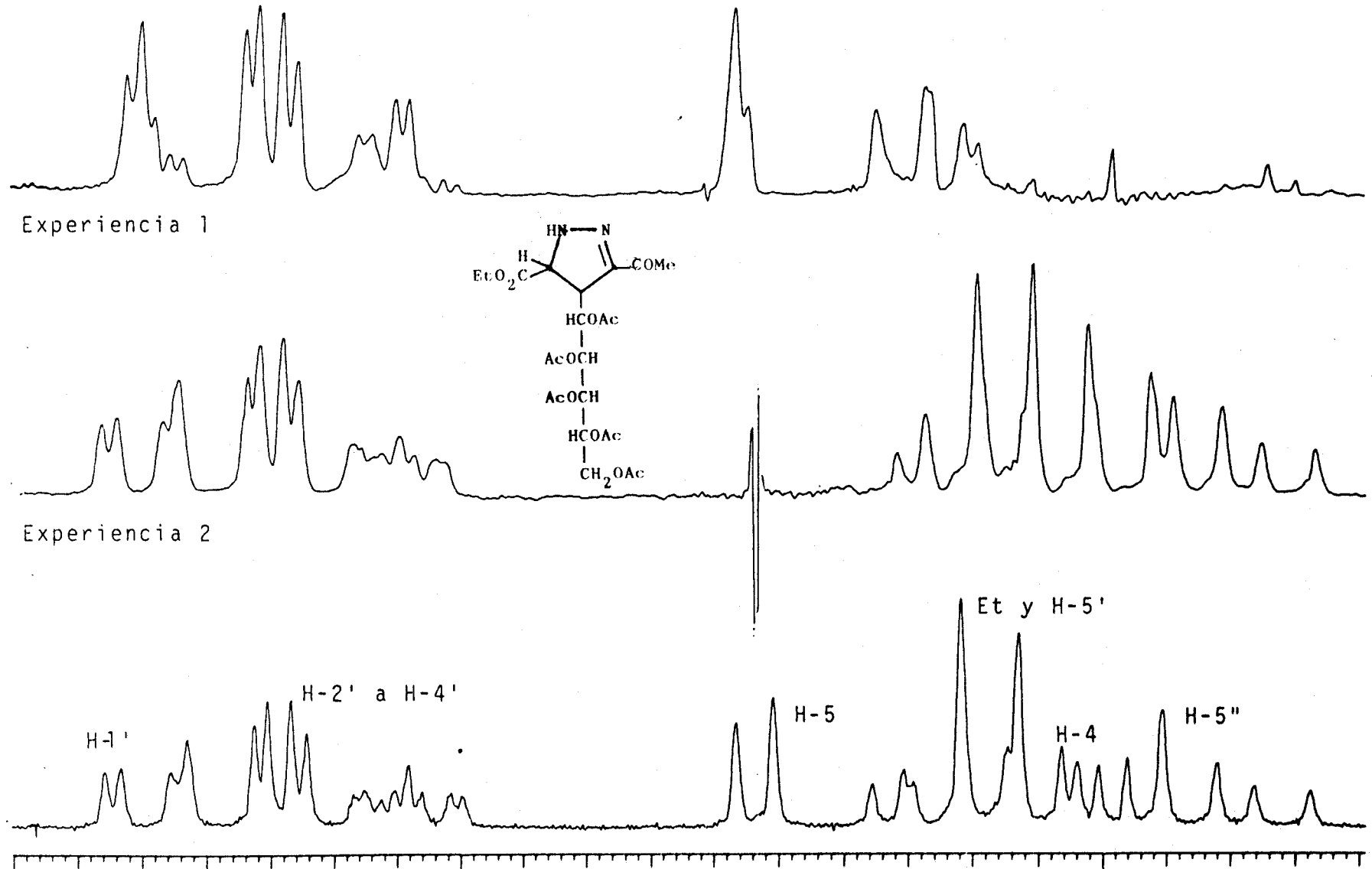
Espectro nº 67: Espectro de  $^1\text{H}$ -RMN del compuesto 137 registrado en  $\text{CDCl}_3$  a 80 MHz. (Tablas 35 y 36).



Espectro n° 68: Espectro de <sup>1</sup>H-RMN del compuesto 137 registrado en CDCl<sub>3</sub> a 80 MHz, después de agitar la muestra con D<sub>2</sub>O. (Tablas 35 y 36).



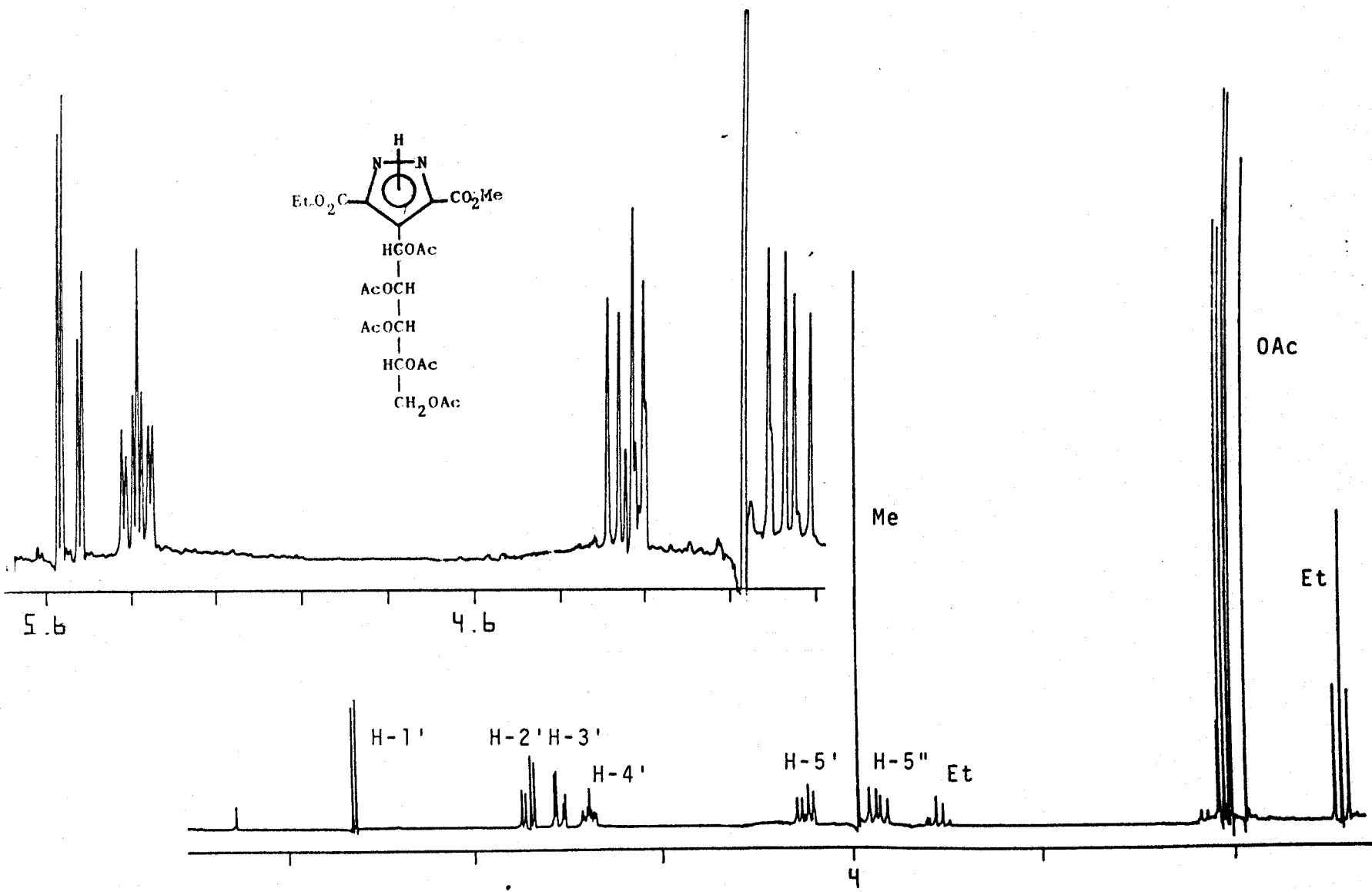
Espectro nº 69: Espectro de <sup>1</sup>H-RMN del compuesto 138 registrado en  $\text{CDCl}_3$  a 80 MHz. (Tablas 35 y 36).



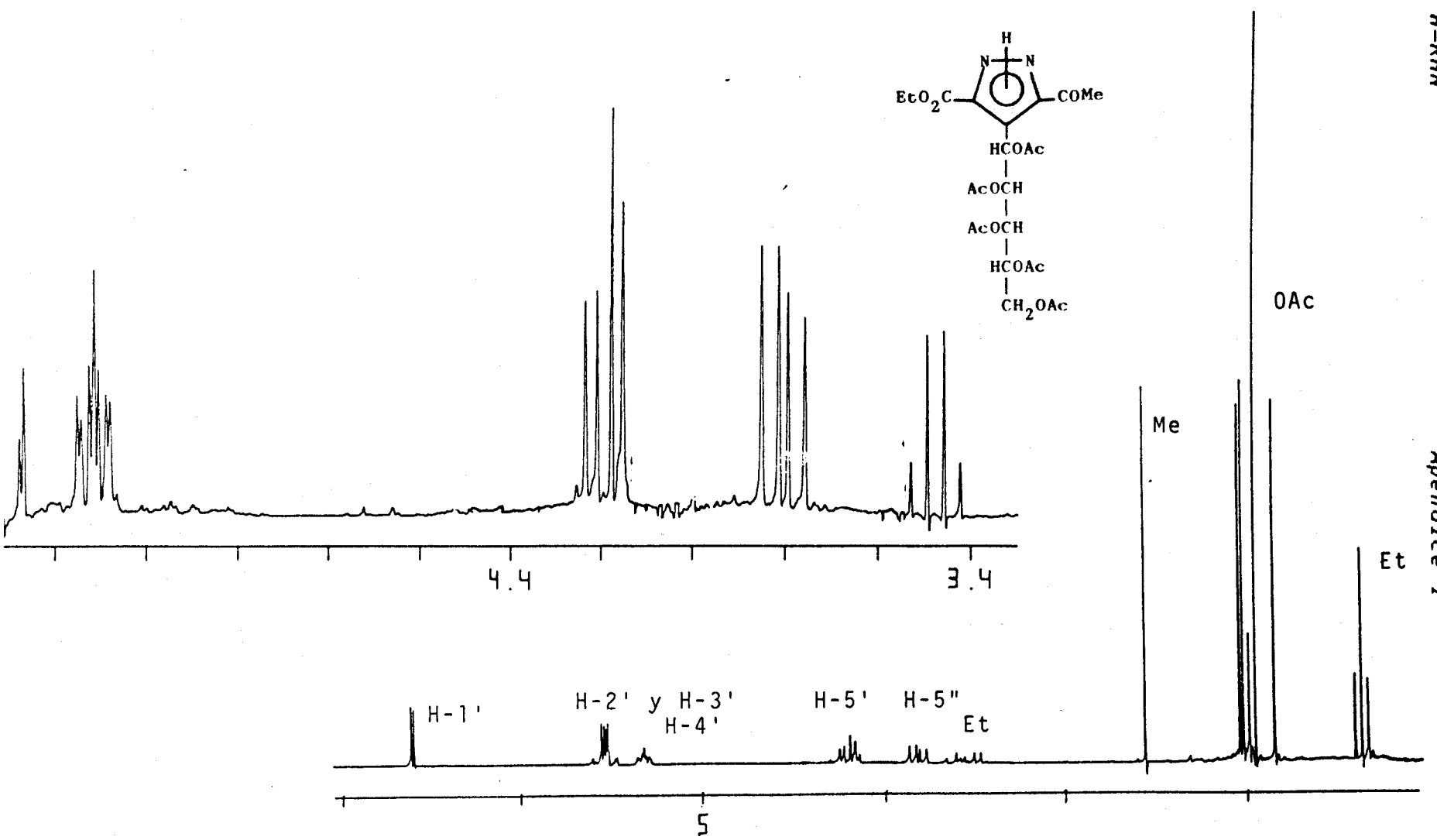
Espectro n° 70: Espectro de <sup>1</sup>H-RMN del compuesto 138 registrado en CDCl<sub>3</sub> a 80 MHz. (Tablas 35 y 36).

Experiencia 1: Desacoplamiento spin-spin, irradiación sobre H-4.

Experiencia 2: Desacoplamiento spin-spin, irradiación sobre H-5.

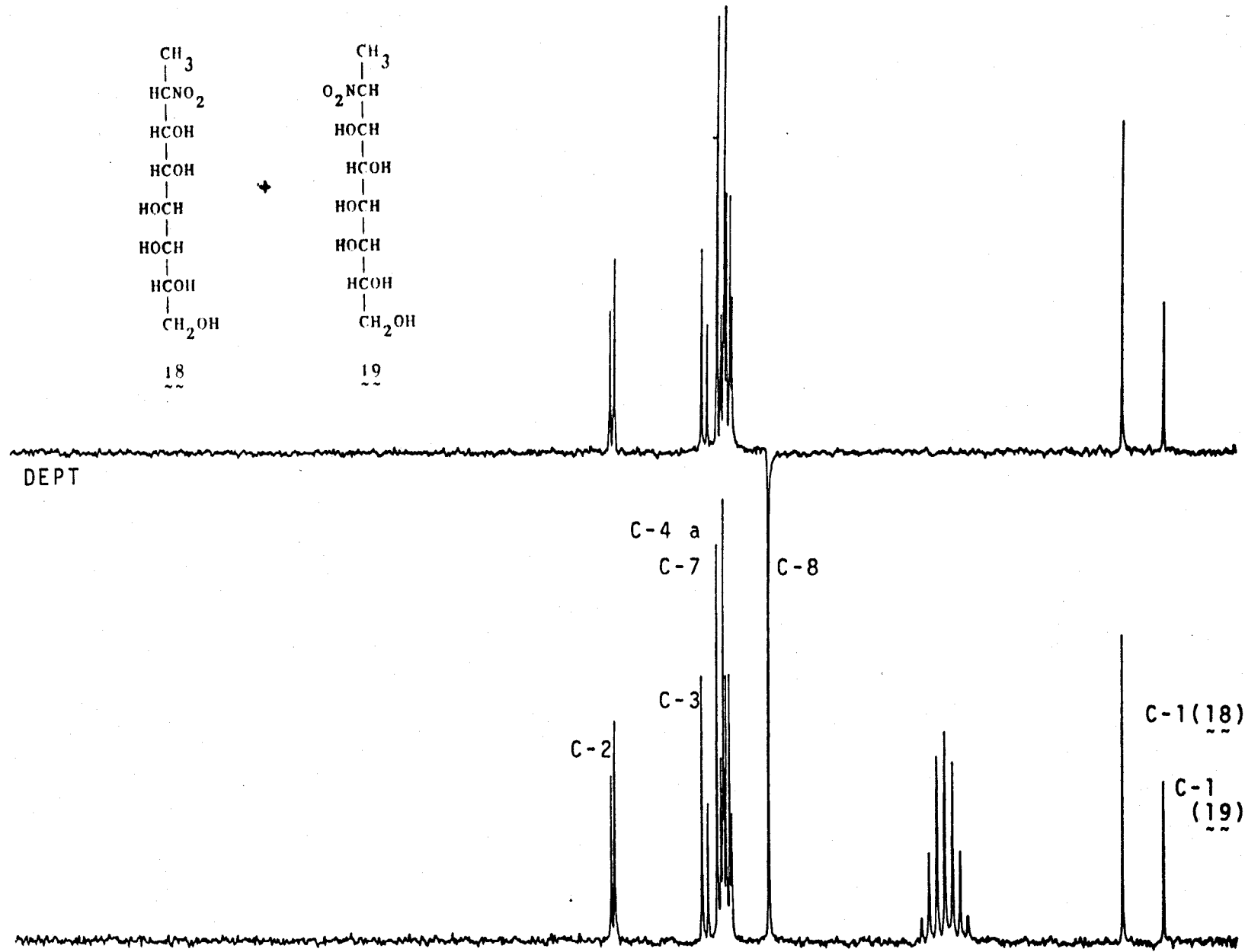


Espectro nº 71: Espectro de <sup>1</sup>H-RMN del compuesto 139 registrado en  $\text{CDCl}_3$  a 200 MHz.  
(Tablas 38 y 39).

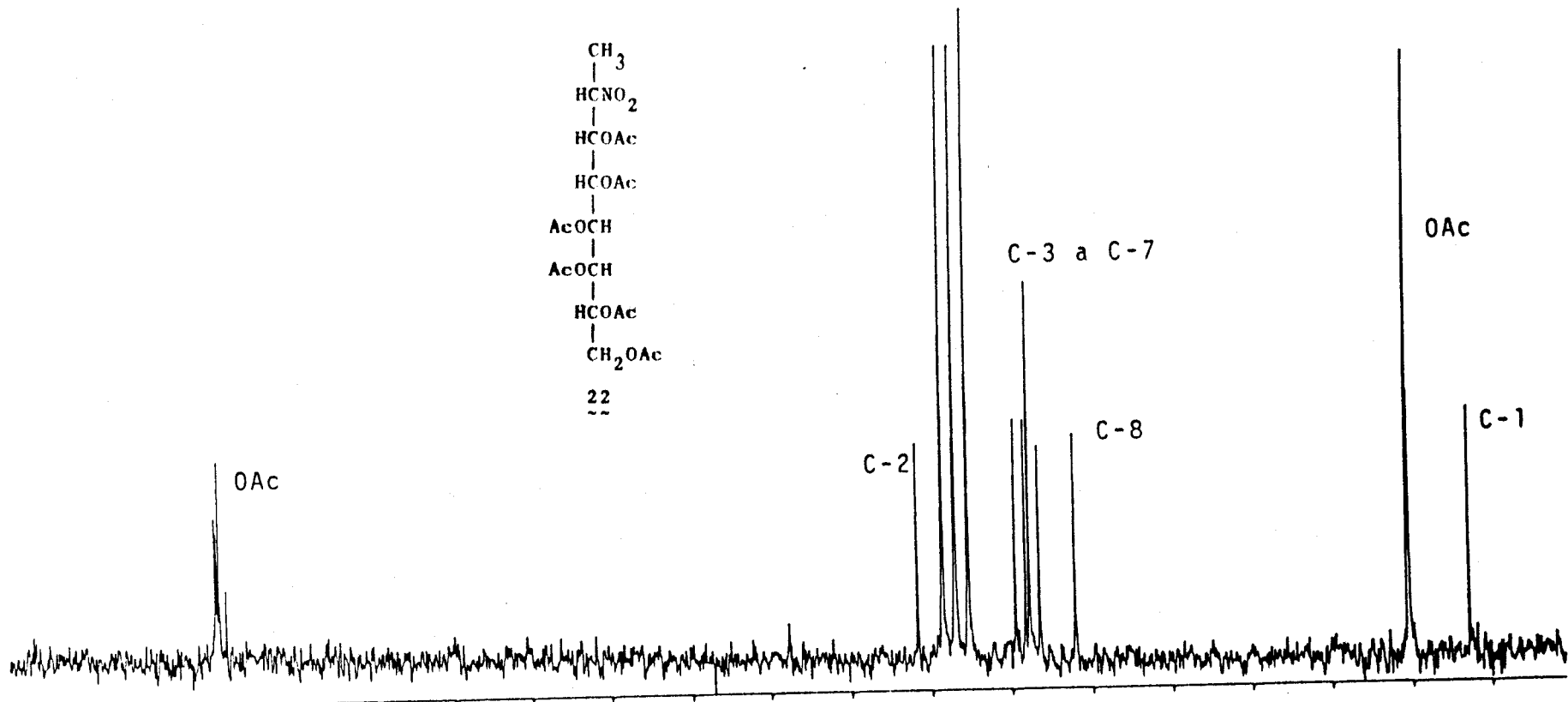


Espectro nº 72: Espectro de <sup>1</sup>H-RMN del compuesto 140 registrado en CDCl<sub>3</sub> a 200 MHz.  
(Tablas 38 y 39).

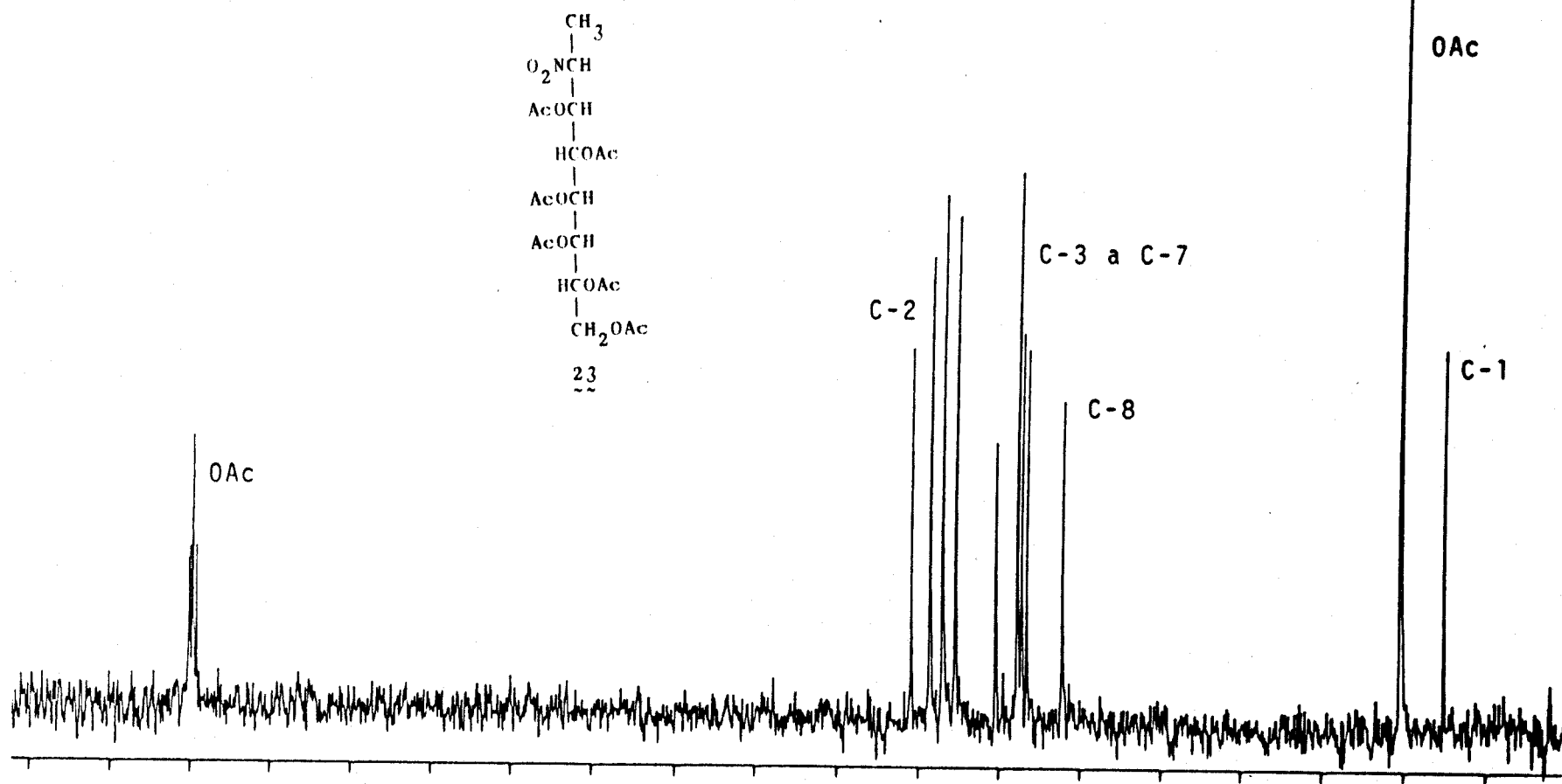
*APENDICE II. Espectros de  $^{13}\text{C}$ -RMN de los compuestos  
nuevos descritos en esta Tesis.*



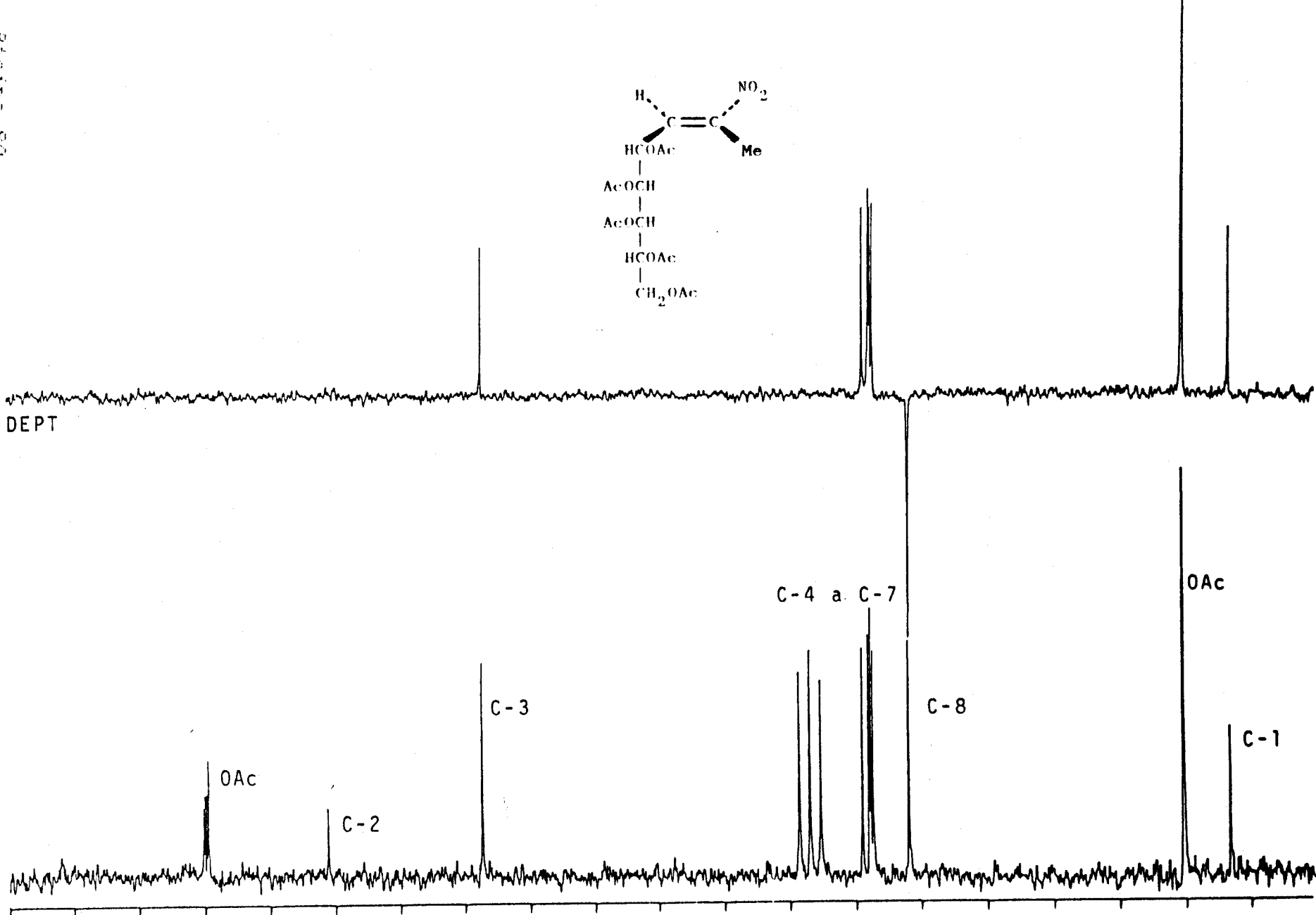
Espectro nº 73: Espectro de <sup>13</sup>C-RMN de los compuestos 18 y 19 registrado en DMSO-d<sub>6</sub> a 80 MHz. (Tabla 10).



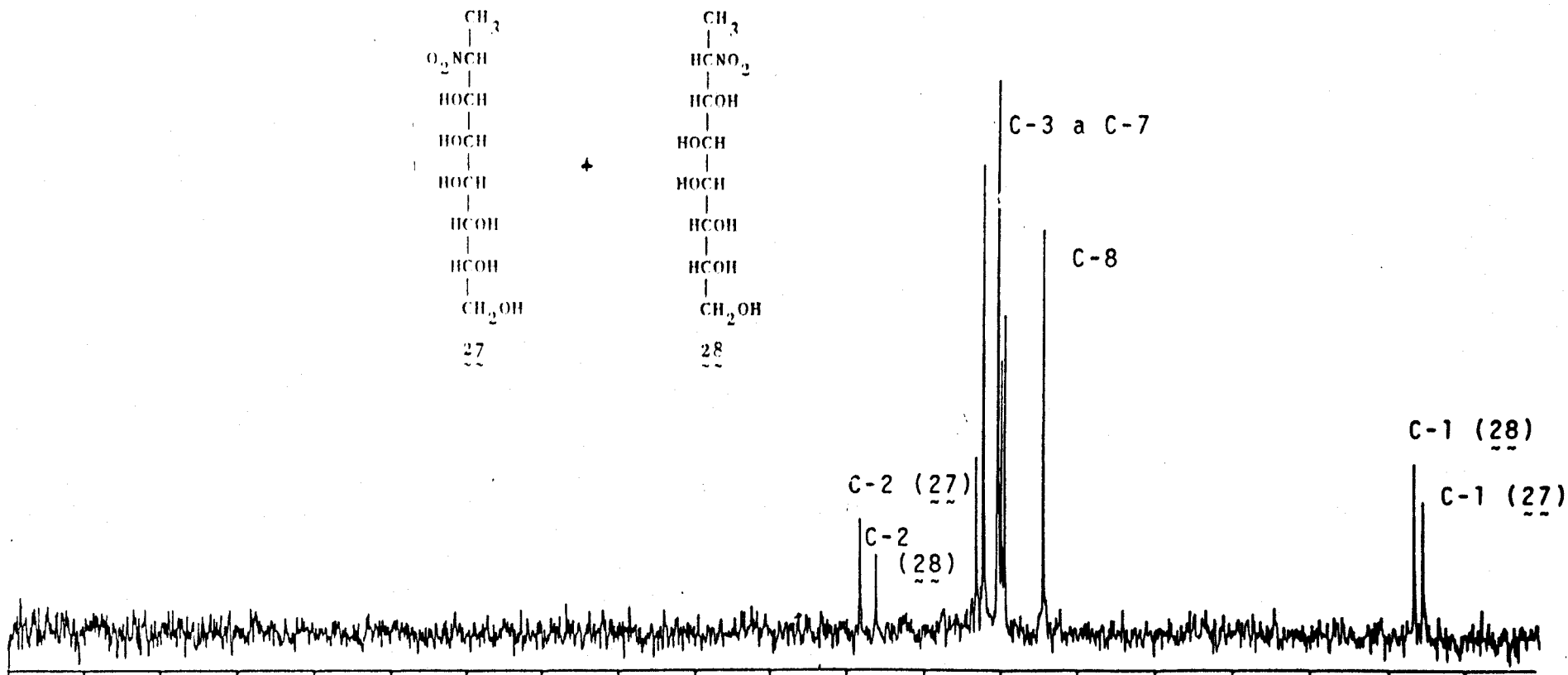
Espectro nº 74: Espectro de <sup>13</sup>C-RMN del compuesto 22 registrado en  $\text{CDCl}_3$  a 80 MHz. (Tabla 10).



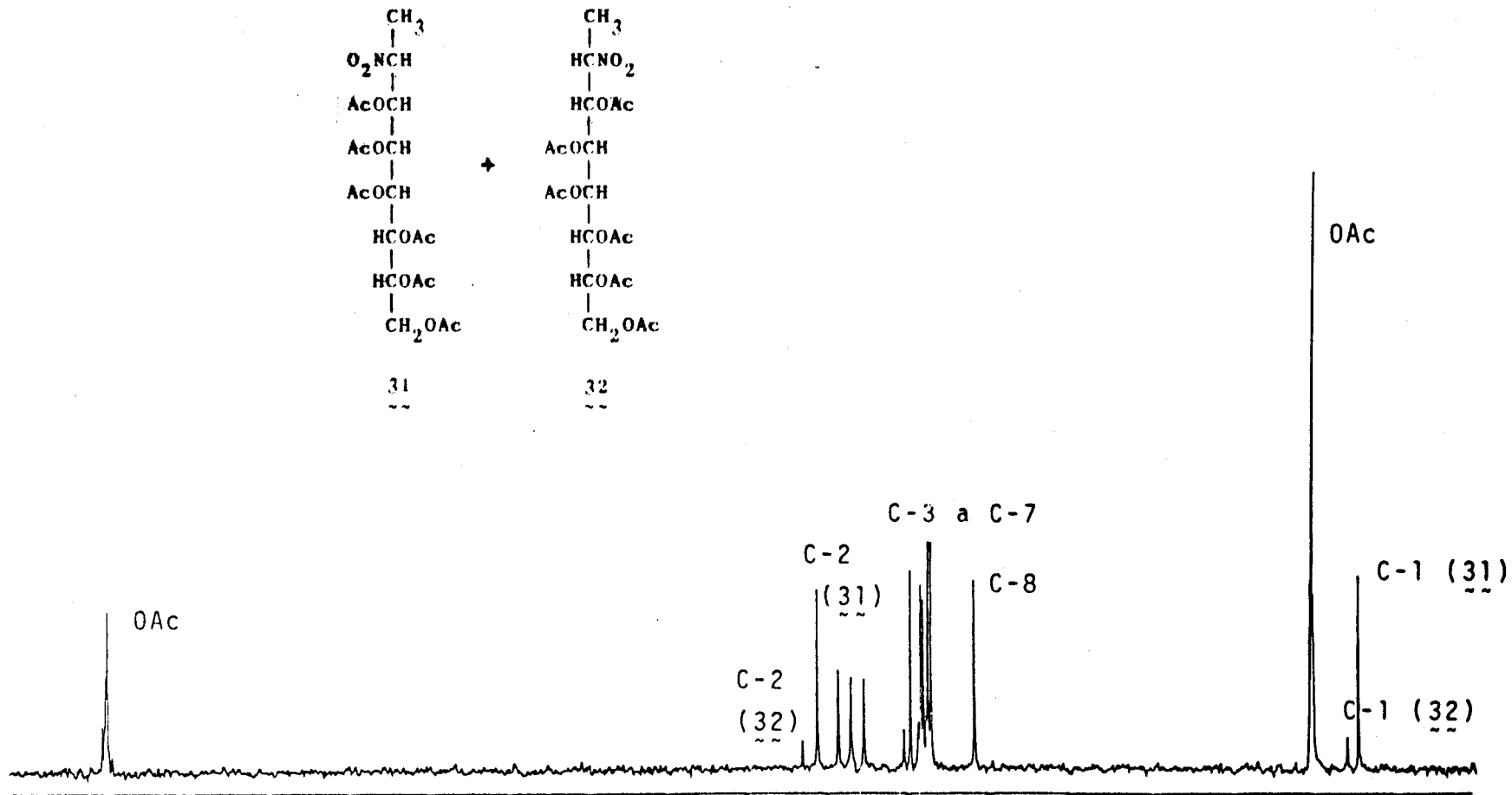
Espectro nº 75: Espectro de <sup>13</sup>C-RMN del compuesto 23 registrado en  $\text{CDCl}_3$  a 80 MHz. (Tabla 10).



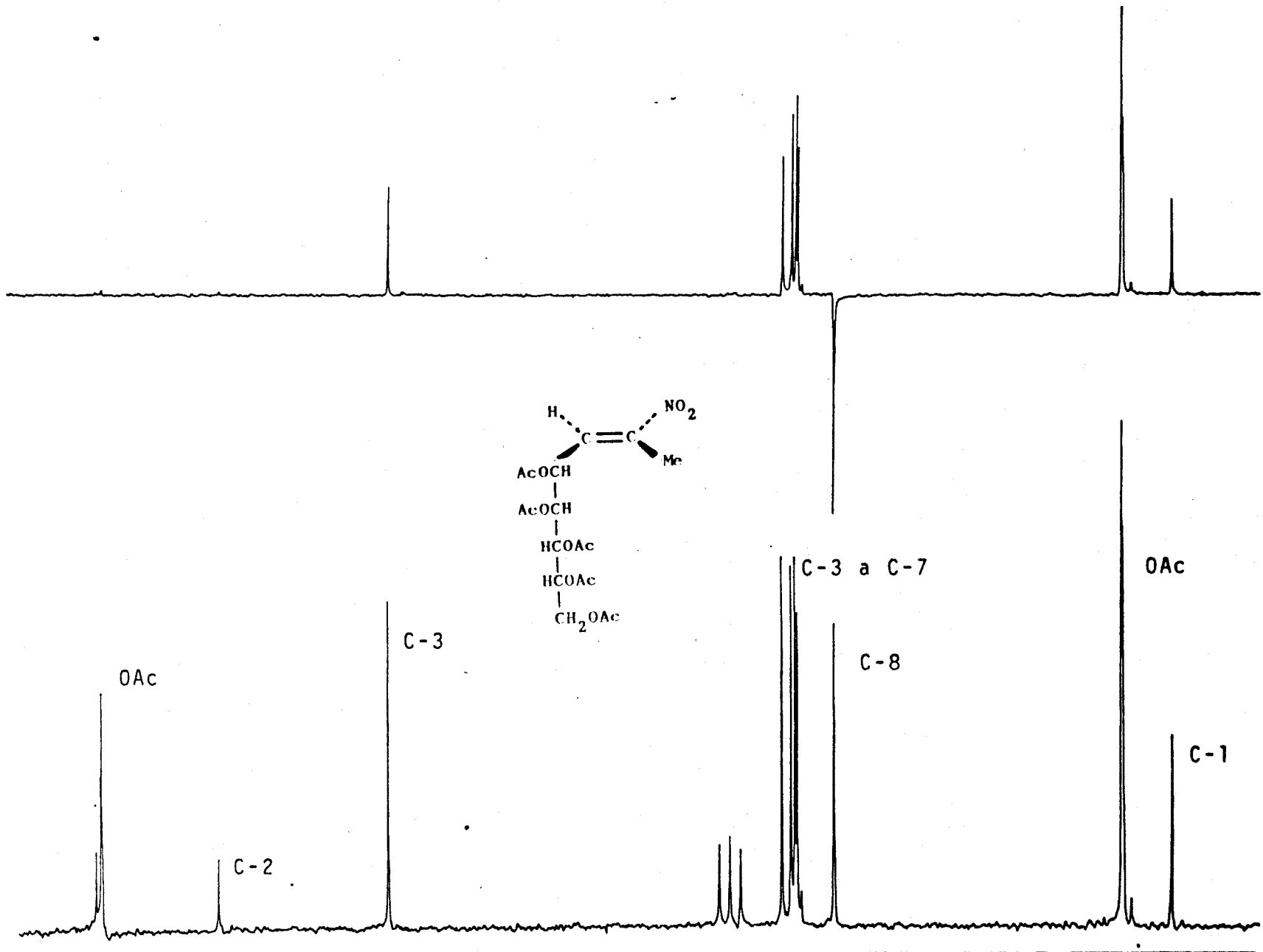
Espectro n° 76: Espectro de  $^{13}\text{C}$ -RMN del compuesto 26 registrado en  $\text{CDCl}_3$  a 80 MHz. (Tabla 13).



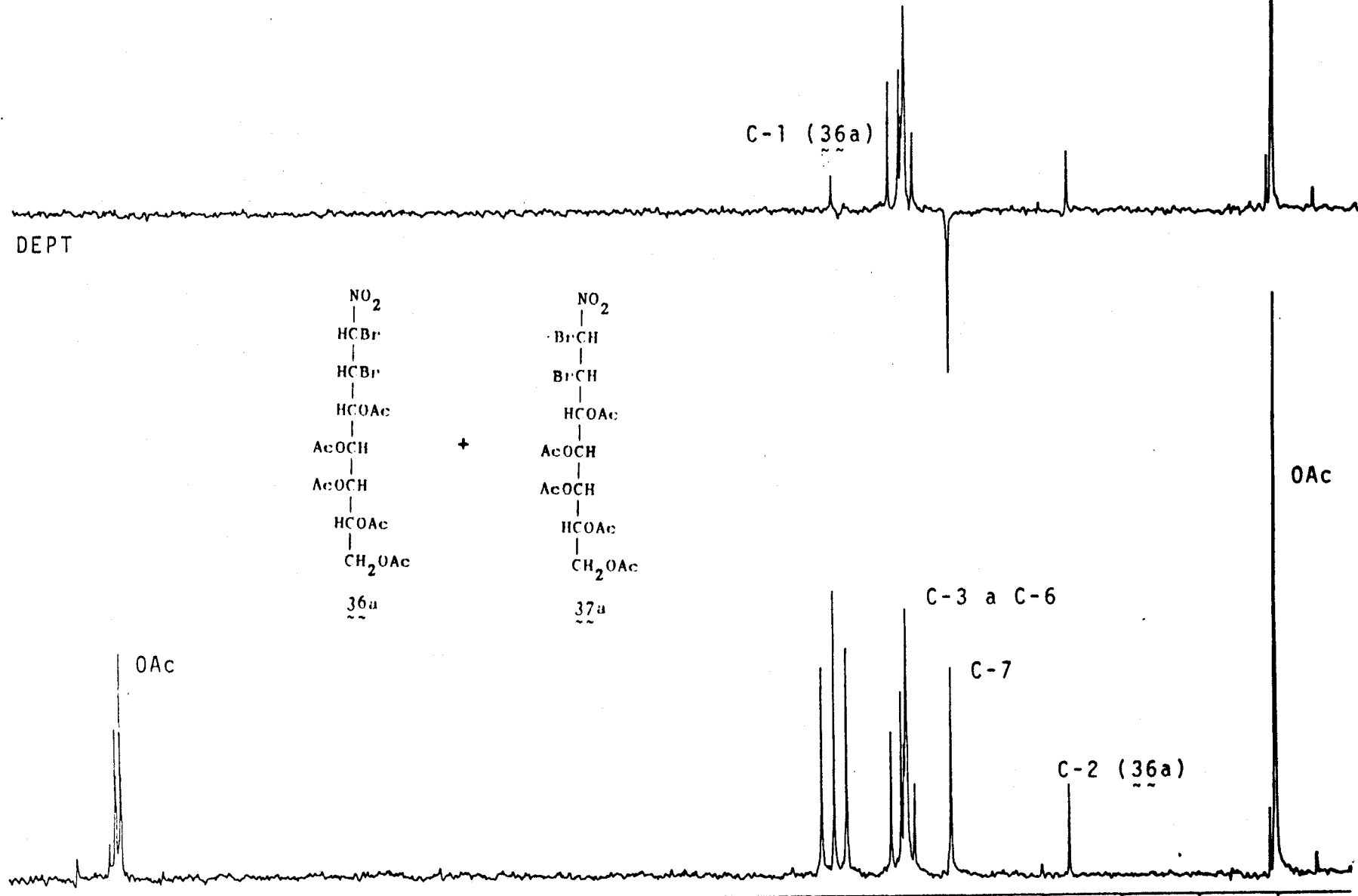
Espectro nº 77: Espectro de <sup>13</sup>C-RMN de los compuestos 27 y 28 registrado en DMSO-d<sub>6</sub> a 80 MHz. (Tabla 10).



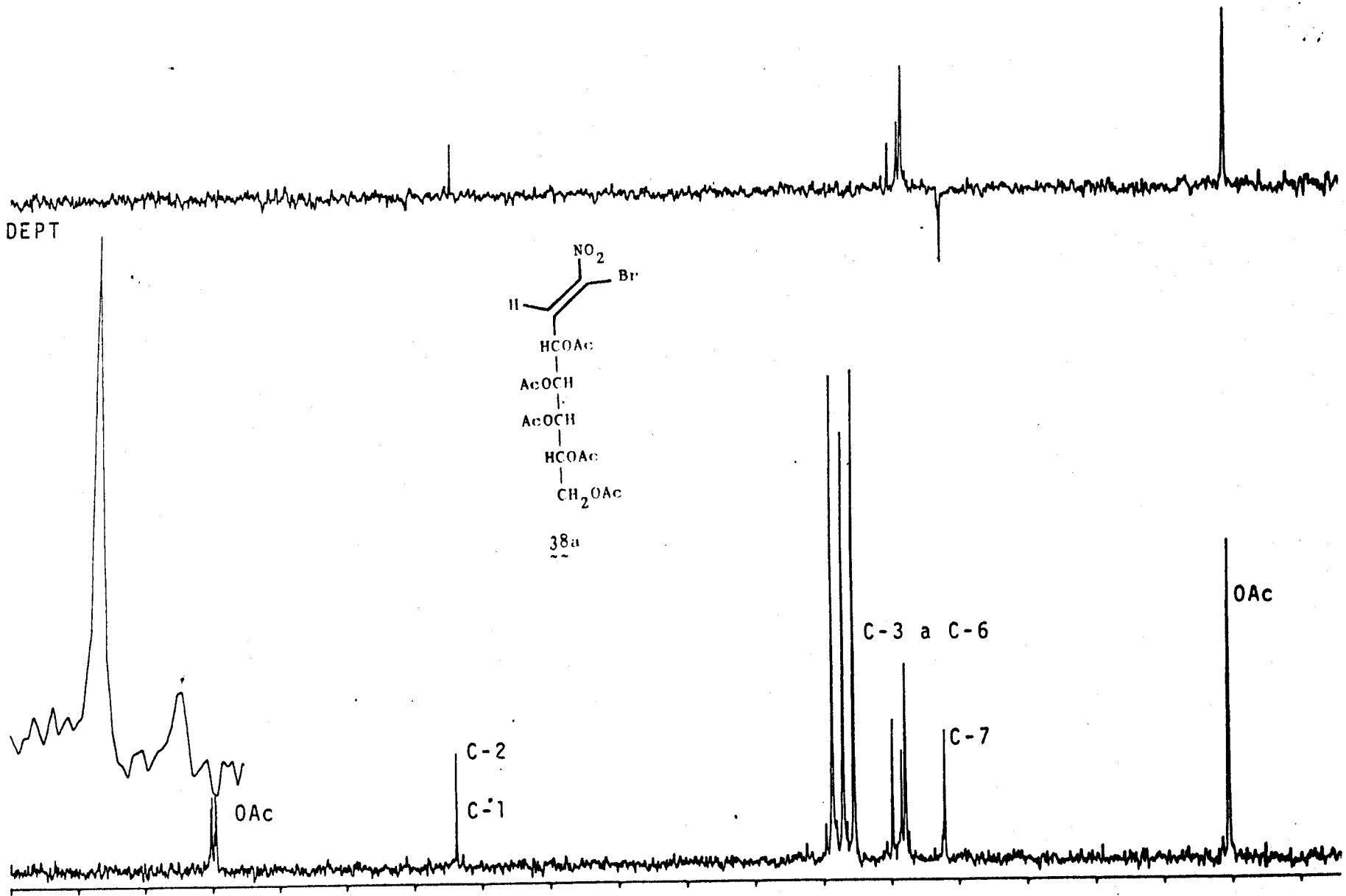
Espectro nº 78: Espectro de <sup>13</sup>C-RMN de los compuestos 31 y 32 registrado en CDCl<sub>3</sub> a 80 MHz. (Tabla 10).



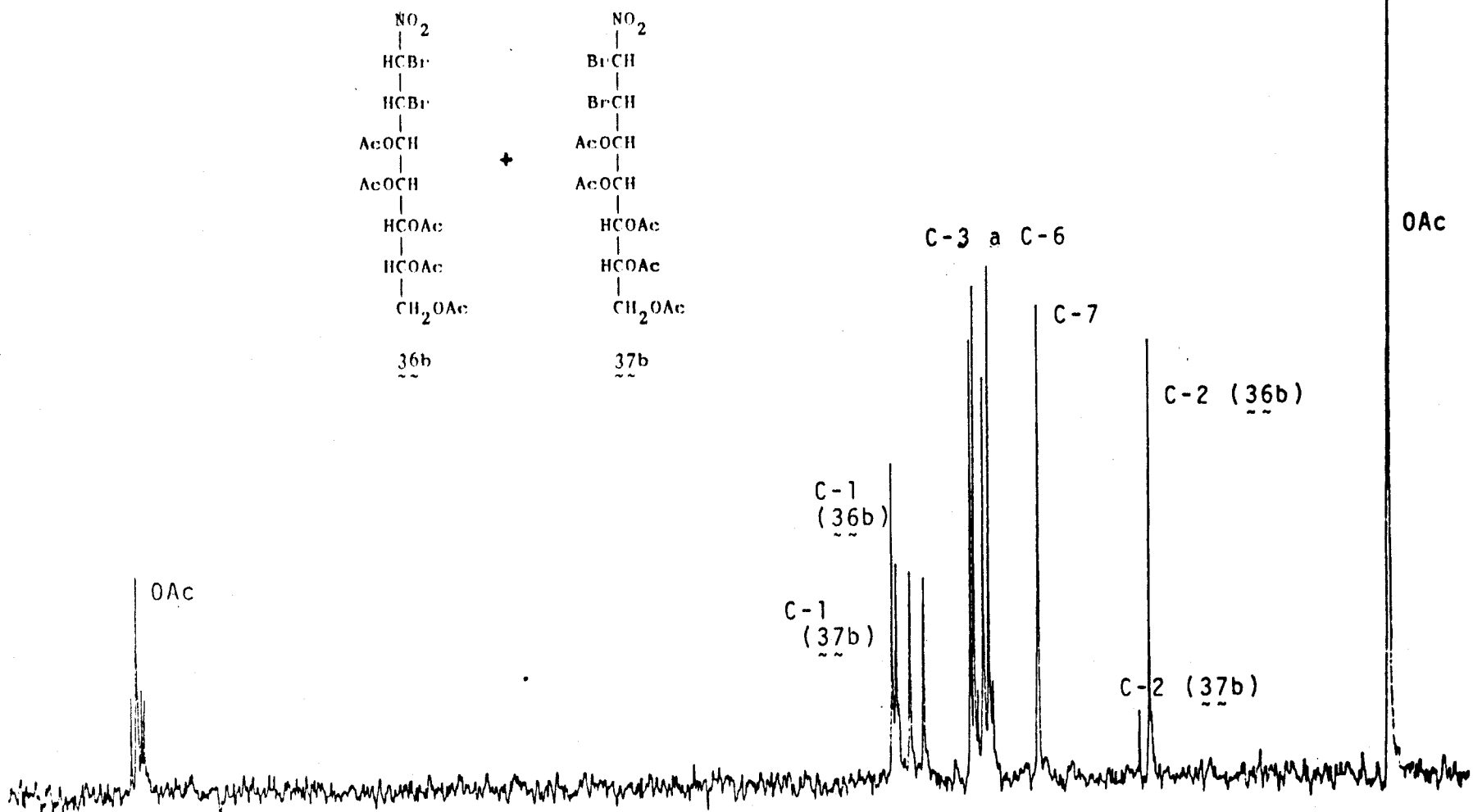
Espectro nº 79: Espectro de <sup>13</sup>C-RMN del compuesto 35 registrado en CDCl<sub>3</sub> a 80 MHz. (Tabla 13).



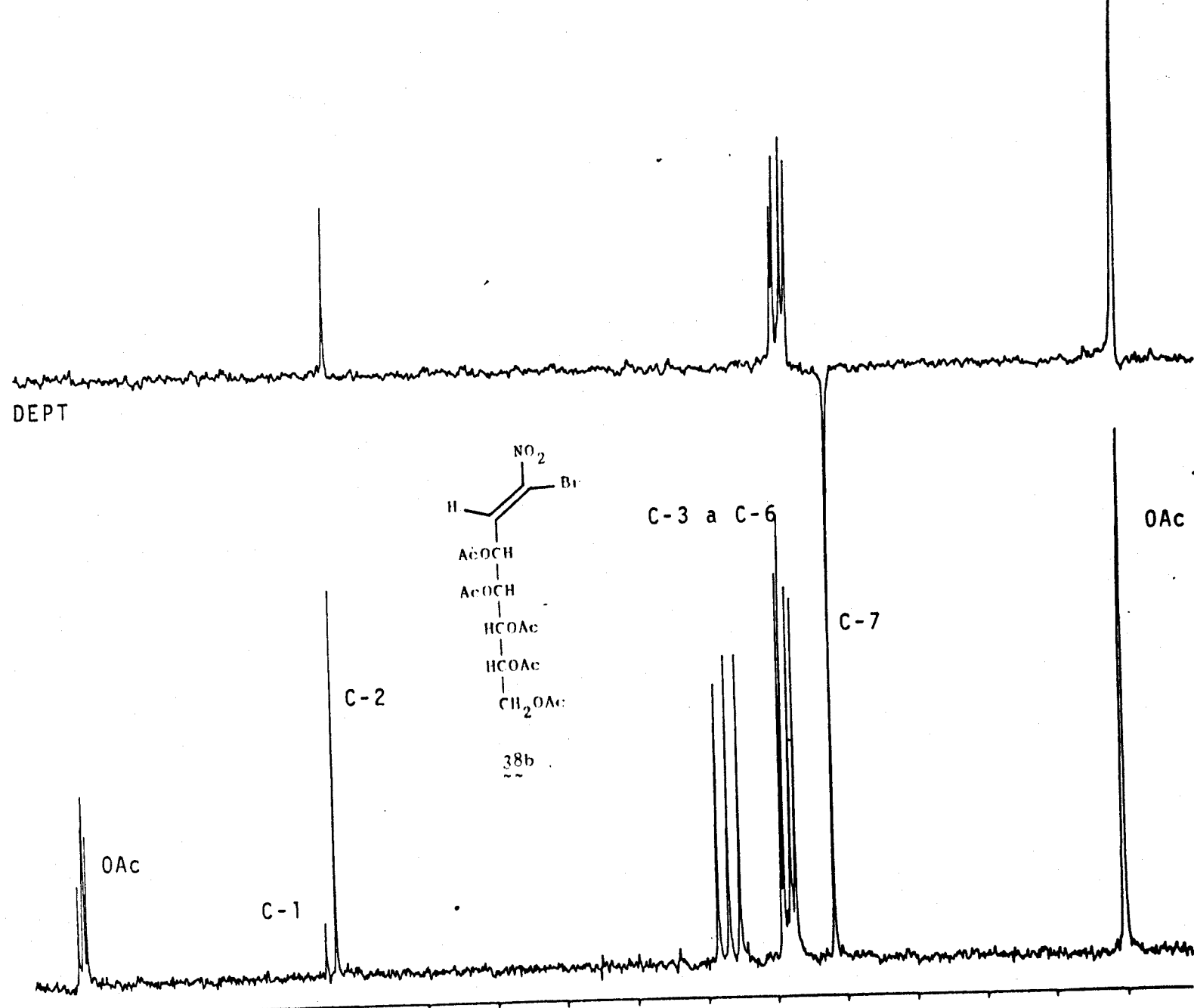
Especro nº 80: Espectro de <sup>13</sup>C-RMN de los compuestos 36a y 37a registrado en CDCl<sub>3</sub> a 80 MHz. (Tabla 16).



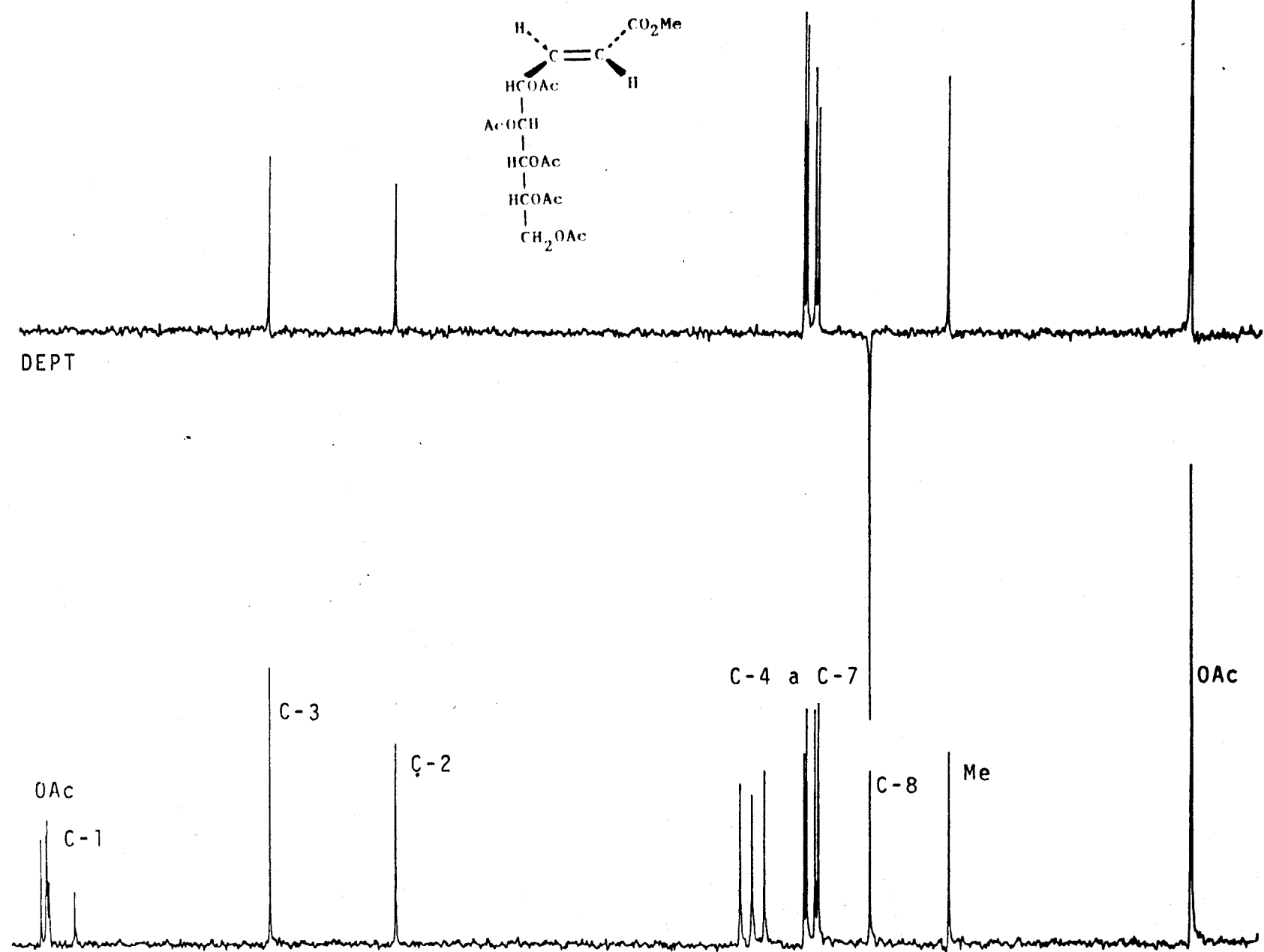
Espectro nº 81: Espectro de <sup>13</sup>C-RMN del compuesto 38a registrado en CDCl<sub>3</sub> a 80 MHz. (Tabla 13).

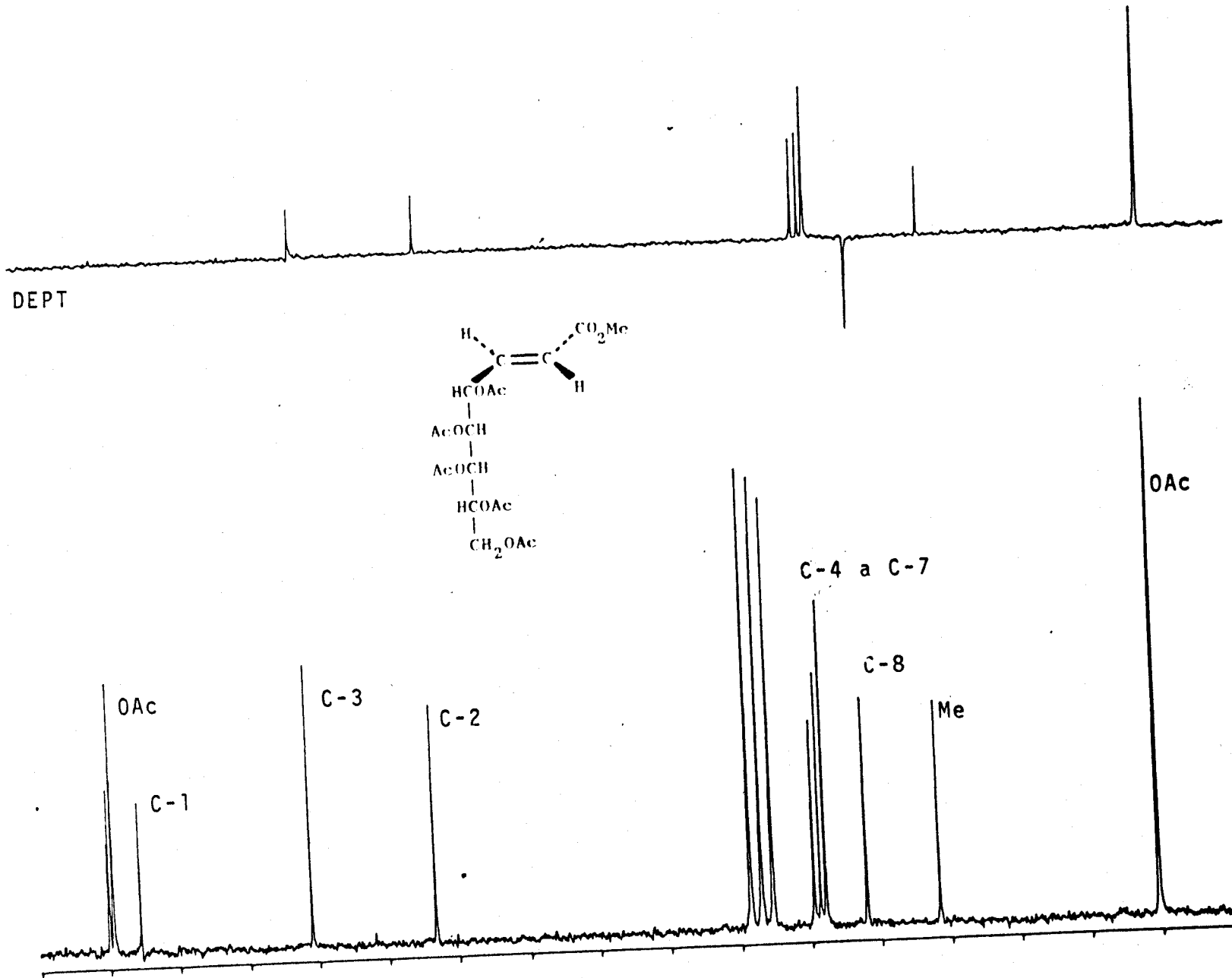


Espectro nº 82: Espectro de <sup>13</sup>C-RMN de los compuestos 36b y 37b registrado en CDCl<sub>3</sub> a 80 MHz. (Tabla 16).

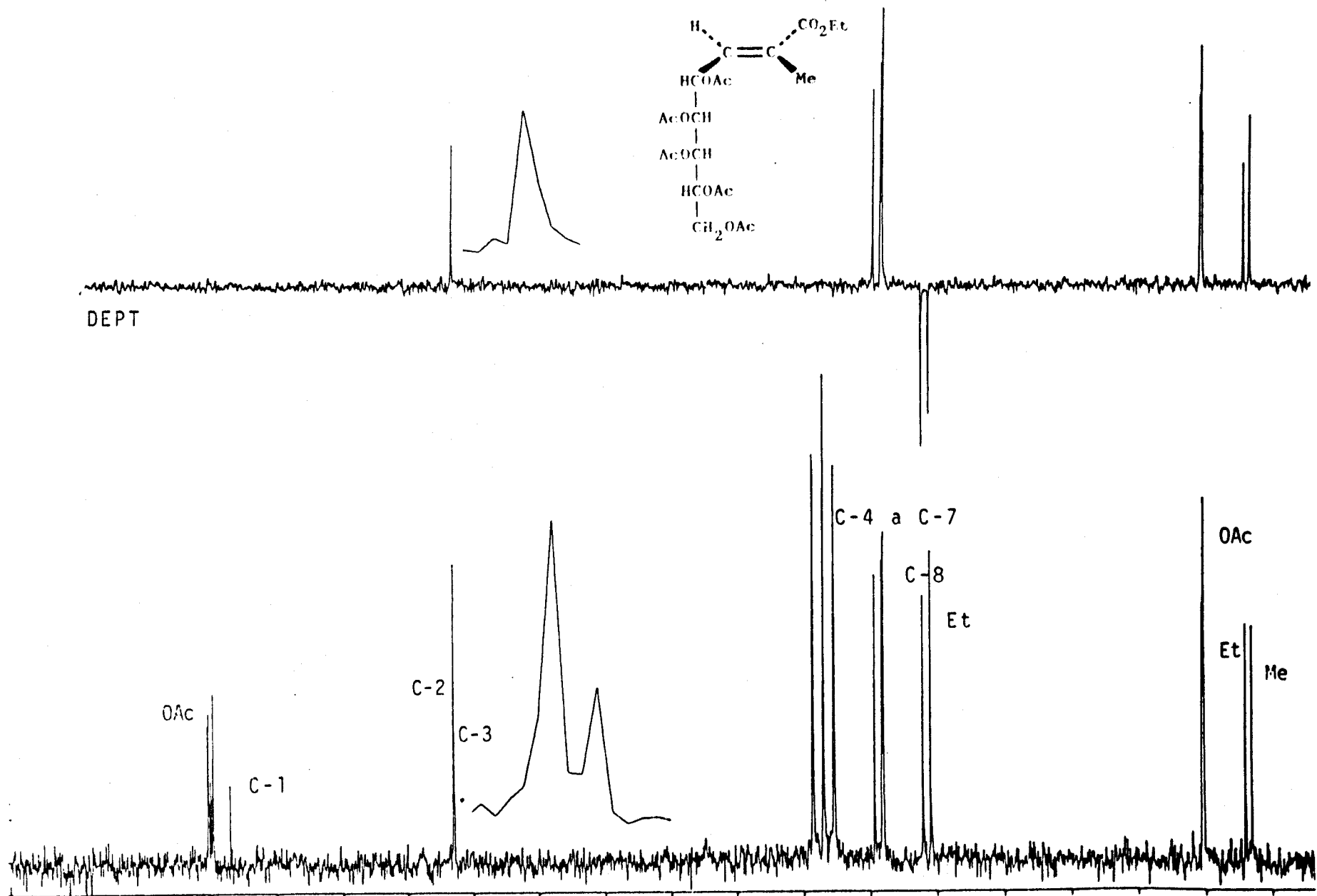


Espectro nº 83: Espectro de <sup>13</sup>C-RMN del compuesto 38b registrado en CDCl<sub>3</sub> a 80 MHz. (Tabla 13).



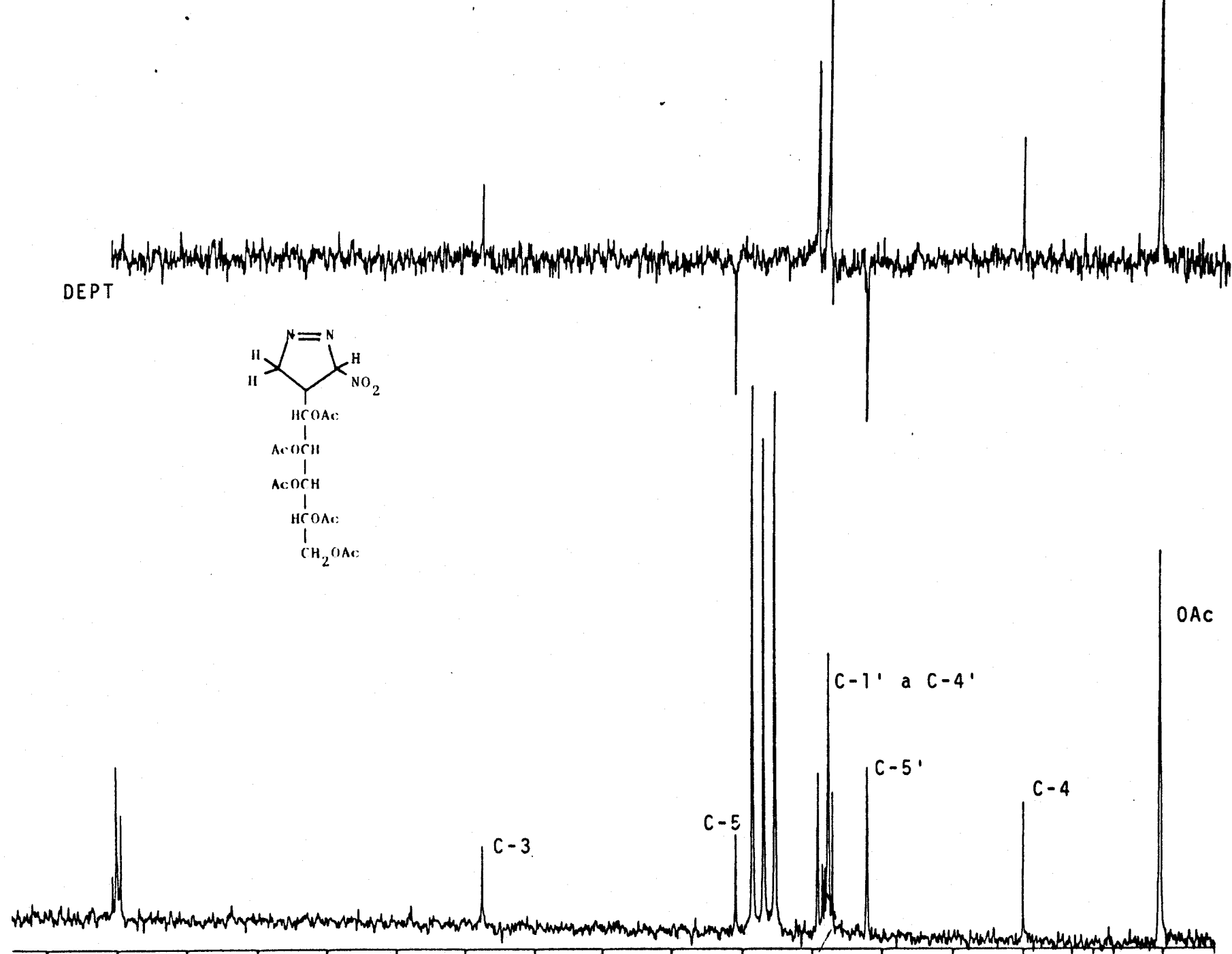
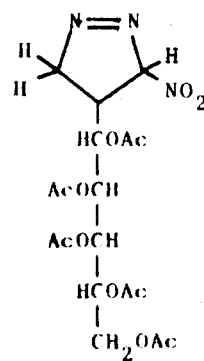


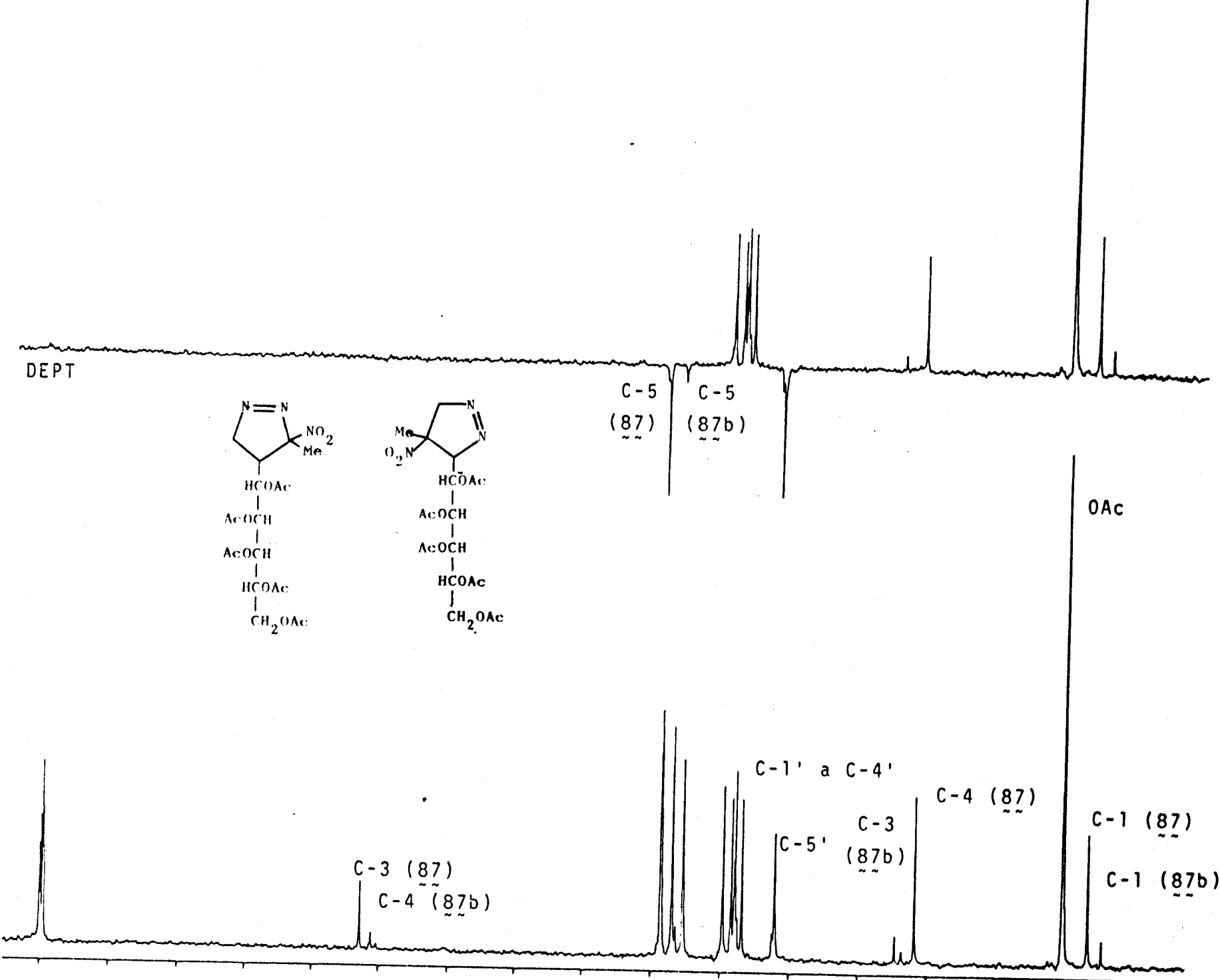
Espectro nº 85: Espectro de <sup>13</sup>C-RMN del compuesto 66 registrado en CDCl<sub>3</sub> a 80 MHz. (Tabla 19).

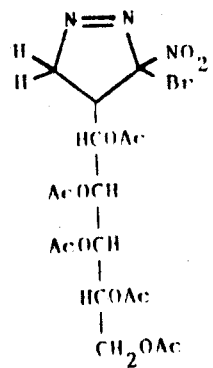


Espectro nº 86: Espectro de <sup>13</sup>C-RMN del compuesto 68 registrado en  $\text{CDCl}_3$  a 80 MHz. (Tabla 19).

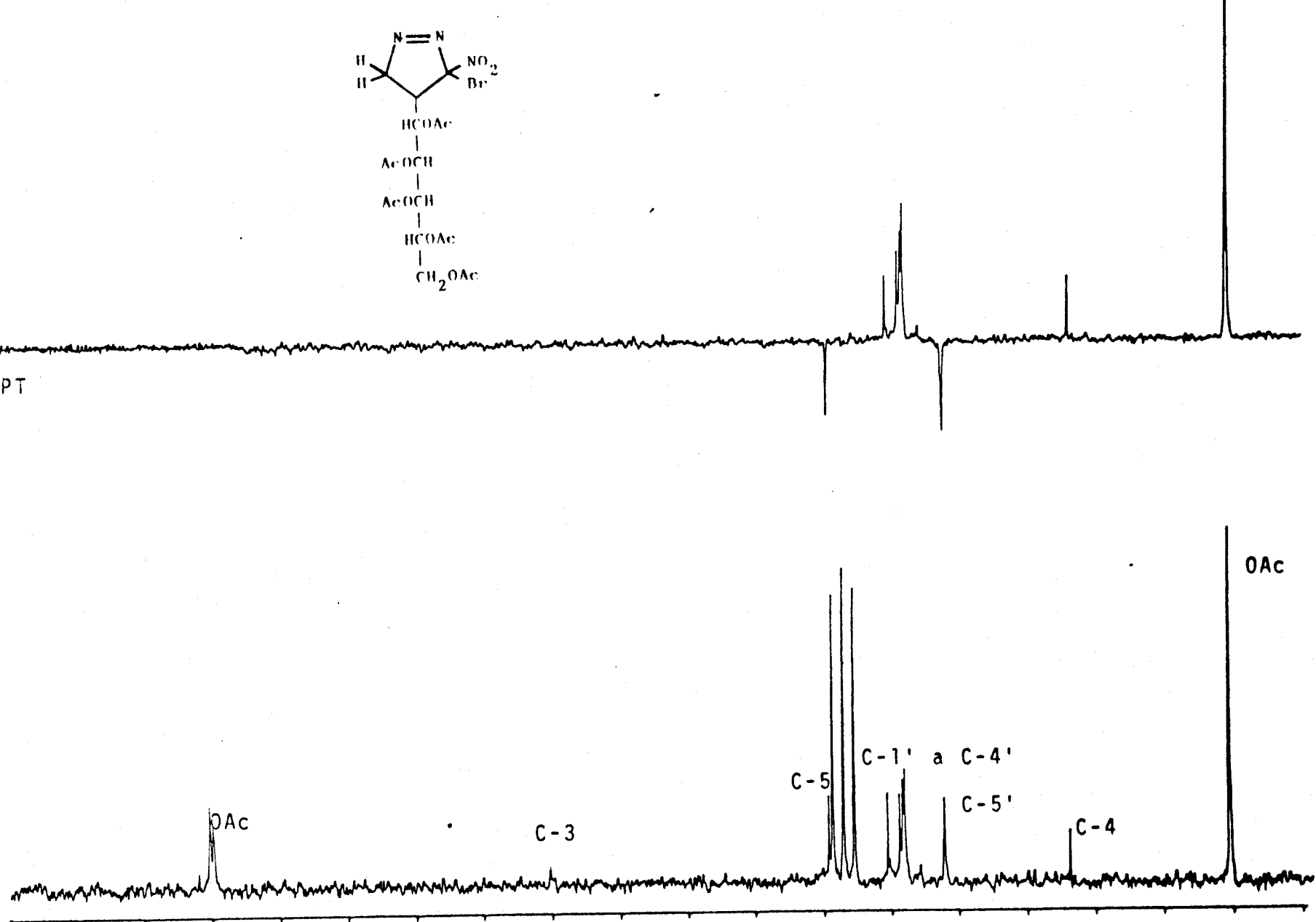
DEPT

Espectro n° 87: Espectro de <sup>13</sup>C-RMN del compuesto 86 registrado en CDCl<sub>3</sub> a 80 MHz. (Tabla 22).

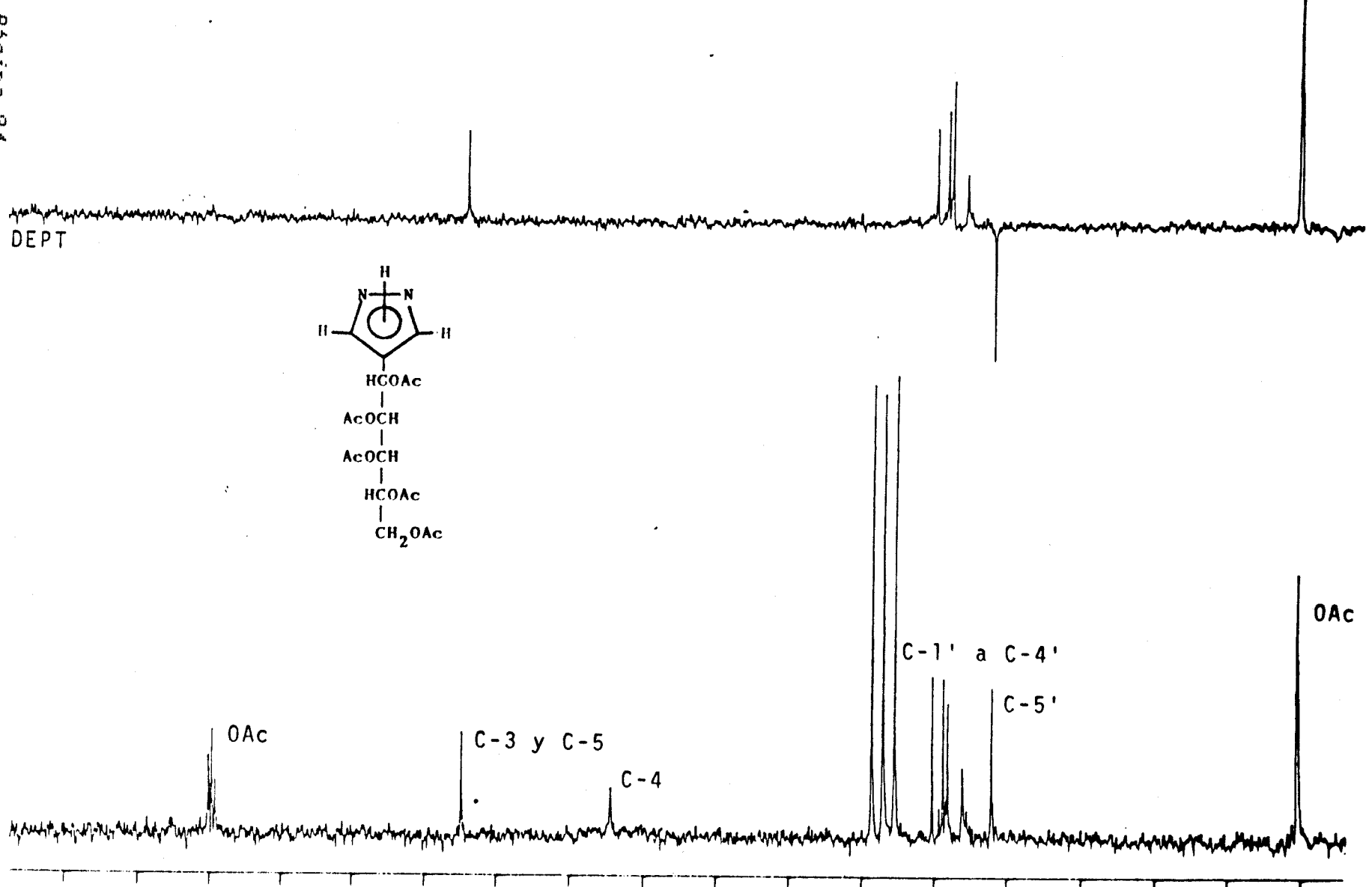




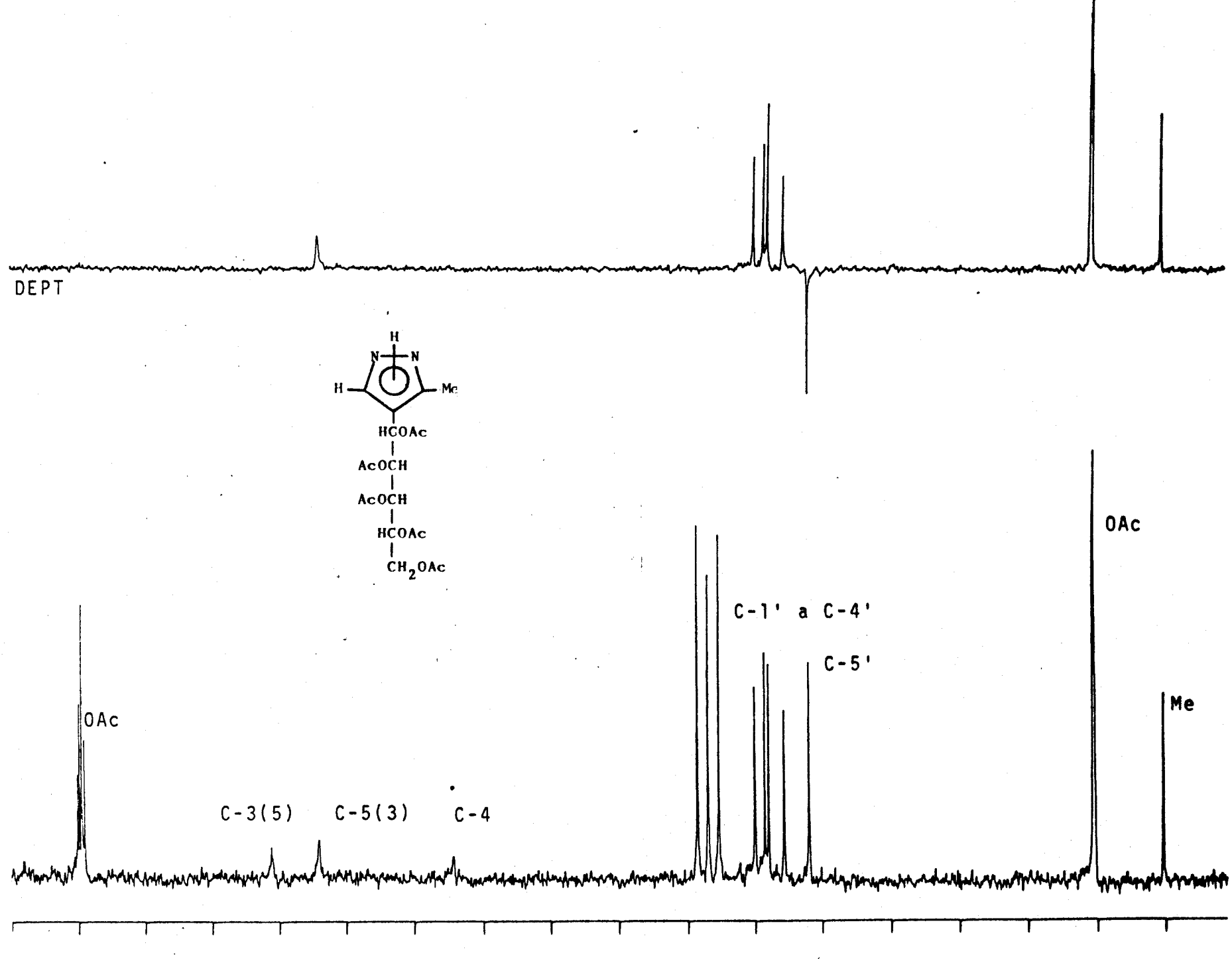
DEPT

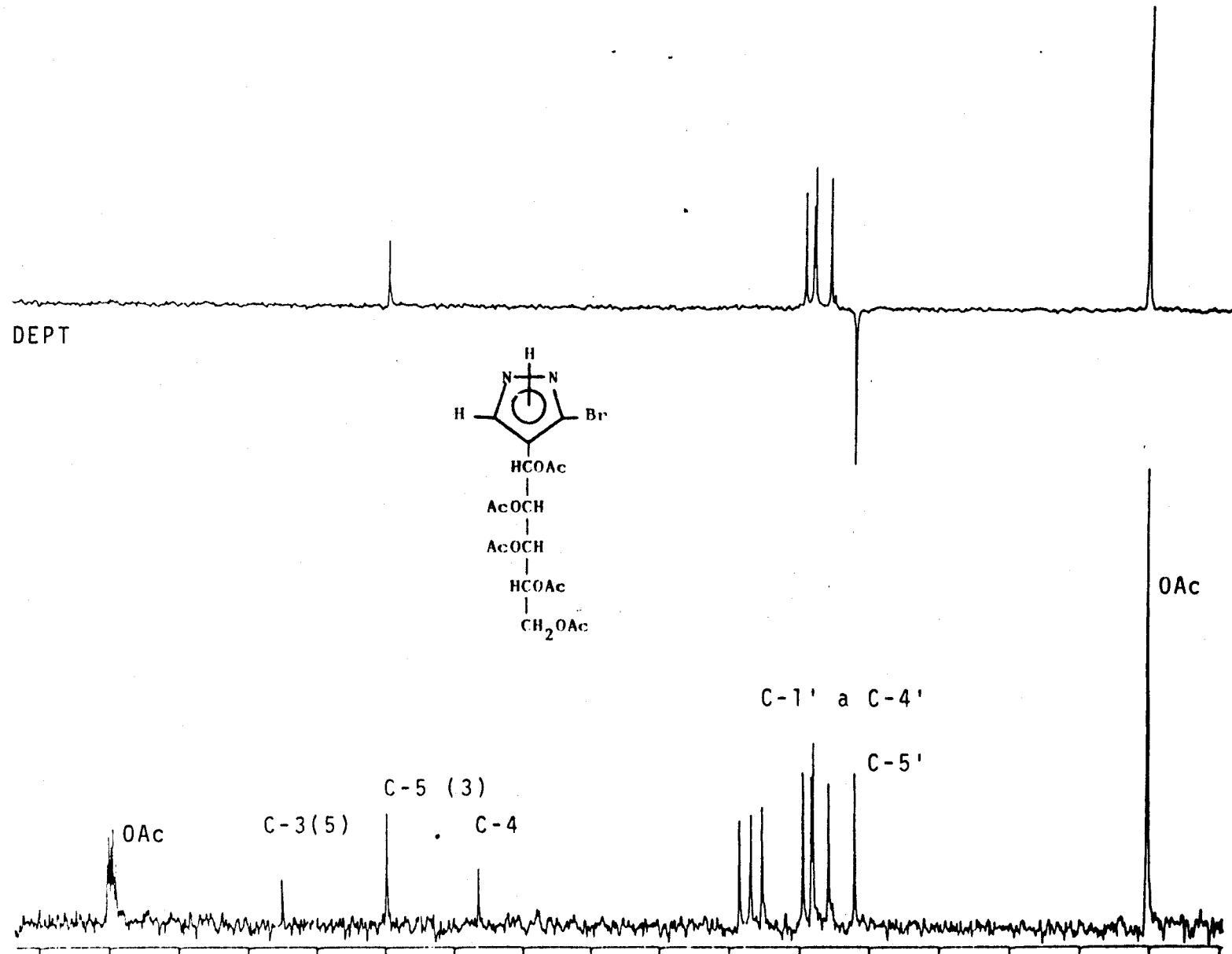


Espectro nº 89: Espectro de <sup>13</sup>C-RMN del compuesto 88 registrado en CDCl<sub>3</sub> a 80 MHz. (Tabla 22).

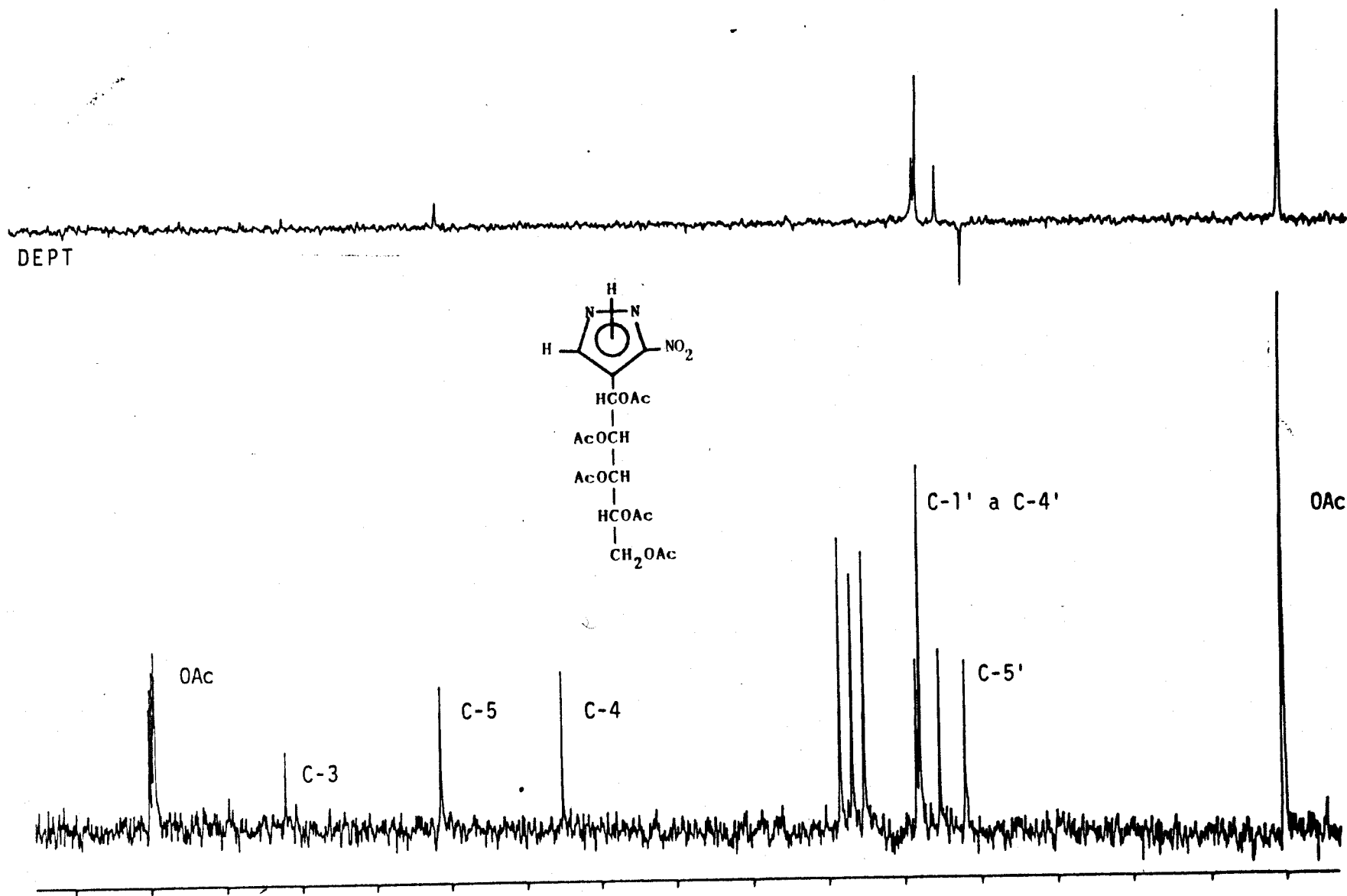


Espectro nº 90: Espectro de  $^{13}\text{C}$ -RMN del compuesto 89 registrado en  $\text{CDCl}_3$  a 80 MHz. (Tabla 25).

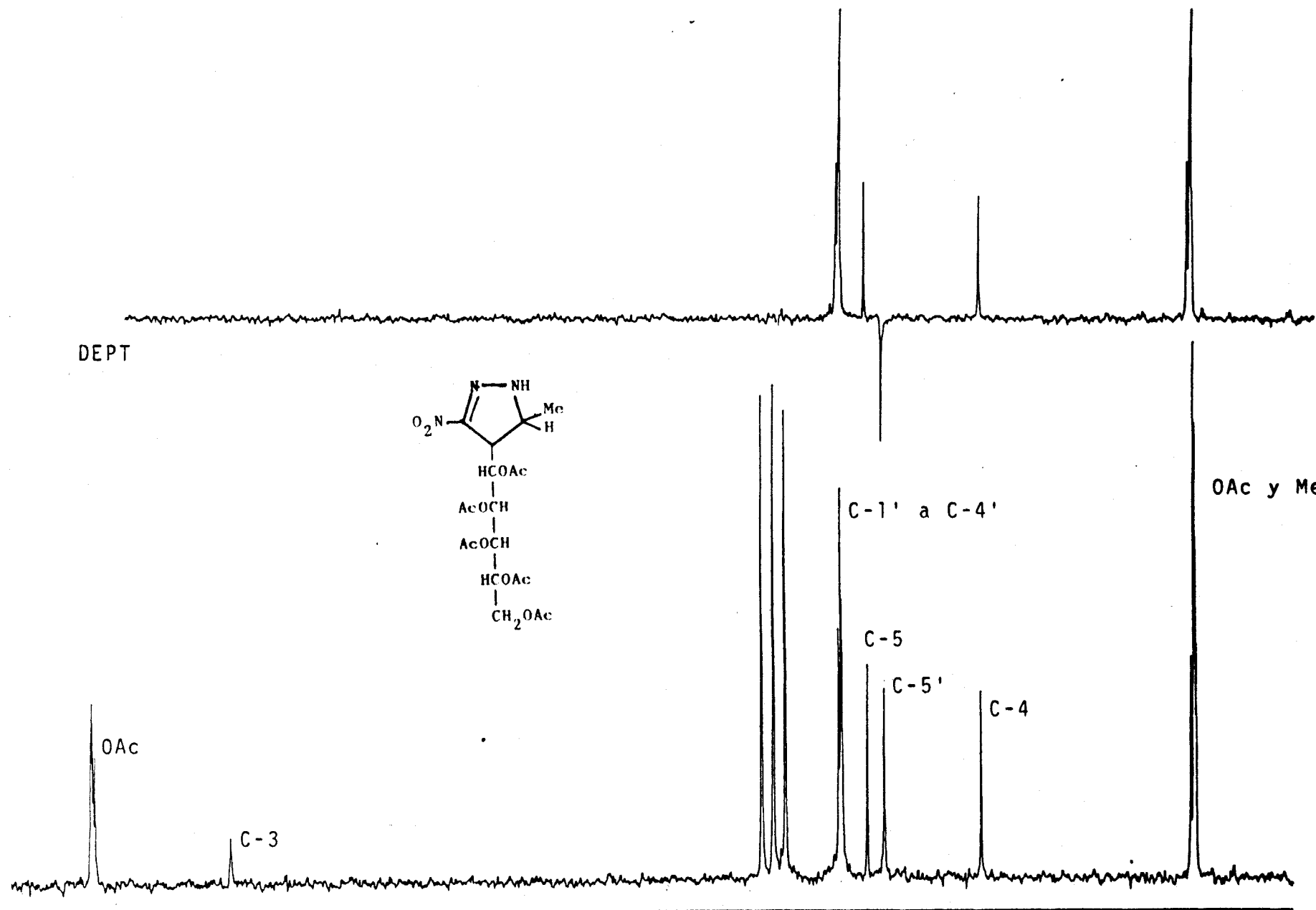


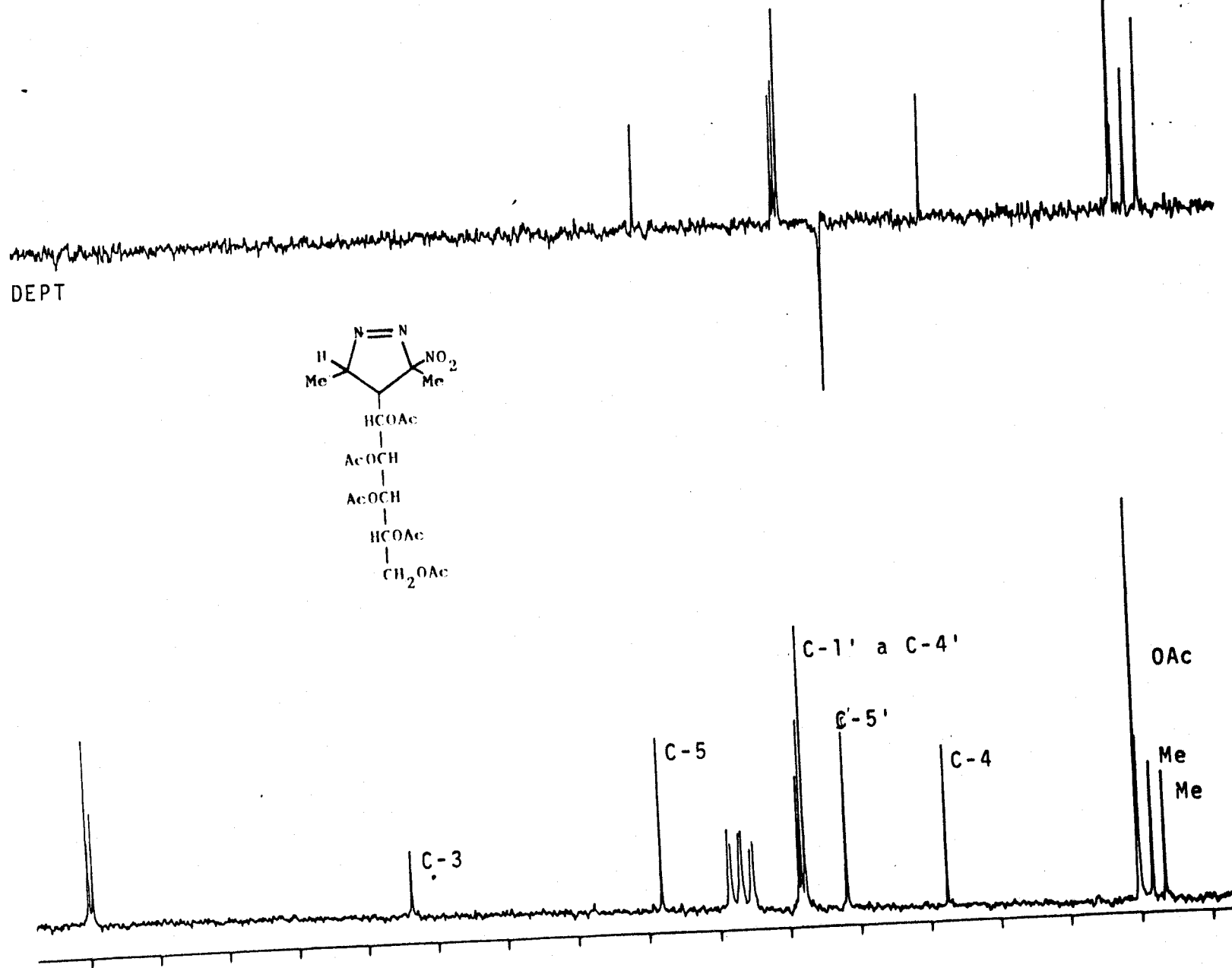


Espectro n° 92: Espectro de <sup>13</sup>C-RMN del compuesto 91 registrado en CDCl<sub>3</sub> a 80 MHz. (Tabla 25).

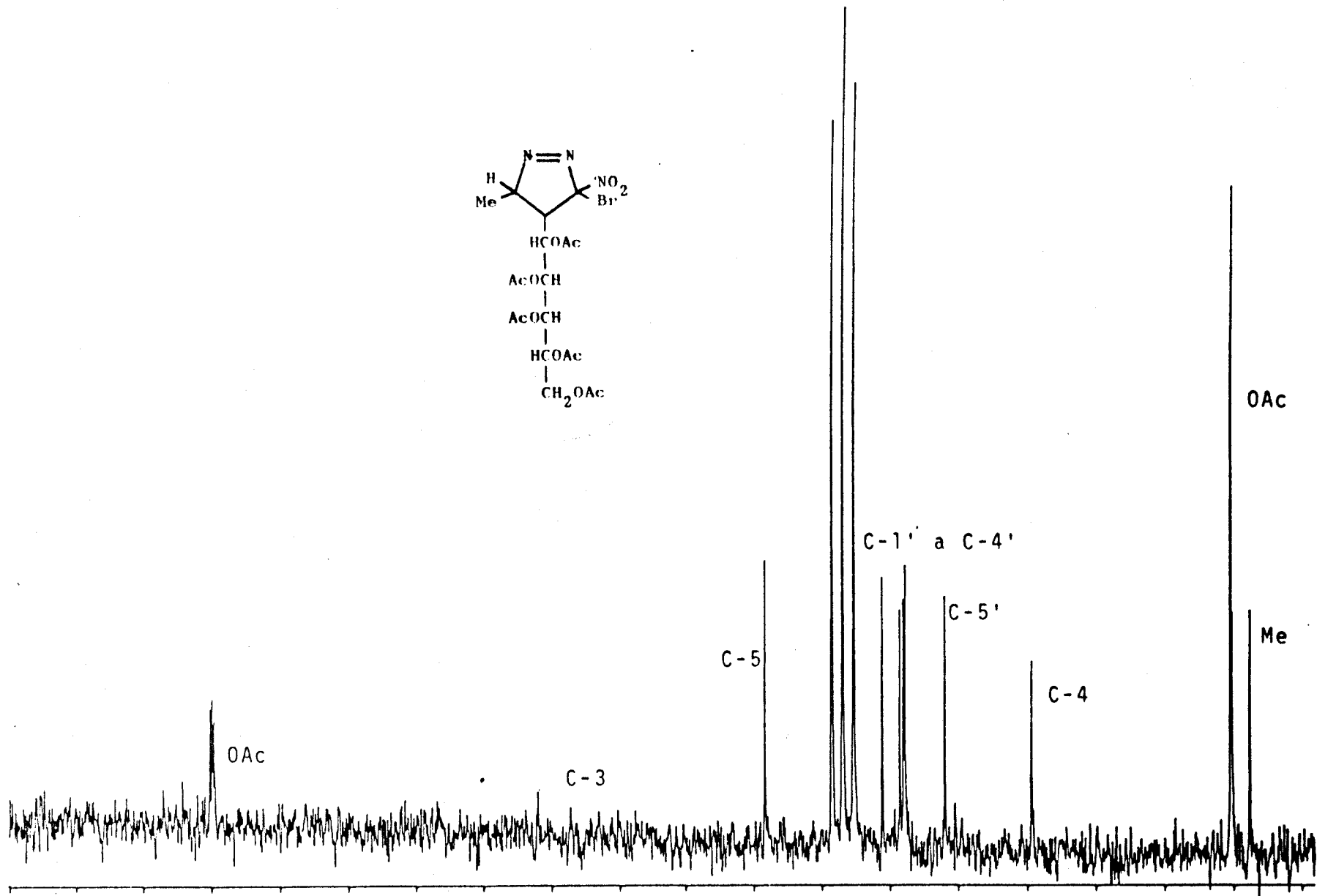


Espectro n° 93: Espectro de <sup>13</sup>C-RMN del compuesto 92 registrado en  $\text{CDCl}_3$  a 80 MHz. (Tabla 25).

Spectrum de <sup>13</sup>C-RMN del compuesto 93' registrado en CDCl<sub>3</sub> a 80 MHz. (Tabla 72).

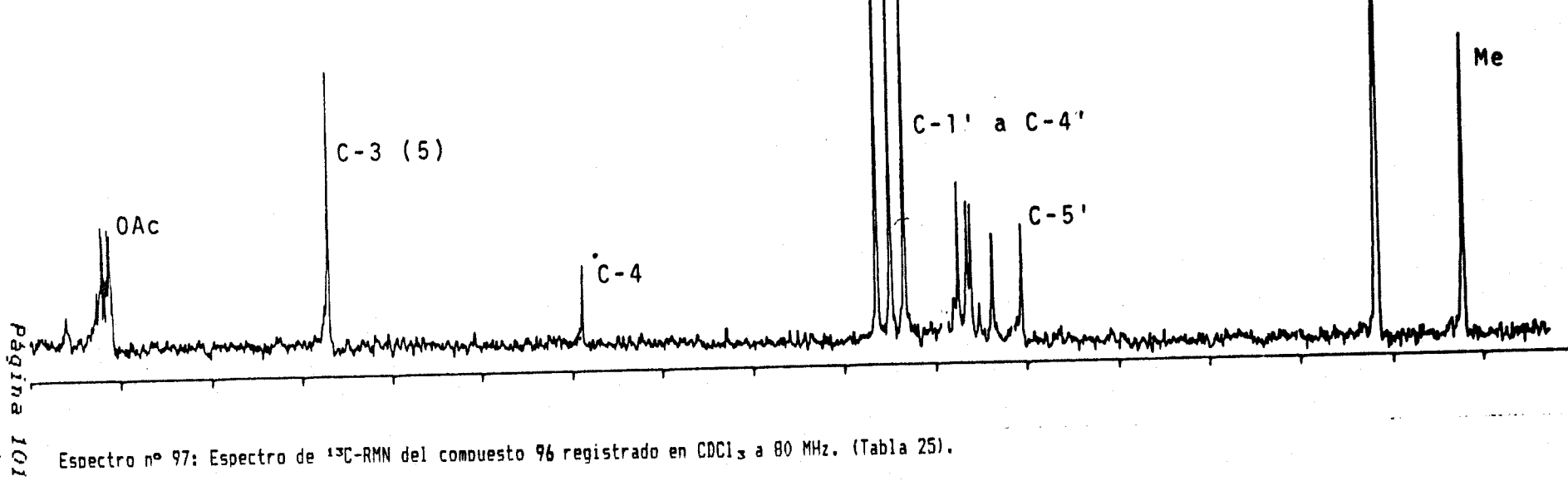
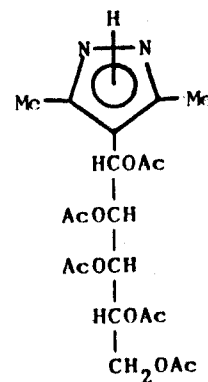


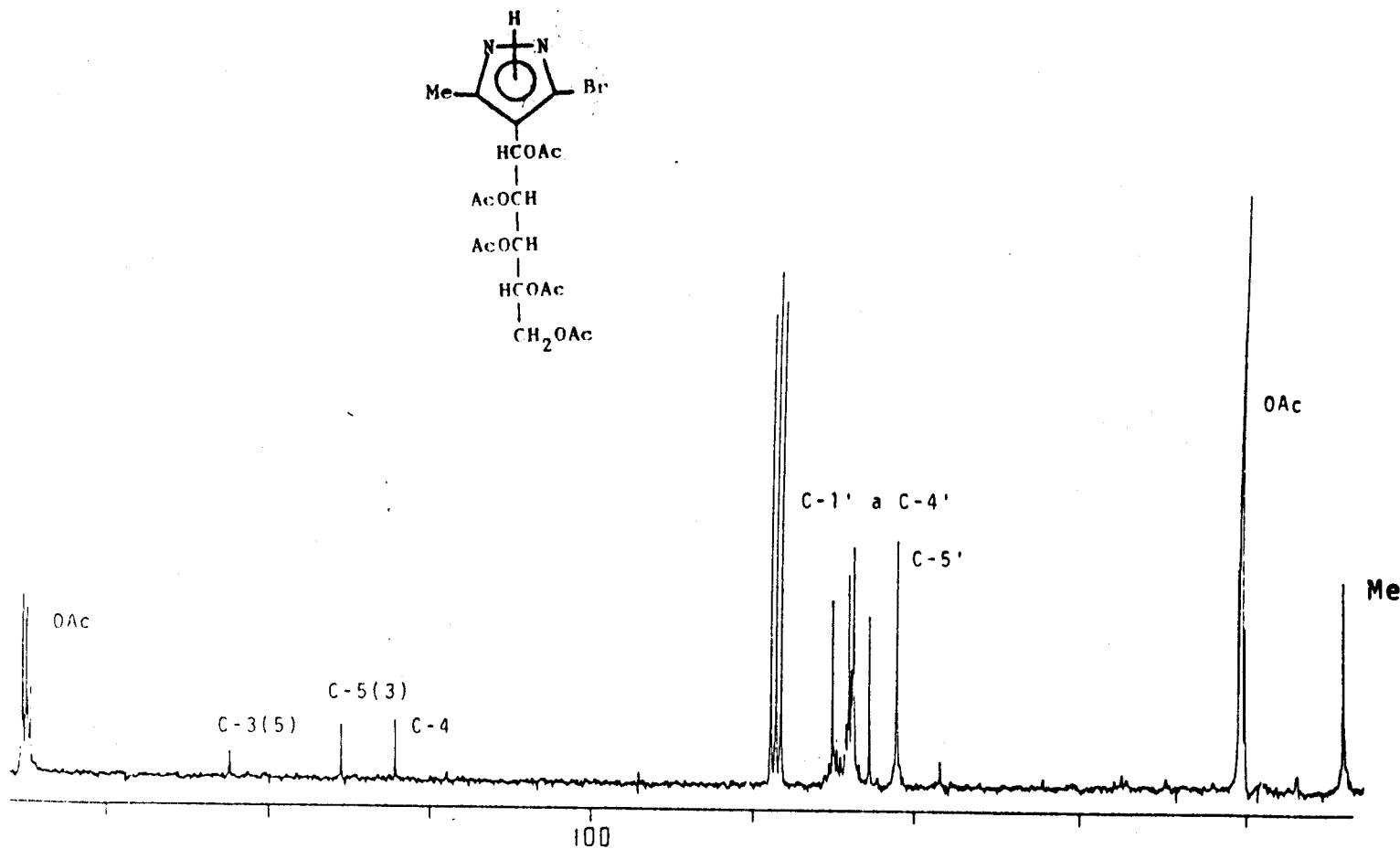
Espectro nº 95: Espectro de <sup>13</sup>C-RMN del compuesto 94 registrado en CDCl<sub>3</sub> a 80 MHz. (Tabla 22).



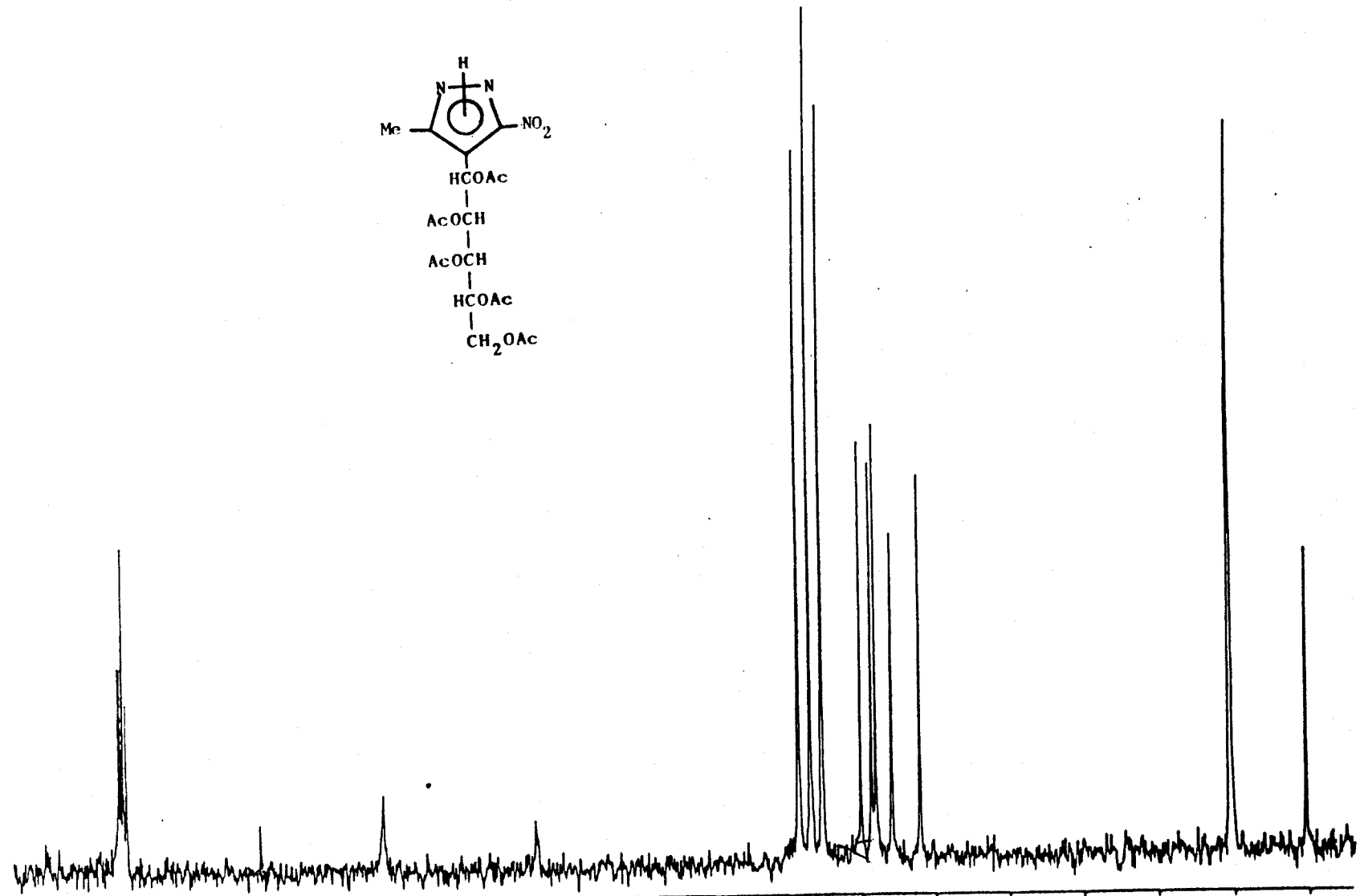
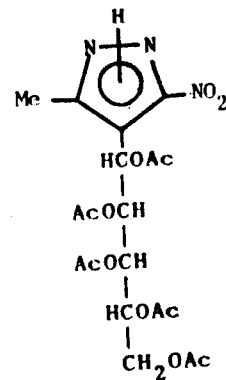
Especro nº 96: Espectro de <sup>13</sup>C-RMN del compuesto 95 registrado en CDCl<sub>3</sub> a 80 MHz. (Tabla 22).

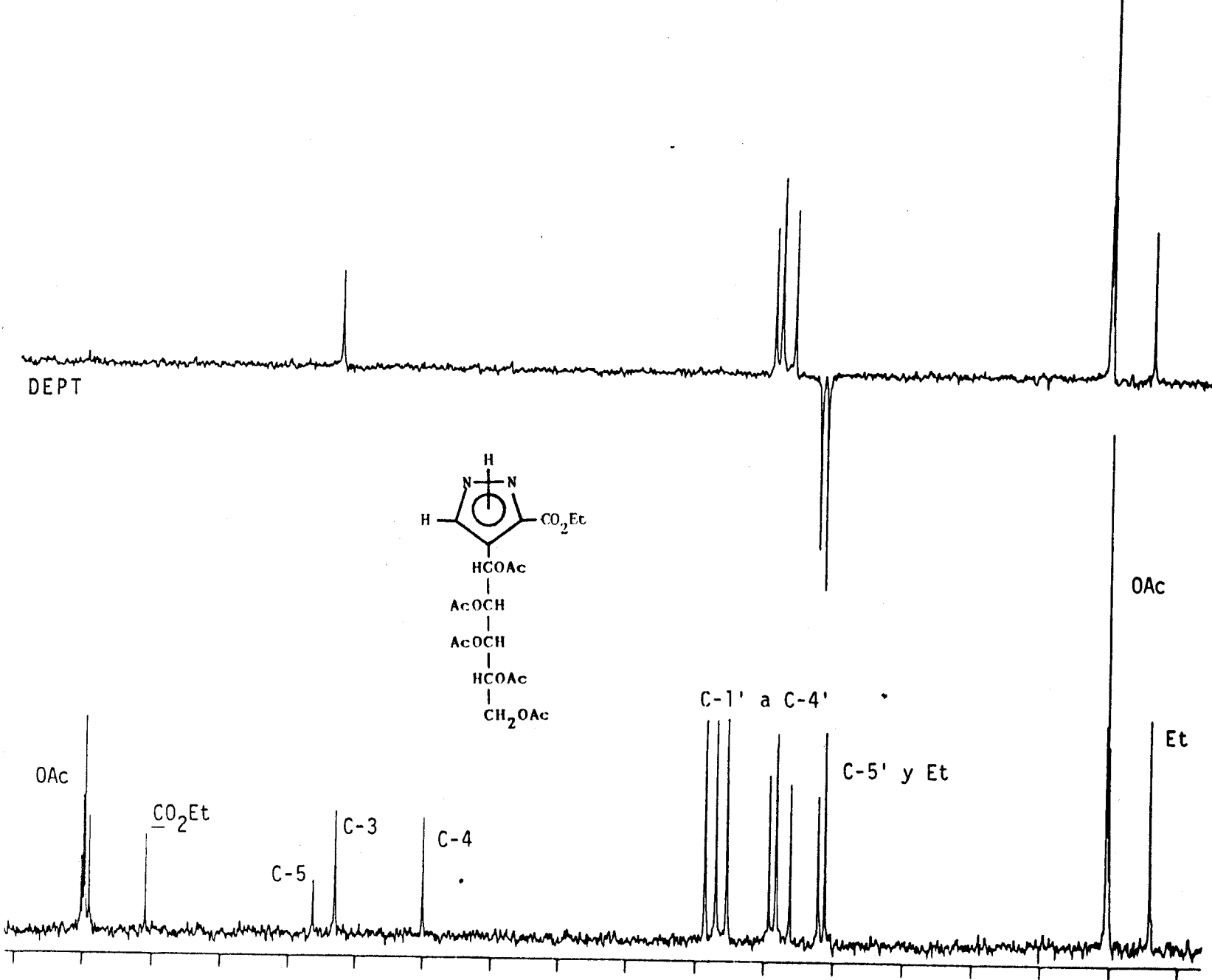
DEPT





Espectro nº 98: Espectro de  $^{13}\text{C}-\text{RMN}$  del compuesto 97 registrado en  $\text{CDCl}_3$  a 200 MHz. (Tabla 25).

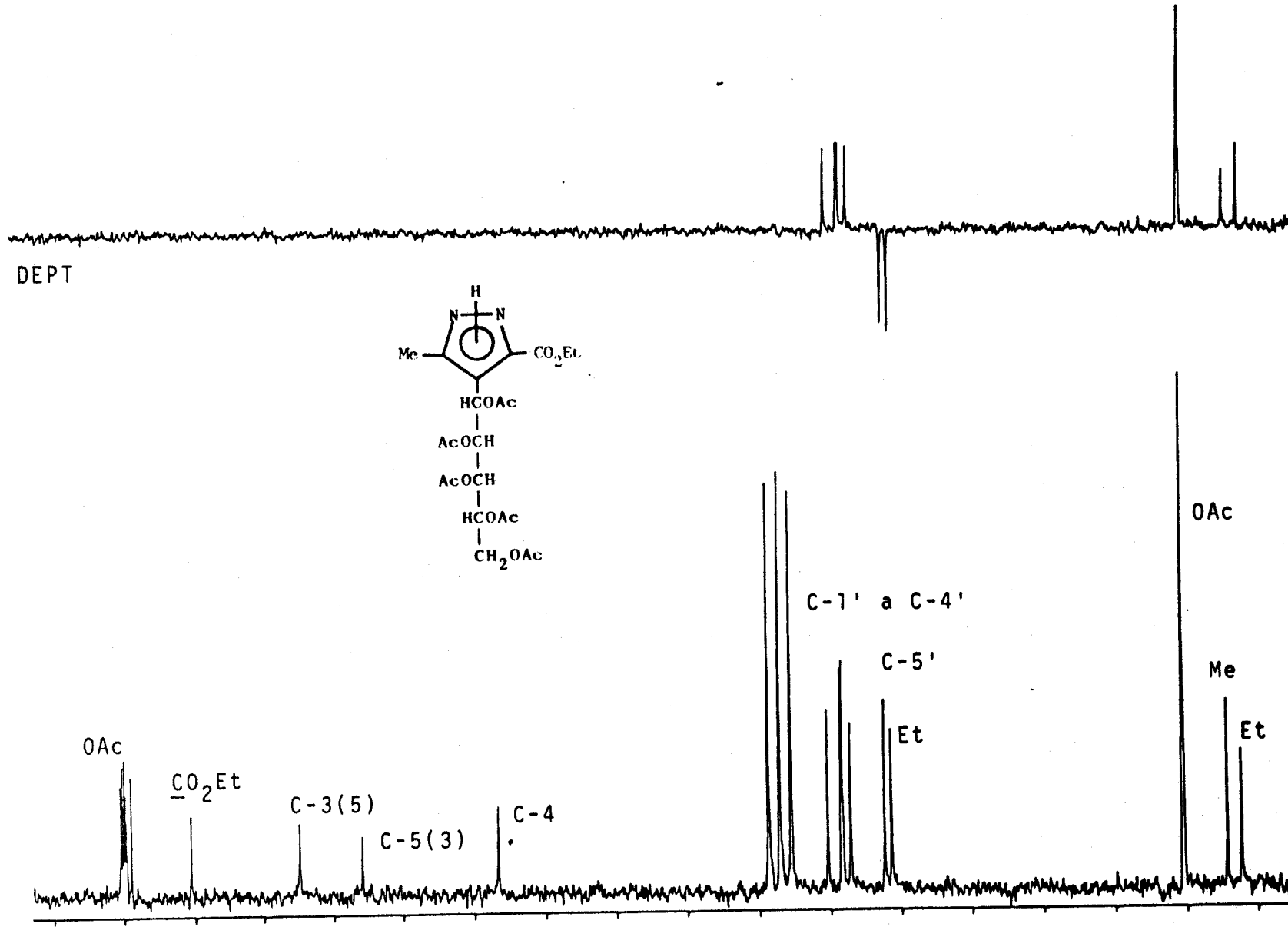




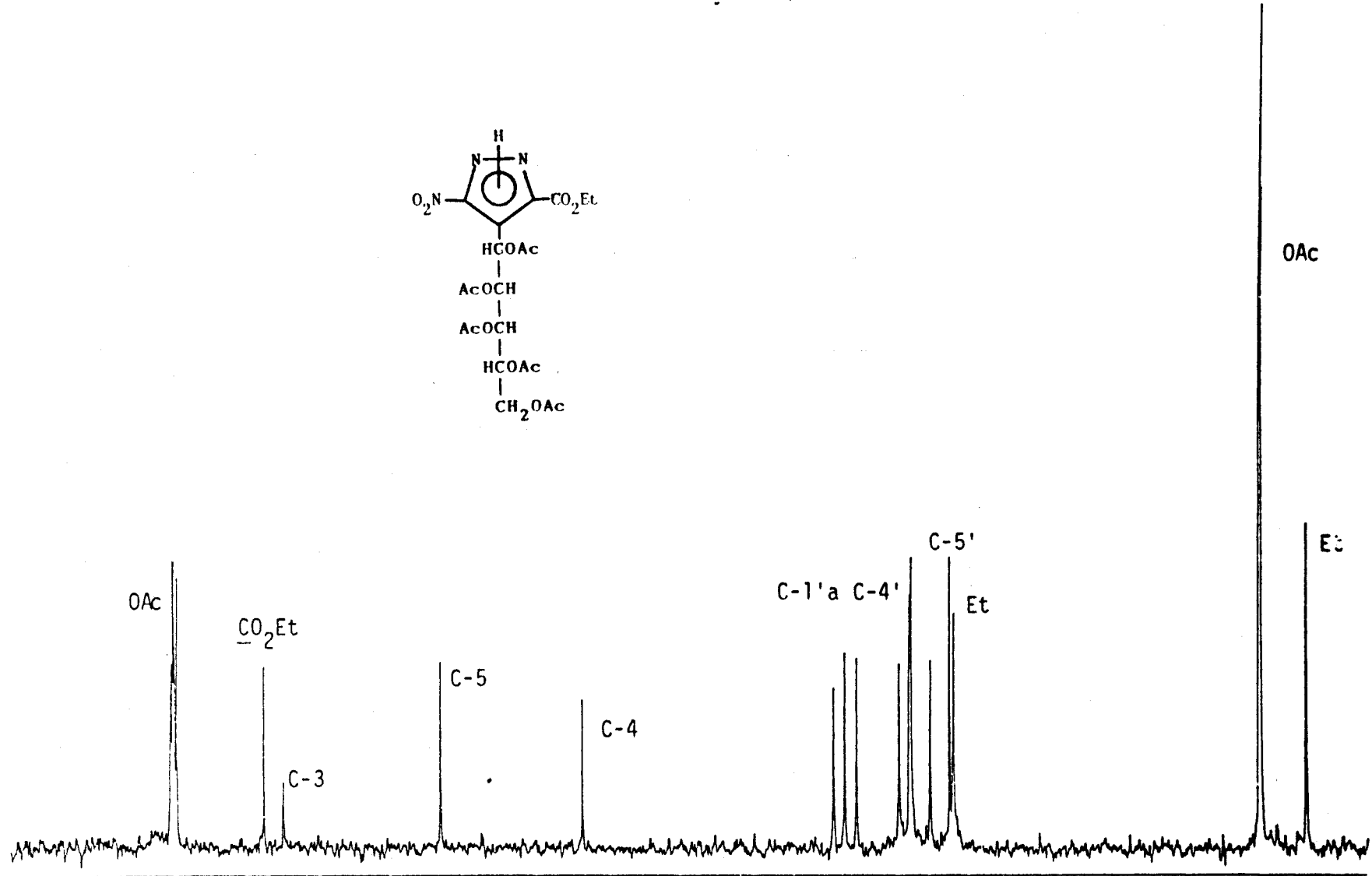
Especro nº 100: Espectro de <sup>13</sup>C-RMN del compuesto 99 registrado en  $\text{CDCl}_3$  a 80 MHz. (Tabla 28).

Apéndice II

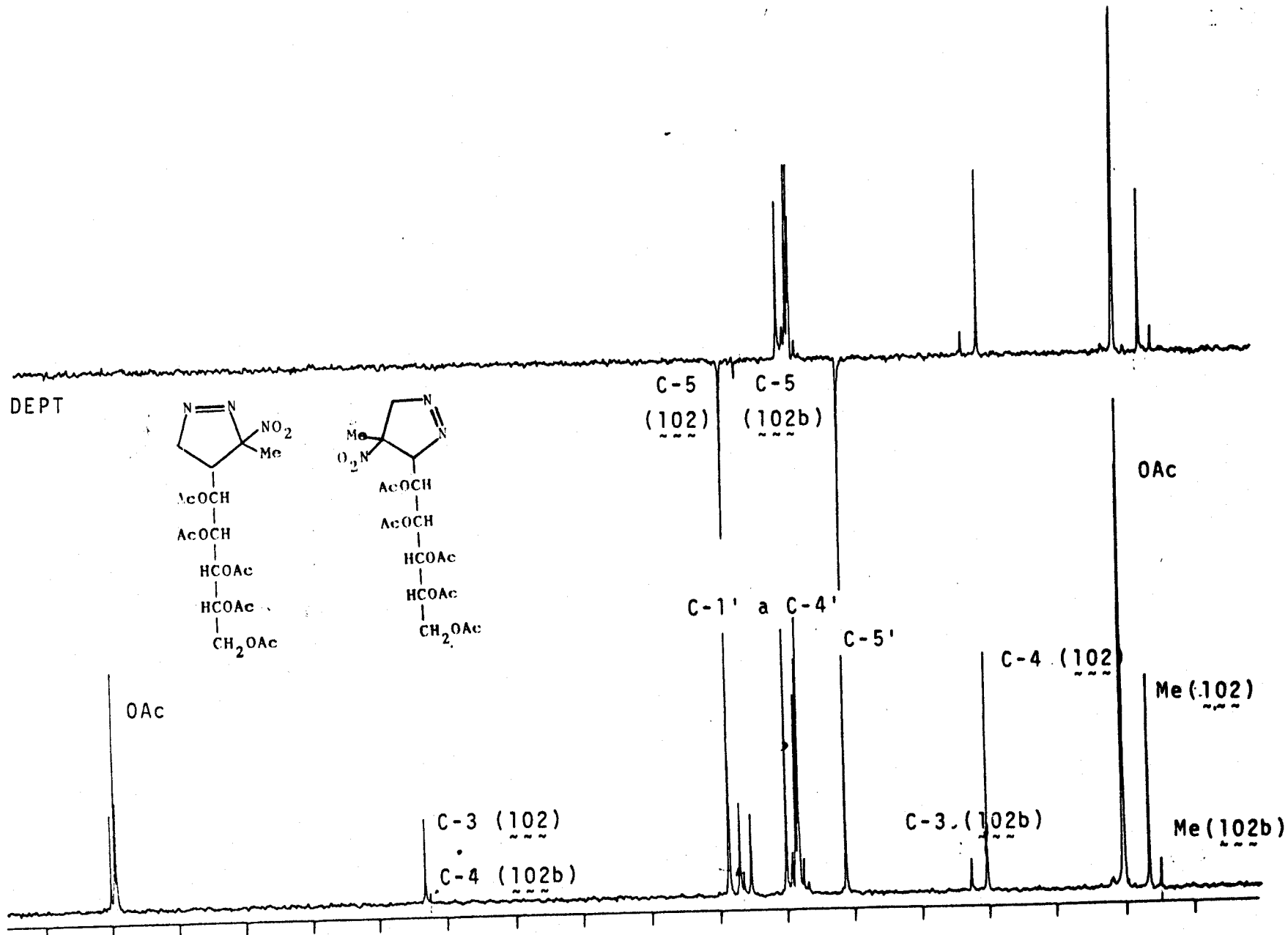
$^{13}\text{C}$ -RMN



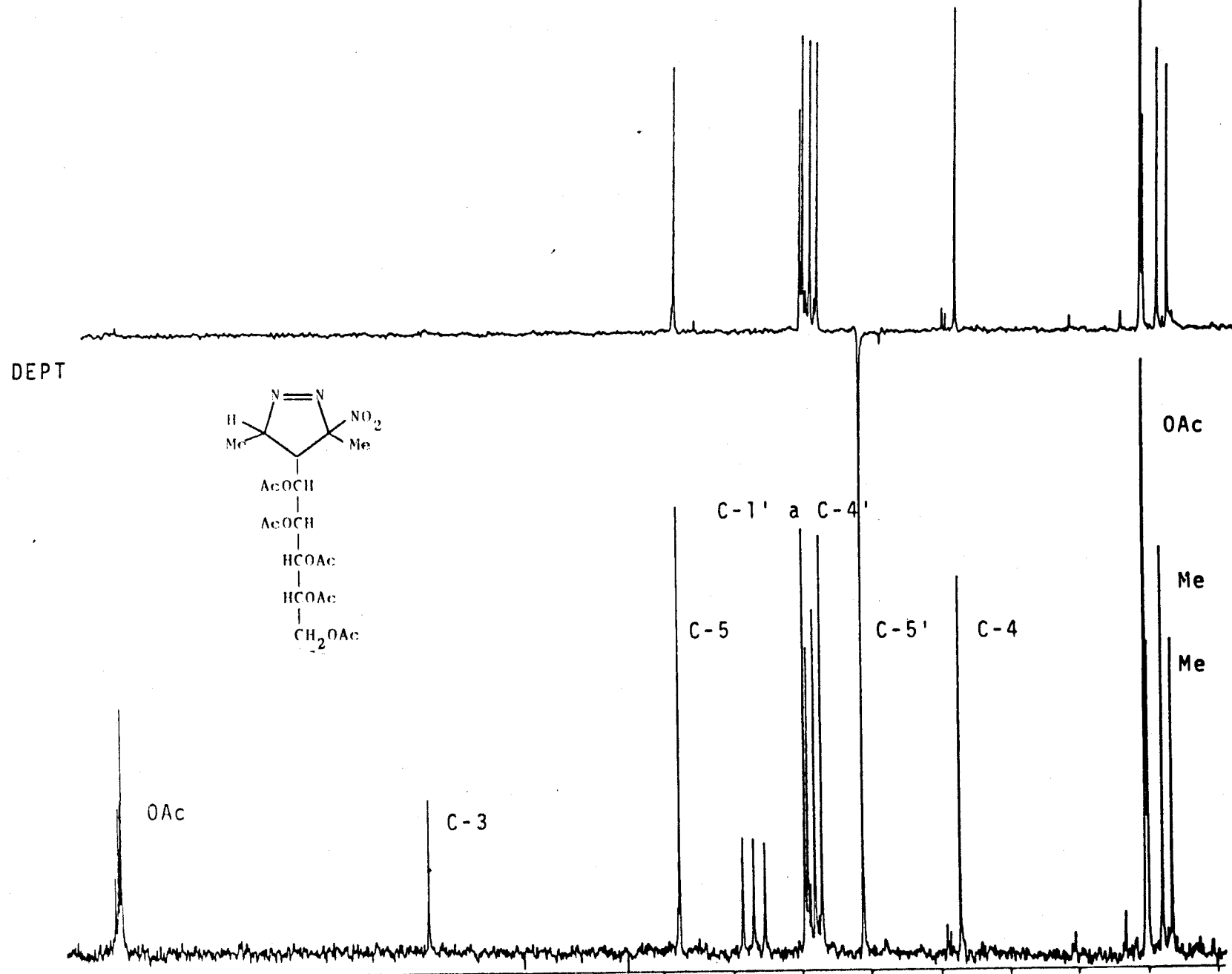
Espectro nº 101: Espectro de  $^{13}\text{C}$ -RMN del compuesto 100 registrado en  $\text{CDCl}_3$  a 80 MHz. (Tabla 28).



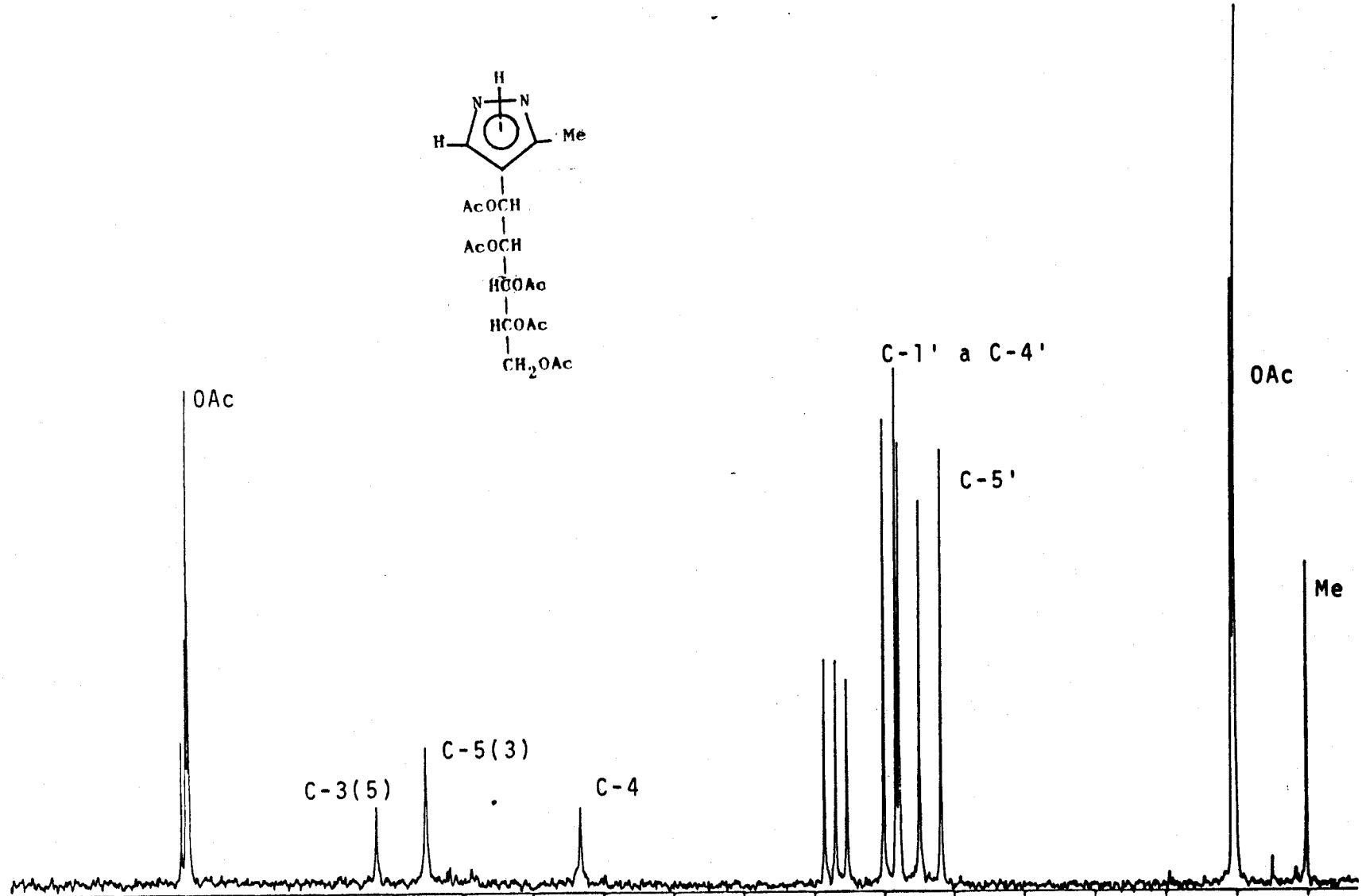
Espectro nº 102: Espectro de <sup>13</sup>C-RMN del compuesto 101 registrado en  $\text{CDCl}_3$  a 80 MHz. (Tabla 28).



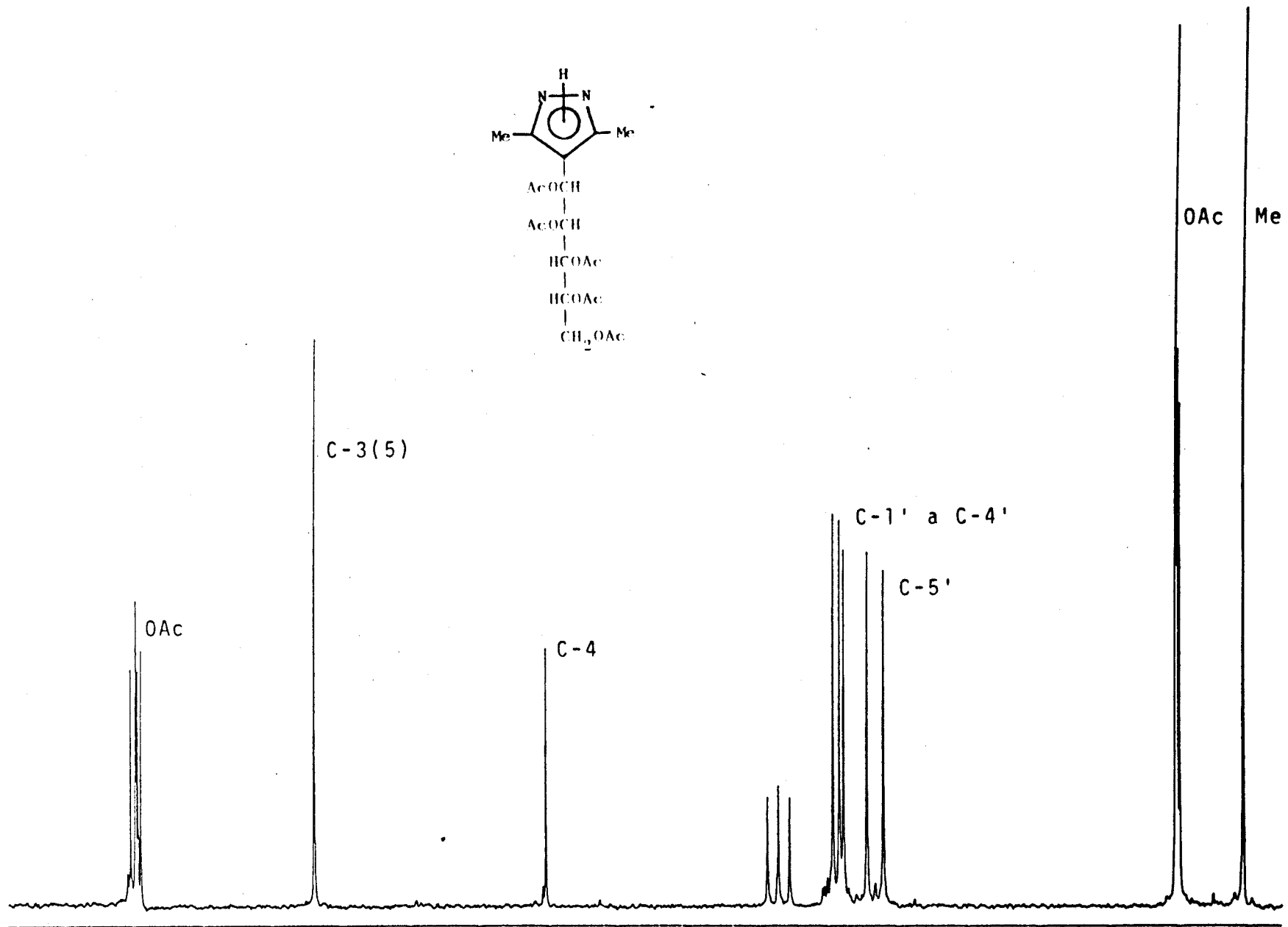
Espectro nº 103: Espectro de <sup>13</sup>C-RMN de los compuestos 102 y 102b registrado en CDCl<sub>3</sub> a 80 MHz. (Tabla 31).



Espectro nº 104: Espectro de  $^{13}\text{C}$ -RMN del compuesto 103 registrado en  $\text{CDCl}_3$  a 80 MHz. (Tabla 31).



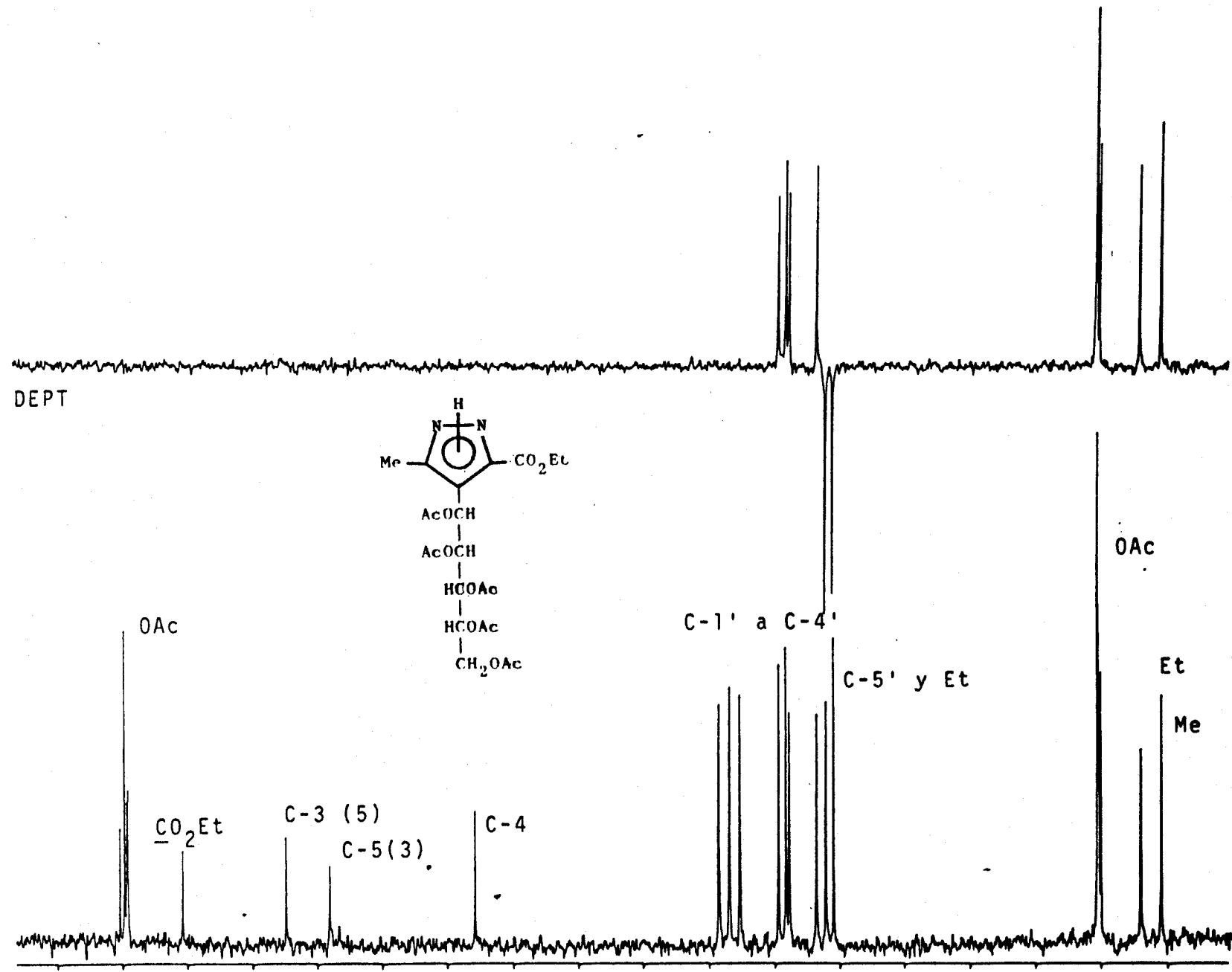
Espectro nº 105: Espectro de <sup>13</sup>C-RMN del compuesto 104 registrado en CDCl<sub>3</sub> a 80 MHz. (Tabla 34).



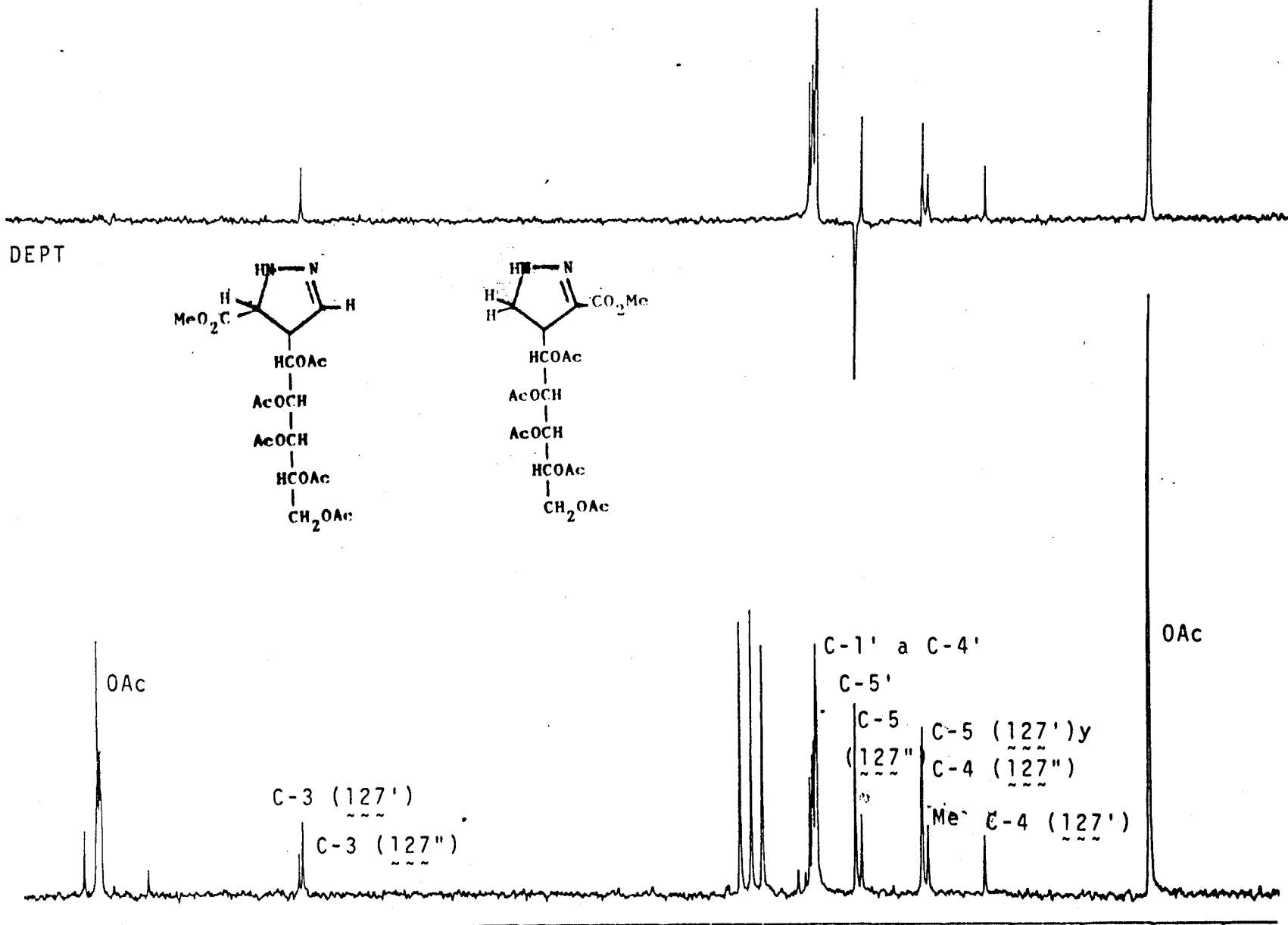
Espectro nº 106: Espectro de  $^{13}\text{C}$ -RMN del compuesto 105 registrado en  $\text{CDCl}_3$  a 80 MHz. (Tabla 34).

Apéndice II

<sup>13</sup>C-RMN

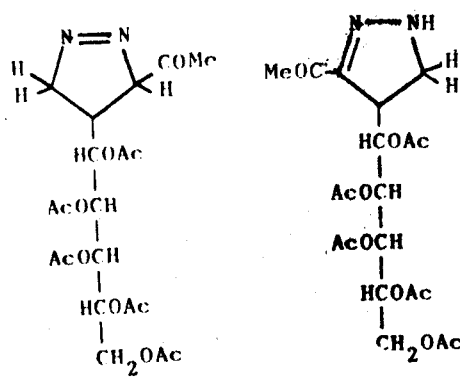


Espectro nº 107: Espectro de <sup>13</sup>C-RMN del compuesto 106 registrado en CDCl<sub>3</sub> a 80 MHz. (Tabla 34).



Espectro nº 108: Espectro de <sup>13</sup>C-RMN de la mezcla de pirazolinas 127' y 127'' registrado en CDCl<sub>3</sub> a 80 MHz.  
(Tabla 37).

DEPT



Página 113

Espectro nº 109: Espectro de <sup>13</sup>C-RMN de la mezcla de pirazolinas 128 y 128' registrado en CDCl<sub>3</sub> a 80 MHz.  
(Tabla 37).

CO (128)

CO (128')

OAc

C-3 (128')

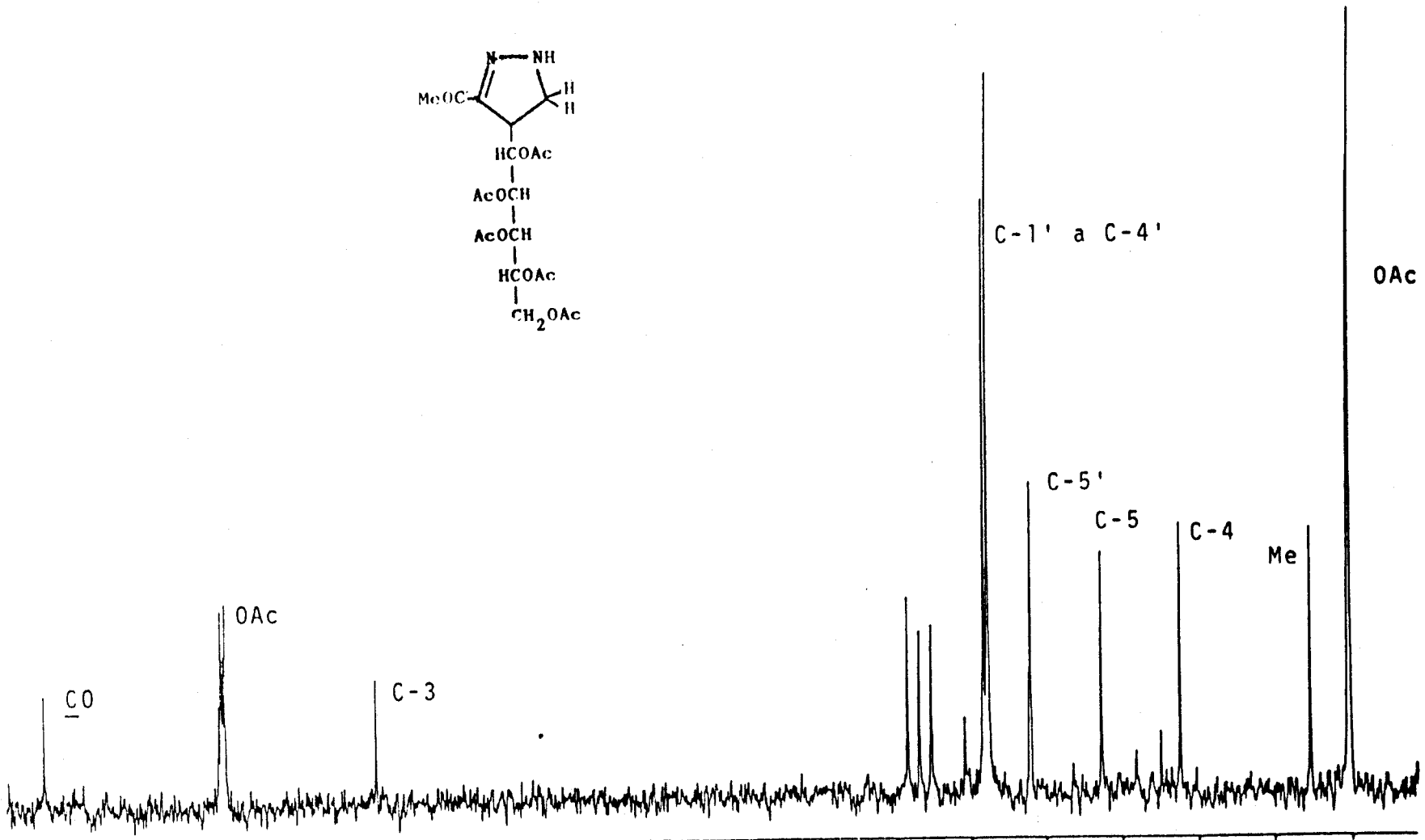
C-3 C-5  
(128) (128)

C-1' a C-4'

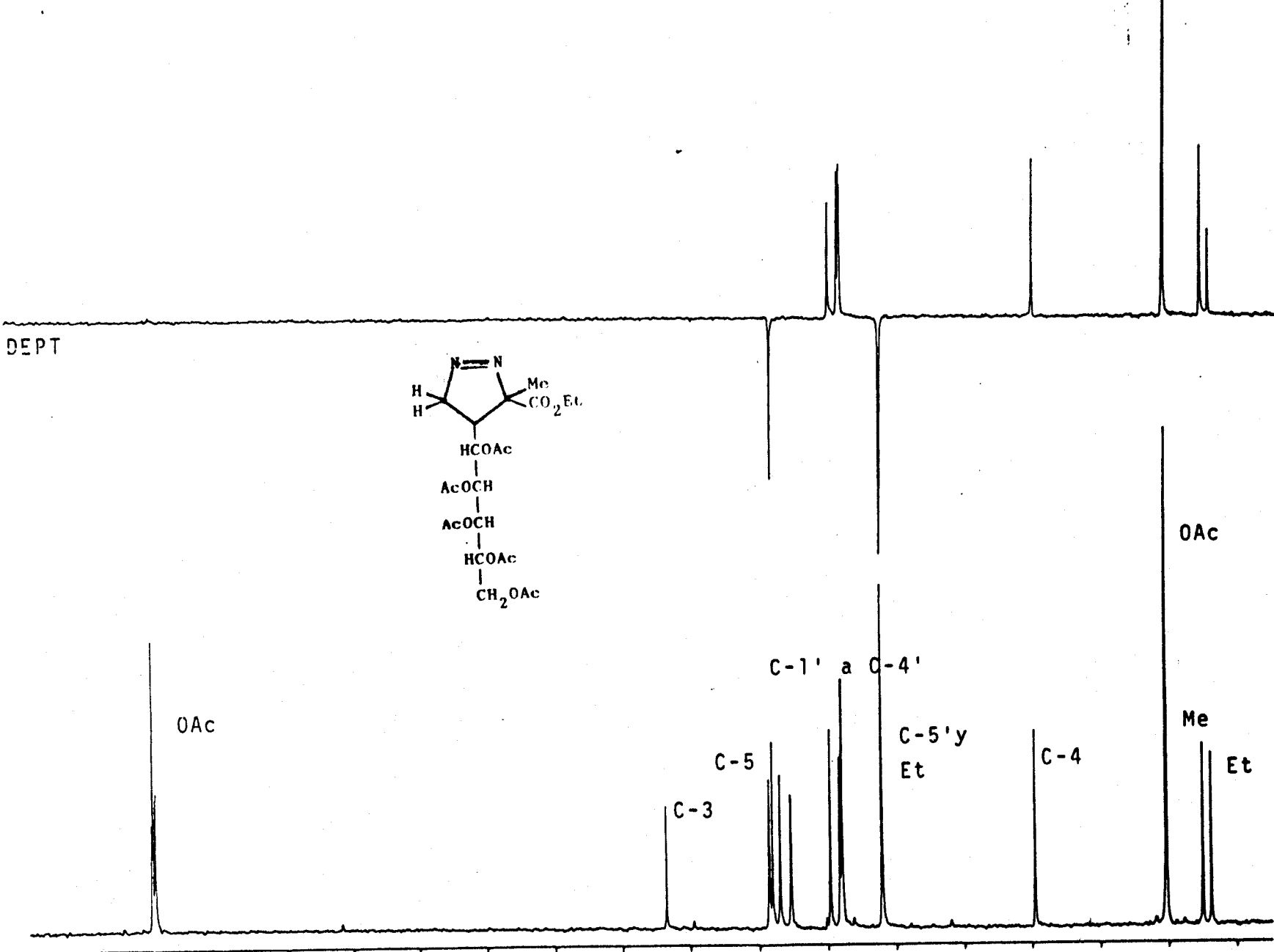
C-5'

C-4  
(128') (128)Me  
Me

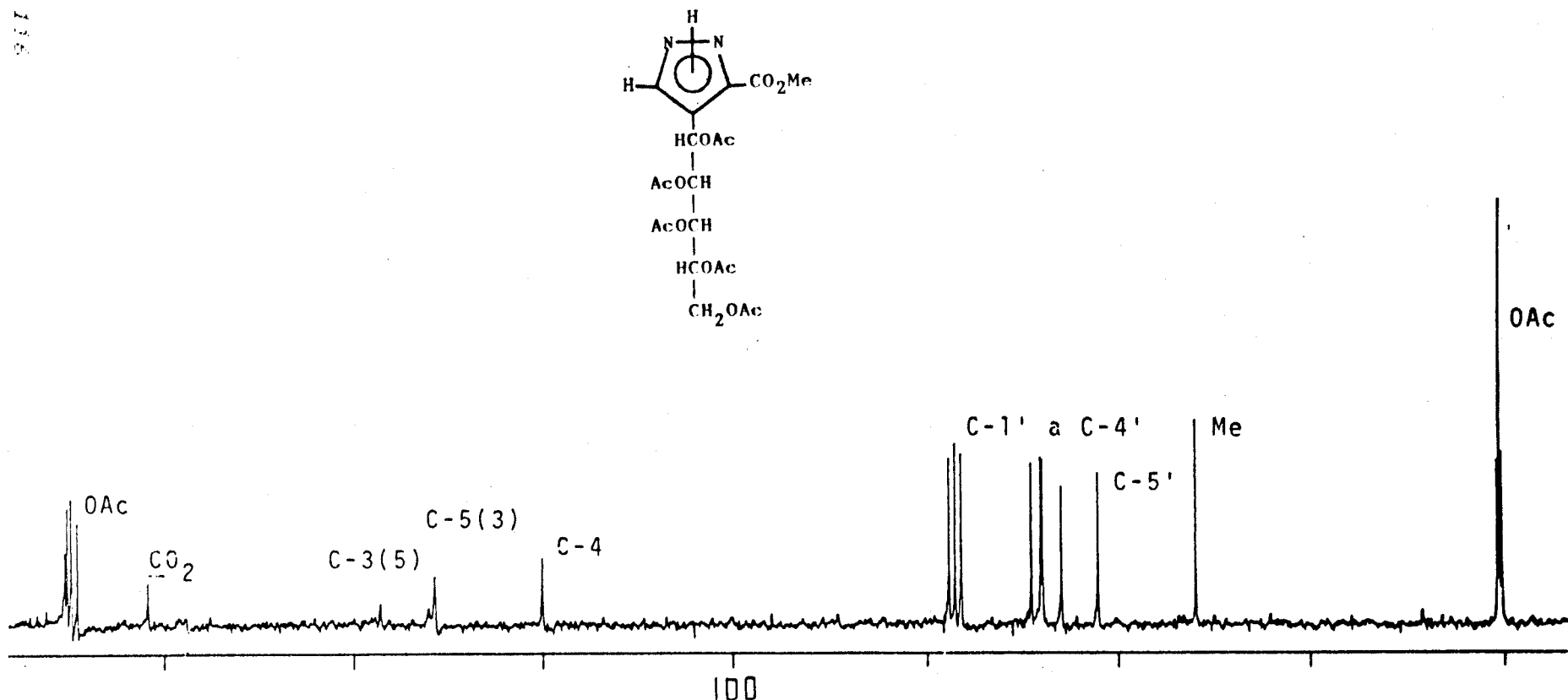
OAc



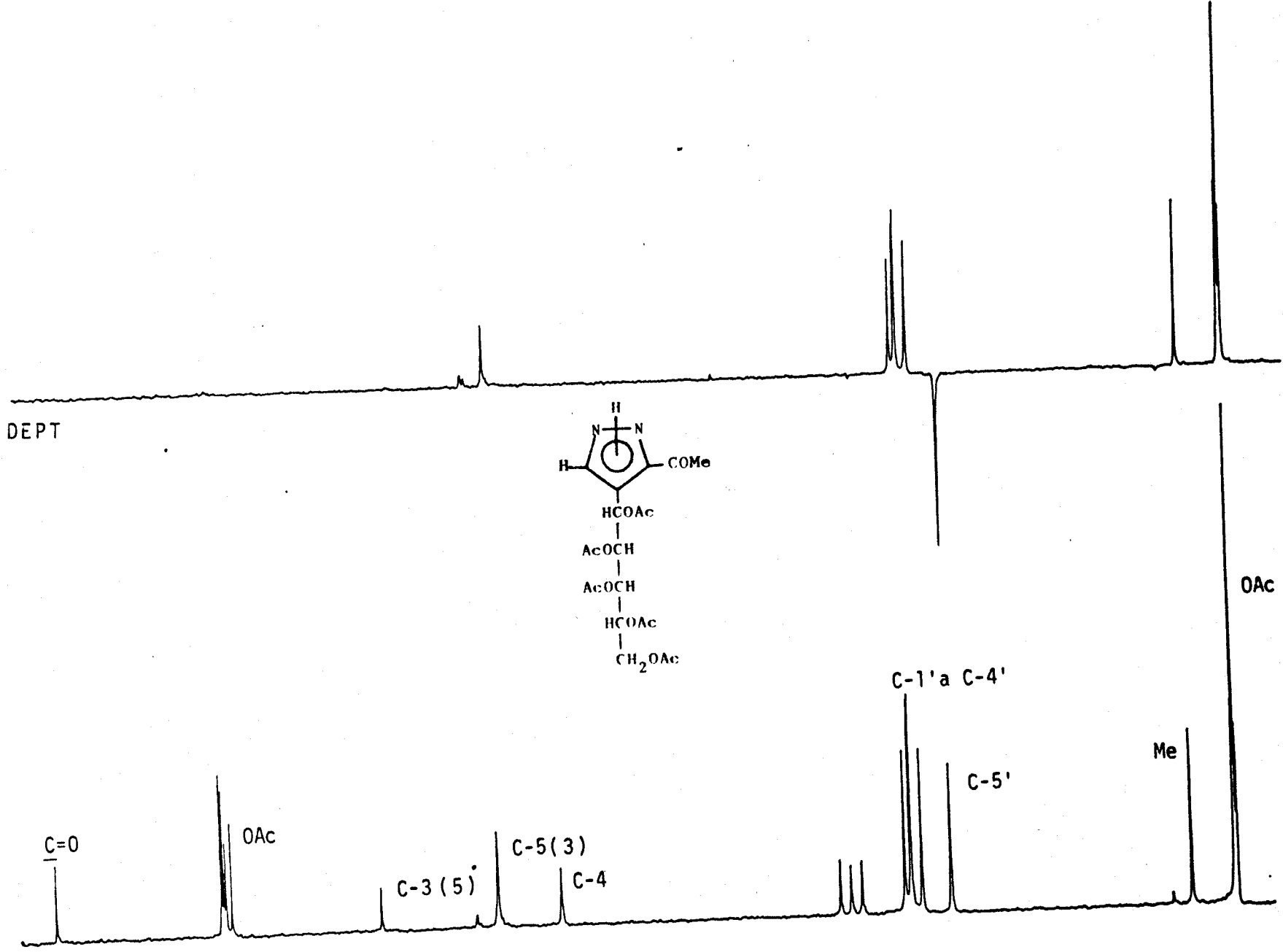
Espectro nº 110: Espectro de <sup>13</sup>C-RMN del compuesto 128' registrado en CDCl<sub>3</sub> a 80 MHz. (Tabla 37).



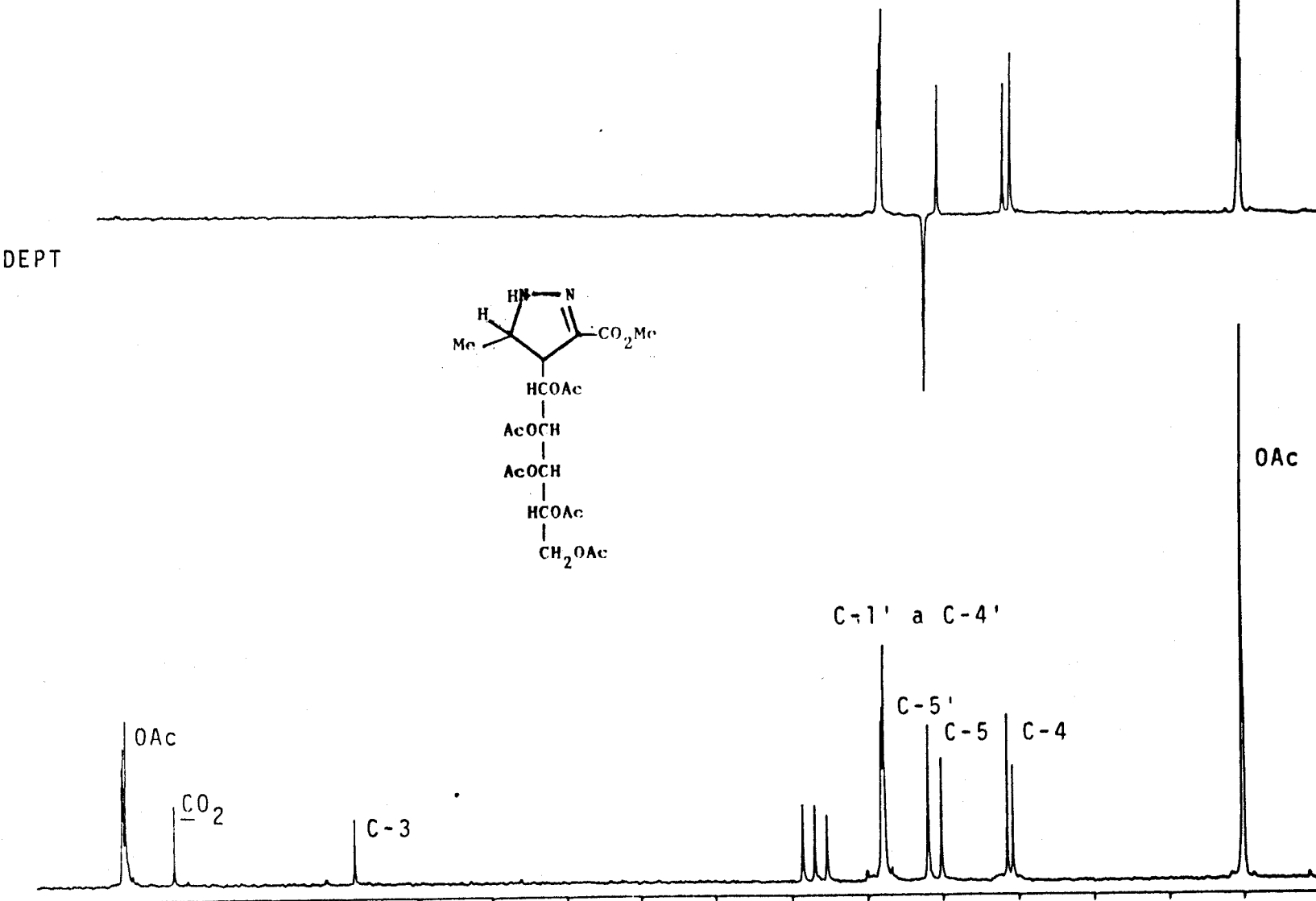
Espectro nº 111: Espectro de <sup>13</sup>C-RMN del compuesto 129 registrado en CDCl<sub>3</sub> a 80 MHz. (Tabla 37).



Espectro nº 112: Espectro de  $^{13}\text{C}$ -RMN del compuesto 130 registrado en  $\text{CDCl}_3$  a 200 MHz. (Tabla 40).



Espectro nº 113: Espectro de <sup>13</sup>C-RMN del compuesto 131 registrado en CDCl<sub>3</sub> a 80 MHz. (Tabla 40).



Espectro nº 114: Espectro de <sup>13</sup>C-RMN del compuesto 132' registrado en  $\text{CDCl}_3$  a 80 MHz. (Tabla 37).

*Apéndice II*

*<sup>13</sup>C-RMN*

OAc

C-1' a C-4'

C-5'

C-4

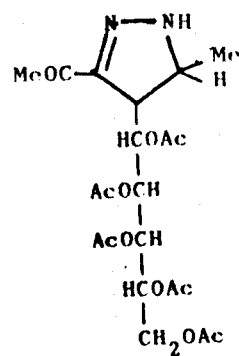
Me

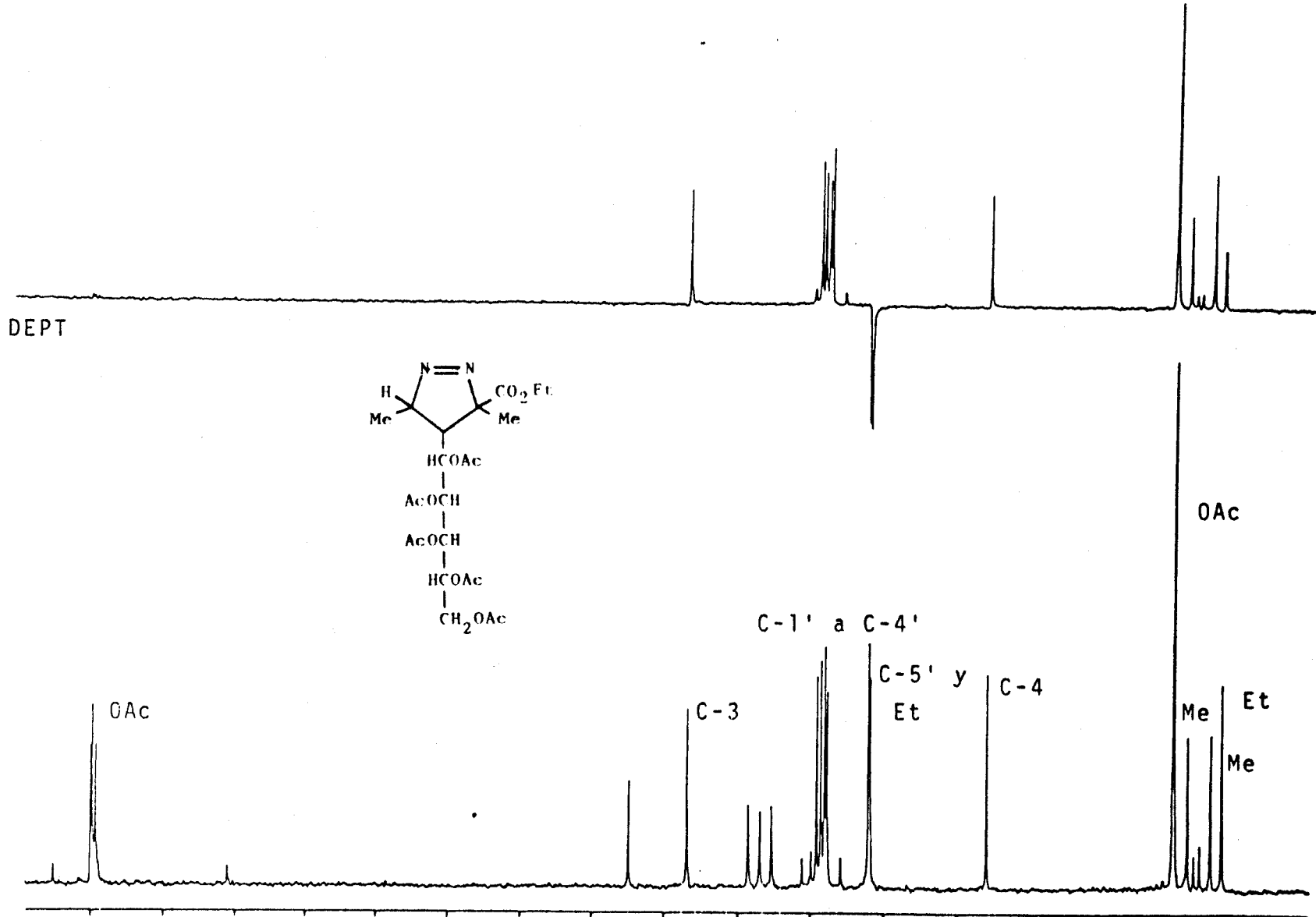
OAc

C-3

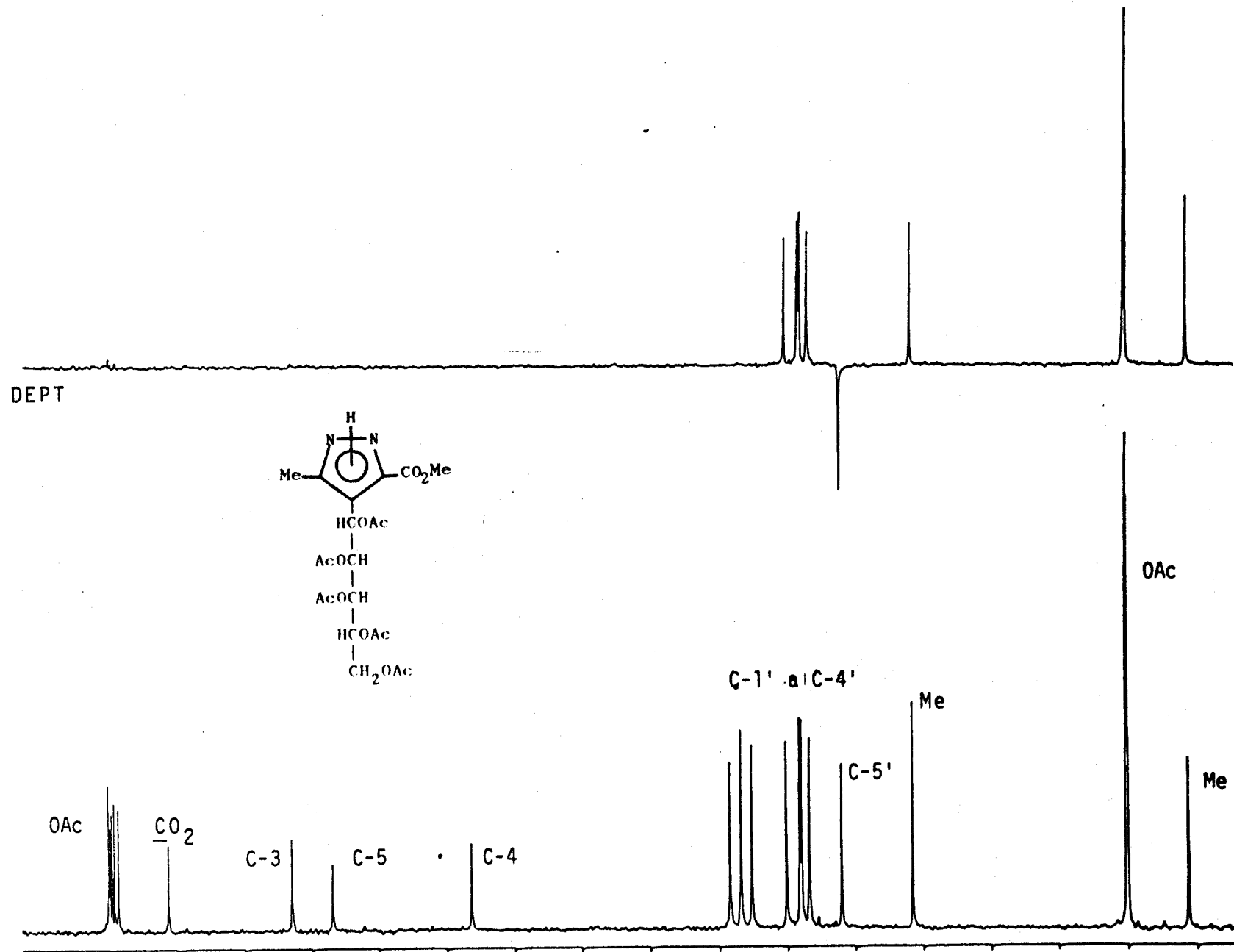
C<sub>1</sub>

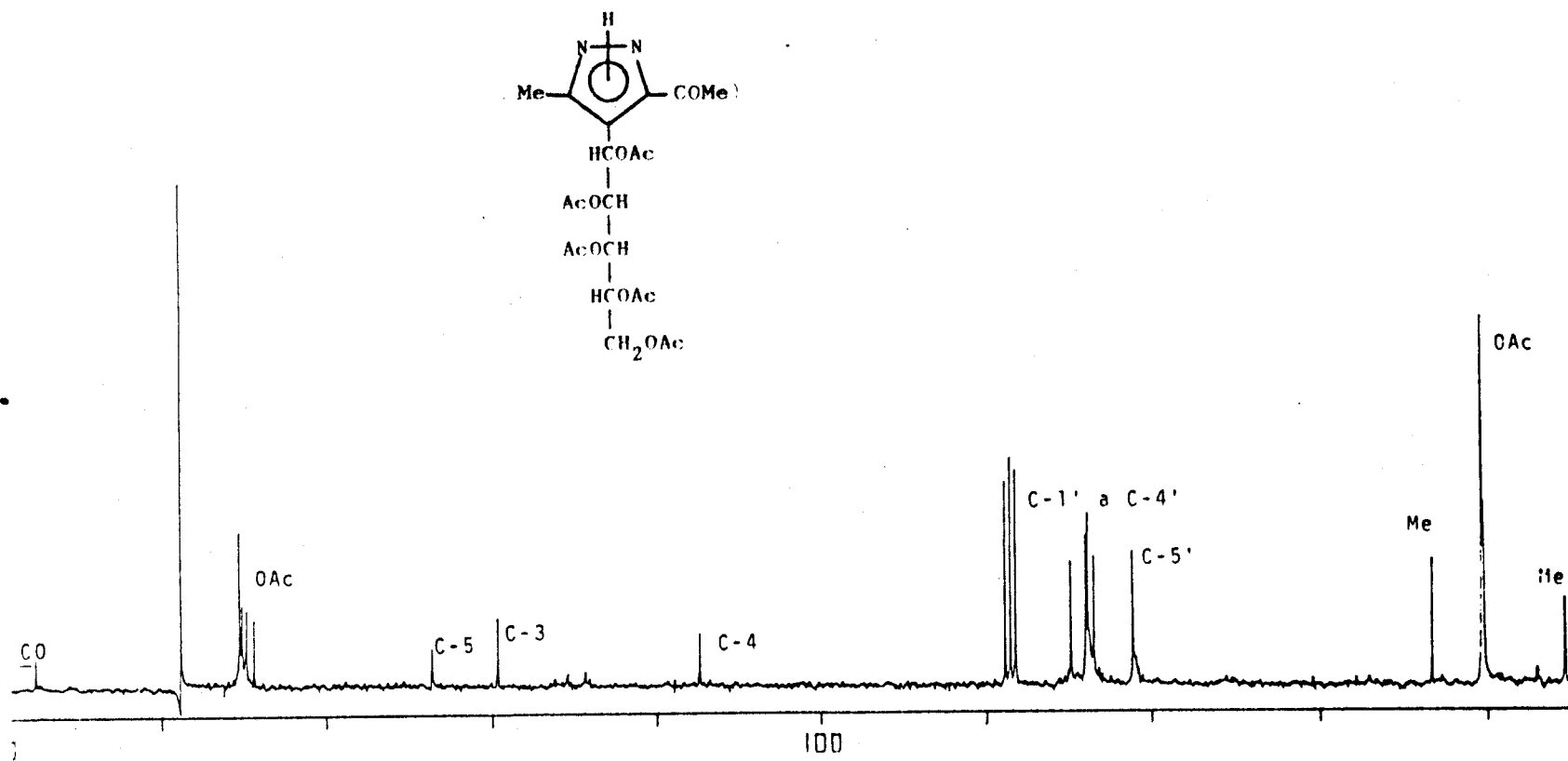
DEPT





Espectro nº 116: Espectro de  $^{13}\text{C}$ -RMN del compuesto 134 registrado en  $\text{CDCl}_3$  a 80 MHz. (Tabla 37).

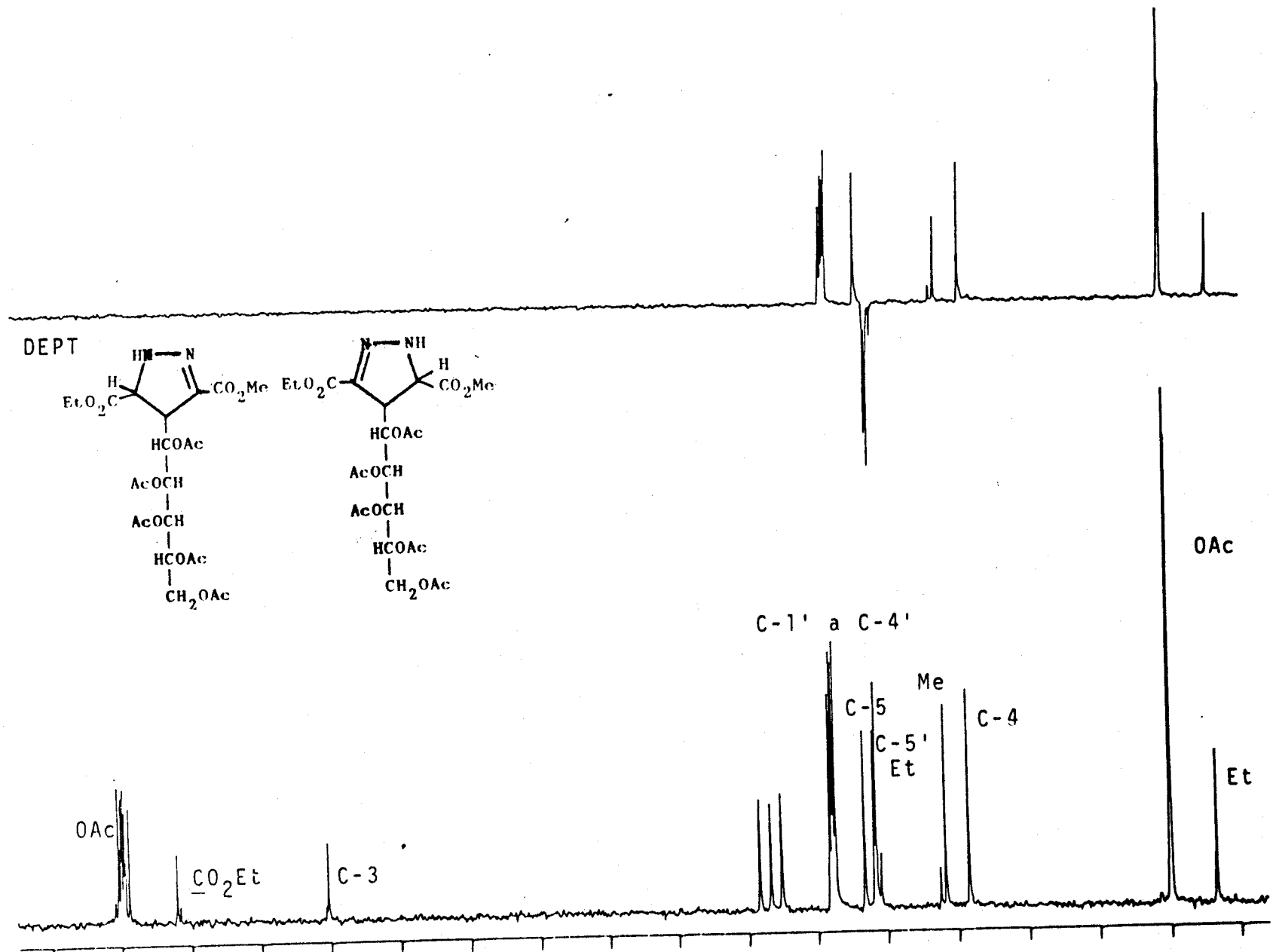
Espectro nº 117: Espectro de <sup>13</sup>C-RMN del compuesto 135 registrado en CDCl<sub>3</sub> a 80 MHz. (Tabla 40).



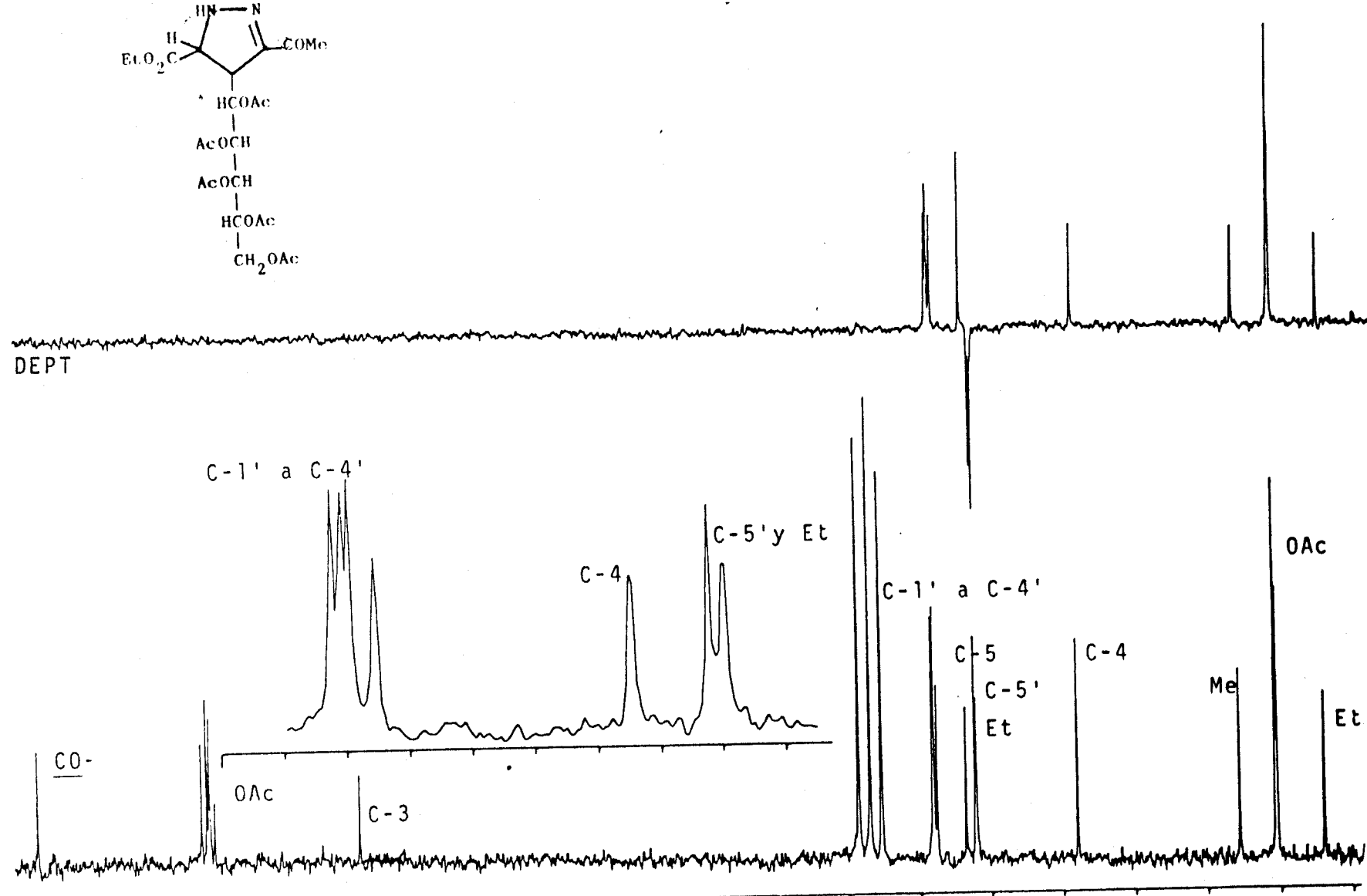
Espectro nº 118: Espectro de  $^{13}\text{C}$ -RMN del compuesto 136 registrado en  $\text{CDCl}_3$  a 200 MHz. (Tabla 40).

Apéndice II

$^{13}\text{C}$ -RMN



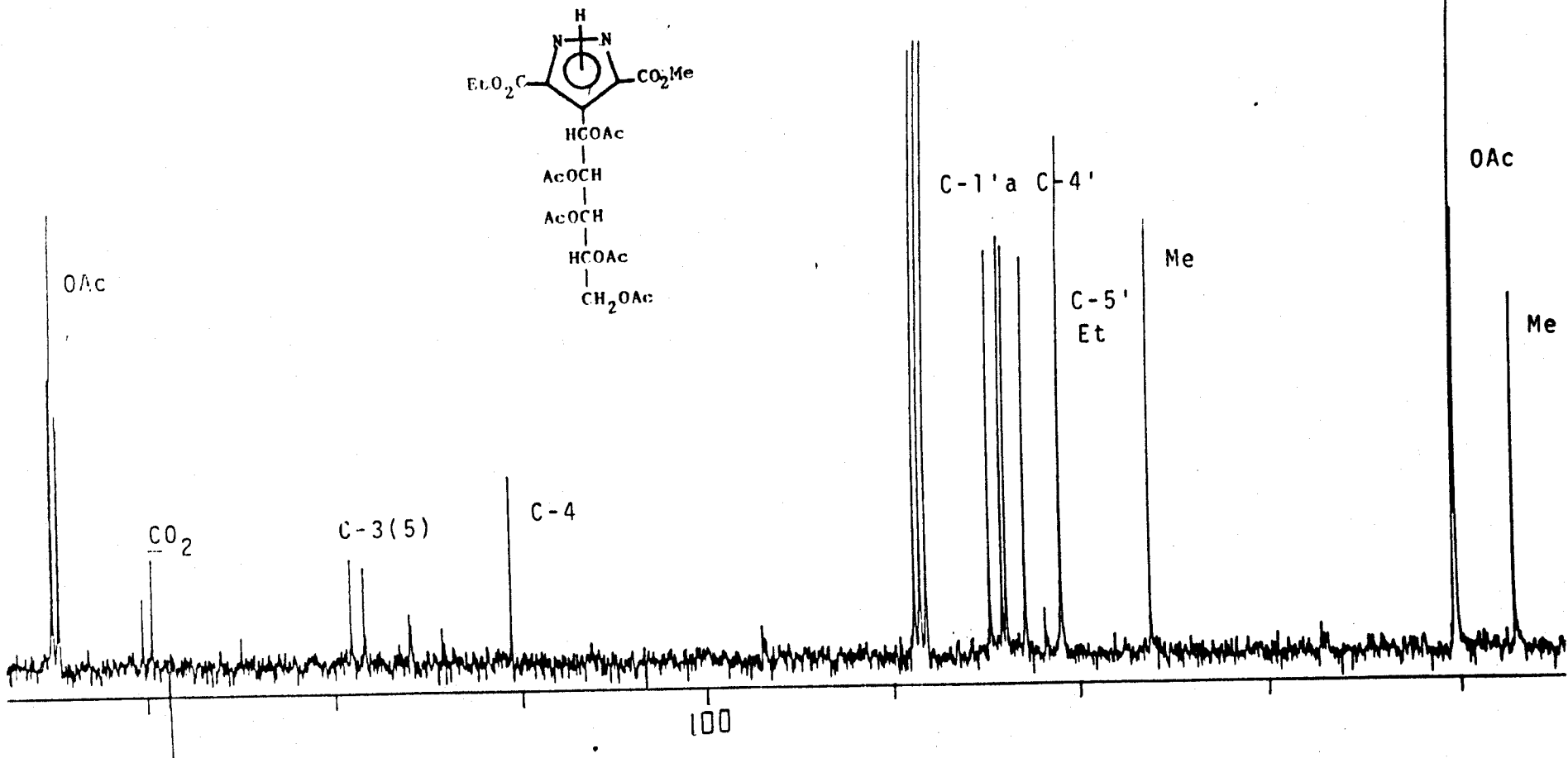
Espectro nº 119: Espectro de  $^{13}\text{C}$ -RMN del compuesto 137 registrado en  $\text{CDCl}_3$  a 80 MHz. (Tabla 37).



Espectro nº 120: Espectro de <sup>13</sup>C-RMN del compuesto 138 registrado en  $\text{CDCl}_3$  a 80 MHz. (Tabla 37).

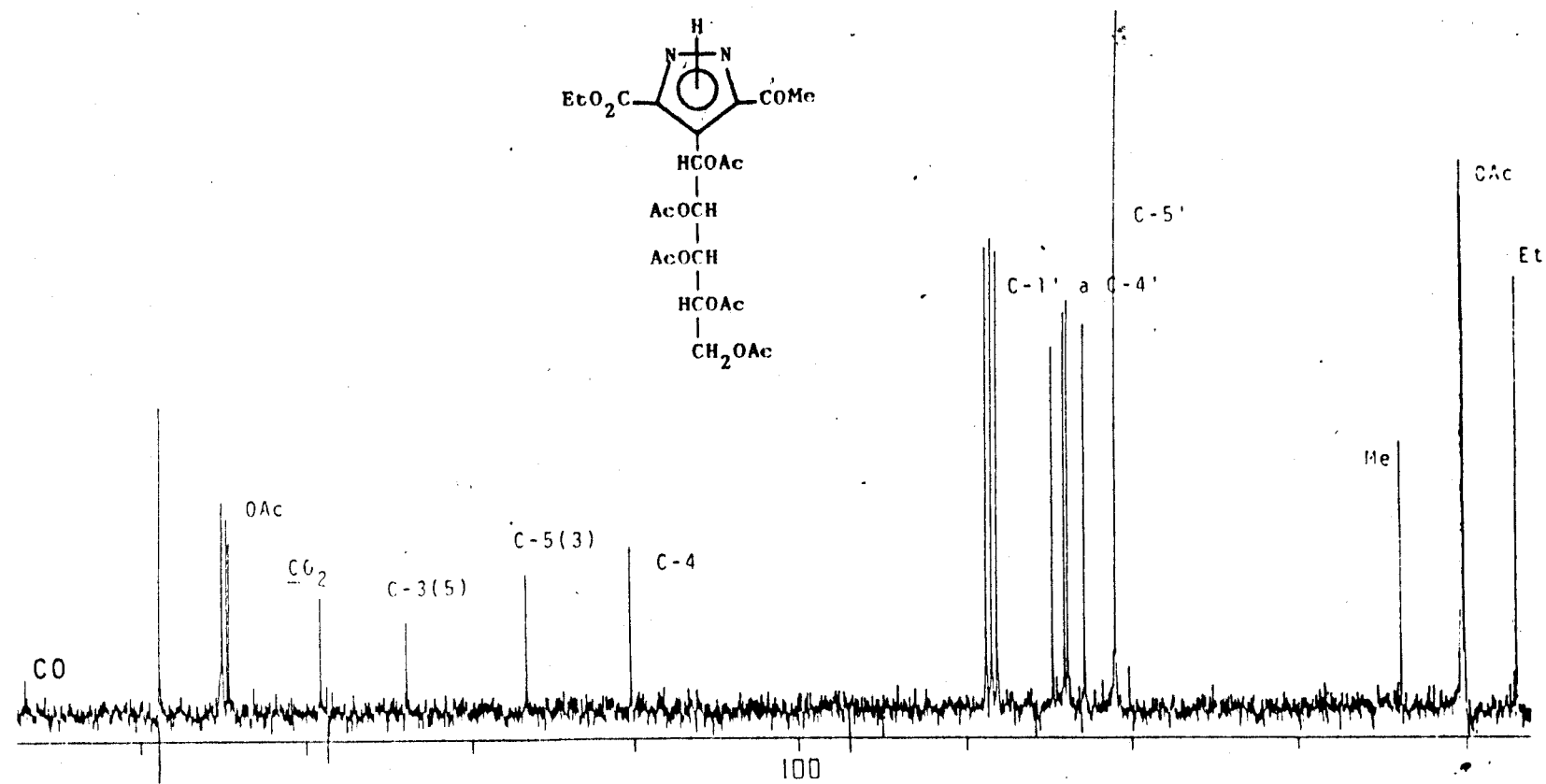
Apéndice II

<sup>13</sup>C-RMN



Espectro nº 121: Espectro de <sup>13</sup>C-RMN del compuesto 139 registrado en  $\text{CDCl}_3$  a 200 MHz. (Tabla 40).

10  
90  
80  
70  
60  
50  
40  
30  
20  
10



Espectro nº 122: Espectro de  $^{13}\text{C}-\text{RMN}$  del compuesto 140 registrado en  $\text{CDCl}_3$  a 200 MHz. (Tabla 40).

UNIVERSIDAD DE SEVILLA

Reunido el Tribunal integrado por los abajo firmados en el día de la fecha, para juzgar la Tesis Doctoral de  
D. Enrique Rodríguez García  
titulada "Síntesis Estereoselectiva de Piravilines por Adoctrinación  
1,3-Dipolar de Diamalcones a Profinas Derivadas de Azúcares"  
acordó otorgarle la calificación de Apto con laude.

ACO.....

Sevilla, 9 de Junio.....

1989

El Vocal,

El Vocal,

El Vocal,

El

Ricardo

El Presidente

José Fernando Botas

El Secretario,

JM

El Doctorado,

Enrique Rodríguez

Miguel Pérez